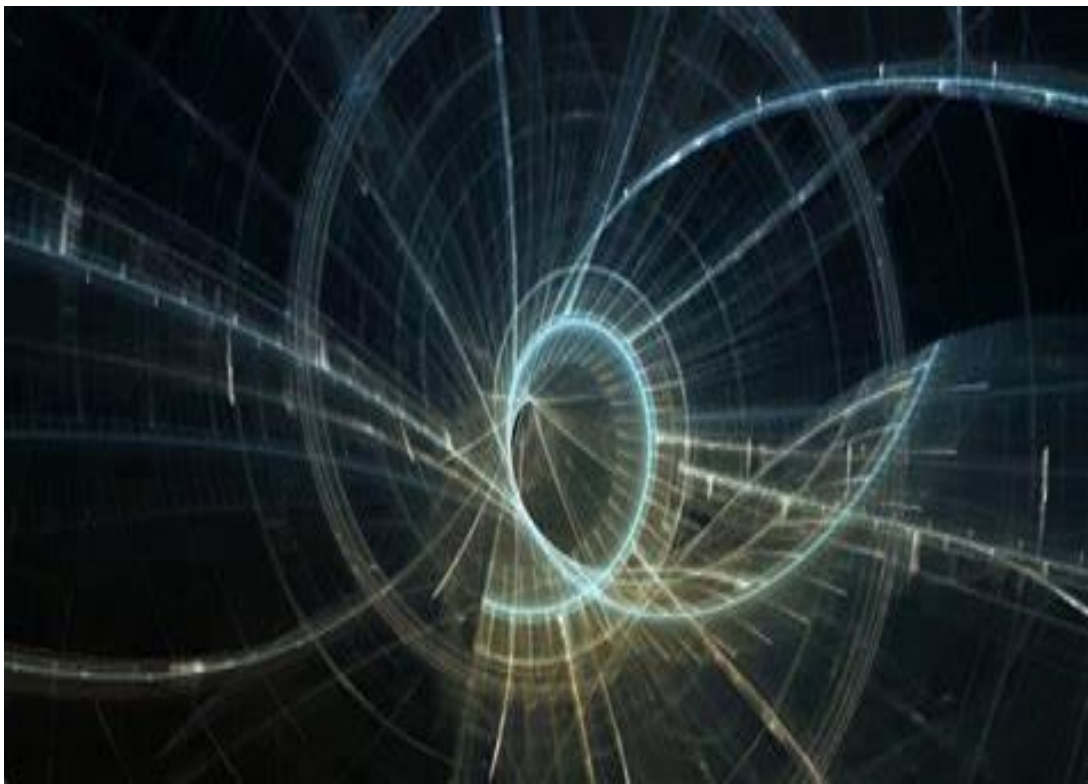




جامعة جنوب الوادى

فيزياء الجوامد وتطبيقات نظرية الكم

للفرقة الرابعة عام- شعبة الطبيعة



د. حمدى توفيق & د. أسماء سيد
جامعة جنوب الوادى
2022-2023

فيزياء الجوامد

د. حمدى توفيق
جامعة جنوب الوادى

الباب الخامس

الخصائص الحرارية للجوامد

الباب الخامس

الخصائص الحرارية للجوامد

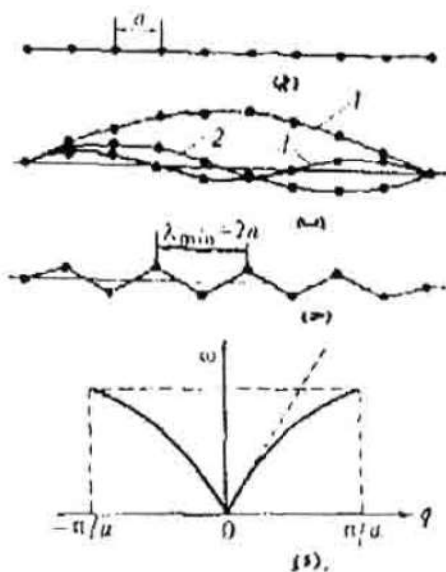
Thermal Properties of Solids

يتناول هذا الباب بالدراسة **الخصائص الحرارية للجوامد** ممثلاً في السعة الحرارية للجوامد والتمدد الحراري والموصلية الحرارية. ونجد أنه من الأفضل أن نبدأ بعرض بعض الأساسيات.

(١-٥) تردد ديباي ودرجة حرارة ديباي

Debye frequency and Debye temperature

- لذرات الجوامد نصيب في الاهتزازات الحرارية في البلورة حول مواضع اتزانها الأصلية وتنقل الاهتزازات في البلورة في البلورة على هيئة موجة مرنة تتضمن كل الجسيمات المثارة في البلورة. وتكون الموجات على شكل أمواج موقوفة ويوضح الشكل (١) نموذجاً أحادي الأبعاد لسلسلة خطية من الذرات المسافات الفاصلة بينها متساوية وتساوي a . وهي قادرة على الاهتزاز في اتجاه عمودي على طول السلسلة (كما يحدث في الاهتزاز المستعرض لوثر مشدود ثبت من نهايته). وكذلك الحال بالنسبة للسلسلة فهي مثبتة الطرفين. المنحني ١ في الشكل يوضح أن السلسلة تهتز بأقل تردد زاوي ممكن ω_{\min} وهو التردد الأساسي لموجة موقوفة، تكون من عقدتين عند الطرفين وبطن بينهما. ويمثل المنحني ٢ موجة موقوفة تتميز بظهور عقدة إضافية عند مركز السلسلة وتردداتها ضعف التردد الأساسي.



الشكل (١)

- ويمثل المنحني 3 موجة موقوفة تنقسم فيها السلسلة إلى ثلاثة أجزاء متساوية وترددها ثلاثة أمثال التردد الأساسي. وهكذا ويكون طول أقصر موجة في مثل هذه السلسلة مساوياً ضعف المسافة بين أي ذرتين في السلسلة :
والنهاية العظمى للتردد المناظر ω_{\max} هي :

$$(1) \quad \lambda_{\min} = 2a$$

حيث v سرعة انتشار الموجة على طول السلسلة.

$$(2) \quad \omega_{\max} = \frac{2\pi v}{\lambda_{\min}} = \frac{\pi v}{a}$$

مثال:

إذا كانت $a = 3.6 \times 10^{-10} \text{ m}$ (بارامتر شبكة النحاس) وإذا كانت سرعة الصوت في النحاس $v = 3550 \text{ m/s}$. احسب النهاية العظمى للتردد.

الحل:

$$\omega_{\max} = \frac{\pi v}{a} = \frac{3.14 \times 3550}{3.6 \times 10^{-10}} = 3 \times 10^{13} \text{ Hz}$$

وهي تناظر تردد الاهتزازات الذرية. وسنستعين في وصف العمليات الموجية بالتجه الموجي q الذى ينطبق اتجاهه على اتجاه انتشار الموجة وقيمة هى :

$$(3) \quad q = \frac{2\pi}{\lambda}$$

و نظرا لإن :

$$(4) \quad q = \frac{2\pi}{\lambda} = \frac{\omega}{v} \quad \text{فإن:}$$

يوضح المنحني 4 توقف الاهتزازات العادية فى سلسلة خطية تتكون من ذرات من نفس النوع على المتجه الموجي. ويتبين منه أنه بزيادة q من الصفر إلى π/a يزداد تردد الاهتزاز العادي حتى يصل إلى نهاية عظمى عند $q = \frac{\pi}{a}$ أي عند $\omega_{\max} = \frac{\pi v}{a}$. $\lambda = 2a$ والمنحنيات التى من هذا النوع تسمى منحنيات التفريق dispersion curves

ويعين الطول الموجي للاهتزازات العادية في السلسلة الخطية في أبسط حالاتها التي يمثلها المنحني A من الشكل (٥) من العلاقة:

$$(5) \quad \text{حيث } (n=1,2,3,\dots,N) \quad \lambda_n = \frac{2L}{n}$$

، طول السلسلة ، N عدد ذراتها ويكون عدد الموقوفة Z والتي يكون طولها $\leq \lambda_n$ هو .

$$Z = n = \frac{2L}{\lambda_n}$$

وبالمثل يكون عدد الأمواج الموقوفة في بلورة ثلاثة الأبعاد حجمها $V (= L^3)$ لبلورة مكعب طول ضلعها L ويكون طولها الموجي λ هو :

$$Z = \left(\frac{2L}{\lambda} \right)^3 = \frac{8V}{\lambda^3}$$

وتؤدي الحسابات الدقيقة إلى أن

$$(6) \quad Z = \frac{4\pi V}{\lambda^3}$$

ونظرا لأن $\lambda = \frac{2\pi v}{\omega}$ فإن :

$$(7) \quad Z = \frac{V}{2\pi^2 v^3} \omega^3$$

وبالتفاضل نحصل على:

$$(8) \quad dz = g(\omega) d\omega = \frac{3V}{2\pi^2 v^3} \omega^2 d\omega$$

وتعبر العلاقة الأخيرة عن عدد الأمواج الموقوفة في مendi التردد $(\omega, \omega + d\omega)$ وتعين الدالة $(\omega) g$ من العلاقة :

$$(9) \quad g(\omega) = \frac{dz}{d\omega} = \frac{3V}{2\pi^2 v^3} \omega^2$$

وتدل على كثافة الاهتزازات العادية في $d\omega$ من الطيف.

ونظرا لأن عدد الاهتزازات العادية في الشبكة هو $3N$ (عدد درجات الحرية) فإن الدالة ستفي بشرط التسوية :

$$(10) \quad \int_{-\infty}^{\omega_D} g(\omega) d\omega = 3N$$

حيث ω_D النهاية العظمى للتردد الذى يحد طيف الاهتزازات العادية.

وباستخدام المعادلتين الأخيرتين معا والتكميل نحصل على :

$$(11) \quad \frac{V \omega_D^2}{2\pi^2 v^3} = 3N$$

لذلك يكون :

$$(12) \quad \omega_D = v \left(6\pi^2 \frac{N}{V}\right)^{\frac{1}{3}}$$

ويسمى التردد ω_D باسم تردد ديباي Debye frequency وتسمى درجة الحرارة

$$(13) \quad \theta = \frac{\hbar \omega_D}{k_B}$$

باسم درجة حرارة ديباي

حيث $\hbar = \frac{h}{e\pi}$, h هو ثابت بلانك و k_B ثابت بولتزمان.

وعند درجة حرارة ديباي لجامد تثار كل ترددات اهتزازات الطيف فى هذا الجامد بما فيها تردد النهاية العظمى ω_D . وتبعا لذلك يكون أى ارتفاع فى درجة الحرارة فوق درجة حرارة ديباي θ غير مصحوب بظهور اهتزازات جديدة وفي هذه الحالة يؤدى ارتفاع درجة

الحرارة إلى زيادة شدة كل من هيئات الاهتزاز مع زيادة متوسط الطاقة لها. ويمكن بالتعويض عن ν^2 الحصول على.

$$(14) \quad g(\omega) = 9N \frac{\omega^2}{\omega_D^2}$$

لدرجات حرارة $T > \theta$

(٢-٥) الفونونات Phonons

تحمل كل موجة موقوفة قدرًا من الطاقة يساوي طاقة متذبذب تساوي كتلته كتلة الذرات المهتزة بنفس الترددات. وإذا أخذنا واحدة من هيئات الاهتزاز ترددتها $\omega_{in,m}$ وطاقتها $E_{in,m}$ ، هذه الطاقة تساوى طاقة متذبذب $E_{in,0}$ تردد ω_0 أيضًا ، عندئذ تكون الطاقة الكلية للبلورة

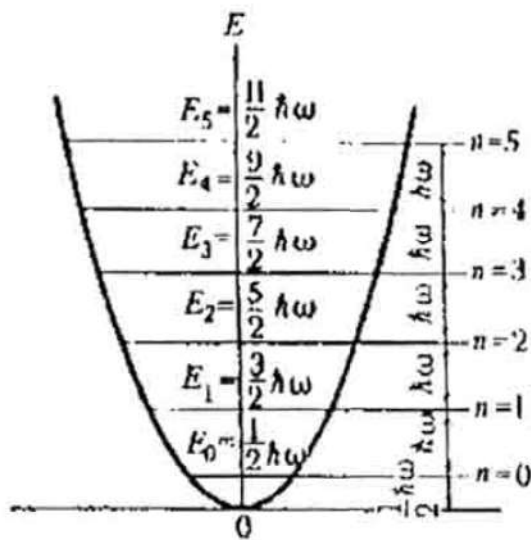
$$E = \sum_i^{3N} E_{in,i}$$

حيث $3N$ عدد درجات الحرية لعدد N من الذرات
وتعطي طاقة أي متذبذب كمي بالعلاقة :

$$(15) \quad E_n = (n + \frac{1}{2}) \hbar \omega$$

حيث ω تردد المتذبذب ، n عدد الكم.

ويوضح الشكل (٢) الطيف الطيفي لمتذبذب توافق خطى. ويكون كما نري من مناسب طاقة مميزة على فوائل متساوية من الطاقة $\hbar \omega$. ونظرا لأن $E_{n,0} = E_{n,m}$ فإن العلاقة السابقة المعتبرة عن الطاقة والطيف الطيفي سوف تتطابق مع ما هو موضح بالشكل (٢).



الشكل (٢)

وتناظر النهاية الصغرى لجزء الطاقة الذى يمكن أن يمتضى أو ينبعث بواسطة الشبيكية فى عملية الاهتزازات الحرارية انتقال هينات الاهتزاز من منسوب طاقة معين إلى المنسوب المجاور له ويساوي.

$$(16) \quad \epsilon_{ph} = h\omega$$

هذا الجزء أو الكل من طاقة الاهتزازات الحرارية للشبيكية يسمى "الفونون" Phonon وربما يساعد التشابه التالي فى توضيح هذه النقطة. فالحيز داخل جسم أسود ممتنع باشعاع حراري فى حالة اتزان. حيث تتم معاملة هذا الاشعاع كغاز من الفونونات طاقتها $P = \frac{h\omega}{c} = \frac{h}{\lambda}$ وكمية تحركها $\epsilon_{ph} = h\nu$ حيث c سرعة الضوء λ طوله الموجي.

ويمكن معالجة الأمواج المرنة فى البلورة بالمثل كغاز من الفونونات طاقتها $\epsilon_{ph} = h\nu$ وكمية تحركها.

$$(17) \quad P_{ph} = \frac{\hbar\omega}{v} = \frac{h}{\lambda} = h q$$

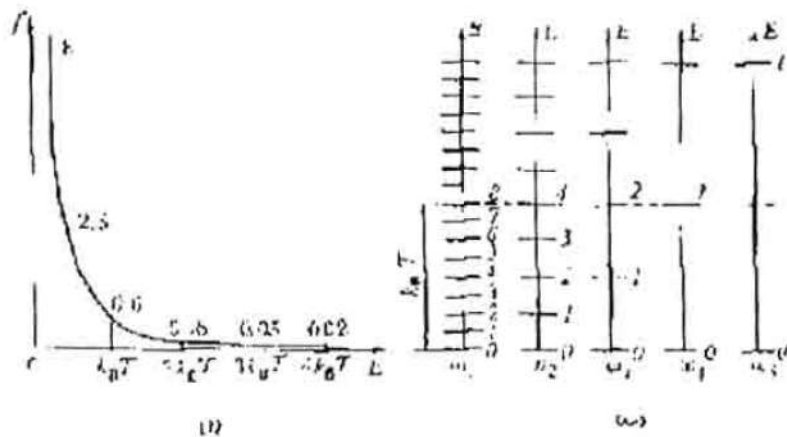
حيث v سرعة الصوت ، λ الطول الموجي للموجة المرنة ، q المتجه الموجي. وتوصف الفونونات كالفوتونات بدلالة توزيع بوز-إينشتين Bose-Einstein distribution function.

$$F(\epsilon) = \frac{1}{e^{\epsilon_{ph}/k_B T}} = \frac{1}{e^{\hbar\omega/k_B T}}$$

ويتوقف هذا التوزيع على شدة إثارة هيئة الاهتزاز العادية لعدد محدد من الفونونات الذي يمكن إبعاده. وعند إثارتها أى إثارة هيئة الاهتزاز إلى المنسوب الثالث (الشكل ٧-أ) تصبح الطاقة

$$\epsilon_3 = (n + \frac{1}{2}) \hbar \omega$$

وهذا يعني تولد ثلاث فونونات متماثلة طاقة كل منها $\hbar \omega$.



الشكل (٣)

ويوضح الشكل (٣) العلاقة بين دالة التوزيع (E) f وطاقة الفونونات. ونري أنه عند درجة حرارة معينة T فإن كل هيئات الاهتزاز في الشبكة حتى تلك التي تكون طاقتها $\hbar\omega \approx k_B T$ ستشار. وعندما تكون $\hbar\omega > k_B T$ لن تشار الفونونات التي تكون تردداتها أكبر. يتضح هذا في الشكل (٣) وترمز الخطوط الأفقية في الشكل إلى أطيف طاقية تردداتها $\hbar\omega_1 = k_B T / 8\pi$ ،

$$\omega_5 = \frac{2k_B T}{\hbar}, \omega_4 = \frac{k_B T}{\hbar}, \omega_3 = \frac{k_B T}{2\hbar}, \omega_2 = \frac{k_B T}{4\hbar}$$

والمنسوب المناظر للمقدار $k_B T$ موضح في الشكل بخط متقطع. يترتب على ذلك أن تشار عند درجة حرارة معينة T هيئات الاهتزاز التي ترددتها ω_1 إلى المنسوب الثامن . وهذا يعني أن ثمانية فونونات متمثلة طاقتها كل منها $\frac{k_B T}{8\hbar}$ تشار إلى المنسوب الثامن . وبالمثل تشار أربعة فونونات متماثلة إلى المنسوب الرابع

تردداتها تكون طاقتها $\frac{K_B T}{8} \hbar\omega$ ويكون من النادر إثارة فونونات ثرواتها ω عند الدرجة T لأن طاقة إثارتها $\hbar\omega$ عالية جداً.

٣-٥) السعة الحرارية للجوامد Heat capacity of Solids

إن الطاقة الحرارية لجامد $E_{lattice}$ هي مجموع طاقات هينات اهتزازه العادي. وكما سبق أن ذكرنا فإن عدد هينات الاهتزاز العادي

$$g(\omega) d\omega = \frac{3V}{2\pi^2 U^3} \omega^2 d\omega \quad \text{لكل مدي تردد } \omega \text{ هو } d\omega$$

وبضرب هذا العدد في الطاقة المتوسطة:

$E_{n.m} = h\omega (e^{h\omega/k_B T} - 1)^{-1}$ لهيئة اهتزاز عادي ، نحصل على الطاقة الكلية للتردد ω في مدي التردد $d\omega$.

$$dE_{lattice} = \bar{E}_{n.m} g(\omega) d\omega$$

وبتكامل هذه العلاقة مع وضع حدود التكامل من 0 إلى ω نحصل على طاقة الاهتزازات الحرارية لشبكة جامد.

$$(18) \quad \bar{E}_{lattice} = \int_0^\omega \bar{E}_{n.m} g(\omega) d\omega$$

والسعه الحرارية عند حجم ثابت لجامد C_V هي التغير في الطاقة الحرارية للجامد الناتج عن التغير في درجة الحرارة بمقدار درجة واحدة. ولا يعادها نفاذها $E_{lattice}$ بالنسبة لدرجة الحرارة ، أى أن :

$$(19) \quad C_V = \frac{d E_{lattice}}{dT}$$

ولعل المشكلة الأساسية هنا تتمثل في توقف السعة الحرارية على درجة الحرارة.

فهناك مديان لدرجة الحرارة، المدي الأول لدرجات الحرارة أقل كثير من درجة حرارة ديباي $0 < T$ ويطلق على هذا المدي الأول لدرجات الحرارة اسم مدي درجة الحرارة المنخفضة، والمدي الثاني هو مدي درجات الحرارة الأعلى من درجة حرارة ديباي $T > 0$ ويطلق عليه اسم مدي درجات الحرارة المرتفعة.

أولاً : مدي درجات الحرارة المنخفضة :

في هذا المدي تثار هيئات الاهتزاز العادي ذات الترددات المنخفضة التي تكون طاقتها $\hbar\omega < k_B T$. ويمكن حساب الطاقة المتوسطة للاهتزازات العادية بفك معادلة السابقة والاكتفاء بحدين فقط لنحصل على :

$$(20) \quad \bar{E}_{n.m} = \hbar\omega \left(e^{\frac{\hbar\omega}{k_B T}} - 1 \right)^{-1} \approx \hbar\omega \left(1 + \frac{\hbar\omega}{k_B T} + \dots - 1 \right)^{-1} \approx k_B T$$

ومن ثم تكون الطاقة المتوسطة في مدي درجات الحرارة المنخفضة لكل . أي أن : T هيئه اهتزاز عادي متناسبة طرديا مع درجة الحرارة

$$(21) \quad \bar{E}_{n.m} \propto T$$

ويرجع هذا القانون إلى زيادة احتمال الإثارة لكل هيئه اهتزاز عادي مع ارتفاع درجة الحرارة مما ينتج عنه زيادة الطاقة المتوسطة لها.

بالإضافة إلى هذا يسبب ارتفاع درجة الحرارة في مدي درجات الحرارة المنخفضة ترددات أعلى جديدة لهيئات اهتزاز عادة بسبب إثارتها. العدد التقريري لها Z يمكن حسابه بالاستعانة بالمعادلة.

$$(22) \quad dz = g(\omega) d\omega = \frac{3V}{2\pi^2 \nu^3} \omega^2 d\omega$$

فإذا فرضنا أنه عند درجة حرارة T تثار كل هيئة اهتزاز العادي حتى تلك التي يكون ترددتها $\omega \approx k_B T / \hbar$ ، لنجصل على:

$$(23) \quad Z = \int_0^{k_B T / \hbar} g(\omega) d\omega \approx \int_0^{k_B T / \hbar} \omega d\omega \alpha_2 T^3$$

ويترتب على هذا أنه بارتفاع درجة الحرارة يتناسب عدد هئيات الاهتزاز العادي تناضباً طردياً مع مكعب درجة الحرارة (T^3).

ويعزى هذا إلى الآيتين هنا :

(١) الزيادة في الطاقة المتوسطة لكل هيئة اهتزاز عادي $E_{n,m}$ ترجع إلى زيادة احتمال إثارتها.

(٢) الزيادة في عدد هئيات الاهتزاز العادي في الشبكة. الاحتمال الأول هو المسئول عن الزيادة في الطاقة التي تتناسب مع T ويكون الثاني مسؤولاً عن التناضب مع T^3 ولهذا فإن التأثير الكلي ممثلاً في زيادة طاقة الشبكة التي بما يتناسب مع T^4 .

$$(24) \quad E_{lattice} \propto T^4$$

و تكون الزيادة في السعة الحرارية متناسبة مع T^3

$$(25) \quad C_v \propto T^3$$

وهو قانون T^3 لدبياي الذي يتفق مع النتائج التجريبية في مدى درجات الحرارة المنخفضة.

ثانياً : مدى درجات الحرارة المرتفعة :

نعلم أن كل هئيات الاهتزاز العادي في الشبكة قد تمت إثارتها عند درجة حرارة ديباي ، لهذا فإن ارتفاع درجة الحرارة بعدد لا

يزيـد هذا العدد. وأن التغيـر في طـقة الجـامد في مـدى درـجات الحرـارة المرـتفـعة يـرجع إلى زـيـادة شـدة هـيـنـات الـاهـتـاز العـادـي. ويـؤـدي هـذا إـلـى زـيـادة الطـاقـة المـتوـسطـة $E_{n.m}$. وـنظـراً لأن $T \propto E_{n.m}$ فـإن التـغـير في طـاقـة الجـسم كـلـيـاً سـيـتنـاسب على T .

$$(26) \quad E_{lattice} \propto T$$

وـسـوف لا تـنـوقـف السـعـة الحرـارـية عـلـى درـجـة الحرـارـة.

$$(27) \quad Cv = d E_{lattice} / d T = \text{constant}$$

وـتـعـرـف هـذـه العـلـاقـة باـسـم قـانـون دـيـولـنج دـيـبـيـتـي Dulong and Petit law الذي تم تـجـسيـده بـالـتجـربـة.

وـيمـكـن تـجـسيـد القـوـانـين النـوعـيـة لـتـغـير Cv مع T التي تم الحـصـول عـلـيـها بـدرـاسـة العمـلـيات الفـيـزـيـائـية فـي الجـوـامـد بـحـسـابـات كـمـيـة دقـيقـة. وـعـنـد هـذـا الحـد نـعـود إـلـى المعـادـلة :

$$(28) \quad E_{lattice} = \int_0^{\omega_D} E_{n.m} g(\omega) d\omega$$

وـنـحاـول حـسـاب طـاقـة الشـبـيـكـة كـدـالـة فـي درـجـة الحرـارـة بـصـورـة اـكـثـر دـقـة :

من المعـادـلة السـابـقـة وـالمعـادـلـتين :

$$(29) \quad E_{n.m} = \hbar \omega \left(e^{\frac{\hbar \omega}{k_B T}} - 1 \right)^{-1}, \quad g(m) = q N \frac{\omega^2}{\omega_b^2}$$

وبـادـخـال الـكمـيـة $x = \hbar \omega / k_B T$ نـحـصل عـلـى

$$E_{lattice} = 9 N k_B \theta \left(\frac{T}{\theta} \right)^4 \int_0^{\theta/T} \frac{x^3 dx}{e^x - 1}$$

حيث θ درجة حرارة ديباي.

وسنأخذ مدي درجات الحرارة المنخفضة ومدي درجات الحرارة المرتفعة كلا على حدة.

• مدي درجات الحرارة المنخفضة ($T < \theta$)

في هذا المدي نجعل حدود التكامل في العلاقة الأخيرة من 0 إلى ∞ مع الأخذ في الاعتبار أن

$$\int_0^\infty \frac{x^3 dx}{e^x - 1} = \frac{\pi^2}{15}$$

نحصل على

$$(30) \quad E_{\text{lattice}} = \frac{3\pi^4}{5} N R_B \theta \left(\frac{T}{\theta}\right)^4 \alpha T^4$$

وبتقاضيل هذه العلاقة بالنسبة إلى T نحصل على

$$(31) \quad C_v = \frac{12\pi^4}{5} N R_B \left(\frac{T}{\theta}\right)^3 \alpha T^3$$

وهنا نكون قد وصلنا إلى قانون T^3 لدباي منسجما مع تغير السعة الحرارية للشبكة في مدي درجات الحرارة المنخفضة حيث يكون التناسب مع مكعب درجة الحرارة

• مدي درجات الحرارة المرتفعة :

في مثل هذا المدى من الدرجات تكون قيمة x صغيرة ومن ثم يكون من الممكن حذف كل الحدود فيما عدا حدين ويكون مفهوم e^x هو

$$e^x = 1 + x + \dots$$

وعندئذ يكون

$$(32) \quad E_{\text{lattice}} = 9 N k_B \theta \left(\frac{1}{\theta}\right)^4 \int_0^{\theta/T} x^2 dx = 3 N k_B T \alpha T$$

وتكون السعة الحرارية للبلورة هي :

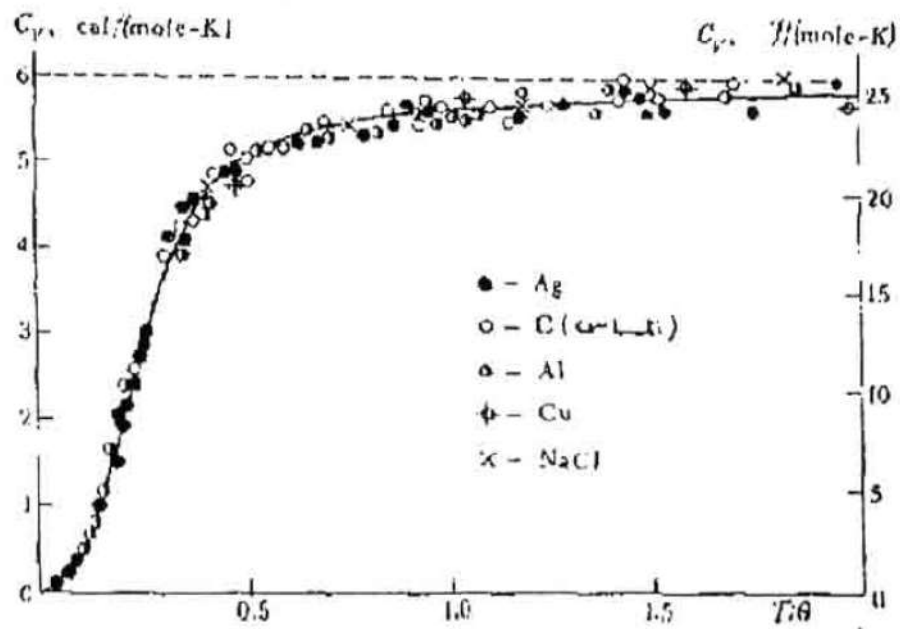
$$(33) \quad C_v = \frac{dE_{lattice}}{dT} = 3N k_B = \text{constant}$$

ولجزى أحادى الذرة لمادة $N=N_A \times 6.023 \times 10^{23}$ نتساوى (عدد أفوجادور) ، حيث $N_A k_B = R$ الثابت العام للغازات ويتساوى 8.31 جول / مول كلفن. ويكون :

$$(34) \quad C_v \approx 3R \approx 25 \text{ J/(mole - K)}$$

وتعبر هذه العلاقة عن قانون ديلونج وبيري. ويوضح الخط المتصل في الشكل ١ ، ٢ العلاقة النظرية بين السعة الحرارية للجوامد وبين درجة الحرارة. وتوضح النقطة القيمة العملية للفضة والماس والألومنيوم والنحاس والملح الصخري. ويبعد من الشكل أن هناك اتفاقاً بين القيم التجريبية والنظرية سواء من الناحية النوعية أو الكمية. وبمعرفة العلاقة بين درجة الحرارة وطاقة الشبكة يمكن إيجاد تركيز غاز الفونونات وعلاقته بدرجة الحرارة ، أى عدد الفونونات n_{ph} المثارة في وحدة الحجم من البلورة. تركيز غاز الفونونات في مدي درجات الحرارة المنخفضة حيث $E_{lattice} \propto T^4$ وطاقة الفونون $\hbar\omega \approx k_B T \alpha T$ يجب أن تتناسب مع T^3 أى أن :

$$(35) \quad n_{ph} \propto T^3$$



الشكل (٤)

وفي مدى درجات الحرارة المرتفعة حيث $T \gg E_{\text{lattice}}$ وأن طاقة الفونون تبلغ نهايتها العظمى $\hbar\omega_D \approx K_B\theta$ وهذه لا تتوقف على درجة الحرارة T . ويكون تركيز غاز الفونونات متناسباً مع T أي أن.

$$(36) \quad n_{\text{ph}} \propto T$$

(٤-٥) السعة الحرارية لغاز الإلكترونى

تحتوى الفلزات بالإضافة إلى الأيونات التى تكون الشبكة وتهتز حول مواضع اتزانها الأصلية ... أيضا على إلكترونات حررة عددها فى وحدة الحجم يساوى تقريبا نفس عدد الأيونات.

لهذا السبب فإن الحرارة النوعية لفلز تساوى مجموع السعة الحرارية للشبكة $C_{lattice}$ التي تم حسابها في الفقرة السابقة والسعه الحرارية لغاز الإلكترونات C_v .

$$(37) \quad \therefore C_v = C_{lattice} + C_e$$

وإذا كان الغاز الإلكتروني غازاً غير منحل فإن الطاقة المتوسطة لكل الكترون تساوى $\frac{3k_B T}{2}$ وتكون طاقة الغاز الإلكتروني لكل مول من الفلز هي

$$(38) \quad E_e^d = N_A \frac{3}{2} k_B T = \frac{3}{2} R T$$

وتكون سعتها الحرارية هي

$$(39) \quad C_e^d = \frac{3}{2} N_A k_B = \frac{3}{2} R$$

وتكون السعة الحرارية الكلية للفلز في مدى درجات الحرارة المرتفعة في هذه الحالة

$$C_v = C_{lattice} + C_e^d = \frac{9}{2} R \approx 37 \text{ J/mole. Kelvin}$$

(جول / مول . كلفن)

وتكون السعة الحرارية للفلزات كما هو الحال في العازلات في مدى درجات الحرارة المرتفعة حيث يكون قانون ديلونج وبيتى صالحًا للتطبيق $c_v \approx 25 \text{ J/mole-K}$

وهذا يبرهن على أن إسهام الغاز الإلكتروني يمكن إهماله.

وفي حالة الغاز الإلكتروني المنحل الذي يوصف بإحصائيات الكم لفيرمي ديراك فإنه عند رفع درجة الحرارة لا تتأثر كل الإلكترونات الحرة في ما عدا جزء يمكن إهماله $N \Delta$ التي تشغّل

المناسيب الملائمة أو القريبة من منسوب فيرمي الذي يثار حراريا.
هذا العدد من الإلكترونات يعطى بالعلاقة

$$(40) \quad \Delta N \approx \frac{N}{2E_F} k_B T$$

حيث E_F طاقة فيرمي.

$E_F = 7\text{eV}$ ، $T = 300\text{ K}$ للنحاس عند

$$0.002 \frac{\Delta N}{N} \approx \begin{array}{l} \text{تكون} \\ \text{أى أنها أقل من} \end{array} 1\%$$

كل الكترون مثار حراريا يمتلك طاقة مقدارها $k_B T$ لذلك تكون الطاقة الممتصة بواسطة الغاز الإلكتروني ككل هي حاصل ضرب $k_B T$ وعدد الإلكترونات المثارة حراريا ΔN

$$(41) \quad E_c \approx k_B T \quad \Delta N \approx \frac{N}{2E_F} k_B T$$

وتكون السعة الحرارية للغاز الإلكتروني هي

$$(42) \quad C_e = \frac{dE_c}{dT} \approx \frac{Nk_B}{E_F} k_B T$$

وبالحسابات الدقيقة تكون

$$(43) \quad C_e \approx \frac{\pi^2 N k_B}{2E_F} k_B T$$

وبمقارنة C_e للغاز الإلكتروني المنحل ، C_e للغاز الإلكتروني غير المنحل

$$(44) \quad \begin{array}{ll} \text{للغاز المنحل} & \frac{C_e}{C_e^{cl}} \approx \frac{\pi k_B T}{E_F} \\ \text{للغاز غير المنحل} & \end{array}$$

ويترتب على المعادلة الأخيرة أن النسبة لغاز الكترونى من حل وتلك لغاز إلكترونى أحدى الذرة غير من حل ... تساوى تقريبا. النسبة

بين E_F ، $k_B T$

* في درجات الحرارة العالية تكون النسبة

$$1\% \leq k_B T / E_F \pi$$

لهذا تكون :

$$\text{لغاز غير من حل } C_e \leq 0.01 \text{ لغاز من حل (٤)}$$

ومن ثم فإن حالة الانحلال للغاز الإلكتروني في الفلزات حتى في درجات الحرارة المرتفعة تثار نسبة صغيرة من الإلكترونات الحرية (أقل من 1%) أما بقية الإلكترونات فلا تمتص حرارة وهذا هو السبب في أن السعة الحرارية للفلز ككل تساوى عملياً السعة الحرارية للشبكة ...

هذا الوضع مختلف تماماً في مدى درجات الحرارة المنخفضة القريبة من الصفر المطلق.

هنا تنخفض أو تقل السعة الحرارية بما يتناسب مع T^3
بالانخفاض في درجة الحرارة

وهذا يوضح أن C_e التي تتناقص بدرجة أقل كثير من $C_{lattice}$ تصبح هي السائدة.

ويوضح الشكل (٥) علاقة درجة الحرارة لكل من مركبة السعة الحرارية للشبكة وحركية السعة الحرارية الإلكترون لشبكة (20% فانديوم، 80% كروم)، درجة حرارة ديباي لها $0 = 500K$

ويتضح من هذا الشكل أنه بالقرب من الصفر المطلق تكون السعة الحرارية لغاز إلكتروني أكبر كثيراً من تلك الشبكة.

$$(C_{\text{lattice}} < C_e)$$

وتظل إشارة عدم المساواة كما هي حتى درجة الحرارة $T = 8.5 \text{ K}$ وعند $T > 8.5 \text{ K}$ تتعكس الإشارة

وعند $T = 25 \text{ K}$ تكون السعة الحرارية للشبكة السابقة راجعة إلى السعة الحرارية للشبكة (عند $T = 25 \text{ K}$) تكون السعة الحرارية $. (C_{\text{lattice}} \approx 10 C_e)$.

٥-٥) التمدد الحراري Thermal Expansion

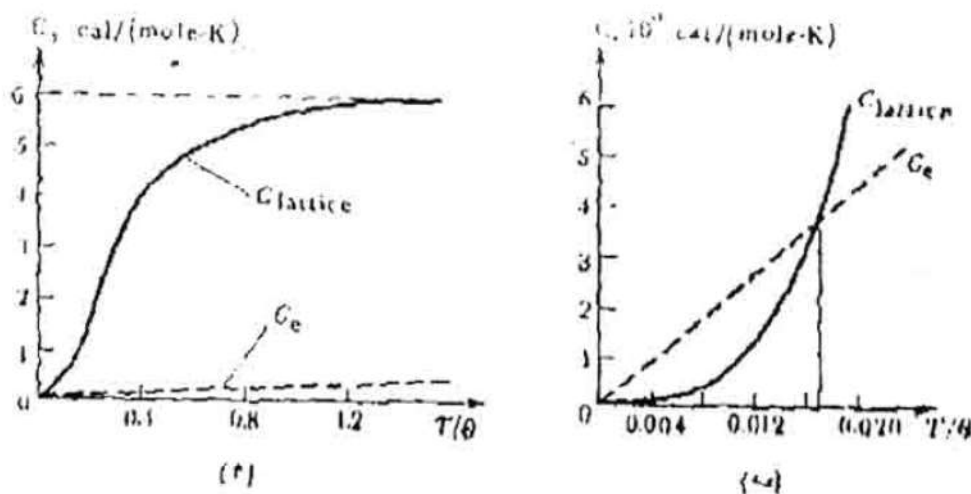
يمكن أن نفهم منشأ التمدد الحراري بالأخذ في الاعتبارات تأثير الحدود الالتوافقية في طاقة الوضع على المسافة الفاصلية بين زوج من الذرات عند درجة الحرارة T ولنأخذ طاقة الوضع للذرات عندما تكون الإزاحة x عن مسافات الإتزان عند OK كما يلى :

$$(45) \quad V_{(x)} = cx^2 - gx^3 - fx^4$$

حيث يمثل الحد الذي يحتوى على x^3 عدم تماثل قوى التناقض المتبادل للذرات يدل الحد الذي يحتوى على x^4 على الإرخاء العام للأهتزازات عند السعات الكبيرة.

ونحسب متوسط الإزاحة باستخدام دالة توزيع بولتزمان التي تزن القيم الممكنة للإزاحة x بـ احتماليتها термодинамическая.

$$(46) \quad \bar{x} = \frac{\int_x^\infty x e^{-V(x)/k_b T} dx}{\int_x^\infty e^{-V(x)/k_b T} dx}$$



الشكل (٥)

للإزاحة الصغيرة (طاقة لا توافقية منخفضة) نوجد مفوكك
الكميات المراد تكاملها.

$$(46) \quad \int xe^{-\nu k_B T} dx \equiv \int_c^{\infty} cx^2 / K_B T \left(x + \frac{gx^4}{k_B T} + \frac{f\chi^5}{k_B T} \right) dx \\ = \frac{g}{d_B T} \left(\frac{k_B}{C} \right)^{5/2} \frac{3\pi^2}{4}$$

$$(47) \quad \int_c^{\infty} \nu / k_B T dx \equiv \int_c^{\infty} cx^2 / k_B T dx = \left(\frac{\prod k_b T}{c} \right)^{1/2}$$

وهكذا يكون

$$(48) \quad \bar{X} = \frac{3k_B T g}{4C^{1/2}}$$

مما يؤدي إلى قيمة ثابتة للمعامل الحراري للتمدد الحراري.

(٦-٥) الموصلية الحرارية للجوامد

Thermal conductivity of solids

(١) الموصلية الحرارية للغازات (الموصلية الحرارية للشبكة):

Heat conductivity of dielectrics (lattice heat conductivity)

تعد المقاومة الحرارية للجوامد أحد نواتج الطبيعة اللاتوافقيّة لاهتزازات ذراتها. إذ لا توجد مثل هذه المقاومة عندما تنتقل الإهتزازات الذريّة في الشبكة على هيئة أمواج مرنة لا تبادلية التأثير وكانت هذه الإهتزازات توافقية تماماً. ففي حالة عدم وجود التأثير المتبادل، يمكن أن تنتقل الأمواج دون استطاره أي دون أن تلقى مقاومة. وعندما يوجد فرق في درجة حرارة طرفٍ مثل هذه البلورة، تهتز الذرات عند الطرف الساخن بساعات كبيرة وتنتقل طاقتها إلى الذرات المجاورة، وينتقل صدر الموجة الحرارية في البلورة بسرعة تساوي سرعة الصوت . وعندما لا تلقى الموجة الحرارية مقاومة يكون الفيض الحراري ملحوظاً حتى مع وجود فرق ضئيل في درجة الحرارة ويكون التوصيل الحراري متعاظماً إلى ما لا نهاية .

وتكون طبيعة الإهتزازات الذريّة في البلورات الحقيقية في درجات حرارة غير منخفضة كثيراً لا توافقية كما يوضحها الحد الثاني في المعادلة

$$U(x) = \beta x^{2/2} - g x^{3/3} \quad (49)$$

وتدمر اللاتوافقيّة استقلالية أنماط اهتزازات الشبكة مما يسبب حدوث تأثير متبادل بينهما من ناحية وتبادل الطاقة وتغيير اتجاه انتشارها (من خلال الاستطار المتبادل) من ناحية أخرى. وتتيح عمليات التأثير المتبادل بين الأمواج المرنة انتقال الطاقة من أنماط ذات تردد معين لأنماط ذات تردد آخر ، كما تجعل من الممكن ترسيخ حالة الاتزان الحراري للبلورة.

ويمكن وصف عملية الاستطارة المبادلة لأنماط السوية بدلالة الفونونات ، حيث يمكن النظر إلى البلورة المثاررة حراريا كصدق يحتوى على فونونات. وفي حالة التقريب التواافقى الذى يفترض فيه استقلالية الأنماط السوية ، تكون الفونونات بمثابة غاز مثالى (غاز لا يوجد تأثير متبادل بين فونوناته). وبعد الانتقال إلى الانماط اللاتواوفقية مكافئًا لادخال التأثير المتبادل بين الفونونات ، الذى يؤدى إلى انقسام الفونون إلى فونونين أو أكثر أو تكوين فونون من اتحاد فونونين أو أكثر. مثل هذه العملية تسمى استطارة الفونون. وتتميز احتماليتها كما في كل عمليات الاستطارة بالقطع العرضى الفعال للاستطارة σ_{ph} . وإذا كان الفونون من وجهة نظر عمليات الاستطارة بمثابة كره نصف قطرها r_{ph} ، فإن :

$$(50) \quad \sigma_{ph} = \pi r_{ph}^2$$

ويمكن لاستطارة الفونون - فونون أن يحدث فقط إذا اقتربت الفونونات لمسافة تسمح للمقاطع العرضى الفعالة للاستطارة بالتركيب. ونظر لأن الاستطارة ترجع إلى لاتواوفقية الاهتزازات الذرية ، فإنه يمكن وصفها عدديا بمعامل اللاتواوفقية g . وعنده يكون من الطبيعي افتراض أن نصف قطر المقطع العرضى الفعال للفونون يتاسب طرديا مع g ويكون $\sigma_{ph} \propto g^2$

وبمعرفة المقطع العرضى الفعال للاستطارة σ_{ph} ، يمكن حساب متوسط المسار الحر λ_{ph} للفونونات ، أى متوسط المسافة التى تنتقل فيها الفونونات بين أى استطارتين متتاليتين وتوضح الحسابات أن.

$$\lambda_{ph} = \frac{1}{n_{ph}} \sigma_{ph} \frac{1}{n_{ph} g^2}$$

(٥١)

حيث n_{ph} تركيز الفونونات

ومن نظرية الحركة للغازات نعلم أن الموصلية الحرارية

$$(٥٢) \quad K = \lambda v C_v / 3$$

حيث λ متوسط المسار الحر للجزيئات ، v سرعتها الحرارية ، C_v الحرارة النوعية للغاز تحت حجم ثابت.

وبتطبيق هذه العلاقة على الغاز الفونوني مع التعويض وعن C_v بالحرارة النوعية للبلورة (الغاز الفونوني) وعن λ بالرمز λ_{ph} وهو متوسط المسار الحر للفونونات ، وعن v بسرعة الصوت في البلورة (سرعة الفونونات) ، عندئذ نحصل على علاقة تعبر عن الموصلية الحرارية للشبيكة :

$$(٥٣) \quad K_{lattice} = v \lambda_{ph} C_v / 3$$

وبالتعويض عن λ_{ph} من المعادلة (٣) (٥١-٥) في المعادلة (٥٣-٥) ينبع أن

$$(٥٤) \quad K_{lattice} \propto v C_v / n_{ph} g^2$$

وفي مدى درجات الحرارة المرتفعة ، تمشياً من العلاقة $T \propto n_{ph} \propto$ نجد أن :

$$(٥٥) \quad K_{lattice} \propto v C_v / T g^2$$

ونظراً لأن C_v في هذا المدى لا تتوقف عملياً على درجة الحرارة ، فإن الموصلية الحرارية للشبيكة ستتناسب عكسياً مع درجة الحرارة المطلقة ، بما يتفق مع النتائج التجريبية. وتتضمن العلاقة

(٥٥) أيضاً معامل اللاتوافقيّة μ وسرعة الصوت c ، وهما يتوقفان على جسأة الروابط بين جسيمات الجامد. وتتأثر الروابط ذات الجسأة المنخفضة سرعات منخفضة ومعاملات لا توافقية مرتفعة إذ أن إضعاف الروابط يؤدي إلى زيادة ساعات الاهتزازات الحرارية (عند درجة حرارة معينة) ، وإلى زيادة اللاتوافقيّة. وتؤدي كل تلك العوامل تبعاً للعلاقة (٥٥-٥) إلى نقص في قيمة $K_{lattice}$. وهو ما تدعمه التجربة. ويوضح الجدول التالي قيم حرارة التسامي Q_s التي تعد قياساً لطاقة الترابط ، وللموصليّة الحراريّة للشبكة $K_{lattice}$ بعض البلورات التساهميّة الترابط التي لها شبكة معينة الشكل :

الunasite الماس والسلikon والجرمانيوم.

الجدول

$K_{lattice}$ (واط / متر - كلفن)	$Q_s \times 10^5$ (جول / مول)	المادة
550	71.23	الماس
137	46.09	السلikon
54	37.0	الجرمانيوم

نلاحظ في هذا الجدول أن نقص طاقة الرابطة من قيمتها للماس إلى قيمتها للسلikon ثم الجرمانيوم يكون مصحوباً بنقص الموصليّة الحراريّة للشبكة.

ويوضح التحليل التفصيلي أن $K_{lattice}$ تتوقف بشدة على الكتلة M للجسيمات حيث تقل بزيادة M . وهذا يوضح إلى حد كبير لماذا تكون الموصليّة الحراريّة للشبكة للعناصر الخفيفة التي تشغّل الجزء الأعلى من الجدول الدورى لمندليف (البورون، الكربون والسلikon) في حدود عدّة عشرات أو حتى عدّة مئات (واط / متر - كلفن). في حين أن القيم

المناظرة للعناصر التي تشغّل الجزء الأوسط من جدول مندليف لا تزيد عن بضعة واطات لكل (متر -كلفن) وأن القيم المناظرة للعناصر التي تشغّل الجزء السفلي من الجدول لا تتجاوز أجزاء من عشرة من الواط لكل متر لكل كلفن.

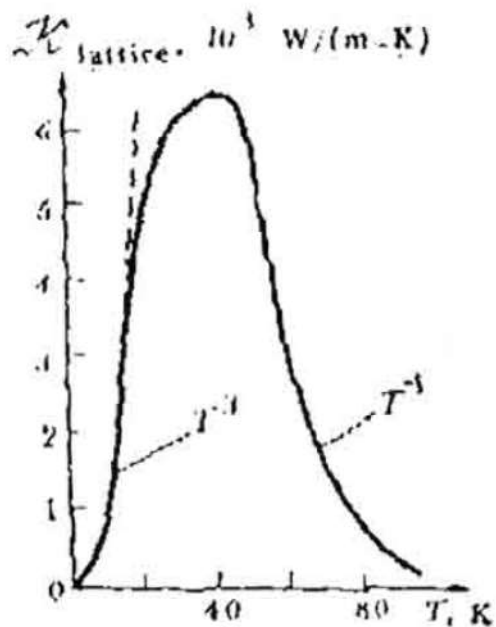
وثمة مظهر يثير الدهشة هو أن الموصولة الحرارية للشبكة في البلورات ذات الجسيمات الخفيفة والروابط الجاسنة تكون عالية جداً. ولهذا تكون الموصولة الحرارية لشبكة الماس أكبر من الموصولة الحرارية الكلية لأحسن الفلزات توصيلاً للحرارة ، الفضة $K_{Ag} = 407$ واط / (م - كلفن) ، وذلك عند درجة حرارة الغرفة.

وعند درجات حرارة أقل من درجة حرارة ديباي يوجد انخفاض حاد في تركيز الفونونات مع انخفاض درجة الحرارة مما يؤدي إلى زيادة حادة في متوسط المسار الحر لها ، بحيث أنه عند $T \leq \theta/20$ يصل متوسط المسار الحر إلى حد يمكن مقارنته بأبعاد البلورة. ونظراً لأن سطح البلورة بعد بمثابة عاكس رديء للфонونات ، فإن أي مزيد من الانخفاض في درجة الحرارة لن يؤدي إلى أي زيادة في λ_{app} ، لأنه يتغير فقط بأبعاد الشبكة.

وتتسع علاقة الموصولة الحرارية للشبكة بدرجة الحرارة في هذا المدى من درجات الحرارة من خلال علاقة الحرارة النوعية C_V بدرجة الحرارة.

ونظراً لأن T^3 في مدي درجات الحرارة المنخفضة ، فإن $K_{lattice}$ سوف تتناسب طردية مع T^3

$$(56) \quad K_{\text{lattice}} \propto T^3$$



الشكل (٦)

وهي نتيجة تتفق أيضاً مع التجربة ويوضح الشكل (٦) علاقة الموصولة الحرارية للياقوت الأزرق الصناعي في مدي درجات الحرارة المنخفضة تتناسب K_{lattice} مثلاً مع T^3 .

عندما ترتفع درجة الحرارة يزداد تركيز الفونونات n_{ph} وتزداد K_{lattice} ومع ذلك فإن أي زيادة في n_{ph} تكون مصحوبة بزيادة استطارة الفونونات - فونونات و كنتيجة لذلك يحدث نقص في متوسط المسار الحر للفونونات λ_{ph} يؤدي بدوره إلى نقص K_{lattice} . وعندما يكون تركيز الفونونات n_{ph} منخفضاً يكون العامل الأول هو السادس وبالتالي تزداد K_{lattice} مع ارتفاع درجة الحرارة T . ومع ذلك ، ومع

البدء بتركيز معين للفونونات معين يصبح العامل الثاني هو الأكثر أهمية وبالتالي فإنه بعد وصول $K_{lattice}$ إلى نهاية عظمى تأخذ $K_{lattice}$ في الانخفاض مع الاستمرار في ارتفاع درجة الحرارة. هذا النقص في الموصليّة الحراريّة للشبكة في مدي درجات الحرارة المرتفعة يتناسب تقريرياً مع

$$\frac{1}{T}$$

وفي حالة العازلات الأمورفية ، حيث يكون لحجم المناطق ذات التركيب المنتظم نفس رتبة المسافات بين الذريّة ، لا تختلف الصورة كثيراً. فالфонونات المستطرة عند حدود هذه المناطق ستكون هي العامل السائد في جميع درجات الحرارة ولهذا لن يتوقف λ_{ph} على درجة الحرارة T . وكنتيجة لذلك ، ستتناسب الموصليّة الحراريّة لمثل هذه العازلات الأمورفية مع T^3 في مدي درجات المنخفضة ، لكنها لا تتوقف على T في مدي درجات الحرارة المرتفعة. وهو ما نلاحظه من النتائج التجريبية.

ومع ذلك ، تظل النظرية حالياً قاصرة عن التنبؤ ليس فقط بالقيم الفعلية للموصليّة الحراريّة للشبكة بل وحتى رتبتها.

(٢) الموصليّة الحراريّة للفلزات:

Heat conductivity in metals

تنقل الحرارة في الفلزات - على خلاف العازلات - ليس فقط بالfononates بل وبالإلكترونات أيضاً. لهذا تكون الموصليّة الحراريّة بالfononates الحراريّة للفلزات هي مجموع الموصليّة الحراريّة للشبكة $K_{lattice}$ (الموصليّة بالfononates) والموصليّة الحراريّة الإلكترونيّة K_e (بالإلكترونات الحرية) :

$$(57) \quad K = K_{\text{lattice}} + K_e$$

ويمكن حساب الموصليّة الحراريّة لغاز الكتروني ، K_e ، بالاستعانة بالعلاقة (٥٢) ، بالتعويض في هذه العلاقة بالحرارة النوعيّة لغاز الكتروني ، C_e ، وسرعة الالكترونات عند سطح فيرمي ، V_F ، ومتوسط المسار الحر لها λ_e ، نحصل على :

$$(58) \quad K_e = C_e V_F \lambda_e / 3$$

وبالتعويض عن $C_e \approx \pi^2 N k_B \frac{k_B T}{2E_F}$ بما تساويه [] نحصل على

$$(59) \quad K_e = \text{Constand}$$

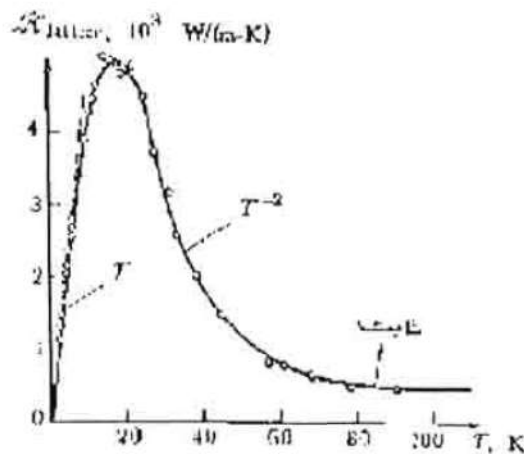
وسنحاول فيما يلى إيجاد العلاقة بين الموصليّة الحراريّة للفلزات النقيّة وبين درجة الحرارة.

• مدي درجات الحرارة المرتفعة.

عمليا ، ممن كل الكميات التي يتضمنها الطرف اليمين من العلاقة رقم (٥٨-٥) ، تتوقف λ_e فقط على درجة الحرارة T ، وفي الفلزات النقيّة وعند درجات حرارة ليست منخفضة جدا ، تتعين λ_e بواسطة استطارة الالكترون - فونون ، مع تساوي كل الظروف الأخرى ، تتناسب λ_e عكسيّا مع تركيز الفونونات : $\frac{1}{n_{ph}}$
وفي مدي درجات الحرارة المرتفعة فإن $n_{ph} \propto T$

وبالتعويض بهذا في العلاقة (٥٨) نجد أن

$$(60) \quad K_e = \text{constant}$$



الشكل (٧)

لهذا لا تتوقف الموصلية الحرارية للفلزات النقية في مدى درجات الحرارة المرتفعة على درجة الحرارة. وهذه حقيقة تجريبية. ويوضح الشكل (٧) المنحني التجريبي الذي يصف توقف K للنحاس على درجة الحرارة. ومنه نتبين أن الموصلية الحرارية للنحاس فوق 80-100 كلفن لا تتوقف، عملياً على درجة الحرارة.

مدى درجات الحرارة المنخفضة:

يصبح تركيز الفونونات في فلز ما بالقرب من صفر كلفن صغيراً إلى الحد الذي يرجع فيه الجزء الرئيسي من عمليات الاستطارة الالكترونية إلى ذرات الشوائب ، الموجودة في الفلز بعض النظر عن درجة نقاوته.

في هذه الحالة فإن متوسط المسار الحر الالكتروني $\frac{1}{N} \alpha_i$

(N تركيز ذرات الشوائب) ، لا يلبي أن يتوقف على درجة الحرارة وتصبح الموصلية الحرارية لفلز متناسبة مع درجة الحرارة.

$$(61) \quad K_e \propto T$$

و هذه حقيقة تجريبية.

وسنحاول باستخدام المعادلة (٦١) حساب قيمة K_e لبعض

الفلزات. للفلزات النموذجية:

$$C_e \approx 0.01 C_V \approx 3 \times 10^4 \text{ J/(m}^3\text{-K)}$$

$$v_F \approx 10^6 \text{ m/s}, \lambda_e \approx 10^{-8} \text{ m}$$

بالتعميض في المعادلة (٥٧) نحصل على K_e حيث تكون :

$$K_e \approx 10^2 \text{ W / (m-k)}$$

لهذا ، تبلغ K_e للفلزات عدة مئات واط لكل متر لكل كلفن. وهو ما تجسده النتائج التجريبية ويوضح الجدول التالي الموصلية الحرارية لبعض الفلزات مقاسة عند درجة حرارة الغرفة وكذلك لاحدي السبائك ، و (الكونستانتان) التي تتكون من 60% نحاس و 40% نيكل .

الجدول

$K w/(m-k) $	الفلز	$K w/(m-k) $	الفلز
210	الألومنيوم	403	الفضة
60	النيكل	384	النحاس
23	الكونستانتان	296	الذهب

وسنحاول فيما يلى حساب مقدار ما تسهم به الموصلية الحرارية لفلز باستخدام العلاقات (٥٣) و (٥٦).

$$(62) \quad \frac{K_{lattice}}{K_e} = \frac{C_e v \lambda_{ph}}{C_e v_F \lambda_e}$$

حيث v سرعة الفونون (سرعة الصوت) للفلزات النقيّة $\approx 0.01 \frac{c}{c_v}$
 $\lambda_e \approx 10^{-8} \text{ m}$ ، $v_F \approx 10^6 \text{ m/s}$ ، $\lambda_{ph} \approx 10^{-9} \text{ m}$ ، $v = 5 \times 10^3 \text{ m/S}$ ،
عندئذ تكون :

$$\frac{K_{lattice}}{K_e} = 5 \times 10^{-2}$$

مما سبق نتبين أن الموصلية الحرارية للفلزات النموذجية ترجع كلية إلى الموصلية الحرارية لغازها الإلكتروني ، إذ أن الموصلية الحرارية للشبكة لا تسهم بأكثر من نسبة مئوية ضئيلة.

ومع هذا ، تختلف الصورة كثيراً إذا انتقلنا من الفلزات إلى السبائك الفلزية ، حيث تكون الاستطاره بذرات الشوائب هي آلية الاستطاره الرئيسية. ويتناسب متوسط المسار الحر للإلكترونات في هذه الحالة تابعاً عكسياً مع تركيز الشوائب (α/Ni) ، ولتركيزات شوائب عالية قد يصبح متوسط المسار الحر للإلكترون مساوياً متوسط المسار الحر للفونونات ($\lambda_{ph} \approx \lambda_e$). وفي مثل هذه الحالة عادة تكون الموصلية الحرارية الإلكترونيّة مساوياً تقريباً الموصلية الحرارية للشبكة ، $K_e \approx K_{lattice}$ وهو ما تؤكده التجربة. ويتبين من الجدول السابق أن الموصلية الحرارية لكونستانتان أقل كثيراً من تلك للنيكل أو النحاس. وهذا يؤكد أن استطاره الإلكترونيات في الكونستانتان ترجع بالدرجة الأولى إلى عيوب الشبكة الناتجة عن ذرات الشوائب.

أسللة وتمارين:

- ١ - أ) مستعينا بالرسم وضع هيئات الاهتزاز العادي في الشبكة واستنتاج قيمة النهاية العظمى للتردد الزاوي.
ب) إذا كان بارامترا شبكة النحاس هو 10×3.6 مترا وسرعة الصوت فيه هي 3550 م/ث احسب النهاية العظمى للتردد الزاوي .
- ٢ - بين كيف تستنتج علاقة تستخدم لتعيين تردد ديباي .
- ٣ - اشرح المقصود بالفونونات.
- ٤ - ما هي السعة الحرارية للجوامد موضحاً كيف أن متوسط طاقة كل هيئة من هيئات الاهتزاز العادي تتناسب طردياً مع درجة الحرارة T في مدى درجات الحرارة المنخفضة.
- ٥ - استنتاج قانون T^3 لديباي وذلك في مدى درجات الحرارة المنخفضة .
- ٦ - استنتاج قانون ديلنج وبته الذي يعبر عن السعة الحرارية لجامد في مدى درجات الحرارة المرتفعة.
- ٧ - اشرح بإيجاز السعة الحرارية لغاز الكترونى.
- ٨ - اشرح كيف يمكنك تفسير التمدد الحراري للجوامد.
- ٩ - استنتاج علاقة للموصلية الحرارية لشبكة :
 - أ) في مدى درجات الحرارة المنخفضة.
 - ب) في مدى درجات الحرارة المرتفعة.
- ١٠ - مستعينا برسم بياني مناسب أوجد الموصولة الحرارية للفلزت.
 - أ) في مدى درجات الحرارة المرتفعة.
 - ب) في مدى درجات الحرارة المنخفضة.

- ٦) استنتاج تعبيراً للكتلة الفعالة للإلكترون في شبكة بلورية .
- ٧) بيان كيف أن منسوب طاقة فيرمي يتوسط المسافة الفاصلة التي تمثل المنطقة الممنوعة أو الفراغ الطافى فيما بين قمة التكافؤ وقاع منطقة التوصيل .
- ٨) اثبّت أنه في شبكة بلورية بسيطة مربعة (ذات بعدين) تكون طاقة الإلكترون حر عند أحد أركان منطقة بريلوا الأولى أكبر من نظيرتها عند منتصف الوجه لهذه المنطقة بمقدار الضعف
- ٩) ماذا تكون عليه قيمة النسبة السابقة في حالة شبكة بسيطة مكعبة (ثلاثية الأبعاد)
- ١٠) بيان كيف يتغير موضع منسوب فيرمي في شبه موصل سالب بارتفاع درجة حرارته.

الباب الرابع

الموصليّة الكهربائيّة للجوامد

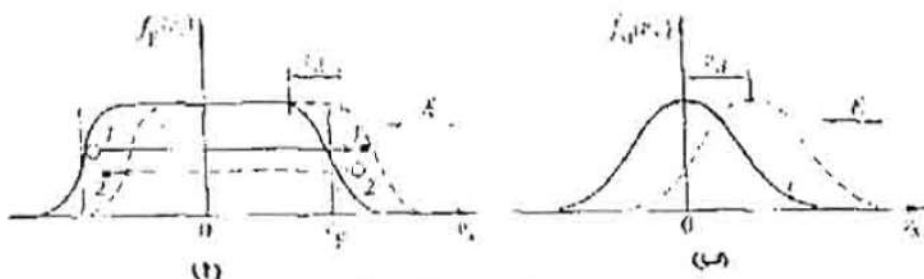
الباب الرابع

الموصليات الكهربائية للجود

Electrical conductivity of solids

(٤-١) حالة إتزان الغاز الإلكتروني في موصل في حالة عدم وجود مجال كهربائي :

يكون الغاز الإلكتروني في موصل في حالة عدم وجود مجال كهربائي في حالة إتزان ، يمكن وصفها بدوال التوزيع في الغاز المنحل تكون الدالة المناسبة هي دالة توزيع فيرمي كما في الشكل (١أ) ولغاز



الشكل (١)

غير منحل دالة توزيع ماكسويل - بولتزمان كما في الشكل (١ ب) أو نرى من الشكل (١) أن الرسوم التخطيطية لتلك الدوال تكون متتماثلة حول المحور الرأسى ويشير هذا إلى حقيقة أن عدد الإلكترونات حول المحور في موصل ما في اتجاهين متضادين تكون دائمًا متساوية وأن سرعتها المتوسطة التي تتحرك بها في أي اتجاه تساوى صفر . يفسر هذا عدم وجود تيار كهربائي في الموصل (في حالة عدم وجود المجال) بغض النظر عن عدد الإلكترونات الحرة الذي يحتويها .

ويتم الحصول على حالة إتزان الغاز الإلكتروني كنتيجة للتأثير المتبادل بين هذه الإلكترونات وعيوب الشبكة ، أن هذا التأثير المتبادل يكون مصحوباً بغيرات في الطاقة وكمية التحرك وتشتمل مثل هذه العيوب الاهتزازات الحرارية للشبكة (الفونونات) ، عيوب الشبكة وذرات الشوابن . ويظهر هذا التأثير المتبادل في استطارة الإلكترونات في حركتها العشوائية في الموصل

(٤ - ٢) انزياح الإلكترون في مجال كهربى

عندما يؤثر مجال كهربى E على موصل يتولد تيار كهربى كثافته تبعاً لقانون أوم هو :

$$(1) \quad J = \sigma E$$

نـ عامل التناسب σ يسمى التوصيل النوعى للموصل أو الموصليـة .

وأبعادها هي : $\Omega^{-1} \cdot \text{م}^{-1}$ أو $\text{أم}^{-1} \cdot \text{م}^{-1}$ أو سيمون M^{-1}

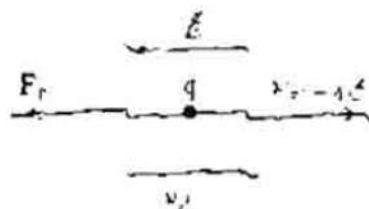
وتكون الموصليـة الكهربـية للموصـلات الجـيدة فـي حدود $\sigma = 10^7 \text{ to } 10^8 \Omega^{-1} \cdot \text{m}^{-1}$ فى حين σ لـلـعـازـلات الجـيدة $= 10^{13} \text{ to } 10^{14} \text{ Am}^{-1} \cdot \text{m}^{-1}$ ويـكون من المـنـاسـب غالباً استـخدـام المـقاـوـمة النـوعـية بدلاً من التـوصـيل النـوعـى

$$(2) \quad \rho = \frac{1}{\sigma}$$

٤٢ وتقاس المقاومة النوعية بوحدات أوم .م ، في
 الفائزات $\rho = 10^{-8} - 10^{-7}$ أوم .م وللعزالات $\rho = 10^{13} - 10^{14}$ أوم .م

وسريان التيار الكهربى فى موصل يعد دليلاً على أن
 الإلكترونات الواقعة تحت تأثير مجال كهربى تبدأ الحركة فى اتجاه
 معين وأن دوال التوزيع لها تعانى من تغير ، مثل هذه الحركة
 الموجهة تسمى انزياح Drift وأن السرعة المتوسطة لهذه الحركة
 تسمى سرعة الانزياح v_d وسنحاول حسابها فيما يلى :

الشكل (٢)



* من المعروف أن القوة التى يؤثر بها المجال على
 الإلكترون والموضحة فى الشكل (٢) هي :

$$F = -e E$$

وتحت تأثير هذا المجال سيسارع الإلكترون وستتمو سرعته
 باستمرار ، لكن فى حركته يتصادم الإلكترون مع عيوب الشبكة
 ونتيجة للإنتظام يفقد جانباً من سرعته الذى اكتسبها تحت تأثير
 المجال ، ويمكن التعبير عن تأثير الشبكة بتأثير قوى المقاومة F_r الذى

تعوق حركة الإلكترونات خلال الشبكة . هذه القوة تتناسب طردياً مع
ـ v_d فى اتجاه معاكس لها

$$(3) \quad F_r = - \frac{1}{\tau} m_n v_d$$

وسيتضح المعنى الفيزيائى لعامل التتناسب (τ) بعد قليل و m_n هي الكتلة الفعالة للإلكترون باستخدام المعادلة (٣) يمكننا كتابة الموجة إلى الإلكترون في الشبكة على النحو التالي:

$$(3) \quad m_n \frac{dv_d(t)}{dt} = - e \epsilon - \frac{1}{\tau} m_n v_d(t)$$

نرى من المعادلة (٣) أنه بعد تأثير المجال ستزداد سرعة الحركة الموجهة للإلكترونات . وتسارع الإلكترونات حتى تتساوى قوى المقاومة F_r مع القوة F التي يؤثر بها المجال على الإلكترونات

$$F_r \propto v_d(t)$$

عندما تصبح هذه القوى متساوية تتلاشى القوى المحصلة المؤثرة على الإلكترون ويختفي التسارع الذي يتحرك به من هذه اللحظة تكون الحركة الموجهة للإلكترون بمثابة سرعة ثابتة

$$(4) \quad v_d = - \frac{e \epsilon \tau}{m_n}$$

نظراً لأن شحنة الإلكترون سالبة يكون إنتزاعه في اتجاه معاكس للمجال ϵ

وتسمى النسبة بين سرعة الانزياح وشدة المجال الكهربى باسم
حركية حاملات الشحنة

$$(5) \quad \mu = \frac{v_d}{\epsilon} = \frac{e \tau}{m_0}$$

للإلكترونات $\mu_e > \mu_m$ ، وللثقوب $\mu_h > \mu_e$

وتبعاً للمعادلة (٤) فإن سرعة الانزياح في المجال الكهربى شدته ثابتة تظل هي الأخرى ثابتة . وهذا ممكناً فقط إذا كانت القوة $F = e \epsilon$ التي يؤثر بها المجال على الإلكترون و هذه يمكن معادلتها بقوة المقاومة F_r ، إذا تحركت الإلكترونات في الاتجاه المضاد للمجال في شبكة منتظمة فإن سرعة الانزياح ستتمو تدريجياً حتى تصل إلى قيمة كبيرة جداً حتى في المجالات الضعيفة في مثل هذه الشبكة ستنتشر دون أي تخميد كما في موجات الضوء التي تنتشر في وسط شفاف ضوئي . نظراً لأن مقاومتها ستتلاشى .

(٤ - ٣) زمن الاسترخاء (τ) ومتوسط المسار الحر (L)
يمكن التعرف على المعنى الفيزيائى للمعامل τ إذا فرضنا أن سرعة الحركة الموجهة للإلكترون تظل عند قيمة ثابتة v_d وتمت إزالة المجال E نجد أنه بسبب اصطدامات الإلكترونات مع عيوب الشبكة ستبدأ هذه السرعة في التناقص ويعود الغاز الإلكتروني إلى حالة إتزانه مثل هذه العمليات المؤدية إلى ظهور الإتزان في نظام ما تسمى عمليات الاسترخاء .

وبوضع $eE = 0$ في المعادلة (٣) نحصل على معادلة تصف عودة الغاز الإلكتروني إلى حالة الإتزان أي عملية الاسترخاء

$$(6) \frac{dv_d(t)}{dt} = -\frac{1}{\tau} v_d(t)$$

بتكمال المعادلة (٦) نحصل على معادلة (٧)

$$(7) v_d(t) = v_{d0} e^{-\frac{t}{\tau}}$$

حيث (١) سرعة الحركة الموجهة للإلكترونات ، t الزمن
بعد إزالة المجال .

ومن المعادلة (٧) نجد أن τ تميز المعدل الذي يتم به الحصول على حالة اتزان النظام : كلما قل τ كلما أسرع النظام المثار في العودة إلى حالة الإتزان وتقل سرعة الحركة الموجهة للإلكترون خلال الزمن $\tau = 1$ (الذى يتنافض بمقدار الدالة الأسيّة $e^{-t/\tau}$) اي بمقدار $(e = 2.7$ مره) ويطلق على الزمن τ اسم زمن الاسترخاء ، زمن الاسترخاء τ للفلزات النقيّة يساوى تقريباً 10^{-11} ثانية . ويمكن وصف حركة الإلكترونات في بلورة بالاستعانة بمفهوم متوسط المسار الحر . فالتماثل مع نظرية الحركة في الغازات يتبيّح افتراض أن الإلكترون في بلورة يتحرك في خط مستقيم حتى يقابل أحد عيوب البلورة عندها يستطرد ويتخذ المسافة المتوسطة λ التي انتقل خلالها الإلكترون بين عمليتي استطارة متتاليتين) كمتوسط المسار الحر للإلكترون .

ونتساءل إذا كان الإلكترون يفقد حركته الموجة تماماً بعد حالة استطارة مفردة عائداً إلى حالته الأولى في الحركة العشوائية سيكون متوسط المسار الحر له ببساطة هو حاصل ضرب السرعة المتوسطة وزمن الاسترخاء أي

$$(8) \quad \lambda = v \tau$$

ومع ذلك فإن استطارة واحدة لا تكفي وإن كان عدد من الاصطدامات n يكون ضرورياً لابطال الحركة الموجة تماماً. فبعد عدد من التصادمات n ، فإن كل أثار الارتباط بين السرعات الابتدائية والنهائية للإلكترون . ستحتفى ويسمى الزمن الذي تصبح فيه الحركة الموجة للإلكترونات عشوائية باسم زمن الاسترخاء ومع ذلك سيكون متوسط المسار الذي ينتقل فيه الإلكترون خلال الزمن τ لا يساوى λ لكن

$$(9) \quad l = \lambda \gamma = v \tau$$

فالمقدار l يسمى متوسط المسار الحر للانتقال ومن المعادلة (9) نجد أن :

$$(10) \quad \tau = v / \gamma$$

وظهور انزياح حاملات الشحنة الحرة الناتجة عن تيار كهربى تعد دلالة على أن المجال الكهربى E يغير توزيع الإلكترونات الحرة على المستويات أى يغير شكل دالة التوزيع $f(E)$ نظراً لأن دالة توزيع حالة الإتزان $f_0(E)$ لا يمكن أن تكون سبباً لهذا التيار . الخطوط المتقطعة في الأشكال (1-أ ، ب) توضح الرسوم التخطيطية لدواو

توزيع الإلكترونات بعد ظهور سرعة الانزياح الثابتة ويمكن من الشكل

(١) أن نتبين تأثير المجال E على دوال توزيع الإلكترونات على المستويات يظهر في إزاحة التوزيع الكلى بمقدار $v_d = eE / \tau m_e$ في الاتجاه المعاكس للمجال E . وبسبب فقدان دوال التوزيع لتماثلها حول المحور الرأسى وبسبب أن السرعة المتوسطة للإلكترونات فى اتجاه المحور x ستنتهي في النهاية إلى الصفر ، يمكن بسهولة بيان أن السرعة المتوسطة في هذه الحالة ستتساوى سرعة الانزياح v_d

(٤ - ٣ -) الموصلية الكهربية لموصل

بمعرفة سرعة انزياح الإلكترونات v_d يمكن بسهولة حساب

الشكل (٣)



كثافة التيار والتوصيل النوعى لموصل لذلك نتصور أسطوانة مساحة

مقطوعها πr^2 وطولها L ووجهة على امتداد اتجاه الانزياح الشكل

(٣) جميع الإلكترونات داخل هذه الأسطوانة ستمر خلال ثانية واحدة خلال قاعدة الأسطوانة المظللة على هيئة تيار كهربى كثافته .

$$(11) \quad J = ev_d \sigma = en\mu E$$

بمقارنة المعادلتين (١١) ، (١) نحصل على المعادلة

$$(12) \quad \sigma = en\mu$$

وبالتعويض عن μ من المعادلة (٥) وعن α من المعادلة (١٠)
نحصل على المعادلة :

$$(13) \quad \sigma = \frac{ne^2}{m_n} \tau = \frac{ne^2}{m_n} \frac{\lambda\gamma}{v}$$

(٤-٤) الموصلية الكهربائية في غازات منحلة منحل :

لم نميز حتى الآن بين الغاز الإلكتروني المنحل والغاز الإلكتروني غير المنحل . وسنحاول أن نرى كيف تؤثر حالة الغاز في موصليته الكهربائية للغاز الإلكتروني غير المنحل ثم الغاز الإلكتروني المنحل .

الغاز غير المنحل :

في حالة غاز غير منحل فإن نطاق التوصيل يكون مشغولاً بال الإلكترونات . وهذا لا يجعلها تقترب من بعضها البعض مما يؤدي إلى عدم خضوع سلوكها لمبدأ الاستبعاد الباولي . فالإلكترونات هنا حرّة تماماً حتى أن حركة أحدها لا تتأثر بشكل ملحوظ بحركة الإلكترونات الأخرى . لهذا فإن كل الإلكترونات التوصيل لغاز غير منحل تسهم بجزء مستقل في التيار الكهربى وفي الموصليّة الكهربائية لموصل . ولهذا السبب لا بد وأن تحتوى المعادلتان (١٣) ، (٥) للموصليّة الكهربائية لغاز غير منحل ولحركة الإلكترونات ومتوسط المسار الحر ومتوسط عدد التصادمات v والسرعة المتوسطة لحركته U ومتوسط المسار الحر ومتوسط زمن الاسترخاء τ لكل

الإلكترونات الحرارة التي تم الحصول عليها بإيجاد متوسطها خلال المنظومة ككل .

وإذا أخذنا ما سبق في الحساب يمكننا كتابة العلاقات المعتبرة عن حركة الإلكترون والموصية الكهربائية لغاز غير منحل كما يلى :

$$(5) \quad \mu = \frac{\tau e}{m_n} = \frac{e}{m_n} \frac{\lambda \gamma}{U}$$

$$(13) \quad \sigma = \frac{ne^2}{m_n} \tau = \frac{ne^2}{m_n} \frac{\lambda \gamma}{U}$$

غاز منحل α

حالة الغاز المنحل مختلفة إذ يمكن من الشكل (١-١) أن نرى أنه لغاز منحل فإن جميع مناسب الكم إلى يسار U_F تكون مشغولة بالإلكترونات . وبسبب ذلك يمكن لمجال خارجي أن يؤثر فقط على الإلكترونات المجاورة لمنسوب فيرمي رافعاً إياها إلى مناسب الأعلى الخالية لحركتها من المناطق التي تقع على يسار التوزيع إلى المناطق التي تقع على يمينه كما يتضح ذلك من المنحنى ١١ وهذا يعني أنه لغاز منحل يمكن أن تسهم الإلكترونات التي تقع في حيز منسوب فيرمي في الموصية الكهربائية لهذا لابد أن يأخذ المرء زمن الاسترخاء في العلاقة (٥) ، (٣) للإلكترونات التي طاقتها تساوى عملياً طاقة فيرمي ولنرمز له بالرمز τ .

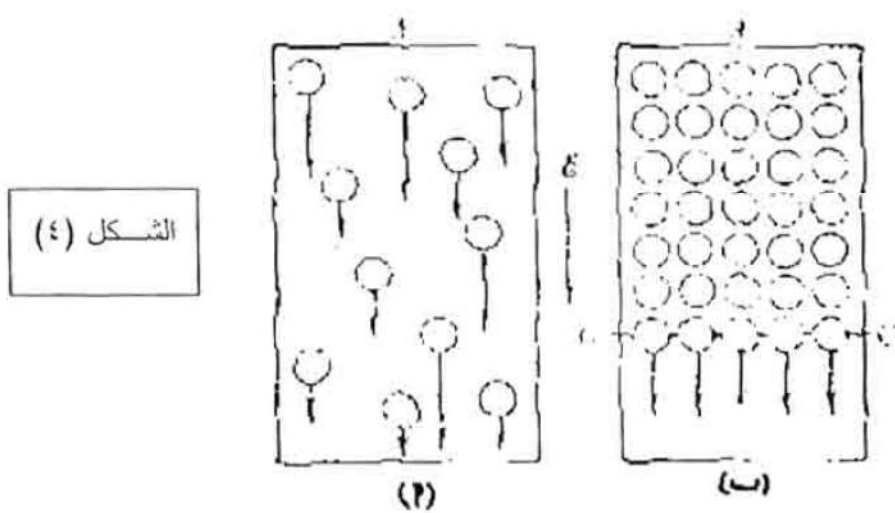
بالتعويض عن τ بدلاً من τ في (١٠)، (٥) نحصل على العلاقات التالية المعبرة عن حركة الإلكترونات والموصلية الكهربائية لغاز منحل

$$(10) \quad \mu = \frac{e\tau_F}{m_n} = \frac{e\lambda_F \gamma_F}{v_F}$$

$$(\text{F}) \quad \frac{e^2 n}{m_n} \sigma = \frac{e^2 n}{m_n} \tau_F = \frac{\lambda_F \gamma_F}{v_F}$$

حيث λ هي متوسط المسار الحر للإلكترونات وطاقته تساوى طاقة فيرمى v_F سرعته و γ عدد التصادمات الذى بعدها تصبح الحركة الموجة لمثل هذه الإلكترونات عشوائية . ونتعرض هنا إلى تماثل ميكانيكى لشرح السلوك المختلف لغاز الكترونى غير منحل ولغاز الكترونى منحل فى حالة عدم وجود المجال .

نتصور كرات مشحونة صغيرة (جسيمات) عائمة على سطح الماء في إباء مستوً أفقياً وهو الوعاء A وتحرك حركة عشوائية بسرعات مختلفة في حالة عدم وجود تيار كهربائي بشكل (e) ولنضع



الآن هذا الوعاء تحت تأثير مجال خارجي E . تأثير المجال على منظومة هذه الكرات ككل يتوقف على كيفية رص هذه الكرات على سطح الماء . وإذا كان عدد الكرات صغيراً بحيث كانت المسافات بينها كبيرة فإن كل منها سيتحرك بحرية وسوف لا يتدخل مع حركة الكرات المجاورة في الشكل (٤ أ) . في هذه اللحظة فإن حركة المنظومة ككل سوف تتحدد بمتوسط بارامترات الحركة للجسيمات المستقلة (السرعة المتوسطة v بزمن الاسترخاء المتوسط τ ومتوسط المسار الحر λ )

وإذا كانت الكرات متراصة وقريبة من بعضها البعض بحيث لا يوجد مكان لأى كرات أخرى بالوجود فوق سطح الماء عندئذ تكون حركة المنظومة ككل تحت تأثير المجال E ستعين بواسطة حركة الطبقات السفلية من هذه الجسيمات (CC) التي تفصل الأماكن المشغولة عن الأماكن الفارغة ، الشكل (٤ ب) ، بالتحديد بواسطة سرعة تلك الجسيمات v وزمن الاسترخاء τ ومتوسط المسار الحر λ ... في الغاز الإلكتروني المنحل فإن جزءاً من هذه الطبقة يمثل الإلكترونات المجاورة لمنسوب فيرمي الذي يفصل المناسيب المشغولة عن تلك الخالية .

(٤-٥) قانون فيدمان - فرانز - لورانتز
Wiedemann - Franz - Lorentz Law

من المعروف أن انتقال شحنة كهربية في مجال كهربى ليست النتيجة الوحيدة لوجود الغاز الإلكتروني في جامد ، فثمة انتقال آخر

هو الانتقال الحراري تحت تأثير منحدر في درجة الحرارة . ولهذا السبب يكون طبيعياً أن تتوقع أن الموصلية الكهربائية والموصلية الحرارية لجامد ستكونان مرتبتين إحداهما بالأخرى . هذا الارتباط تم اكتشافه عملياً أول الأمر بواسطة فيدمان وفرانز وتم شرحه نظرياً بواسطة لورانتز في حالة الفلزات وأوضحاً أن النسبة بين الموصلية الحرارية K لفلز والموصلية الكهربائية σ تتناسب مع درجة الحرارة المطلقة

$$(14) \quad K/\sigma = LT$$

وتعتبر المعادلة (٤) هي جوهر قانون فيدمان فرانز لورانتز وعامل التتناسب L يسمى عدد لورانتز . ويمكن بسهولة الحصول على قانون فيدمان فرانز لورانتز إذا استخدمنا العلاقات الدالة على σ ، K ، المستنيرة من نظرية الإلكترونات الحرة في الفلزات وبقسمة المعادلة .

$$K = \frac{\pi^2}{3} \frac{Nk_B^2}{m_e v_F} \lambda_e T$$

المعبر عن الموصلية الحرارية لفلز على المعادلة (١٣)
نحصل على المعادلة (١٥)

$$(15) \quad \frac{k}{\sigma} = \frac{\pi^2}{3} \left(\frac{k_B}{e} \right)^2 T$$

وبمقارنة المعادلتين (٤) ، (١٥) نجد أن القيمة النظرية لعدد لورانتز هي :

$$(16) \quad L = \frac{\pi^2}{3} \left(\frac{k_B}{e} \right)^2 = 2.45 \times 10^{-8} \text{ W-ohm-} K^{-2}$$

ويوضح الجدول (١) القيمة العملية لعدد لورانتر لبعض الفلزات النقية عند صفر درجة سيلزيوس ونرى فيه أن القيمة النظرية لهذا العدد تتفق مع القيمة العملية .

جدول (١)

	Ag	Au	Cd	Cu	Ir	Mo	Pb
$L \left(10^8 \text{W-ohm-K} \right)$	2.31	2.35	2.42	2.23	2.49	2.61	2.47

وفي أشباه الموصلات غير المنحلة فإن الموصلية الحرارية لا تتوقف بالكامل على الإلكترونات إذ يرجع جزء منها إلى موصلية الشبكة . ومع ذلك فإن المركبة الإلكترونية للموصلية الحرارية في أشباه الموصلات تخضع لقانون فيدمان فرانز لورانتر . الفرق الوحيد هو أن عدد لورانتر يتعين من العلاقة التالية

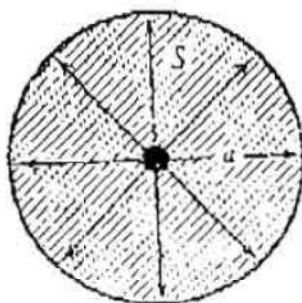
$$L = 2 \left(\frac{k}{e} \right)^2 \quad (١٧)$$

(٤ - ٦) توقف حركة حاملات الشحنة على درجة الحرارة
نأخذ في هذه الحالة مدى درجة الحرارة المرتفعة ومدى درجة
الحرارة المنخفضة .

مدى درجة الحرارة المرتفعة :

في مدى درجة الحرارة المرتفعة فإن الجزء السادس يرجع إلى استنطارة الإلكترونات على اهتزازات الشبكة (الفونونات) وتهتز كل ذرة في الشبكة عشوائياً حول موضع إتزانها بالشكل (٥) التي تظل داخل كرة نصف قطرها يساوى سعة الاهتزاز

الشكل (٥)



(a) ، مقطع هذه الكرة $S = \pi a^2$ يمكن أن يتخذ كمقطع لإستطارة الذرة المهتزة : الإلكترون المتحرك في الموصل يمكن أن يدخل إلى أحد هذه الأقراص وعندها يستطار .

وتحمة شرط آخر يتمثل في أن احتمالية دخول الإلكترون في مثل هذا القرص تتناسب طردياً مع مساحة المقطع بينما يتتناسب متوسط المسار الحر للإلكترون عكسياً مع مساحة المقطع $\frac{1}{\lambda} \approx \alpha \frac{1}{a^2}$ وتناسب طاقة الذرة المهتزة طردياً مع مربع السعة $E \propto a^2$.

ومن الناحية الأخرى تتناسب السرعة المتوسطة للذرات المهتزة في جامد مع درجة الحرارة المطلقة له T أي أن $E \propto T$ لهذا فإن متوسط المسار الحر للإلكترونات الذي يرجع إلى الاهتزازات الحرارية للشبكة يتتناسب عكسياً في مدى درجات الحرارة المختلفة مع درجة الحرارة المطلقة للجسم .

$$(18) \quad \lambda \propto 1/T$$

هذه النتيجة يمكن الحصول عليه مباشرة إذا أخذنا في الاعتبار أن تركيز الفونونات في موصل في مدى درجات الحرارة المرتفعة يتاسب طردياً مع T أي أن:

$$n_{ph} \propto T$$

وعند استطارة الإلكترون فونون سوف يتاسب متوسط المسار الحر للإلكترون عكسياً مع تركيز الفونونات وبالتالي يتاسب عكسياً مع درجة الحرارة المطلقة T أي أن

$$\lambda \propto \frac{1}{T}$$

من ناحية أخرى فإن متوسط كمية تحرك الفونون في مدى درجات الحرارة المرتفعة يكون كبيراً إلى الحد أن تصادماً واحداً لإلكترون مع فوتون (أى أن عند $\nu = 1$) تظهر عملياً في فقد الكل في السرعة الأولية للإلكترون. بالتعويض من المعادلة (١) في المعادلة (٥) والمعادلة (٦)

ويوضع $\nu = 1$ نحصل على العلاقات التالية لحركة الإلكترون

لغاز غير منحل

$$(19) \quad \mu \propto \frac{\bar{\lambda}}{v} \propto \frac{T^{-1}}{T^{1/2}} = T^{-3/2}$$

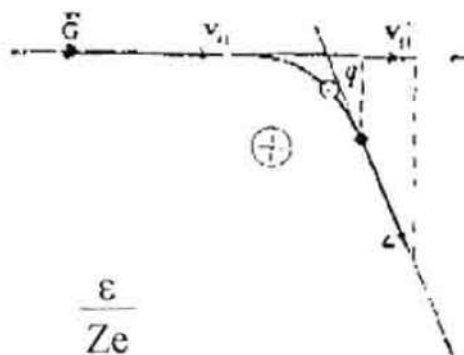
ولغاز منحل

$$(20) \quad \mu \propto \frac{\lambda_0}{v_F} \propto \frac{T^{-1}}{\text{constant}} \propto T^{-1}$$

لذلك فإنه في مدى درجات الحرارة المرتفعة حيث يكون التأثير السادس الاستطارة بالفونونات (اهتزازات الشبكة) فإن حركة حاملات الشحنة (للاكترونات أو الفجوات) في غاز غير منحل تتناسب عكسيًا مع $T^{3/2}$ وفي غاز منحل تتناسب عكسيًا مع T . في هذه اللحظة يمكن التمييز بين سلوك الغاز الإلكتروني غير المنحل والغاز الإلكتروني المنحل.

مدى درجات الحرارة المنخفضة

في مدى درجات الحرارة المنخفضة فإن التأثير السادس يتمثل في الاستطارة بذرات الشوائب المتأينة وأالية عملية الاستطارة بواسطة أيونات الشوائب تؤدي إلى انحراف الإلكترونات المارة بجوارها لذلك تقلل من سرعتها في الاتجاهات الأصلية وكما في الشكل (٦) فإن



الشكل (٦)

$$\frac{e}{Ze}$$

سرعة الإلكترون في اتجاه المجال تكون v_0 قبل انحرافها بواسطة الأيون الشحون بشحنة موجبة وبعد الانحراف تهبط إلى v_1 ونفترض العلاقة التي تم الحصول عليها بواسطة رذوفورد عند دراسته لاستطارة جسيمات ألفا بواسطة نوى العناصر الكيميائية هي :

$$(21) \quad v \propto \gamma^4 \cdot \frac{e}{ze} \cdot m_n$$

حيث (v) هي سرعة الإلكترون v هي ثابت العزل للبلورة و Ze الشحنة على الأيون المستطار.

عندما ترتفع قيمة سرعة الإلكترون إلى حد كبير وكذلك كتلته الفعالة m_n وعامل توهين شدة المجال في البلورة (عندما تكون قيمة γ مرتفعة هي الأخرى) وعندئذ يقل عدد الإلكترونات التي تحرف عن مسارها الأصلي يقل وكذلك يقل عدد التصادمات المطلوبة كي يتحرك الإلكترون حركته العشوائية. وستنخفض السرعة v بوضوح مع زيادة الشحنة على الأيون المستطار. ومن ناحية أخرى فإن متوسط المسار الحر للإلكترونات المستطار بواسطة ذرات الشوائب المتآينة يتاسب عكسياً مع تركيزها وإن كان لا يتوقف على درجة الحرارة

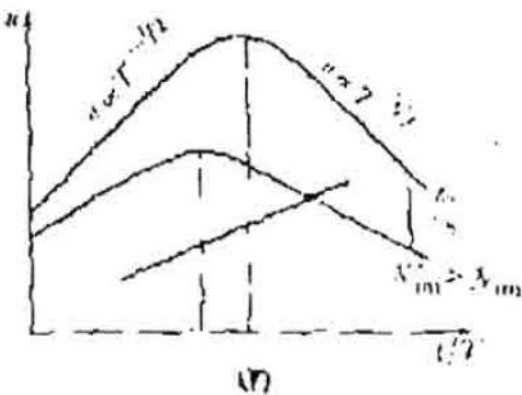
وإذا أخذنا هذا في الحسبان نحصل بالتعويض عن v من المعادلة (23)
في المعادلتين (٥)، (٦) على

١٤٤ لغاز غير منحل

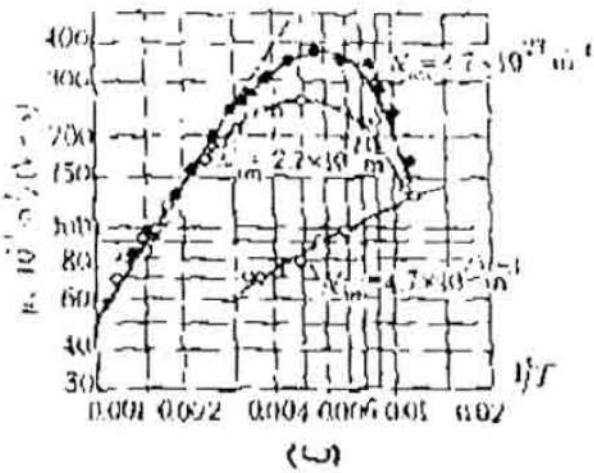
$$(22) \quad \mu \propto \frac{\bar{\gamma} \bar{\lambda}}{v} \propto \frac{1}{v^3} \propto T^{-3/2}$$

$$(23) \quad \mu \propto \frac{\gamma_F \lambda_F}{v_F} \propto v_F^{-3} = \text{constant} \quad ١٤٥ \quad \text{ولغاز منحل}$$

لذلك تتناسب حركات الإلكترون المستطار بواسطة ذرات الشوائب طردياً مع T^3 في مدى درجات الحرارة المرتفعة بالموصلات التي تحتوى على غاز الكترونى غير منحل لكنها لا تتوقف على T في حالة الموصلات التي تحتوى على غاز الكترونى منحل . ويوضح شكل (أ) ، توقف الحركة μ على درجة الحرارة لغاز غير منحل ويوضح الشكل (ب) المنحنى التجربى $(T) \mu = f(T)$ للسيلىكون ويتضح بصفة عامة من الشكل (أ) أن التجربة كل تدعم ما يمكن استخلاصه من النظرية ويظهر هذا بوضوح في حالة توقف μ على درجة حرارة الموصلات غير المنحلة . ويتضح من المناقشة السابقة أنه عند درجات الحرارة المنخفضة يرجع التأثير الرئيسي الناتج عن



(أ)



(ب)

الاستطارة بواسطة ذرات الشوائب المتأينة . ومع ذلك فإنه في حالة الفلزات النقيّة الخالية من العيوب أو التي تحتوي على كميات مهملة من الشوائب وعيوب البلاوره يمكن إرجاع استطارة الفونونات إلى الآلية الرئيسية لاستطارة حاملات الشحنة في مدى درجات الحرارة المنخفضة . وسنحاول فيما يلى إيجاد العلاقة بين الحركية ودرجة الحرارة في هذه الحالة .

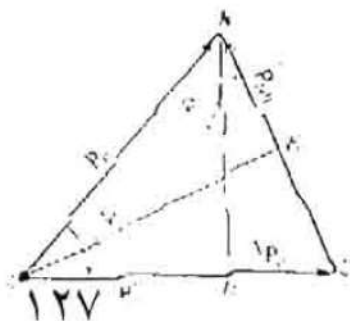
بالنسبة لاستطارة الكترون فونون يكون متوسط المسار الحر للإلكترونات λ متناسباً عكسياً مع تركيز الفونونات ونظرأ لأن $n_{ph} \propto T^3$ في مدى درجات الحرارة المنخفضة فإن :

$$(24) \quad \lambda \propto \frac{1}{n_{ph}} \propto T^{-3}$$

ولتعيين عدد التصادمات التي تجعل الإلكترون يفقد سرعته الاتجاهية الأصلية وفي مدى درجات الحرارة المرتفعة التي يتساوى فيها متوسط كمية تحرك الفونون p_{ph} مع متوسط كمية تحرك الإلكترون p_e يكون $1 = \gamma$ وفي مدى درجات الحرارة المنخفضة يكون $\gamma << 1$

ونتيجة لذلك تكون $1 << \gamma$ ويتوقف هذا على درجة الحرارة نظراً لأن p_{ph} ترتفع مع ارتفاع درجة الحرارة T

الشكل (٨)



ويوضح الشكل (٨) تغير كمية تحرك الإلكترون يشارك في تصادم مرن مع فونون ويحدث التصادم عند نقطة A قبل التصادم تكون كمية تحرك الإلكترون هي P_e^0 وبعد التصادم تكون P_e ونظراً لأن التصادم تصادم مرن فإن القيمة المطلقة لكمية التحرك لا تتغير :

$$P_e^0 = P_e$$

غير أن الاتجاه يتغير بحيث :

$$P_e = P_e^0 + P_{ph}$$

ويستلزم تغيير اتجاه كمية تحرك الإلكترون الناتجة عن التصادم انخفاضاً في قيمة الاتجاه الأصلي بمقدار ΔP_e (الشكل ٨) ومن

المثلث BCD

$$\Delta P_e = P_{ph} \sin \frac{\varphi}{2}$$

حيث φ زاوية استطاره الإلكترون ومن المثلث ABC نتبين أن

$$\sin \left(\frac{\varphi}{2} \right) = \frac{P_{ph}}{2P_e}$$

ولهذا نجد :

$$\Delta P_e = \frac{P_{ph}^2}{2P_e}$$

وتنقل كمية يحرك الإلكترون في الاتجاه الأصلي بهذا المقدار نتيجة لتصادم مفرد مع الفونون لتلاشي كمية تحرك الإلكترون في الاتجاه الأصلي تماماً يكون عدد التصادمات المطلوبة هو :

$$\gamma \approx \frac{P_e}{\Delta P_e} \approx 2 \left(\frac{P_e}{P_{ph}} \right) \propto \frac{1}{P_{ph}^2}$$

في مدى درجات الحرارة المنخفضة تكون طاقة اهتزازات الشبكة الحرارية هي

$$E_{\text{lattice}} \propto T^4$$

وأن تركيز الغاز الفونوني هو

لذلك فإن متوسط كافة الفونون

$$\epsilon_{\text{ph}} = \frac{E_{\text{lattice}}}{n_{\text{ph}}} \propto T$$

ونظراً لأن كمية تحرك الفوتون

$$P_{\text{ph}} = \frac{\bar{\epsilon}_{\text{ph}}}{V}$$

حيث v سرعة الصوت في البلوره - وتناسب كمية التحرك في هذا المدى طردياً مع درجة الحرارة T .

$$(25) \quad P_{\text{ph}} \propto T$$

لهذا

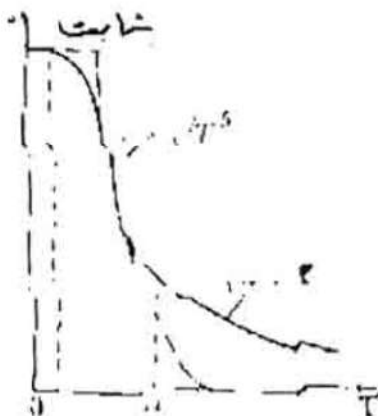
$$(26) \quad \gamma \propto P_{\text{ph}}^{-2} \propto T^{-2}$$

بالتعويض عن λ من المعادلة (24) وعن v من المعادلة (26) في المعادلة (25) نحصل على العلاقة التالية لحركة حاملات الشحنة الحرية في الفلزات النقيه في مدى درجات الحرارة المنخفضة .

$$(27) \quad \mu \propto \frac{\gamma_F \lambda_F}{V_F} \propto T^{-5}$$

ويوضح الشكل (٩) المنحنى التحليلي لعلاقة درجة الحرارة والحركية

الشكل (٩)



μ للفلزات النقية . ففى مدى درجات الحرارة المرتفعة (فوق درجة حرارة ديباي 0) تتناسب حركية حاملات الشحنة عكسياً مع درجة الحرارة أى $T^1 \propto \mu$ وفي مدى درجات الحرارة المنخفضة (أقل كثيراً من 0) يكون $T^5 \propto \mu$

وفى المدى المتوسط لدرجات الحرارة يحدث انتقال تدريجي من T^1 إلى T^5 وفي النهاية وبالقرب من الصفر المطلق تكون الاهتزازات الحرارية أضعف ما يمكن حتى أن حاملات الشحنة المستطرارة بواسطه ذرات الشوائب وعيوب الشبكية التى توجد عادة فى الفلز بعض النظر عن درجة نقاشه تصبح ذات أهمية أولية وفي هذه الحالة تتوقف حركية حاملات الشحنة عن الاعتماد على درجة الحرارة (ارجع إلى المعادلة (٢٣) وعندئذ يكون الخط الممثل للعلاقة بين μ ، T بمثابة خط موازى لمحور درجات الحرارة .

٤-٧) الموصلية الكهربية للفلزات النقيّة :

ترجع الموصلية الكهربية للفلزات النقيّة إلى انسياق حاملات الشحنة الحرة المتماثلة النوع (متماثلة الشحنة) ، عادة تكون الكترونات حرّة . ومع ذلك في بعض الفلزات مثل البريليوم والخارصين يمكن أن تحمل الشحنة الفجوات وتوصّف الموصلية الكهربية للكترونات الفلزات بالمعادلة (١٢)

$$\sigma = en \mu$$

ونظراً لأنّ الفلزات هي موصلات منحلة فإنّ تركيز الإلكترونات فيها لا يتوقف عملياً على درجة الحرارة . وبسبب هذا فإنّ علاقة الموصلية بدرجة الحرارة تتعين بالكامل من علاقة الحركية على درجة الحرارة لهذه الإلكترونات في غاز الكتروني منحل .

بالتعويض عن μ من المعادلة (٢٠) والمعادلة (٢٧) في المعادلة (١٢) نحصل على العلاقات التالية :

١٤) في مدى درجات الحرارة المرتفعة

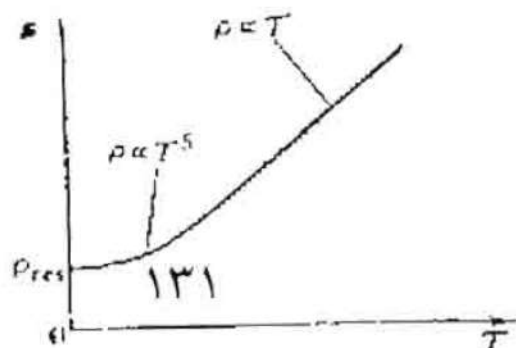
$$(28) \quad \sigma = A / T, \rho = aT$$

١٥) وفي مدى درجات الحرارة المنخفضة

$$(29) \quad \sigma = B / T^5, \rho = bT^5$$

حيث A, B, a, b هي معاملات التناسب

الشكل (١٠)



ويوضح الشكل (١٠) رسمًا تخطيطاً للعلاقة بين الموصليات الكهربائية للفلزات النقية ودرجة الحرارة ، ومنه يتضح أنه في مدى درجات الحرارة المرتفعة تكون العلاقة على هيئة خط مستقيم في حين أن هذه العلاقة يمثلها في مدى درجات الحرارة المنخفضة قطع مكافئ للدرجة الخامسة ، وعندما تقترب درجة الحرارة من الصفر تصبح العلاقة على هيئة خط مستقيم يوازي محور درجات الحرارة ويمكن الاستعانة بمتلائمة الكم في حساب A , B , a , b في المعادلات (٢٢) ، (٢٩) ويوضح الجدول (٢) الموصليات الكهربائية لبعض الفلزات النقية عند درجة حرارة الغرفة كما تم حسابها من الناحية النظرية (٥) وكما تم قياسها عملياً (٥) بوحدات $10^6 \Omega^{-1} m^{-1}$ theory

في الجدول (٢)

	Na	K	Rb	Cu	Ag	Au
σ نظري	22	19	20	100	90	107
σ عملي	23	15	8	64	67	68

ويتضح من هذا الجدول أن اتفاقاً مقبولاً بين القيمتين النظرية والعملية للموصليات الكهربائية في حالتي الصوديوم والبوتاسيوم ، (Na , K) ذلك لأن الكترونات التوصيل هي نفسها الإلكترونات الحرة ومع زيادة الكتلة الذرية يزداد جهد الشبكة ويحدث الاختلاف بين الموصليات الكهربائية للذهب σ_0 عند 273 كلفن إلى σ عند درجات الحرارة المنخفضة سواء كانت محسوبة أو مقاسة.

الجدول (٣)

	273K	87.4K	57.4K	20.4K	11.1K	4.2K
σ_0/σ نظرى	1	0.2645	0.1356	0.0060	0.0003	3×10^{-6}
σ_0/σ على	1	0.2551	0.1314	0.0058	0.0003	3×10^{-6}

ويصبح الاتفاق بين القيمة النظرية والعملية مقبولاً بدرجة كافية.

(٤-٨) الموصلية الكهربية لأشباه الموصلات النقية

ترجع الموصلية الكهربية للبلورة الأحادية النقية جداً من أشباه الموصلات في درجات الحرارة الأعلى من الصفر المطلق إلى كل من الإلكترونات في نطاق التوصيل والفجوات في نطاق التكافؤ مثل هذه الموصلية تسمى الموصلية الذاتية intrinsic conductivity

ونظراً لوجود نوعين من حاملات الشحنة في أشباه الموصلات النقية وهي الإلكترونات والفجوات تكون الموصلية الكهربية لها هي مجموع الموصلية الكهربية.

$$\mu_n - e n_i \quad \text{للإلكترونات الحرة وتركيزها } n_i \text{ وحركتها } \mu_n$$

☆ والموصلية الكهربية

$$\sigma_p = e p_i \mu_p \quad \text{للفجوات الموجبة}$$

وتركيزها p_i وحركتها μ_p ونظراً لأن $n_i = p_i$ فإن الموصلية الكهربية الكلية لشبكة موصل نقي هي :

$$(30) \quad \sigma_i = \sigma_n + \sigma_p = e n_i (\mu_n + \mu_p)$$

ونظراً لأن تركيز الفجوات أو الإلكترونات الشبكة موصل نقي هي

$$n_i = 2 \left(\frac{2\pi \sqrt{m_n m_p} k_B T}{h^2} \right)^{3/2} \exp(-E_g / 2 k_B T)$$

وتعطى حركية حاملات الشحنة في مدى الموصلية الذاتية بالمعادلة (١٩)

بالتعويض من المعادلة السابقة ومن المعادلة (١٩) في المعادلة (٣٠)

نحصل على :

$$(31) \quad \sigma_i = \sigma_0 \exp(-E_g / 2 k_B T) = \sigma_0 \exp(-\frac{\Delta E}{RT})$$

حيث σ_0 هي الحد السابق للدالة الأسية ومن المعادلة (٤ - ٣٠) نجد σ تؤول إلى σ_0 كما أن T تؤول إلى مالا نهاية ونسنستنتج من هذا أن المعادلة (٣٠) تظل صالحة حتى درجة الحرارة اللانهائية ، وعندئذ تكون σ_0 هي الموصلية الكهربائية لشبكة الموصى عندما تؤول إلى مالا نهاية ويمكن إعادة كتابة المعادلة ٣١ على الصورة

$$(32) \quad \ln \sigma_i = \ln \sigma_0 - \frac{E_g}{2k_B T} = \ln \sigma_0 - \frac{\Delta E}{k_B T}$$

وهذه تكافيء

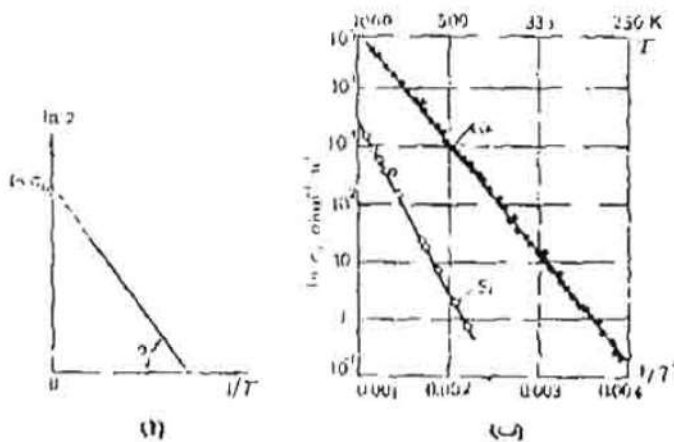
$$\ln \rho_i = \ln \rho_0 + \frac{E_g}{2k_B T} = \ln \rho_0 + \frac{\Delta E}{k_B T}$$

لذلك إذا رسمنا $\ln \sigma$ على المحور السيني ، $\ln \rho$ على المحور الرأسى نحصل T على خط مستقيم يقطع المحور الرأسى وثم يمكن معرفة σ عند $\ln \sigma$ كما في الشكل (١٠أ) ميل هذا الخط المستقيم يساوى $E_g/2k_B = \frac{\Delta E}{k_B}$

وبمعرفة k_B يمكن حساب طاقة الفراغ الطاقي E_g أو طاقة التشتيط الحراري لحاملات الشحنة الحرة ΔE

ويوضح الشكل (١٠ ب) العلاقة التجريبية بين $\ln \sigma$ للجرمانيوم النقي والسلikon النقي فيما الفراغ الطاقي لهما 0.72 الكترون فولت ، 1.2 الكترون فولت على الترتيب .

الشكل (١٠ ب)



وبمقارنة نتيجة هذه الفقرة بتلك في حالة الفلزات الندية

تبين وجود الفروق التالية :

في الفلزات حيث يكون الغاز الإلكتروني منحلا لا يتوقف تركيز حاملات الشحنة الحرة على درجة الحرارة وأن توقف الموصليات الكهربائية على درجة الحرارة يتم تعينه كلياً بتوقف حركة حاملات الشحنة على درجة الحرارة وفي أشباه الموصلات حيث يكون الغاز الإلكتروني غير منحل يتوقف تركيز حاملات الشحنة بشدة على درجة الحرارة [ارجع إلى المعادلة (٣٢)] وبسبب ذلك تتغير موصليتها

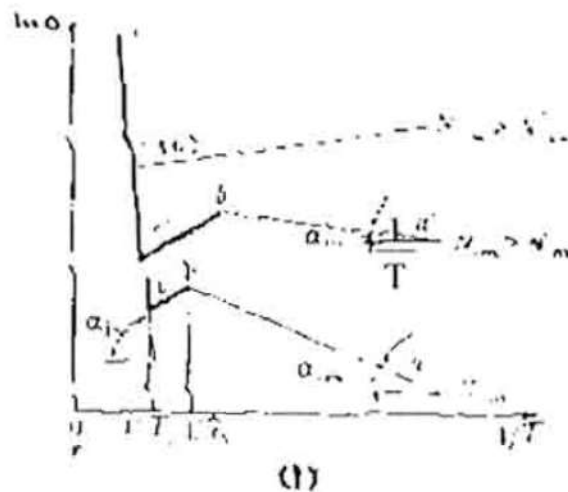
كلية من علاقة تركيز حاملات الشحنة بدرجة الحرارة [ارجع إلى المعادلة (٣٢)] وعند درجة حرارة معينة ، يمكن تعين تركيز حاملات الشحنة وموصلية شبه الموصل بواسطة الفراغ الطاقي E_g ويظهر هذا بوضوح في الجدول (٤) الذي يحتوى على قيمة كل من الفراغ الطاقي والمقاومة النوعية لعناصر المجموعة الرابعة في جدول متعدد . هذا العناصر لها شبكة بلورية من النوع الماسى . وعندما تقل طاقة الفراغ الطاقي من 5.2 إلكترون فولت (الماسى) إلى 0.08 إلكترون فولت (القصدير) تقل المقاومة النوعية عند درجة حرارة الغرفة بمقدار ١٦ رتبة .

الجدول (٤)

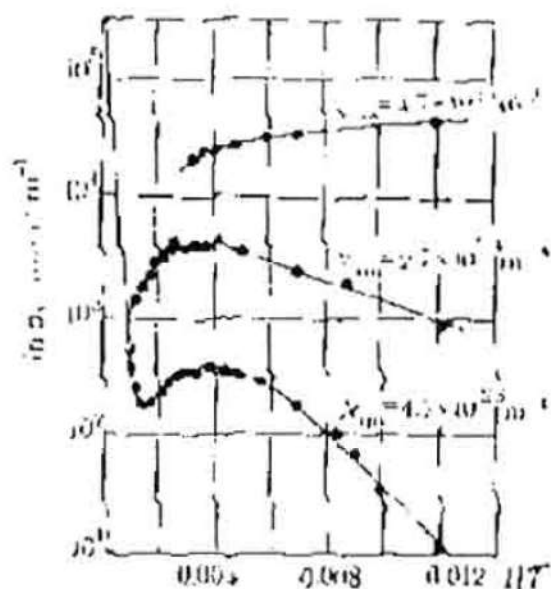
	الماسى	السلikon	الجرمانيوم	القصدير الرمادى
$E_g(eV)$	5.2	1.12	0.66	0.08
$\sigma (\text{ohm}^{-1} \cdot \text{m}^{-1})$	10^{10}	3×10^3	0.47	2×10^{-6}

(٤-٩) الموصلية الكهربية لأشباه الموصلات غير النقية :

تعين علاقة الموصلية الكهربية لأشباه الموصلات غير النقية غير المنحلة كما في حالة أشباه الموصلات النقية من علاقة تركيز حاملات الشحنة بدرجة الحرارة وبسبب هذا يكون المنحنى المعبر عن T درجة الحرارة مماثلا على الأقل لمنحنى المعبر عن علاقة n



(ا)



(ب)

وعلاقة $\sigma \propto \frac{1}{T}$ في حالة شبه الموصل غير النقي موضحة في الشكل (١٢) التي يظهر ثلاثة مناطق على المنحنى هي ،
bc , ab

تقع المنطقة ab بين الصفر المطلق ودرجة حرارة تشع الشوائب T_S
وتتصف المعادلة التالية تركيز حاملات الشحنة في هذه المنطقة :

$$n = \sqrt{2 N d} \left(\frac{2\pi m_n k_B T}{h^2} \right)^{3/2} \exp(-E_d/2 k_B T)$$

وتتعين الحركية بصفة أساسية من الشوائب والاستطرارة عن العيوب وتبعد للعلاقة (٢٢) تتناسب الحركية طردياً مع $T^{3/2}$ وبالتعويض من المعادلة السابقة والمعادلة (٢٢) في المعادلة المعتبرة عن الموصولة نحصل على :

$$(33) \quad \sigma_{im} = \sigma_{im}^0 \exp(-E_d / 2k_B T) = \sigma_{im}^0 \exp(-\frac{\Delta E}{k_B T})$$

حيث σ_{im}^0 هي معامل يتوقف توقفاً ضعيفاً على درجة الحرارة (عند مقارنته بالدالة الأسية)

ويأخذ لوغاريتيم المعادلة (٣٣) نحصل على :

$$(34) \quad \ln \sigma_{im}^0 = \ln \sigma_{im}^0 - \frac{E_d}{2k_B T} = \ln \sigma_{im}^0 - \frac{\Delta E}{k_B T}$$

وحيث ΔE طاقة التنشيط الحراري لحاملات الشحنة الحرة

والمعادلة السابقة مكافئة للمعادلة

$$\ln \rho_{im}^0 = \ln \rho_{im}^0 + \frac{E_d}{2K_{BR}} = \ln \rho_{im}^0 + \frac{\Delta E}{2k_B T}$$

والتمثيل البياني للعلاقة $\ln \rho_{im}^0$ و $\frac{1}{T}$ نحصل على خط مستقيم يصنع الزاوية α مع المحور $\frac{1}{T}$ بحيث يتتناسب $\tan \alpha = \frac{1}{2k_B T}$ طردياً مع طاقة تأين الشوائب E_d ومن ثم تناظر المنطقة ab الموصولة الكهربائية للشوائب أو التوصية الكهربائية غير الذاتية impurity or extrinsic conductivity الشوائب كنتيجة لتأين ذرات الشوائب وتقع المنطقة bc بين درجة

حرارة تشع الشوائب T_s ودرجة حرارة الموصلية الذاتية T_i . في هذه المنطقة تتآثر جميع ذرات الشوائب دون إثارة ملحوظة لحملات الشحنة الذاتية وبسبب هذا يظل تركيز الحاملات ثابتاً تقريباً ويساوى تركيز الشوائب $n = N$. لهذا تتعين علاقة الموصلية بدرجة الحرارة بواسطة علاقة حركية الحاملات على درجة الحرارة.

وإذا كانت آلية استطارة الحاملات في هذه المنطقة تمثل في الاستطارة بواسطة الاهتزازات الحرارية للشبكة التي تسبب نقص الحركية مع درجة الحرارة، وعندئذ تقل الموصلية مع ارتفاع درجة الحرارة. وهذا ما يظهر بالضبط في الشكل (١٢ أ) لكن إذا كانت الآلية الرئيسية ممثلة في استطارة الشوائب أو العيوب، فإن الموصلية الكهربائية في هذه المنطقة bc ستزداد مع ارتفاع درجة الحرارة.

وتتآثر المنطقة cd مرحلة الانتقال إلى الموصلية الذاتية intrinsic conductivity في هذه المنطقة يكون تركيز الحاملات مساوياً لتركيز الحاملات الذاتية لذلك تكون الموصلية في هذه المنطقة هي:

$$\sigma \approx \sigma_0 \exp(-E_d/2k_B T)$$

ويمثل العلاقة $\frac{1}{T} \ln \sigma$ خط مستقيم يصنع زاوية α_1 مع المحور T وميله يتاسب طردياً مع اتساع الفراغ الطيفي $\tan \alpha_1 = E_g / 2 k_B$

ويوضح الشكل (١٢ ب) علاقة $\frac{1}{T} \ln \sigma$ ، لسلیکون مطعم بالفوسفور وتظهر المقاومة بالشكل (١٢ أ) تطابق النتائج النظرية بالنتائج التجريبية.

الترميستور : Thermistor

تستخدم العلاقة القوية بين مقاومة شبه الموصل ودرجة الحرارة في نطاق واسع في نباتات devices أشباه الموصلات الترميستور وهو مقاومة شبه موصل لها معامل حراري كبير لزيادة المقاومة ، وأن المنحنى المميز (تيار - جهد) لها غير خطى .

وتستخدم الترميستورات في قياس درجة الحرارة وقدرة الإشعاع الذي له تردد عالٌ كبير جداً ، وللمعادلة درجات الحرارة في الدوائر الكهربائية المختلفة ، وللمرحلات relays التوفيقية إلى أخرى .

وتستخدم الترموموستورات الميكروسكوبية (الدقيقة) التي تتميز بصغر أبعادها وصغر ساعتها الحرارية عند دراسة عمليات التبادل الحراري في النباتات والأعضاء الحية التي تشمل تشخيص أمراض الناس واستخدام شريحة شبه موصل رقيقة في البولومتر polometer يجعل من المتاح زيادة حساسية البولومتر إلى 10^{-10} وات فإذا وضع مثل هذا البولومتر عند بؤرة مرآة على هيئة قطع مكافئ يجعله قادرًا على اكتشاف طائرة ، دبابة سفينة أو أيه أجسام أخرى تشع حرارة على مسافات تصل إلى عدة كيلومترات . ويستخدم البولومتر ذو الحساسية العالية المصنع من أشباه الموصلات في اكتشاف الإشعاع فوق الحراري المنعكس عن سطح القمر

(٤ - ١٠) الانحراف عن قانون أوم . تأثير مجال قوى :
 التناسب بين كثافة التيار \propto وشدة المجال \propto الذي يتطلبه قانون
 أوم (١) يظل ثابتا طالما أن σ التي تدخل هذا القانون كعامل للتناسب
 لا يتوقف على \propto
 ولنحاول البحث عن الظروف التي يظل فيها هذا المتطلب
 معمولا به .

تبعاً للمعادلة (٥) فإن حركية الحاملات في شبه موصل غير
 منحل حيث السرعة المحسوبة لحركية الحاملات وهي تساوي مجموع
 السرعة الحرارية وسرعة الانزياح $v = v_0 + v_d$

في المجالات الضعيفة :

$$v_d \ll v_0$$

(٣٥)

وسرعة الحاملات المحسوبة هي $v = v_0 + v_d$ التي لا تتوقف على E
 لهذا فإن كلا من حركية الحاملات v وتركيزها وبالتالي الموصلية
 الكهربائية $\sigma = \sigma_0$ لا تتوقف على E مثل هذه المجالات تعد مجالات
 ضعيفة

لذلك يكون قانون أوم الذي يتطلب علاقة خطية بين E و J
 صالح فقط في حالة المجالات الضعيفة التي تزعن للعلاقة (٣٥)

- ١- عرف كلاً من
 - أ) دالة الشغل
 - ب) فرق جهد التلامس
 - ج-) التقويم
- ٢- مستعيناً بالرسم اشرح تأثير الطبقات الماصة على دالة الشغل
- ٣- بين كيف ينشأ فرق جهد التلامس لوصلة بين فلزين
- ٤- مستعيناً بالرسم اشرح تأثير مجال التلامس (مجال الوصلة) على مناسب طاقة شبه موصل لوصلة فلز - شبه موصل .
- ٥- اشرح كيف تستنتج علاقة لحساب اتساع حاجز الجهد لوصلة فلز - شبه موصل
- ٦- ما هي الخطوات الأساسية لتحضير وصلة $n-p$
- ٧- اشرح بليجاز حالة إتزان الوصلة $n-p$ مع الرسم
- ٨- اشرح خصائص التقويم بواسطة الوصلة $n-p$
- ٩- ما أنواع الانهيار في الوصلة $n-p$ مع كتابة نبذة عن كل نوع
- ١٠- أكتب نبذة عن كل منهما :
 - أ) منظمات الجهد .
 - ب) الダイودات النفقية .

الباب الثالث

الظواهر الكهرومغناطيسية

والخلفانو مقتبسة

الباب الثالث

الظواهر الكهروحرارية والجلفانومغنتيسية

Thermoelectric and Galvanomagnetic phenomena

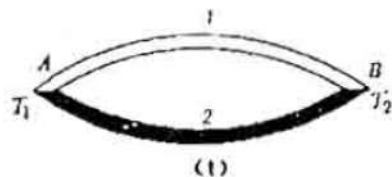
تتضمن الظواهر الكهروحرارية تأثيرات سبيك وبلتييه وطومسون . وتتضمن الظواهر الجلفانومغنتيسية تأثيرات هال وايتينج هاوزن ونرست . ولقد وجدت بعض هذه الظواهر طريقها إلى التطبيقات العملية ، لذلك فإن إمعان النظر في هذه الظواهر لن يلق اهتماماً من الوجهة التعليمية فحسب بل من الوجهة التطبيقية .

وسنحاول فيما يلى عرض الخلفية الفيزيائية لتلك الظواهر :

(١-٣) تأثير سبيك The Seebeck effect

اكتشف سبيك عام ١٨٢٢ أن قوة دافعة كهربية V تتولد في دائرة تتكون من موصلين ١ ، ٢ من مادتين مختلفتين وإذا حفظت الوصلتان A , B لهذين الموصلين في درجتى حرارة مختلفتين T_1 ، T_2 ، الشكل (١) فإن هذه القوة الدافعة الكهربية تسمى "القوة الدافعة

الشكل (١)



الكهروحرارية" .

وأوضحت التجارب أنه في مدى ضيق من درجات الحرارة تكون القوة الدافعة الكهروحرارية متناسبة مع الفرق بين درجتي حرارة الوصلتين :

$$(1) \quad V_T = S (T_2 - T_1)$$

ثبت التاسب هنا يتعين من العلاقة

$$(2) \quad S = dV_T / dT$$

ويسمى القوة الدافعة الكهروحرارية التفاضلية أو النوعية كما يسمى معامل سيبك Seebeck coefficient . ويتوقف على مادة الموصلين وعلى درجة الحرارة .

وتوجد ثلاثة مصادر للقوة الدافعة الكهروحرارية هي :

(1) التيار الاتجاهي لحاملات الشحنة في الموصل الناتج عند تدرج درجة الحرارة (المركبة الحجمية V_v , component

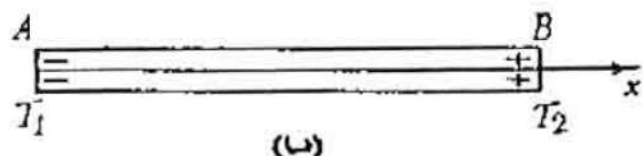
(2) تغير موضع منسوب فيرمي (مركب الوصلة junction component V_d)

(٣) انجراف الالكترونات بواسطة الفونونات (فيما يسمى بظاهرة الإنحراف الفونوني) وسنناقش فيما يلى الطبيعة الفيزيائية لكل من هذه الظواهر .

(٤-٣) المركبة الحجمية للقوة الدافعة الكهروحرارية

لناخذ موصلًا منتظمًا يظل الفرق في درجة الحرارة ثابتًا عند نهايتيه A ، B ، الشكل (١ ب) ،

ومن ثم يوجد تدرج في درجة الحرارة $\frac{dT}{dx}$ في الاتجاه



من B إلى A . فيكون لحاملات التيار في الطرف الساخن طاقات أكبر وسرعات أكبر عن نظيرتها لحاملات التيار عند الطرف البارد . لهذا ، يسرى تيار في الموصل من طرفه الساخن إلى طرفه البارد . يقوم هذا التيار بشحن الموصل .

وجدير بالذكر أن الحالات التي تقوم الالكترونات فيها بحمل التيار تؤدى إلى تجمع شحنات سالبة عند الطرف البارد وشحنات موجبة عند الطرف الساخن . ونتيجة لذلك يتولد بين الطرفين فرق جهد V . وهذا هو المركبة الحجمية للقوة الدافعة الكهروحرارية

وتكون القوة الدافعة الكهروحرارية التفاضلية أو النوعية المناظرة لهذا المركبة هي :

$$(3) \quad S_v = \delta V_v / \delta T$$

ويمكن تقدير S_v كما يلى :

يتعين ضغط الغاز الإلكتروني في موصل من العلاقة :

$$(4) \quad P = 2/3 n \overline{E}$$

حيث (\overline{E}) متوسط طاقة الإلكترونات في موصل ، n تركيزها .

وبتعين \overline{E} من العلاقة :

$$(5) E = E_F \left(1 + \frac{5}{12} \left(\frac{5\pi^2}{12} \right) \frac{K_B T^2}{E_F} \right)$$

وينشأ عند تدرج درجة الحرارة تدرج في الضغط ليكافئ ما يولده المجال الكهربى في الموصل . وبذلك يكون :

$$e \epsilon n = \frac{\delta P}{\delta x} = \frac{\delta P}{\delta T} \frac{\delta T}{\delta x}$$

ومن هنا يمكن تعين S_v بسهولة حيث :

$$(6) \quad S_v = \frac{\delta V_v}{\delta T} = \delta \left(\frac{\delta T}{\delta x} \right)^{-1} = \frac{1}{en} \frac{\delta P}{\delta T}$$

ومن هنا تكون S_v في موصل من النوع السالب متوجه من الطرف الساخن إلى الطرف البارد . ومع هذا توجد استثناءات لهذه القاعدة سنناقشها فيما بعد :

(٣-٣) مركبة الوصلة للقوة الدافعة الكهروحرارية

ينشا عن التغير في درجة الحرارة تغير في موضع منسوب فيرمي . ففي موصل من النوع السالب ينخفض منسوب فيرمي في رسم بياني الطاقة مع ارتفاع درجة الحرارة . ونتيجة لذلك سيكون منسوب فيرمي عند الطرف البارد أعلى مما هو عليه عن الطرف الساخن كما في الشكل (٢) . وسيكون الفرق

الشكل (٢)



بين

موضعى منسوب فيرمي مكافئاً للفرق فى الجهد .

$$(7) \quad dV_j = - \frac{1}{e} \frac{\delta \mu}{\delta T} dT$$

وهذا هو بالضبط مركبة الوصلة للقوة الدافعة الكهروحرارية وتكون القوة الدافعة الكهروحرارية التفاضلية والنوعية المناظرة لهذا المركبة .

$$(8) \quad S_j = - \frac{1}{e} \frac{\delta x}{\delta T} \quad \text{هي :}$$

ومن ثم تكون القوة الدافعة الكهروحرارية التفاضلية المحصلة هي :

$$(9) \quad S = \frac{1}{ne} \cdot \frac{\delta P}{\delta T} - \frac{1}{e} \frac{\delta \mu}{\delta T}$$

والمعادلة الأخيرة قابلة للتطبيق على الموصلات بجميع أنواعها .

(٤-٣) القوة الدافعة الكهروحرارية في الفلزات

بالت遇ويض عن متوسط الطاقة للإلكترونات لغاز الكترونى من حل المعادلة رقم (٥) في المعادلة رقم (٤) ، نحصل على العلاقة التالية لضغط الغاز في الفلز :

$$P = n \overline{E} = n E_F + \frac{n\pi^2}{6 E_F} (K_B T)^2$$

$\frac{1}{ne}$ بتفاضل هذه العلاقة بالنسبة لدرجة الحرارة T مع الضرب في

$$(10) \quad \frac{2}{3} S_v = \frac{2}{5} \frac{K_B}{e} \frac{\pi^2}{3} \frac{K_B T}{E_F}$$

بالت遇ويض من (٩) ، (١٠) في (٨) نحصل على :

$$(11) \quad S_m = - \frac{\pi^2 K_B}{6e} \frac{K_B T}{E_F}$$

ويمكن في حالة الفلزات الحصول على نتائج أكثر دقة باستخدام العلاقة التي تتناسب فيها طاقة الإلكترونات طردياً مع مربع المتجه الموجي . وفي هذه الحالة يمكن الحصول على العلاقة التالية :

$$(12) \quad S_m = \frac{\pi^2 K_B}{3e} (1 + r) \frac{K_B T}{E_F}$$

حيث r الأُس الذي ترتفع له الطاقة في العلاقة :

$$(13) \quad \lambda \propto E^r$$

التي تعبّر عن علاقـة متوسط المسار الحر للإلكترونـون بالطاقة .

ويتضمن الجدول ١ قيم ٢ المناظرة لآليات استطارة الإلكترونـون المختلفة.

الاستطارة غـيـر الـاهـتزـازـاتـ الـحرـارـية

الاستطارة بـذـراتـ الشـوـانـبـ الشـبـيـكـةـ الذـرـيـةـ	$T < \theta$	$T > \theta$
r	0	$\frac{1}{2}$

ومن المعادلة (١٢) نتبين أن $S_m \propto T^2$ لـلـفـلـزـاتـ فـيـ اـنـفـاقـ تـامـ مع النـتـائـجـ التـجـريـبـيـةـ . وـنـظـرـاـ لأنـ $E_F \ll T$ فإنـ القـوـةـ الدـافـعـةـ الكـهـرـحـارـيـةـ لـلـفـلـزـ تكونـ صـغـيرـةـ تـامـاـ . فـلـفـضـةـ عـلـىـ سـبـيلـ المـثالـ :

$T = 300\text{K}$ ، $K_B T = 0.025\text{ eV}$ ، $E_F = 5.5\text{ eV}$

بالـتـعـويـضـ عـنـ هـذـهـ الـقـيـمـ فـيـ الـعـلـاقـةـ (١٢)ـ نـحـصـلـ عـلـىـ

$$S_m \approx 8 \times 10^{-6} \text{ V/K}$$

وـهـىـ أـقـرـبـ مـاـ تـكـوـنـ إـلـىـ الـقـيـمـ التـجـريـبـيـةـ

ومن المعادلة (١٣) نتبين أنه عندما تكون $0 < \alpha$ يكون للإلكترونات الأكثر طاقة أقصر متوسط مسار حر λ . ونظراً لأن تيار الإنتشار في هذه الحالة يكون موجهاً من الطرف الساخن إلى الطرف البارد ، ستعكس إشارة المركبة الحجمية للقوة الدافعة الكهروحرارية . وهذا قد يسبب انعكاس إشارة القوة الدافعة الكهروحرارية للفلز ككل . مثل هذه التأثيرات تتم ملاحظتها على سبيل المثال في بعض الفلزات الانفعالية وبعض السبائك.

كما سبق أن ذكرنا فإن المعادلة (١٢) تكون صالحة للفلزات عندما نأخذ في الاعتبار علاقة E_R بمربع المتجه الموجي . وفي الفلزات والسبائك ذات سطح فيرمي المركب ، تختلف اسهامات أجزائه المختلفة ليس فقط في القيمة المطلقة بل وفي إشارتها مع الأخذ في الاعتبار أن القوة الدافعة الكهروحرارية قد تساوى الصفر أو أقرب ما تكون إليه . وعلى سبيل المثال ، القوة الدافعة الكهروحرارية للرصاص تساوى الصفر . ولهذا السبب تفاس القوة الدافعة الكهروحرارية بالنسبة للرصاص .

الشكل (٣)



يتعين اتجاه التيار عند الوصلة الساخنة لإزدواج حراري يتكون من موصل من النوع السالب والرصاص بواسطة قطبية شحنة الموصل .

ففى الحالة العادلة عندما تكون الوصلة الساخنة للفلز موجبة الشحنة

يسرى التيار الكهربى من الموصى إلى الرصاص ، الشكل (٣-أ)

وفى هذه الحالة تعد القوة الدافعة الكهروحرارية للفلز سالبة .

وفى حالة موصى من النوع السالب ذى شحنة شاذة ، يسرى التيار عند الوصلة الساخنة من الرصاص إلى الموصى وتكون S موجبة .

وستكون S موجبة أيضاً لموصى عادى من النوع الموجب عندما يكون طرفه الساخن موجب الشحنة ، الشكل (ج) ويمر التيار

عند هذه الوصلة من الرصاص إلى الموصى

(٥-٣) القوة الدافعة الكهروحرارية لشبى موصى

يتبعن ضغط الغاز الالكترونى فى شبى موصى غير منحل من العلاقة

$$P = \frac{2}{3} n \bar{E} = n K_B T$$

بالتفاضل بالنسبة لدرجة الحرارة T والضرب في $\frac{3}{\delta}$ نحصل على :

$$(١٤) S_v = \frac{K_B}{e} \left[1 + T \frac{\delta L_n n}{\delta T} \right]$$

ملاحظة :

$$n = 2 \left(\frac{2 \pi m K_B T}{h^2} \right)^{\frac{3}{2}} e^{\frac{\mu}{K_B T}}$$

وتؤدى الحسابات الدقيقة إلى أن :

$$(١٥) S_v = \frac{K_B}{q} \left[r^{\frac{1}{2}} + T \frac{\delta L_n n}{\delta T} \right]$$

ويعطى الجهد الكيميائى فى شبى موصى غير منحل بالعلاقة :

$$\mu_n = K_B T L_n - \frac{n h^3}{2 (2\pi m n K_B T)^{\frac{3}{2}}}$$

وبتقاضل μ_n بالنسبة لدرجة الحرارة والضرب في $\frac{1}{e}$ نحصل على:

$$(16) \quad S_j = \left(\frac{K_B}{e} - \frac{3}{2} - \frac{\mu_n}{K_B T} T \frac{\delta L_n}{\delta T} \right)$$

بالتقديم من (١٥) ، (١٦) في (١٨) نحصل على:

$$(17) \quad S_n = - \frac{K_B}{e} \left(r^{\frac{1}{2}} + 2 \frac{\mu_n}{K_B T} \right)^{\frac{3}{2}} \\ = - \frac{K_B}{e} r + 2 + L_n \frac{2 (2\pi m K_B T)^{\frac{3}{2}}}{n h^3}$$

الإشارة السالبة في الطرف الأيمن تتمشى مع قطبية القوة الدافعة الكهروحرارية حيث تكون :

$$(18) \quad S_p = \frac{K_B}{e} \left(r + 2 + L_n \frac{2 (2\pi m K_B t)^{\frac{3}{2}}}{n h^3} \right)$$

ولنحاول الآن حساب قيمة S لشبہ موصل غیر نقی ، على سبيل المثال ، لجرمانیوم من النوع السالب $T = 300 \text{ K}$ عند $n = 10^{23} \text{ m}^{-3}$. بالتقديم عن هذه القيم في المعادلة (١٨) نحصل على

$S = V/K^3$. لذلك تكون القوة الدافعة الكهروحرارية لأشباه الموصلات أكبر بثلاث رتب عن نظيرتها في الفلزات .

وبالنسبة لشبكة موصى يحتوى على حاملات شحنة بنوعيها حيث يحمل التيار الكهربى كل من الالكترونات والفجوات ، تعطى القوة الدافعة الكهروحرارية بالعلاقة :

$$(19) \quad S_{n,p} = \frac{S_p p \mu_p - S_n n \mu_n}{p \mu_p + n \mu_n}$$

ونتبين من هذه العلاقة أنه عند تساوى تركيزات الالكترونات والفجوات تتساوى حركيتها ، فإن القوة الدافعة الكهروحرارية الكلية ستكون صغيرة جداً وقد تساوى الصفر .

(٦-٣) إنجراف الالكترونات بواسطة الفونونات

اكتشف جوري فتش هذه الظاهرة عام ١٩٤٥ . فمع تدرج الحرارة في الموصى تتساق الفونات من طرفه الساخن إلى طرفه البارد بسرعة متوسطة v_{ph} .

في وجود مثل هذا الانسياق فإن الالكترونات المستطرارة بواسطة الفونونات المنساقة تكون متضمنة في الحركة الموجهة من الطرف الساخن إلى الطرف البارد ، وستكون سرعتها مساوية v_{ph} تقريباً . تجمع الالكترونات عند الطرف البارد للموصى واستفادها من الطرف الساخن يؤديان إلى ظهور القوة الدافعة الكهروحرارية v_{ph} .

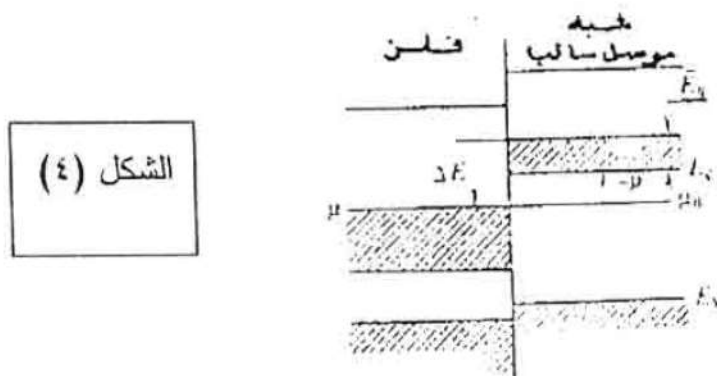
وقام بيكوس عام ١٩٥٦ بحساب القوة الدافعة الكهروحرارية التفاضلية الناشئة عن الانجراف الفوتوني حيث حصل على العلاقة التالية :

$$(20) \quad S_{ph} = \frac{K_B}{3e} \frac{m_n v^2_{ph}}{K_B T} \frac{\tau_{ph}}{\tau_e}$$

هنا v_{ph} هي سرعة الانسياق الفونوني ، τ_{ph} ، τ_e زمان التراخي للفونونات والالكترونات على الترتيب .

في مدى درجات الحراري المنخفضة ، فإن مركبة القوة الكهروحرارية هذه تكون اكبر عشرات ومئات الممرات عن المركبة الحجمية ومركبة الوصلة .

٧-٣) تأثير بليتير The Peltier effect



إذا مر تيار كهربى I في دائرة تتكون من موصلين ١ ، ٢ من مادتين مختلفتين كما الشكل (٤) ، فإن كمية من الحرارة $Q = I^2 R t$ ستتحرر عند الوصلتين A ، B ، R مقاومة الوصلة ، t زمن مرور التيار) نتيجة لتأثير جول. وعندما تكون الوصلتان لموصلين

متماثلين فإن هذه الحرارة هي فقط التي ستتحرر ، ومن وجهاً النظر هذه لا يوجد اختلاف بين الوصلة وبقية الدائرة . لكن في نفس الوقت وبعيداً عن الحرارة المتولدة بتأثير جول ستتحرر أو تمتضى كمية إضافية من الحرارة عند الوصلة المكونة من مادتين مختلفتين ، تعمل على تسخين الوصلة في الحالة الأولى أو تبریدها في الحالة الثانية .

هذه الظاهرة اكتشفها بلتبيه عام ١٨٣٤ وتسمى لذلك تأثير بلتبيه والحرارة الإضافية المحررة أو الممتضية تسمى "حرارة بلتبيه" ،

$$\cdot Q_p$$

وتوضح التجارب أن هذه الحرارة تتناسب طردياً مع شدة التيار I وزمن مروره في الوصلة t .

$$(21) \quad Q_p = \Pi I t$$

ثبتت التجارب Π يسمى معامل بلتبيه . وتنوقف قيمته على المواد المكونة للوصلة ودرجة حرارتها .

يوجد ارتباط مباشر بين تأثير بلتبيه وتأثير سبيك ، فالاختلاف في درجة الحرارة يسبب سريان تيار كهربى في دائرة تتكون من مادتين مختلفتين ، وسريان تيار كهربى في نفس الدائرة يولد فرقاً في درجة الحرارة . والعلاقة المعبرة عن هذا الارتباط ترجع إلى طومسون (لورد كلفن) الذي وضع أسس نظرية الديناميكا الحرارية للظواهر الكهروحرارية ، حيث يبين أن :

(٢٢)

$$S = \Pi / T$$

ويعزى تأثير بلتييه إلى الفرق بين متوسط طاقة الكترونات التوصيل في المواد المختلفة . فإذا أخذنا في الاعتبار ، كمثال ، وصلة من فلز وشبه موصل غير منحل من النوع السالب (الشكل ٤) نتبين بعد الوصول إلى حالة التزان أن منسوب فيرمي ينحدر . وستشهد في التوصيل الكهربائي في الفلز فقط تلك الإلكترونات التي توجد أقرب ما تكون لمنسوب فيرمي والتي تكون طاقتها المتوسطة مساوية عملياً لطاقة فيرمي .

ولنرمز لمتوسط طاقة الكترونات التوصيل في شبه الموصل بالرمز \bar{E}_n . هذه الطاقة لا تساوى الطاقة الحرارية للإلكترونات $3K_B T/2$ نظراً لأن الدور النسبي الذي تلعبه الإلكترونات الأسرع أكبر من الدور الذي تلعبه الإلكترونات الأبطأ .

وتؤدي الحسابات في حالة الغاز الألكتروني غير المنحل إلى :

(٢٣)

$$\bar{E}_n = (r + 2) K_B T$$

حيث r هي الأس في المعادلة (١٣)

ولنفرض أن التيار الكهربائي الذي يسري في الوصلة يكون بحيث تسرى الإلكترونات من شبه الموصل إلى الفلز . نجد أن كل الكترون يقفز من شبه الموصل إلى الفلز [الشكل ٢٤] يحمل طاقة إضافية تساوى :

(٢٤)

$$\Delta E = \bar{E}_n + (-\mu_n)$$

هذه الطاقة هي حرارة بلتبه وهي التي تتحرر بالقرب من الوصلة . وعندما ينعكس أو يتغير تجاه التيار ، فإن الإلكترونات التي تفزع من الفلز إلى شبه الموصل تمتص حرارة فتبرد الوصلة . وبقسمة E على شحنة الألكترون نحصل على معامل بلتبه

$$(25) \quad \Pi_{mn} = - \frac{\Delta E}{e} = - \frac{1}{e} (\bar{E}_n - \mu_n)$$

وبالتعويض عن μ من المعادلة

$$\mu = k_B T L_n \left[\frac{N}{V} \left(\frac{h^3}{2\pi m K_B T} \right)^{\frac{3}{2}} \right] e^{-e/k_B T}$$

وبالتعويض عن n من المعادلة (25) نحصل على :

$$(26) \quad \Pi_{mp} = \left[\frac{K_B T}{e} (r+2) + L_n \frac{2 (2\pi m_n K_B T)^{\frac{3}{2}}}{n h^3} \right]$$

وثمة معادلة مماثلة يمكن الحصول عليها من فلز وشبه موصل من النوع الموجب هي :

$$(27) \quad \Pi_{mn} = \frac{K_B T}{e} [(r+2) + L_n \frac{2 (2\pi m_p K_B T)^{\frac{3}{2}}}{n h^3}]$$

وبالنسبة لوصلة من فلزين يتعين معامل بلتبه من المعادلة (23) حيث يكون :

$$(28) \quad \Pi_{1,2} = (S_1 - S_2) T$$

وبالتعويض عن S من العلاقة (12) نحصل على :

$$(29) \quad \Pi_{1,2} = \frac{\pi^2 K_B^2 T^2}{3 e} (1+r) \left(\frac{1}{E_{F1}} - \frac{1}{E_{F2}} \right)$$

(٨-٣) تأثير طومسون The Thoms on effect

لنتصور موصلًا متجانسًا AB يتميز بوجود تدرج في درجة الحرارة $\frac{dT}{dx}$ على امتداد طوله يحمل تياراً كهربائياً I ، ارجع للشكل (٣-١ب) . ولقد تبايناً طومسون نظرياً . أن في مثل هذا الموصل ، وبعيداً عن الحرارة المترولة بتأثير جول ، تتحرر أو تمتص كمية إضافية من الحرارة Q تتناسب طردياً مع شدة التيار I والفرق في درجة الحرارة $(T_2 - T_1)$ والزمن t ، يتوقف هذا على اتجاه التيار :

$$(30) \quad Q_t = \tau I (T_2 - T_1) t$$

كمية الحرارة Q تسمى حرارة طومسون وثابت التناوب τ يسمى معامل طومسون ويتوقف على مادة الموصل وعلى درجة الحرارة . وتبعاً لنظرية طومسون ، فإن معامل طومسون لموصليين يرتبطان بالقوة الدافعة الكهروحرارية التفاضلية بالعلاقة :

$$(31) \quad \frac{dS_{1,2}}{dt} = \frac{\tau_1 - \tau_2}{T}$$

ويعزى تأثير طومسون إلى أنه في الموصل الذي يوجد به تدرج في درجة الحرارة لا يحمل فيض حاملات الشحنة الكهربائية فقط بل والحرارة أيضاً . ولنفرض أن التيار في الموصل AB ، الشكل ١ - ب يسرى في الاتجاه المناظر لسريان الإلكترونات من الطرف الساخن B إلى الطرف البارد A . الإلكترونات الساخنة بوصولها إلى

المناطق الباردة تعطى طاقتها الزائدة التي تقوم بتسخين الموصى .
وعندما ينعكس اتجاهه يبرد الموصى .

وفي الحسابات الكمية لتأثير طومسون ينبغي الأخذ في الحسبان أن القوة الدافعة الكهروحرارية المتولدة في الموصى تعمل في الحالة الأولى على رد الإلكترونات وتعمل في الحالة الثانية على تعجيلاها . هذه القوة الدافعة الكهروحرارية لا تغير مقدار معامل طومسون فحسب بل وأشارته .

(٩-٣) الظواهر الجالفانومغنتيسية

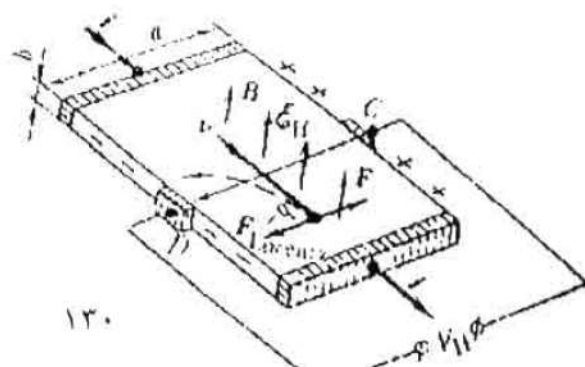
Galvanomagnetic phenomena

(١) تأثير هال The Hall effect

لنفرض تياراً كثافته J يسرى في موصى اتساعه a وسمكه b الشكل (٥) ولنأخذ نقطتين C ، D على وجهي الجانبين المتقابلين بحيث يكون الفرق في الجهد بينهما يساوى الصفر . إذا وضعنا هذا الموصى في مجال مغنتيسي كثافة فيضه B سيظهر فرق جهد V بين النقطتين C ، D سمي جهد هال .

الشكل (٥)

الشكل (٥)



وتوضح التجارب العملية أنه في حالة مجال مغناطيسي لا يكون قوياً بدرجة كافية :

$$(33) \quad V_H = R_H B J a$$

ثابت التاسب R_H يسمى معامل هال . وأبعاده $T^{-1} I^1 L^3$ ووحدته متر مكعب لكل كولوم (C/m^3) . ولنأخذ الآن في الإعتبار منشأ تأثير هال .

قوة لورنتز F_{Lorentz} المؤثرة على الكترون يتحرك من اليمين إلى اليسار بسرعة v ، الشكل(٥) تتعين من العلاقة :

$$F_{\text{Lorentz}} = e v \times B$$

وإذا كانت v عمودية على B فإن القوة تتعين من :

$$F_{\text{Lorentz}} = e v B$$

وتحرف قوة لورنتز الإلكترونات نحو الوجه الخارجي متذبذبة المسار المتنقطع في الشكل ، ويكتسب هذا الوجه شحنة سالبة ، بينما يكتسب الوجه المقابل شحنة موجبة . ويولد عن هذا مجال كهربى E_H اتجاهه من C إلى D .

$$E_H = V_H / a$$

حيث V_H هو فرق الجهد بين D ، C وهو كما ذكرنا جهد هال.

وينشأ عن المجال E_H قوة $F = e E_H$ تؤثر على الإلكترونات وتعمل في اتجاه مضاد لقوة لورنتز . وعندما تكون $f =$

$F_{larentz}$ لا يتكون مزيد من الشحنات على الوجهين المتقابلين للموصل.

من شروط الأتزان :

$$(34) \quad e v B = e \epsilon_H$$

ومن ثم يكون :

$$\epsilon_H = v B$$

وبضرب طرفى هذه العلاقة فى المسافة a بين النقطتين D, C ، نحصل على :

$$V_H = a \epsilon_H = v B a$$

وحيث أن :

$$v = j / e n \quad \text{فإن} \quad v = j$$

$$(35) \quad V_H = \frac{1}{ne} B j a$$

وهكذا نحصل نظرياً على علاقة تعبّر عن V_H مماثلة لتلك المستنيرة عملياً لذلك يكون معامل هال هو :

$$(36) \quad R_H = \frac{1}{ne}$$

ويترتب على المعادلة (36) أنه بمعرفة القيمة المطلقة لمعامل هال وإشارته يمكننا إيجاد تركيز حاملات الشحنة في الموصل وإشارتها أو نوعها . ففى موصل من النوع السالب (حاملات الشحنة الكترونات) تكون إشارة R_H سالبة ، وفى النوع الموجب (حاملات الشحنة فجوات) تكون إشارة R_H موجبة .

وإذا قسنا إضافة لذلك الموصليات الكهربائية $\mu = e n / \sigma$ للموصل. فإنه يمكننا حساب حركية حاملات الشحنة μ من العلاقة

$$(37) \quad R_H \sigma = \mu_H$$

الحركية μ_H المعينة من العلاقة (٣٧) والتي تسمى حركية Hall قد لا تتطابق مع حركية الانسياق المعينة من العلاقة μ

$$\mu = v_d / E.$$

وجدير بالذكر أن استنتاج العلاقة (٣٦) تم بافتراض أن كل حاملات الشحنة لها نفس السرعة v . مثل هذا الإفتراض صحيح في حالة الفلزات وأشباه الموصلات المنحلة لكنه ليس مقبولاً في حالة أشباه الموصلات غير المنحلة التي تتوزع فيها سرعات حاملات الشحنة تبعاً لدالة بولتزمان. وفي مثل هذه الحالة فإن، الحسابات الدقيقة تؤدي إلى :

$$(38) \quad R_H = A / en$$

حيث A ثابت ينوقف على آلية الاستطارة لحاملات الشحنة في البلورة وقيم A موضحة في الجدول الآتي :

الاستطارة بالأهتزازات الحرارية

جدول (٢)

	الشبكة الأيونية		الشبكة الذرية		الاستطارة بأيونات الشوائب
	$r < \theta$	$T > \theta$	A	0.99	1.11

وفي أشباه الموصلات ثنائية القطبية تحمل التيار آلياً كل من الالكترونات والفجوات .

ونظراً لأن شحنتها متضادة وأنها تتحرك في اتجاهين متضادين في مجال كهربى ، فإن قوة لورنتز $F_{Lorentz} = e v \times B$ تحرّفها في نفس الاتجاه . وبسبب هذا يكون جهد هال ومعاملات هال أصغر من نظيرتها في شبه موصل أحادي القطبية .

وفي أشباه الموصلات ثنائية القطبية يتعين معامل هال من العلاقة :

$$(39) \quad R_{II} = \frac{A (\mu_p - \mu_n)}{N_i e (\mu_p + \mu_n)}$$

حيث n ، p تركيز الالكترونات والفجوات على الترتيب ، μ_p ، μ_n حركتيها وتتوقف إشارة R_{II} على أي الحدين في البسط أكبر . R_{II} موجب .

وفي شبه الموصل النقى حيث يكون $n_i = p = n$ تأخذ العلاقة السابقة الشكل :

$$(40) \quad R_{II} = \frac{A}{n_i q} \frac{\mu_p - \mu_n}{\mu_p + \mu_n}$$

ويترتب على هذه العلاقة أن إشارة معامل هال تتغير بنوع حاملات الشحنة ذات الحركية الأكبر في المدى الذي تسلك فيه أشباه الموصلات سلوك أشباه الموصلات النقية . وكقاعدة تكون حاملات الشحنة هذه هي الكترونات . لذلك عندما يتحول شبه موصل غير نقي من النوع الموجب إلى شبه موصل نقي تتغير إشارة معامل هال .

ويوضح الجدول (٣) معاملات هال لبعض الفلزات وبعض أشباه الموصلات النقية (في درجة حرارة الغرفة) .

الجدول (٢)

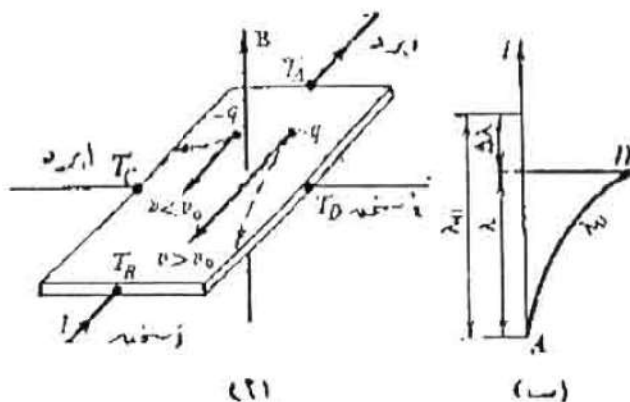
	Cu	Zn	Bi	Ge	Si
RH ($10^{-11} \text{ m}^3 / \text{c}$)	5.5	3.3	10^3	10^{10}	10^{13}

ومن هذا الجدول نتبين أن معامل هال لأشباه الموصلات أكبر بعدها ربـبـ من نظيره للفلزات . تفسير هذا يرجع إلى أن تركيز حاملات الشحنة في أشباه الموصلات أقل كثيراً من تركيزها في الفلزات مع أن حركيتها من ناحية أخرى أكبر كثيراً من نظيرتها في الفلزات .

٢) تأثير ايتنج هاوزن Ettingshausen effect

تفاوت السرعات الحرارية للإلكترونات في أشباه الموصلات غير المنحلة تفاوتاً كبيراً وفي مثل هذه الظروف تصبح المعادلة (٣٤) غير صالحة لجميع الإلكترونات دائمًا ، فقط لتلك الإلكترونات التي تكون متوسطات سرعتها v_0 . وبالنسبة للإلكترونات التي تكون سرعتها $v_0 > v$ سيكون $eB < eE_{II}$ وعندئذ ستتحرف هذه

الشكل (٦)



الإلكترونات نحو الوجه الأيمن للموصل ، الشكل (٦) . وبالنسبة للإلكترونات التي تكون سرعتها $v_0 < v$ سيكون $eB > eE_{II}$ وعندئذ ستتحرف نحو الوجه الأيسر للموصل .

الإلكترونات الأسرع التي تصل إلى الوجه الأيمن تفقد طاقتها إليه وتؤدي وبالتالي إلى سخونته . والإلكترونات الأبطأ التي تصل إلى الوجه الأيسر تعوض ما ينقصها من طاقة على حساب الطاقة الحرارية

للبلورة ومن ثم تؤدى إلى برودتھا . ولھذا يتولد فرق عرضي في درجة الحرارة $T_c = T_D - T$ وتعرف هذه الظاهرة باسم تأثير ايتنج هاوزن (مصطلح عرضي يرجع إلى أنه عمودي على اتجاه سريان التيار)

(٣) تأثير نيرمست Nernst effect

من المعروف أن الإلكترونات التي تدخل مجالاً مغناطيسياً منتظماً B عمودي على اتجاه سرعاتها v تبدأ في الحركة في مسار دائري نصف قطره

$$(41) \quad r =$$

ويترتب على المعادلة (٤١) أن الإلكترونات الأسرع تدور تحت تأثير المجال المغناطيسي بمعدل أقل من الإلكترونات الأبطأ لذلك يكون الوجه الأمامي للموصل أكثر غنى بالإلكترونات الساخنة ويكون الوجه الخلفي للموصل أكثر غنى بالإلكترونات الأبطأ ونتيجة لذلك يسخن الوجه الأمامي ويبعد الوجه الخلفي . ويتوارد نتيجة لذلك فرق طولي في درجة الحرارة هو $(T_B - T_A)$. وهذا هو تأثير نيرمست .

(٤) المقاومة المغناطيسية

في شكل (٦ - ب) يتضح أن مسارات الإلكترونات في مجال مغناطيسي بسرعات تختلف عن v تكون مسارات منحنية . ويؤدي هذا إلى إنفاص متوسط المسار الحر الفعال لها

في إتجاه التيار الكهربى . وإذا كان متوسط المسار الحر في اتجاه التيار في حالة عدم وجود المجال المغناطيسي هو λ_0 . وتحت تأثير المجال المغناطيسي يكون مساوياً مسقط القوس AD على اتجاه التيار J ، أى أن :

$$\lambda = \lambda_0 - \Delta \lambda$$

وحيث أن حركية حاملات الشحنة μ تتناسب طردياً مع متوسط المسار الحر ، فإن النقص $\Delta \lambda$ في متوسط المسار الحر سيؤدي إلى نقص في الحركية $\Delta \mu$ وإلى نقص في الموصولة الكهربية $\Delta \sigma$ لشبہ الموصل بحيث يكون :

$$\Delta \sigma / \sigma = \Delta \mu / \mu = \Delta \lambda / \lambda_0$$

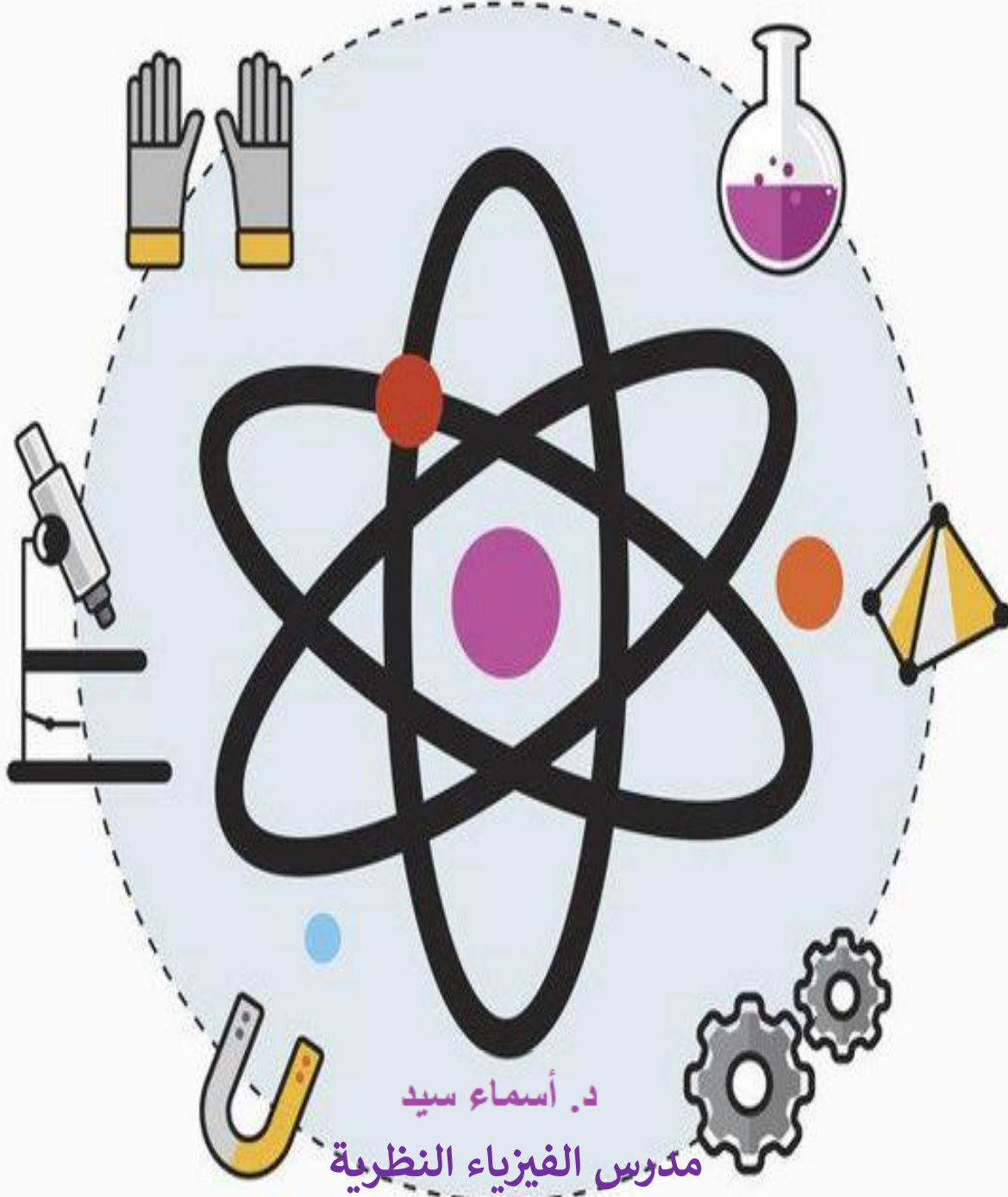
وتزودنا الدراسات النظرية بعلاقة تربط بين الزيادة في المقاومة النوعية لشبہ موصل غير نقى أحادى القطبية :

$$(42) \quad \frac{\Delta \rho}{\rho} = C \mu^2 B^2$$

حيث B كثافة الفيصل المغناطيسي ، C ثابت يتوقف على آلية استطاراة حاملات الشحنة .

النسبة $\frac{\Delta \rho}{\rho}$ تسمى المقاومة النوعية المغناطيسية . ويترتب على العلاقة (R) أنه بقياس المقاومة النوعية المغناطيسية يمكن للمرء مباشرة إيجاد حركية حاملات الشحنة .

تطبيقات نظرية الكم



Chapter Three

Free Particle

الجسيم الحر

سيكون الجسيم الحر التطبيق الاول لاسس الميكانيك الكمي التي عرضت في الفصل الثاني وسنبحث في هذا الفصل الصفات الكمية للجسيم الحر في بعد واحد وفي ثلاثة ابعاد.

الجسيم الحر: هو الجسيم الذي لا يتعرض الى اي قوة اي ان الجسيم يتحرك بحرية اي طاقته الكامنة متساوية الى

$$\text{صفر } V(x) = 0$$

نفرض ان جسيم كتلته m يتحرك ببعد واحد على امتداد المحور السيني في مجال جهد يساوي صفر اي ان الطاقة الكامنة $V(x) = 0$ تساوي صفر

معادلة شرودنكر الغير معتمدة على الزمن في بعد واحد

$$\left\{ -\frac{\hbar^2}{2m} \frac{d^2}{dx^2} + V(x) \right\} \psi(x) = E\psi(x)$$

$$V(x) = 0 \rightarrow -\frac{\hbar^2}{2m} \frac{d^2\psi(x)}{dx^2} = E\psi(x)$$

$$\frac{-2m}{\hbar^2} \quad \text{ضرب في}$$

$$\frac{d^2\psi(x)}{dx^2} + \frac{2mE}{\hbar^2} \psi(x) = 0$$

$$\therefore E = \frac{1}{2}mv^2 = \frac{p^2}{2m} = \frac{\hbar^2k^2}{2m}$$

$$\therefore k^2 = \frac{2mE}{\hbar^2}$$

$$\frac{d^2\psi(x)}{dx^2} + k^2\psi(x) = 0 \quad (1)$$

الحل العام للمعادلة (1) تكون بالشكل التالي

$$\psi(x) = Ae^{ikx} + Be^{-ikx}$$

حيث A ، B ثابتين اختياريين

ويمكن اعتبار الدالة e^{ikx} تمثل حركة جسيم يمتلك زخم $\hbar k$ وطاقة $(\frac{\hbar^2 k^2}{2m})$ ويتحرك بالاتجاه الموجب على

المحور السيني (x) ، بينما الدالة e^{-ikx} تمثل حركة جسيم بالاتجاه السالب على المحور السيني ويفترض ان هذا الجسيم يمتلك نفس الزخم ونفس الطاقة

والان نطبق الحل على بعض الحالات الخاصه للجسيم الحر

1. الحالة الاولى:

اذا كان الجسيم يتحرك بالاتجاه الموجب على المحور السيني فان الدالة التي تصف حركة هذا الجسيم هي

$$\psi(x) = A e^{ikx}$$

وكثافة الاحتمالية لوجود هذا الجسيم

$$|\psi(x)|^2 = \psi^*(x)\psi(x) = A^* e^{-ikx} A e^{ikx}$$

$$= A^* A = |A|^2$$

وعند رسم $|\psi(x)|^2$ مع x نحصل على الرسم البياني المبين



وهذا يعني ان كثافة الاحتمالية عند اي نقطة تساوي مقدار ثابت

2. الحالة الثانية:

ولما كان الجسيم يتحرك بالاتجاه السالب على المحور السيني فان الدالة التي تصف حركة هذا الجسيم هي

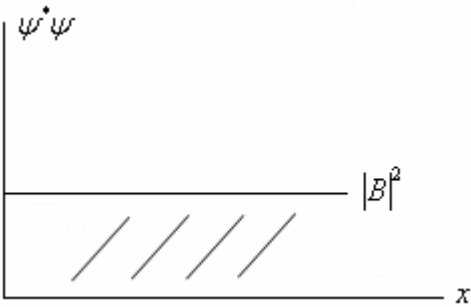
$$\psi(x) = B e^{-ikx}$$

فكثافة الاحتمالية لوجود هذا الجسيم

$$|\psi(x)|^2 = \psi^*(x)\psi(x) = B^* e^{ikx} B e^{-ikx}$$

$$= B^* B = |B|^2$$

و عند رسم الرسم البياني بين $|\psi(x)|^2$ ، x نحصل على



وهذا يعني ان كثافة الاحتمالية عند اي نقطة تساوي مقدار ثابت

3. الحالة الثالثة

اذا اخذنا حركة الجسيم في كلا الاتجاهين

$$\psi(x) = A e^{ikx} + B e^{-ikx}$$

فكثافة الاحتمالية لوجود هذا الجسيم

$$|\psi(x)|^2 = \psi^*(x)\psi(x) = (A^* e^{-ikx} + B^* e^{ikx})(A e^{ikx} + B e^{-ikx})$$

$$= A^* A + B^* B + A^* B e^{-2ikx} + B^* A e^{2ikx}$$

فإذا جعلنا اي ان عدد الجسيمات متساويه في كلا الاتجاهين $A = B$

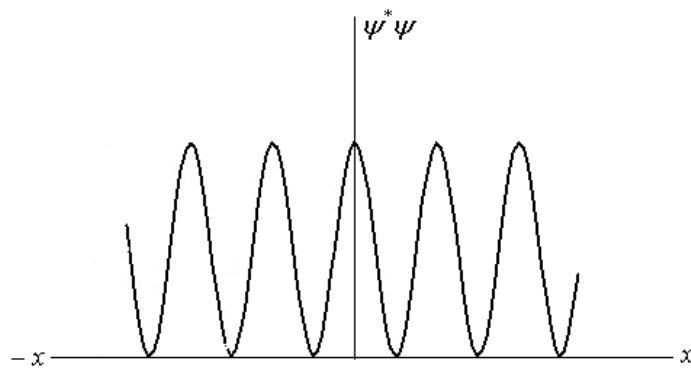
$$|\psi(x)|^2 = 2A^* A + A^* A (e^{2ikx} + e^{-2ikx})$$

$$= 2A^* A (1 + \frac{1}{2}(e^{2ikx} + e^{-2ikx}))$$

$$= 2A^* A (1 + \cos 2kx)$$

$$= 4A^* A \cos^2 kx$$

و عند رسم $|\psi(x)|^2$ مع x نحصل على الشكل وهذا يشير الى ان الاحتمالية تتغير مع الموضع



وبما ان الثابت k يمكن ان يأخذ اي قيمة وكذلك الطاقة E لان لا توجد شروط حدودية في حل معادلة الجسيم الحر وبذلك نحصل على طيف متصل من الطاقة. ولذلك نستطيع القول ان طاقة الجسيم الحر تكون غير مكممه.

ان مسألة الجسيم الحر تدلنا على احد التطبيقات لمبدأ الالاتجاه لمبدأ يزنبرك ، ولما كانت الدالة e^{+ikx} تصف حالة الجسم الذي زخمه $\hbar k$ وهذا مقدار ثابت فاننا نعرف زخمه بدقة كاملة (اي الالاتجاه في زخمه $\Delta p = 0$) وهذا يعني وفق مبدأ الالاتجاه $\Delta p \Delta x \geq \hbar$ عدم معرفة موقع الجسيم بصورة كاملة اي $\Delta x = \infty$

Q) Using the uncertainty Principle show that the variance in defining the position of a free particle is infinite.

Solution:

$$\Delta p \Delta x \geq \hbar$$

$$\therefore p_x = \hbar k \quad \text{For free particle}$$

$$\therefore \Delta p_x = 0$$

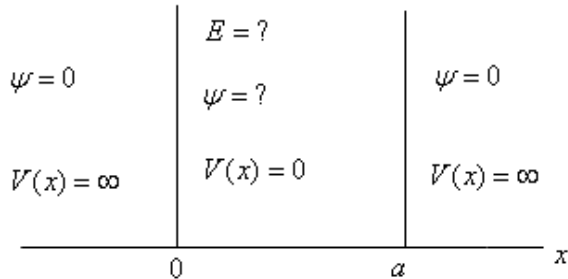
$$\therefore \Delta x \geq \frac{\hbar}{\Delta p} = \frac{\hbar}{\text{zero}} = \infty$$

$$\therefore \Delta x = \infty$$

Particle in Potential Box

جسيم في صندوق

نفرض ان جسيما كتلته (m) مقيد الحركة داخل صندوق في المنطقة بين ($x=0$ ، $x=a$) وطاقة الكلية E وطاقة الكامنة تتخذ على النحو الاتي وكما مبين في الشكل



$$V(x) = \begin{cases} 0 & 0 \leq x \leq a \\ \infty & 0 \geq x \geq a \end{cases}$$

ولما كانت حركة الجسيم في المنطقة المحصورة بين $0 \leq x \leq a$ ونظرا لوجود جدران صلبة عند نهايتي الصندوق اي ان ($V(x) = \infty$) فان الجسيم لا يستطيع ان يخترق الجدران وينفذ الى الخارج عند اصطدامه بها وعليه فان حركته تكون مقيدة بين جدران الصندوق.

وتتصرف الالكترونات الحرية في المعادن بطريقة مشابهة فعند اهمال تصادم الالكترونات مع الايونات الموجبة يكون ارتفاع الجهد اكبر بكثير من طاقة الالكترونات الحرية وبمقدور الالكترونات ان تتحرك بحرية في المعادن ولكن لا يمكن الافلات منه

وترجع اهمية هذه المسالة الى كونها تسلط اضواء على حركة الجسيم في حيز محدد وتكمم طاقة الجسيم. ولدراسة حركة هذا الجسيم نستخدم معادلة شروdonker الغير معتمدة على الزمن وسندرس بعض الحالات.

1. **الحالة الاولى** : في المنطقة ($a \geq x \geq 0$) فان الحل المحتمل الوحيد لمعادلة شروdonker هو ان $\psi(x) = 0$

طالما ان $V(x) = \infty$ وبدوره فان كثافة الاحتمالية $= |\psi(x)|^2$ وبالتالي فان احتمالية ايجاد الجسيم خارج الصندوق تساوي صفر.

2. **الحالة الثانية** : عندما يكون الجسيم داخل الصندوق حيث ($V(x) = 0$) في ($0 \leq x \leq a$)

$$\frac{d^2\psi}{dx^2} + \frac{2m}{\hbar^2} (E - V(x)) \psi(x) = 0$$

$$\frac{d^2\psi(x)}{dx^2} + \frac{2mE}{\hbar^2} \psi(x) = 0 \quad , \quad V(x) = 0$$

$$\frac{d^2\psi(x)}{dx^2} + k^2\psi(x) = 0 \quad , \quad k^2 = \frac{2mE}{\hbar^2} \quad , \quad E = \frac{\hbar^2 k^2}{2m}$$

حل هذه المعادلة يكون

$$\psi(x) = A e^{ikx} + B e^{-ikx}$$

ولاجاد المقدارين الثابتين A ، B نستخدم الشرطين الحدوبيين الآتيين
دالة الموجة تتلاشى وتصبح قيمتها صفر عندما $x=0$ وعند $x=a$

$$1. \psi(x=0)=0$$

$$2. \psi(x=a)=0$$

او لا عند $x=0$

$$A+B=0 \longrightarrow A=-B$$

$$\psi(x) = A(e^{ikx} - e^{-ikx})$$

وباستخدام طريقة اويلر

$$\therefore \psi(x) = A(\cos kx + i \sin kx - \cos kx + i \sin kx)$$

$$\therefore \psi(x) = 2iA \sin kx$$

$$\psi(x) = C \sin kx$$

حيث $C = 2iA$

ثانياً عند $x=a$

$$\psi(x=a) = C \sin ka = 0$$

الثابت C لا يمكن ان يساوي صفر

$$\therefore \sin ka = 0 \longrightarrow ka = n\pi$$

$$\therefore k = \frac{n\pi}{a}$$

حيث n يمثل عدد صحيح موجب $n=1, 2, 3, \dots$

وعند التعويض عن قيمة k نحصل على دالة الموجة وكذلك قيم طاقة الجسيم

$$\psi_n(x) = C \sin(n\pi x/a)$$

$$E = \frac{\hbar^2 k^2}{2m} \quad \longrightarrow \quad E_n = \frac{\pi^2 \hbar^2 n^2}{2ma^2} \quad (\text{قيم الطاقة الذاتية لجسيم يتحرك في صندوق})$$

نستطيع ان نستنتج جملة من النقاط المهمة

1. طاقة الجسيم داخل الصندوق تكون مكتملة اي لايمكن ان تكون اختيارية بل تأخذ قيم محددة (مكتملة) وهذه القيم تشكل مستويات الطاقة

$$(\text{Zero Point Energy}) \quad E_1 = \frac{\pi^2 \hbar^2}{2ma^2} \quad n = 1$$

الحالة الأرضية

$$E_2 = 4E_1 \quad n = 2$$

$$E_3 = 9E_1 \quad n = 3$$

$$E_4 = 16E_1 \quad n = 4$$

فيطلق على او طأ مستوى طاقة المميز بـ $n = 1$ بالحالة الأرضية اما الحالات المستويات الاخرى يمكن تحديدها بالاعداد الكمية 4,3,2 فيطلق عليها بالحالات المتهيجة

$$n = 4 \quad E_4 = 16E_1$$

$$n = 3 \quad E_3 = 9E_1$$

$$n = 2 \quad E_2 = 4E_1$$

$$n = 1 \quad E_1 = \frac{\pi^2 \hbar^2}{2ma^2}$$

2. لايمكن العدد الكمي n يساوي صفر وهذا يعني عدم وجود موجة او جسيم
3. ان الطاقة تتناسب مع a^{-2} فزيادته عرض الصندوق (a) فانها ستؤدي الى قيم طاقة اكثرا تقاربا وعندما تقترب (a) من المalanهاية فان مستويات الطاقة تقترب مع بعضها وتتصبح متصلة وهذه الحالة مشابهة للاطیاف الذریه المستمره.

لإيجاد الثابت C للمعادلة $\psi_n(x) = C \sin(n\pi x/a)$ نستخدم الشرط العياري للدالات الموجية اي ان

$$\int \psi_n^*(x) \psi_n(x) dx = 1$$

$$\int C^* \sin(n\pi x/a) C \sin(n\pi x/a) dx = 1$$

$$C^2 \int_0^a \sin^2(n\pi x/a) dx = 1$$

$$\sin^2 \theta = \frac{1}{2}(1 - \cos 2\theta) \quad \text{وباستخدام}$$

$$\frac{1}{2} C^2 \left\{ \int_0^a dx - \int_0^a \cos(2n\pi x/a) dx \right\} = 1$$

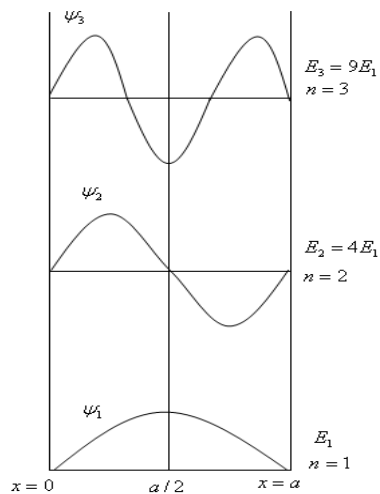
$$\frac{1}{2} C^2 \left\{ x \Big|_0^a - \left(\frac{a}{2n\pi} \right) \sin(2n\pi x/a) \Big|_0^a \right\} = 1$$

$$\frac{1}{2} C^2 \{(a - 0) - (a/2n\pi)(0 - 0)\} = 1$$

$$\frac{1}{2} C^2 a = 1 \quad \longrightarrow \quad C = \sqrt{\frac{2}{a}}$$

$$\therefore \psi_n(x) = \sqrt{\frac{2}{a}} \sin(n\pi x/a)$$

والشكل يوضح الدالات الموجية الثلاثة الاولى ψ_1 ، ψ_2 ، ψ_3



Q1) What is the energy for the particle described by the wave function $\psi(x) = \sqrt{\frac{2}{a}} \sin(n\pi x/a)$ and move along the interval $0 \leq x \leq a$.

Solution:

$$\begin{aligned}\hat{A}\psi_n &= a_n\psi_n \\ \hat{H}\psi_n &= E_n\psi_n \\ &= \frac{-\hbar^2}{2m} \frac{\partial^2}{\partial x^2} \cdot \sqrt{\frac{2}{a}} \sin(n\pi x/a) \\ &= \frac{-\hbar^2}{2m} \frac{\partial}{\partial x} \left\{ \sqrt{\frac{2}{a}} \cdot \frac{n\pi}{a} \cos(n\pi x/a) \right\} \\ &= \frac{n^2\pi^2\hbar^2}{2ma^2} \cdot \sqrt{\frac{2}{a}} \sin(n\pi x/a) \\ &= \frac{n^2\pi^2\hbar^2}{2ma^2} \psi_n \\ \therefore E_n &= \frac{n^2\pi^2\hbar^2}{2ma^2}\end{aligned}$$

Q2) What is the momentum square for the particle described by the wave function $\psi(x) = \sqrt{\frac{2}{a}} \sin(n\pi x/a)$ and move along the interval $0 \leq x \leq a$.

Solution:

$$\begin{aligned}\hat{A}\psi_n &= a_n\psi_n \\ \hat{p}^2\psi_n &= p_n^2\psi_n \\ &= -\hbar^2 \frac{\partial^2}{\partial x^2} \sqrt{\frac{2}{a}} \sin(n\pi x/a) \\ &= -\hbar^2 \frac{\partial}{\partial x} \left\{ \sqrt{\frac{2}{a}} \cdot \frac{n\pi}{a} \cos(n\pi x/a) \right\} \\ &= \frac{n^2\pi^2\hbar^2}{a^2} \sqrt{\frac{2}{a}} \sin(n\pi x/a) \\ &= \frac{n^2\pi^2\hbar^2}{a^2} \psi_n \\ \therefore p_n^2 &= \frac{n^2\pi^2\hbar^2}{a^2}\end{aligned}$$

Q3) Show that the wave function that described particle move in a potential box are orthogonal

Solution:

$$\int_0^a \psi_n^* \psi_m dx = 0 \quad \text{Orthogonal (متعامدة)}$$

$$\begin{aligned} \int_0^a \psi_n^* \psi_m dx &= \int_0^a \sqrt{\frac{2}{a}} \sin(n\pi x/a) \cdot \sqrt{\frac{2}{a}} \sin(m\pi x/a) dx \\ &= \frac{2}{a} \int_0^a \sin(n\pi x/a) \cdot \sin(m\pi x/a) dx \end{aligned}$$

$$\sin \alpha x \sin \beta x = \frac{1}{2} \{ \cos(\alpha - \beta)x - \cos(\alpha + \beta)x \}$$

وباستخدام العلاقة

$$\begin{aligned} \frac{1}{a} \int_0^a \{ \cos((n-m)\pi x/a) - \cos((n+m)\pi x/a) \} dx \\ \frac{1}{a} \left\{ \frac{a}{(n-m)\pi} \sin(n-m)\pi x/a - \frac{a}{(n+m)\pi} \sin(n+m)\pi x/a \right\} \Big|_0^a \end{aligned}$$

$$\frac{1}{a} \left\{ \frac{a}{(n-m)\pi} \sin(n-m)\pi - \frac{a}{(n+m)\pi} \sin(n+m)\pi \right\}$$

$\because (n-m)$ and $(n+m)$ are integer

$$\therefore \int_0^a \psi_n^* \psi_m dx = 0$$

Q4) Show that the wave function that described particle move in a potential box are normalized

Solution:

$$\int_0^a \psi_n^* \psi_n dx = 1 \quad \text{normalized} \quad (\text{عيارية})$$

$$\begin{aligned} \int_0^a \psi_n^* \psi_n dx &= \int_0^a \sqrt{\frac{2}{a}} \sin(n\pi x/a) \cdot \sqrt{\frac{2}{a}} \sin(n\pi x/a) dx \\ &= \frac{2}{a} \int_0^a \sin^2(n\pi x/a) dx \end{aligned}$$

$$\sin^2 \theta = \frac{1}{2}(1 - \cos 2\theta) \quad \text{وباستخدام العلاقة}$$

$$\therefore = \frac{2}{a} \int_0^a \left\{ \frac{1}{2} - \frac{1}{2} \cos(2n\pi x/a) \right\} dx$$

$$= \frac{1}{a} \int_0^a dx - \frac{1}{a} \int_0^a \cos(2n\pi x/a) dx$$

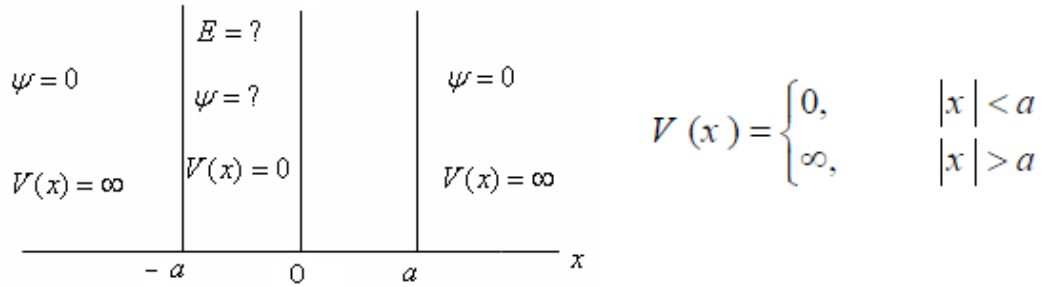
$$\frac{1}{a} (x) \Big|_0^a - \frac{1}{a} \frac{a}{2n\pi} \sin\left(\frac{2n\pi x}{a}\right) \Big|_0^a$$

$$\frac{1}{a} (a - 0) - \frac{1}{a} \frac{1}{2n\pi} \sin(2n\pi)$$

$$\because n \text{ is integer} \Rightarrow \sin 2n\pi = 0$$

$$\therefore \int_0^a \psi_n^* \psi_n dx = 1$$

مثال : ادرس حركة جسيم في مجال جهد متماثل كما بالشكل ويوصف بالتالي :



وأثبت أن

$$\psi_n(x) = \begin{cases} A \sin(n\pi x/2a) & n \text{ is even} \\ B \cos(n\pi x/2a) & n \text{ is odd} \end{cases}$$

$$E_n = \frac{\pi^2 \hbar^2 n^2}{8ma^2}, \quad A = B = \sqrt{\frac{1}{a}}$$

Solution :

$$\frac{d^2\psi(x)}{dx^2} + \frac{2mE}{\hbar^2} \psi(x) = 0 \quad , \quad V(x) = 0$$

$$\frac{d^2\psi(x)}{dx^2} + k^2 \psi(x) = 0 \quad , \quad k^2 = \frac{2mE}{\hbar^2} \quad , \quad E = \frac{\hbar^2 k^2}{2m}$$

$$\psi(x) = A \sin kx + B \cos kx$$

ولاجاد المقادرين الثابتين A ، B نستخدم الشرطين الحدوديين الآتيين
دالة الموجة تتلاشى وتصبح قيمتها صفر عندما $x = a$ وعند $x = -a$ عند

$$A \sin ka + B \cos ka = 0$$

عند $x = -a$

$$-A \sin ka + B \cos ka = 0$$

وهاتان المعادلتان تعطينا

$$-A \sin ka = B \cos ka = 0$$

وحيث A ، B كلاهما لا يمكن ان يساوي صفر لأن ذلك يعني ان ψ في كل مكان وكذلك فان $\cos ka$ لا يمكن ان كلاهما صفر في وقت واحد لهذا السبب فان الحلول الممكنة الوحيدة للمعادلة هما :

$$\begin{array}{lll} a & \cos ka = 0 & A = 0 \\ b & \sin ka = 0 & B = 0 \end{array} \quad \text{اما او}$$

وهاتان النتيجتان تتضمنا المعنى التالي

$$ka = \frac{n\pi}{2}$$

حيث n عدد فردي للحالة a وعدد زوجي للحالة b وهذا يكون الحال المتمم كما هو ات وعند التعويض عن قيمة k نحصل على دالة الموجة وكذلك قيم طاقة الجسيم

$$\psi_n(x) = B \sin(n\pi x/2a) \quad \text{عدد زوجي} \quad n$$

$$\psi_n(x) = A \cos(n\pi x/2a) \quad \text{عدد فردي} \quad n$$

$$E = \frac{\pi^2 \hbar^2 n^2}{8ma^2}$$

لإيجاد الثابت B للمعادلة $\psi_n(x) = B \sin(n\pi x/2a)$ نستخدم الشرط العياري للدالات الموجية اي ان

$$\int \psi_n^*(x) \psi_n(x) dx = 1$$

$$\int B^* \sin(n\pi x/2a) B \sin(n\pi x/2a) dx = 1$$

$$B^2 \int_{-a}^a \sin^2(n\pi x/2a) dx = 1$$

$$\sin^2 \theta = \frac{1}{2}(1 - \cos 2\theta)$$

$$\frac{1}{2} B^2 \left\{ \int_{-a}^a dx - \int_{-a}^a \cos(n\pi x/a) dx \right\} = 1$$

$$\frac{1}{2} B^2 \left\{ x \Big|_{-a}^a - \left(\frac{a}{n\pi} \right) \sin(n\pi x/a) \Big|_{-a}^a \right\} = 1$$

$$\frac{1}{2} B^2 \{(2a - 0) - (a/n\pi)(0 - 0)\} = 1$$

$$\frac{1}{2} B^2 2a = 1 \longrightarrow C = \sqrt{\frac{1}{a}}$$

$$\therefore \psi_n(x) = \sqrt{\frac{1}{a}} \sin(n\pi x/a)$$

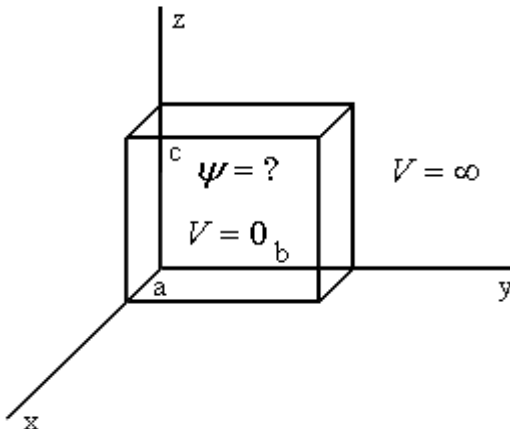
وبنفس الطريقة يمكن ايجاد الثابت A

Particle in Potential Box in three dimensions

جسيم في صندوق في ثلاثة ابعاد

سنبحث الان حالة الجسيم الحر في داخل صندوق الذي ابعاده a ، b ، c على التوالي ولنفرض ان اضلاع الصندوق مطابقة للمحاور الكارتيزية (x ، y ، z) ونقطة الاصل 0 تقع في احد زواياه كما في الشكل.

داخل الصندوق يكون الجهد $V = 0$ اما خارج الصندوق فان $V = \infty$



معادلة شرودنكر الغير معتمدة على الزمن داخل الصندوق

$$\frac{-\hbar^2}{2m} \nabla^2 \psi(x, y, z) = E \psi(x, y, z)$$

$$\frac{\partial^2 \psi(x, y, z)}{\partial x^2} + \frac{\partial^2 \psi(x, y, z)}{\partial y^2} + \frac{\partial^2 \psi(x, y, z)}{\partial z^2} + k^2 \psi(x, y, z) = 0 \quad *$$

$$k^2 = \frac{2mE}{\hbar^2} \quad \text{حيث ان}$$

ولحل المعادلة * نستخدم طريقة فصل المتغيرات باعتبار ان الدالة $\psi(x, y, z)$ تساوي حاصل ضرب ثلاث دوال بالشكل

$$\psi(x, y, z) = \psi(x) \cdot \psi(y) \cdot \psi(z)$$

$$\frac{\partial^2 \psi(x, y, z)}{\partial x^2} = \psi(y) \cdot \psi(z) \frac{d^2 \psi(x)}{dx^2}$$

$$\frac{\partial^2 \psi(x, y, z)}{\partial y^2} = \psi(x) \cdot \psi(z) \frac{d^2 \psi(y)}{dy^2}$$

$$\frac{\partial^2 \psi(x, y, z)}{\partial z^2} = \psi(x) \cdot \psi(y) \frac{d^2 \psi(z)}{dz^2}$$

وبتعويض هذه الكميات والقسمة على $\psi(x, y, z)$ نحصل على

$$\frac{1}{\psi(x)} \frac{d^2 \psi(x)}{dx^2} + \frac{1}{\psi(y)} \frac{d^2 \psi(y)}{dy^2} + \frac{1}{\psi(z)} \frac{d^2 \psi(z)}{dz^2} + k^2 = 0$$

و واضح فان كل حد من المعادلة اعلاه يجب ان يساوي ثابتنا ولتكن هذه الثوابت $-k_{(z)}^2$ ، $-k_{(y)}^2$ ، $-k_{(x)}^2$

$$\left. \begin{array}{l} \frac{d^2 \psi(x)}{dx^2} + k_{(x)}^2 \psi(x) = 0 \\ \frac{d^2 \psi(y)}{dy^2} + k_{(y)}^2 \psi(y) = 0 \\ \frac{d^2 \psi(z)}{dz^2} + k_{(z)}^2 \psi(z) = 0 \end{array} \right\} \quad * *$$

$$k = k_{(x)}^2 + k_{(y)}^2 + k_{(z)}^2$$

والحل العام لكل من المعادلات الثلاثة * اعلاه على التوالي

$$\psi(x) = A_x e^{ik_{(x)}x} + B_x e^{-ik_{(x)}x}$$

$$\psi(y) = A_y e^{ik_{(y)}y} + B_y e^{-ik_{(y)}y}$$

$$\psi(z) = A_z e^{ik_{(z)}z} + B_z e^{-ik_{(z)}z}$$

Using the same procedure we can get

$$\psi(x) = c_x \sin k_{(x)} x$$

$$\psi(y) = c_y \sin k_{(y)} y$$

$$\psi(z) = c_z \sin k_{(z)} z$$

$$\psi(x, y, z) = c_x \sin(k_{(x)} x) \cdot c_y \sin(k_{(y)} y) \cdot c_z \sin(k_{(z)} z)$$

$$\psi(x, y, z) = C \sin\left(\frac{n_x \pi}{a} x\right) \cdot \sin\left(\frac{n_y \pi}{b} y\right) \cdot \sin\left(\frac{n_z \pi}{c} z\right)$$

H.W Show that $C = \sqrt{\frac{8}{abc}}$

$$E = \frac{p^2}{2m} = \frac{\hbar^2 k^2}{2m} = \frac{\hbar^2}{2m} (k_{(x)}^2 + k_{(y)}^2 + k_{(z)}^2)$$

$$= \frac{\hbar^2 \pi}{2m} \left(\frac{n_x^2}{a} + \frac{n_y^2}{b} + \frac{n_z^2}{c} \right)$$

If $a = b = c = a$

$$\therefore E = \frac{\hbar^2 \pi}{2ma^2} (n_x^2 + n_y^2 + n_z^2)$$

نفرض ان E_1 حيث ان E_1 مقدار ثابت

$$\therefore E = E_1 (n_x^2 + n_y^2 + n_z^2)$$

وطبيعي فان مستويات الطاقة تعتمد على $(n_x^2 + n_y^2 + n_z^2)$ وفي جميع الحالات التي تكون فيها الاعداد الكمية

مرتبة بحيث يعطي نفس القيمة للعبارة $(n_x^2 + n_y^2 + n_z^2)$ تكون طاقاتها متساوية وبطبيعة الحال يمكن تبديل

n_z, n_y, n_x بدون ان يتغير المقدار العبارة $(n_x^2 + n_y^2 + n_z^2)$ وهذا يعني ان دوال الموجة تتغير بينما يبقى

مستوى الطاقة كما هو، اي انه من حل حسب تعريف الانحلال ودرجة الانحلال هنا تساوي عدد الترتيبات الممكنة

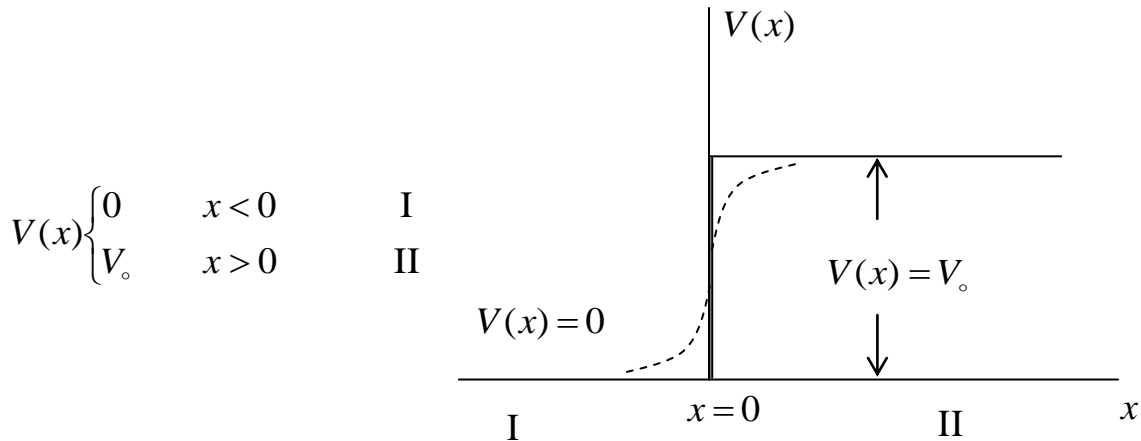
للاعداد الكمية n_z, n_y, n_x وفيما يلي جدول يبين عدد الترتيبات لست حالات مختلفة

Energy	Combination of n_z, n_y, n_x	degeneracy
$3E_1$	(1,1,1)	1
$6E_1$	(1,1,2) (1,2,1) (2,1,1)	3
$9E_1$	(1,2,2) (2,1,2) (2,2,1)	3
$11E_1$	(3,1,1) (1,3,1) (1,1,3)	3
$12E_1$	(2,2,2)	1
$14E_1$	(1,2,3) (3,2,1) (2,3,1) (1,3,2) (2,1,3) (3,1,2)	6

Potential Step

حاجز الجهد

سنحاول في هذا المقطع دراسة حركة جسيم في توزيع جهد كالمبين في الشكل التالي والذي يبين مدرج الجهد.



قيمة الطاقة الكامنة $V(x)$ تساوي صفر عندما $x < 0$ وقيمتها ثابتة وتساوي V_0 عندما $x > 0$. وبالحقيقة لا يتغير هنا الجهد الفيزيائي بصورة فجائية وإنما بصورة مستمرة وكما موضح بالمنحنى المنقط في الشكل. فالإلكترونات الحرة في المعدن تعاني تغيراً منتظماً في الجهد بالقرب من سطح المعدن وسبب معالجتنا للموضوع على أساس التغيير الفجائي هو لتجنب التعقيدات الرياضية.

ولسهولة الحل نجزيء الفراغ إلى منطقتين هما (I ، II) وكما مبين في الشكل فالمنطقة I تمثل الجسيمات في الوسط تكون فيه $V(x) = 0$ بينما المنطقة II تمثل الجسيمات في الوسط الذي تكون فيه $V(x) = V_0$.
والآن ندرس الحالتين عندما تكون طاقة الجسيم أصغر من ارتفاع الجهد V_0 (أي أن $E < V_0$) وعندما تكون طاقة الجسيم أكبر من ارتفاع الجهد V_0 (أي أن $E > V_0$)

او لا اذا كانت $E < V_0$

كلاسيكيًا : لا يمكن ان يتواجد الجسيم في المنطقة II اذن الوسط $x > 0$ محصور او من نوع كلاسيكيًا اذا كانت $E < V_0$.

كمياً : (اي من وجهة نظر الميكانيك الكمي)

نكتب معادلة شروdonker الغير معتمدة على الزمن بصورة منفصلة لكلا المنطقتين (I ، II)

ولا في المنطقة I

$$-\frac{\hbar^2}{2m} \frac{d^2\psi_1}{dx^2} + V(x) \psi_1 = E \psi_1$$

بما ان $V(x) = 0$

$$-\frac{\hbar^2}{2m} \frac{d^2\psi_1}{dx^2} = E\psi_1$$

$$\frac{d^2\psi_1}{dx^2} + \frac{2mE}{\hbar^2}\psi_1 = 0$$

$$\frac{d^2\psi_1(x)}{dx^2} + k^2\psi_1(x) = 0$$

$$k^2 = \frac{2mE}{\hbar^2}$$

حيث ان $\psi_1(x)$ الحل العام للمعادلة اعلاه

$$\psi_1(x) = \underbrace{Ae^{ikx}}_{\text{Incident}} + \underbrace{Be^{-ikx}}_{\text{Reflected}}$$

حيث Ae^{ikx} دالة الموجة الساقطة، Be^{-ikx} دالة الموجة المنعكسة

المنطقة II

تكون معادلة شرودنcker بالشكل التالي

$$\frac{d^2\psi_2}{dx^2} - \frac{2m}{\hbar^2}(V_\circ - E)\psi_2 = 0$$

$$\frac{d^2\psi_2}{dx^2} - \alpha^2\psi_2 = 0$$

$$\alpha^2 = \frac{2m}{\hbar^2}(V_\circ - E)$$

والحل العام لهذه المعادلة هو

$$\psi_2(x) = Ce^{-\alpha x} + De^{+\alpha x}$$

الدالة الموجية ψ ذات قيمة محددة Bounded ويجب ان تتلاشى في اللانهاية اي ان $\psi = 0$ عندما $x \rightarrow \infty$

لذلك يهمل الحد $De^{+\alpha x}$

$$\psi_2(x) = Ce^{-\alpha x}$$

دالة الموجة النافذة
Transmitted

وحقيقة كون ψ_2 لاتساوي صفر تعني ان هنالك احتمالية لتوارد الجسيم في المنطقة II المحضورة كلاسيكيا وان هذه الاحتمالية تقل مع زيادة x لايجد الثوابت A ، B ، C نطبق شرطي استمرارية دالة الموجة عند $x = 0$

$$1. \quad \psi_1(x=0) = \psi_2(x=0)$$

$$2. \quad \frac{d\psi_1}{dx} \Big|_{x=0} = \frac{d\psi_2}{dx} \Big|_{x=0}$$

$$A + B = C$$

$$ik(A - B) = -\alpha C$$

H.W

$$\therefore C = \left(\frac{2ik}{ik - \alpha} \right) A \quad , \quad B = \left(\frac{ik + \alpha}{ik - \alpha} \right) A$$

وبالتعويض عن الثوابت B ، C بالمعادلة 1 ، 2 ينتج

$$\psi_1(x) = \frac{A}{ik - \alpha} \left\{ (ik - \alpha) e^{ikx} + (ik + \alpha) e^{-ikx} \right\}$$

$$\psi_2(x) = \frac{2ikA}{ik - \alpha} e^{-\alpha x}$$

وإذا اعتربنا ان $|A|^2$ تمثل شدة المجال الساقط و شدة المجال المنعكس هو $|B|^2$

$$|B|^2 = B^* \cdot B = \left(\frac{-ik + \alpha}{-ik - \alpha} \right) \cdot \left(\frac{ik + \alpha}{ik - \alpha} \right) \cdot A^* \cdot A$$

$$|B|^2 = B^* \cdot B = \left(\frac{-ik + \alpha}{-ik - \alpha} \right) \cdot \left(\frac{-(-ik - \alpha)}{-(-ik + \alpha)} \right) \cdot A^* \cdot A$$

$$|B|^2 = |A|^2$$

اذن، شدة المجال الساقط تساوي شدة المجال المنعكس. وقد تفسر هذه النتيجة بقولنا ان جميع الجسيمات التي تصل حاجز الجهد (مدرج الجهد) عندما $V < E$ ستتعكس وبضمونها التي تتغلغل في المنطقة II

ولما كانت

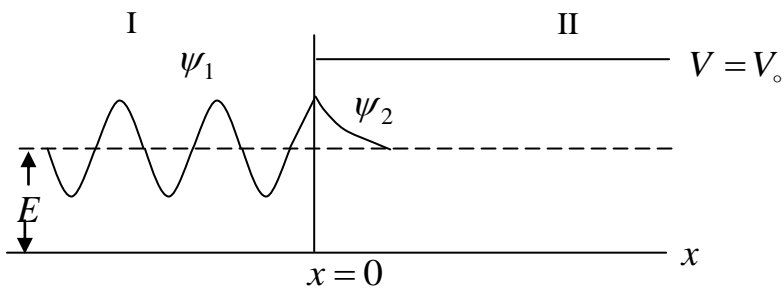
$$\psi_1(x) = \frac{A}{ik - \alpha} \left\{ (ik - \alpha) e^{ikx} + (ik + \alpha) e^{-ikx} \right\}$$

وباستخدام $e^{\pm ikx} = \cos kx \pm i \sin kx$

$$\psi_1(x) = \frac{2ikA}{ik - \alpha} (\cos kx - \frac{\alpha}{k} \sin kx)$$

$$\psi_2(x) = \frac{2ikA}{ik - \alpha} e^{-\alpha x}$$

وبالإهمال التأثير $\frac{2ik}{ik - \alpha}$ يمكن رسم ψ_1 ، ψ_2 بالشكل التالي



كلما كبرت الطاقة الكامنة V_0 كبرت قيمة α ووفقاً لذلك تسرعت الدالة ψ_2 بالتناقص لقيم $x > 0$ ان كثافة احتمالية وجود الجسيم في المنطقة II (في المنطقة الممنوعة كلاسيكيا تكون)

$$|\psi_2(x)|^2 = \psi_2^*(x)\psi_2(x)$$

$$= \frac{4k^2 A^2}{k^2 + \alpha^2} e^{-\alpha x}$$

وهذه الاحتمالية تتناقص كلما توغلنا أكثر عميق المنطقة II اي تتناقص بزيادة x

ثانياً اذا كانت $E > V_0$

اولاً في المنطقة I

$$\frac{d^2\psi_1}{dx^2} + \frac{2mE}{\hbar^2} \psi_1 = 0$$

$$\frac{d^2\psi_1(x)}{dx^2} + k^2 \psi_1(x) = 0$$

$$k^2 = \frac{2mE}{\hbar^2} \quad \text{حيث ان}$$

$$\therefore \psi_1(x) = A e^{ikx} + B e^{-ikx}$$

ان وجود B بذاته في هذه المعادلة يشير الى ان هنالك احتمالية في ان ترتد وتنعكس بعض الجسيمات اثناء سقوطها على الحاجز.

في المنطقة II

تكون معادلة شرودنكر بالشكل التالي

$$\frac{d^2\psi_2}{dx^2} + \frac{2m}{\hbar^2}(E - V_{\circ}) \psi_2 = 0$$

$$\frac{d^2\psi_2}{dx^2} + k'^2 \psi_2 = 0 \quad , \quad k'^2 = \frac{2m}{\hbar^2}(E - V_{\circ})$$

$$\alpha^2 = \frac{2m}{\hbar^2}(V_{\circ} - E) \quad \text{حيث ان}$$

حل هذه المعادلة هو

$$\psi_2(x) = C e^{ik'x} + D e^{-ik'x}$$

يهمل الحد الثاني لعدم وجود موجات منعكسة في الوسط الثاني

$$\therefore \psi_2(x) = C e^{ik'x}$$

لايجد الثوابت A ، B ، C نطبق شرطي استمرارية دالة الموجة عند $x=0$

$$1. \psi_1(x=0) = \psi_2(x=0)$$

$$2. \left. \frac{d\psi_1}{dx} \right|_{x=0} = \left. \frac{d\psi_2}{dx} \right|_{x=0}$$

$$A + B = C$$

$$k(A - B) = k'C$$

$$\underline{\mathcal{H.W}} \therefore C = \left(\frac{2k}{k' + k} \right) A \quad , \quad B = \left(\frac{k' - k}{k' + k} \right) A$$

س / احسب معامل الانعكاس والنفاذ حاجز الجهد عندما $E > V_0$

الجواب

يعرف معامل الانعكاس (R) بأنه نسبة الجسيمات الساقطة التي تعاني انعكاسا من حاجز الجهد ورياضيا يعطى

$$R = \left| \frac{J_R}{J_i} \right|$$

حيث

J_i هو تيار الاحتمالية للموجة الساقطة

J_R هو تيار الاحتمالية للموجة المنعكسة

ولو اردنا حساب تيار الاحتمالية للموجة الساقطة من المعادلة العامة لتيار الاحتمالية (راجع الفصل الثاني)

$$\begin{aligned} j &= \frac{\hbar}{2mi} (\psi^* \nabla \psi - \psi \nabla \psi^*) \\ &= \frac{\hbar}{2mi} (\psi^* \frac{d\psi}{dx} - \psi \frac{d\psi^*}{dx}) \\ \therefore j_i &= \frac{\hbar}{2mi} (A^* e^{-ikx} \cdot \frac{d}{dx} A e^{ikx} - A e^{ikx} \cdot \frac{d}{dx} A^* e^{-ikx}) \\ j_i &= \frac{\hbar k}{m} |A|^2 \end{aligned}$$

وبنفس الاسلوب نجد تيار الاحتمالية للموجة المنعكسة

$$\begin{aligned} j_R &= \frac{\hbar}{2mi} (B^* e^{ikx} \cdot \frac{d}{dx} B e^{-ikx} - B e^{-ikx} \cdot \frac{d}{dx} B^* e^{ikx}) \\ &= \frac{\hbar k}{m} |B|^2 \end{aligned}$$

وبالتغيير عن A ، B نجد

$$\therefore R = \left| \frac{J_R}{J_i} \right| = \frac{|B|^2}{|A|^2} = \left(\frac{k - k'}{k + k'} \right)$$

وكما يعرف معامل الانفاذ T بأنه نسبة من الجسيمات الساقطة التي تعاني نفاذها من خلال حاجز الجهد ورياضيا يعطى

$$T = \left| \frac{J_T}{J_i} \right|$$

حيث ان

J_T هو تيار الاحتمالية للموجة النافذة

J_i هو تيار الاحتمالية للموجة الساقطة

وبنفس الاسلوب نجد تيار الاحتمالية للموجة النافذة

$$j_T = \frac{\hbar k'}{m} |C|^2$$

وتيار الاحتمالية للموجة الساقطة J_i هو

$$j_i = \frac{\hbar k}{m} |A|^2$$

$$\therefore T = \left| \frac{J_T}{J_i} \right| = \left| \left(\frac{\hbar k'}{m} |C|^2 \right) / \left(\frac{\hbar k}{m} |A|^2 \right) \right|$$

وبالتعويض عن قيمة C
اذن

$$T = \frac{4kk'}{(k+k')^2}$$

ولكي يكون عدد الجسيمات محفوظا

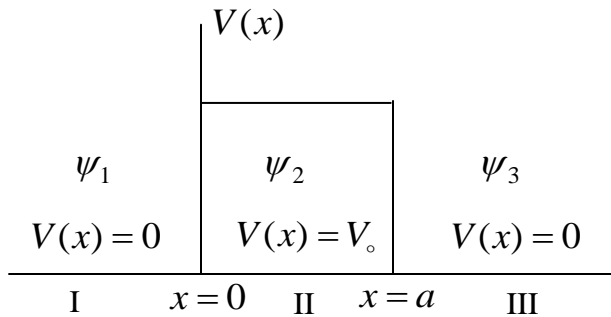
$$R + T = \left(\frac{k-k'}{k+k'} \right)^2 + \frac{4kk'}{(k+k')^2} = 1$$

Potential Barrier Penetration

اختراق حاجز الجهد

في هذه المسالة سنقوم بدراسة حزمة من الجسيماتقادمة من $-\infty = x$ تسقط على حاجز ذي ارتفاع مقداره V_0 وعرضه يساوي a وكما مبين في الشكل التالي هنا نجزئ الفراغ إلى ثلاثة مناطق I ، II ، III

$\psi = \psi_1$	$x < 0$	عندما	$V(x) = 0$	I	المنطقة
$\psi = \psi_2$	$0 \leq x \leq a$	عندما	$V(x) = V_0$	II	المنطقة
$\psi = \psi_3$	$x > a$	عندما	$V(x) = 0$	III	المنطقة



استناداً إلى الميكانيك الكلاسيكي إذا كانت طاقة الجسيم E أكبر من V_0 فانها ستتجاوز الحاجز حتماً، وتتعكس عنه إذا كانت طاقتها أقل من V_0 . هنا ندرس الحالة من وجهة نظر الميكانيك الكمي ونأخذ الحالتين $E < V_0$ ، $E > V_0$ على انفراد

او لا عندما $E < V_0$

I المنطقة

$$\frac{d^2\psi_1}{dx^2} + \frac{2mE}{\hbar^2} \psi_1 = 0$$

$$\frac{d^2\psi_1(x)}{dx^2} + k^2 \psi_1(x) = 0$$

$$k^2 = \frac{2mE}{\hbar^2}$$

حيث ان حل هذه للمعادلة هو

$$\psi_1(x) = A e^{ikx} + B e^{-ikx} \quad (1)$$

المنطقة II

$$\frac{d^2\psi_2}{dx^2} - \frac{2m}{\hbar^2}(V_{\circ} - E) \psi_2 = 0$$

$$\frac{d^2\psi_2}{dx^2} - \alpha^2 \psi_2 = 0$$

$$\alpha^2 = \frac{2m}{\hbar^2}(V_{\circ} - E)$$

حيث ان

حل هذه للمعادلة هو

$$\psi_2(x) = C e^{-\alpha x} + D e^{+\alpha x}$$

(2)

المنطقة III

$$\frac{d^2\psi_3}{dx^2} + \frac{2mE}{\hbar^2} \psi_3 = 0$$

$$\frac{d^2\psi_3(x)}{dx^2} + k^2 \psi_3(x) = 0$$

$$k^2 = \frac{2mE}{\hbar^2}$$

حيث ان

حل هذه للمعادلة هو

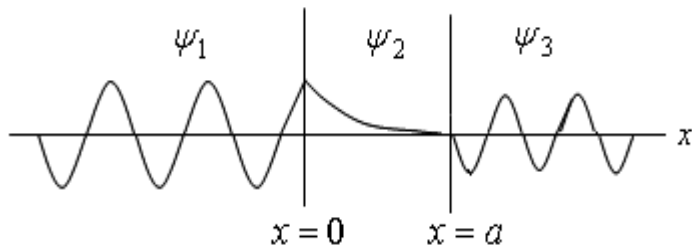
$$\psi_3(x) = A' e^{ikx} + B' e^{-ikx}$$

يهمل الحد الثاني من المعادلة الاخيره لعدم وجود موجة منعكسة في المنطقة III

$$\therefore \psi_3(x) = A' e^{ikx}$$

(3)

ويمكن الان ان نفترض تصرف دالة الموجة وكما في الشكل ادناه وكل سابق تحدي دالة الموجة ψ_1 (المعادلة (1)) على الجسيمات الساقطة والمنعكسة اما ψ_2 (المعادلة (2)) فتضمحل اسيا وتمتد الى $x = a$ ولما كانت دالة الموجة ψ_2 لا تساوي صفر عند $x = a$ لذلك تستمر دالة الموجة في الوسط III وبشكل تذبذبي هو ψ_3 (المعادلة (3)) وهي تمثل الجسيمات النافذة والتي لها نفس طاقة الجسيمات الساقطة ولكن بسعة A' تختلف عن A (سعة اقل لان السعة تعني شدة الحرارة اي الكثافة العددية للجسيمات وبما ان جزءا من هذه الجسيمات انعكس وارتد الى الخلف في كل من $x = 0$ ، $x = a$ لذلك تكون الشدة اقل اي السعة اقل في هذه المنطقة). ولما كانت ψ_3 لا تساوي صفر فهناك احتمالية تواجد الجسيم في الوسط III وبعبارة اخرى بامكان الجسيم اختراق حاجز الجهد حتى لو كانت طاقته الحركية اقل من ارتفاع حاجز الجهد.



ثانياً إذا كانت $E > V_{\circ}$

ان نتائج الميكانيك الكلاسيكي لهذه الحالة تشير الى ان جميع الجسيمات الساقطة على حاجز الجهد تمر عبر الحاجز الى المنطقة الثالثة في حين ستجد عن طريق المعالجة الكمية ان هناك احتمالية لبعض الجسيمات ستعكس عند نقطتين $x = 0$ ، $x = a$ وترتد الى الخلف.

ان دوال الموجة لهذه المناطق الثلاثة في هذه الحالة هي على التوالي

المنطقة I

$$\frac{d^2\psi_1}{dx^2} + \frac{2mE}{\hbar^2} \psi_1 = 0$$

$$\frac{d^2\psi_1(x)}{dx^2} + k^2\psi_1(x) = 0 \quad , \quad k^2 = \frac{2mE}{\hbar^2}$$

$$\therefore \psi_1(x) = A e^{ikx} + B e^{-ikx}$$

المنطقة II

$$\frac{d^2\psi_2}{dx^2} + \frac{2m}{\hbar^2}(E - V_{\circ}) \psi_2 = 0$$

$$\frac{d^2\psi_2}{dx^2} + k'^2\psi_2 = 0 \quad , \quad k'^2 = \frac{2m}{\hbar^2}(E - V_{\circ})$$

$$\therefore \psi_2(x) = C e^{ik'x} + D e^{-ik'x}$$

المنطقة III

$$\frac{d^2\psi_3}{dx^2} + \frac{2mE}{\hbar^2} \psi_3 = 0$$

$$\frac{d^2\psi_3(x)}{dx^2} + k^2\psi_3(x) = 0 \quad , \quad k^2 = \frac{2mE}{\hbar^2} \quad \text{حيث ان}$$

$$\psi_3(x) = A'e^{ikx} + B'e^{-ikx}$$

يهمل الحد الثاني من المعادلة الاخيره لعدم وجود موجة منعكسة في المنطقة III وبذلك يكون

$$\therefore \psi_3(x) = A'e^{ikx}$$

س) جسيم يتحرك في صندوق الجهد الذي يوصف بدالة الموجة او جد $\langle p_x \rangle = \sqrt{\frac{2}{a}} \sin(n\pi x/a)$ اوجد $\Delta p \Delta x$ ، $\langle x^2 \rangle$ ، $\langle x \rangle$ ، $\langle p_x^2 \rangle$

Solution:

$$\begin{aligned}
 \langle p_x \rangle &= \int_{-\infty}^{\infty} \psi_n(x) \hat{p}_x \psi_n(x) dx \\
 &= \int_0^a \sqrt{\frac{2}{a}} \sin(n\pi x/a) (-i\hbar \frac{\partial}{\partial x}) \sqrt{\frac{2}{a}} \sin(n\pi x/a) dx \\
 &= \frac{-2i\hbar}{a} \int_0^a \sin(n\pi x/a) \cdot \frac{n\pi}{a} \cos(n\pi x/a) dx \\
 &= \frac{-2i\hbar n\pi}{a^2} \int_0^a \sin(n\pi x/a) \cos(n\pi x/a) dx \\
 &= \frac{-i\hbar}{a} \left. \sin^2(n\pi x/a) \right|_0^a \\
 &= 0
 \end{aligned}$$

ولما كان الزخم كمية متوجهة فمعدله يساوي صفر وتقدير ذلك بان احتمالية كون الجسيم يتحرك نحو اليسار تساوي احتمالية حركته نحو اليمين ولا تدل على ان الجسيم تعوزه الحركة

والآن نجد $\langle p_x^2 \rangle$

$$\begin{aligned}
 \langle p_x^2 \rangle &= \int_0^a \sqrt{\frac{2}{a}} \sin(n\pi x/a) (-\hbar^2 \frac{\partial^2}{\partial x^2}) \sqrt{\frac{2}{a}} \sin(n\pi x/a) dx \\
 &= \frac{-2\hbar^2}{a} \int_0^a \sin(n\pi x/a) \frac{\partial^2}{\partial x^2} \sin(n\pi x/a) dx \\
 &= \frac{-2\hbar^2}{a} \int_0^a \sin(n\pi x/a) \frac{\partial}{\partial x} \frac{n\pi}{a} \cos(n\pi x/a) dx \\
 &= \frac{-2n\pi\hbar^2}{a^2} \int_0^a \sin(n\pi x/a) \frac{\partial}{\partial x} \cos(n\pi x/a) dx
 \end{aligned}$$

$$= \frac{2n^2\pi^2\hbar^2}{a^3} \int_0^a \sin(n\pi x/a) \sin(n\pi x/a) dx$$

ويمكن كتابة المعادلة الأخيرة بالشكل التالي

$$\frac{n^2\pi^2\hbar^2}{a^2} = \int_0^a \sqrt{\frac{2}{a}} \sin(n\pi x/a) \sqrt{\frac{2}{a}} \sin(n\pi x/a) dx$$

وبما ان دوال الموجة لجسيم يتحرك في صندوق الجهد هي عيارية اي ان

$$\int_0^a \sqrt{\frac{2}{a}} \sin(n\pi x/a) \sqrt{\frac{2}{a}} \sin(n\pi x/a) dx = 1$$

$$\therefore \langle p^2 \rangle = \frac{n^2\pi^2\hbar^2}{a^2}$$

$$\therefore (\Delta p)^2 = \langle p^2 \rangle - \langle p \rangle^2 = \frac{n^2\pi^2\hbar^2}{a^2}$$

$$= \frac{n^2\pi^2\hbar^2}{a^2}$$

$$\therefore (\Delta p) = \frac{n\pi\hbar}{a}$$

والآن نجد $\langle x \rangle$

$$\langle x \rangle = \int_0^a \psi_n(x) x \psi_n(x) dx$$

$$= \int_0^a \sqrt{\frac{2}{a}} \sin(n\pi x/a) x \sqrt{\frac{2}{a}} \sin(n\pi x/a) dx$$

$$= \int_0^a x \sin^2(n\pi x/a) dx$$

ان هذا التكامل بسيط جدا وقيمه

$$\langle x \rangle = \frac{a}{2} \Rightarrow \langle x \rangle^2 = \frac{a^2}{4}$$

وهي تشير الى تواجد الجسيم في نصف الصندوق اليسير او الايمن بنفس الاحتمالية

والآن نجد $\langle x^2 \rangle$

$$\begin{aligned}
\langle x^2 \rangle &= \int_0^a \psi_n(x) x^2 \psi_n(x) dx \\
&= \int_0^a \sqrt{\frac{2}{a}} \sin(n\pi x/a) x^2 \sqrt{\frac{2}{a}} \sin(n\pi x/a) dx \\
&= \frac{2}{a} \int_0^a x^2 \sin^2(n\pi x/a) dx
\end{aligned}$$

ان هذا التكامل بسيط وقيمه هي

$$\langle x^2 \rangle = \frac{a^2}{3} - \frac{a^2}{2n^2\pi^2}$$

$$\therefore (\Delta x)^2 = \langle x^2 \rangle - \langle x \rangle^2$$

$$= \frac{a^2}{3} - \frac{a^2}{2n^2\pi^2} - \frac{a^2}{4}$$

$$= a^2 \left[\frac{1}{12} - \frac{1}{2n^2\pi^2} \right]$$

$$\therefore \Delta x = a \left[\frac{1}{12} - \frac{1}{2n^2\pi^2} \right]$$

$$\Delta p \Delta x = \frac{n\pi\hbar}{a} - a \left[\frac{1}{12} - \frac{1}{2n^2\pi^2} \right]$$

$$\Delta p \Delta x = \hbar \left[\frac{n^2\pi^2}{12} - \frac{1}{2} \right]$$

ان اقل قيمة لحاصل الضرب ينتمي الى الحالة الارضية $n=1$

$$\Delta p \Delta x = 0.567 \hbar$$

وهذه النتيجة تتفق مع $\Delta p \Delta x \geq \hbar$

Chapter Four

Linear Harmonic Oscillator

المتذبذب التواافقى الخطى

وفقا للنظرية الكلاسيكية فإن المتذبذب التواافقى عبارة عن جسم كتلته m يتحرك ذهابا وابدا حول موضع استقراره تحت تأثير القوة المعيدة Restoring Force اي ان

$$F = -kx$$

حيث ان k تمثل مقدار ثابت ويطلق عليه ثابت القوة، والإشارة السالبة تعنى ان القوة تكون باتجاه معاكس لاتجاه الازاحة x . يمكن الحصول على معادلة الحركة من خلال قانون نيوتن الثاني:

$$F = m\ddot{x}$$

$$-kx = m\ddot{x}$$

$$m\ddot{x} + kx = 0 \Rightarrow \ddot{x} + \frac{k}{m}x = 0$$

$$\ddot{x} + \omega^2 x = 0$$

حيث ان $\omega = \sqrt{\frac{k}{m}}$ التردد الزاوي ، ان معادلة الحركة اعلاه تقبل بنوعين من الحلول هما

$$x = a \cos \omega t$$

$$x = a \sin \omega t$$

وكلا الحلين يمثل حركة اهتزازية بتردد زاوي ω وسعة a ويرتبط الجهد بالقوة بالعلاقة

$$F = -\frac{\partial V(x)}{\partial x} = -kx$$

وبعد اجراء عملية التكامل لهذه المعادلة نجد ان

$$V(x) = \frac{1}{2}k^2 x^2 = \frac{1}{2}m\omega^2 x^2$$

ان الطاقة الكلية للمتذبذب التواقي يمكن ايجادها وكما يلي:

$$E = T + V(x)$$

$$= \frac{1}{2}m\dot{x}^2 + \frac{1}{2}m\omega^2x^2$$

$$\therefore E = \frac{1}{2}m\omega^2a^2$$

من خلال الدراسة الكلاسيكية للمتذبذب التواقي اعلاه يمكن ان نستنتج مايلي

1. The minimum energy of H.O. is zero.
2. The energy of H.O. has a continuous spectrum of values.
3. The probability density of finding the oscillating particle has an inverse proportionality with its speed.
 1. الطاقة الدنيا للمتذبذب التواقي تساوي صفر.
 2. الطاقة للمتذبذب التواقي لها طيف مستمر من القيم.
 3. كثافة الاحتمالية للمتذبذب تتناسب عكسيا مع السرعة.
 4. لا توجد حدود قصوى تفرض على الطاقة التي يمكن ان يتذبذب بها المتذبذب التواقي .

ان مسألة المتذبذب التواقي من المسائل المهمة في ميكانيك الكم. حيث ترتبط هذه المسألة في تطبيقات عملية عديدة مثل اهتزاز جزيئات وذرارات المواد الصلبة التي تقرب عادة من اهتزازات تواافية بسيطة وكذلك المجال الكهرومغناطيسي الذي يمكن اعتباره في تطبيقات كثيرة كعدد من الاهتزازات التواافية البسيطة.

المؤثر الهايكلوني للمذبذب التواقي هو (The Hamiltonian of H.O is)

$$\hat{H} = \frac{\hat{p}^2}{2m} + \frac{1}{2}m\omega^2\hat{x}^2$$

$$-\frac{\hbar^2}{2m}\frac{d^2\psi_n}{dx^2} + V(x)\psi_n = E_n\psi_n$$

معادلة شرودنكر غير المعتمدة على الزمن

$$V(x) = \frac{1}{2}m\omega^2x^2$$

نعرض عن

$$-\frac{\hbar^2}{2m}\frac{d^2\psi_n}{dx^2} + \frac{1}{2}m\omega^2x^2\psi_n = E_n\psi_n$$

$$\frac{d^2\psi_n}{dx^2} + \frac{2m}{\hbar^2} \left\{ E_n - \left(\frac{1}{2}m\omega^2x^2 \right) \right\} \psi_n = 0$$

$$\frac{d^2\psi_n}{dx^2} + \left(\frac{2mE_n}{\hbar^2} - \frac{m^2\omega^2}{\hbar^2}x^2 \right) \psi_n = 0$$

$$\frac{d^2\psi_n}{dx^2} + \frac{m\omega}{\hbar} \left(\frac{2E_n}{\hbar\omega} - \frac{m\omega}{\hbar}x^2 \right) \psi_n = 0$$

نفرض ان

$$y = \sqrt{\frac{m\omega}{\hbar}} x \quad y = \alpha x \quad \alpha = \sqrt{\frac{m\omega}{\hbar}}$$

and

$$\varepsilon_n = \frac{2E_n}{\hbar\omega} \quad (1)$$

$$\therefore \frac{d^2\psi_n}{dx^2} + \frac{m\omega}{\hbar}(\varepsilon_n - y^2)\psi_n = 0$$

$$\frac{d}{dx} = \frac{d}{dy} \frac{dy}{dx} = \sqrt{\frac{m\omega}{\hbar}} \frac{d}{dy}$$

$$\frac{d^2}{dx^2} = \left(\frac{dy}{dx} \right)^2 \frac{d^2}{dy^2}$$

$$= \frac{m\omega}{\hbar} \frac{d^2}{dy^2}$$

$$\frac{m\omega}{\hbar} \frac{d^2\psi_n}{dy^2} + \left(\frac{m\omega}{\hbar} (\varepsilon_n - y^2) \right) \psi_n = 0 \quad \div \quad \frac{m\omega}{\hbar}$$

$$\frac{d^2\psi_n}{dy^2} + (\varepsilon_n - y^2) \psi_n = 0 \quad (2)$$

س / اثبت ان المتغيرات ε_n ، y هي متغيرات خالية من الوحدات ($\mathcal{H}\mathcal{U}$)

المعادلة (2) يمكن حلها بثلاث طرق هي :

1. طريقة شرودنكر او معالجة شرودنكر Schrödinger Treatment

2. طريقة المؤثرات Operator Treatment

3. طريقة المصفوفات Matrix Treatment

1. طريقة شرودنكر Schrödinger Treatment

في حالة $y \rightarrow \infty$ يمكن اهمال المقدار ε_n فالمعادلة (2) تصبح بالصيغة التالية

$$\frac{d^2\psi_n}{dy^2} - y^2 \psi_n = 0 \quad (3)$$

والآن نجد الحل التقريبي للحالة التي تكون فيها y كبيرة فاذا فرضنا ان

$$\psi_n(y) = e^{cy^2}$$

$$\frac{d\psi_n}{dy} = 2cy e^{cy^2}$$

$$\frac{d^2\psi_n}{dy^2} = 2c e^{cy^2} + 2cy e^{cy^2} \cdot 2cy$$

$$= 2c e^{cy^2} + 4c^2 y^2 e^{cy^2}$$

وبالتعويض عن ψ_n ، في المعادلة (3) نحصل على

$$4c^2 y^2 e^{cy^2} + 2c e^{cy^2} - y^2 e^{cy^2} = 0$$

وبالاهتمام بالحد الوسطي في المعادلة اعلاه لصغره نحصل على

$$(4c^2 - 1)y^2 e^{cy^2} = 0$$

$$\therefore 4c^2 - 1 = 0$$

$$c = \pm \frac{1}{2}$$

$$\therefore \psi_n(y) = e^{\pm \frac{1}{2}y^2}$$

ولما كانت دالة الموجة $(y)\psi_n$ يجب ان تقترب من الصفر عندما تقترب y من الانتهاية فان الحل $e^{\pm \frac{1}{2}y^2}$ يجب ان يهمل ونحتفظ بحل تقريري واحد هو

$$\therefore \psi_n(y) = e^{-\frac{1}{2}y^2} \quad (4)$$

وهو يمثل حل تقريريا وللقيم الكبيرة للمتغير y . واذا اردنا الحصول على الحل المطبوع فاننا نضرب الحل التقريري

للمعادلة (4) بدالة اعتباطية للمتغير y مثلا $F(y)$

$$\therefore \psi_n(y) = F(y) e^{-\frac{1}{2}y^2} \quad (5)$$

$$\frac{d\psi_n}{dy} = F'(y) e^{-\frac{1}{2}y^2} + (-yF(y) e^{-\frac{1}{2}y^2})$$

$$\psi'_n = F'(y) e^{-\frac{1}{2}y^2} - yF(y) e^{-\frac{1}{2}y^2}$$

$$\begin{aligned}\frac{d^2\psi_n(y)}{dy^2} &= \psi''_n(y) = F''(y) e^{-\frac{1}{2}y^2} - yF'(y) e^{-\frac{1}{2}y^2} - F'(y) y e^{-\frac{1}{2}y^2} \\ &\quad - F(y)\{(1) e^{-\frac{1}{2}y^2} + y e^{-\frac{1}{2}y^2}(-y)\}\end{aligned}$$

$$\psi''_n(y) = F''(y) e^{-\frac{1}{2}y^2} - 2yF'(y) e^{-\frac{1}{2}y^2} - F(y) e^{-\frac{1}{2}y^2} + y^2 F(y) e^{-\frac{1}{2}y^2}$$

وبتعويض العلاقة الأخيرة في المعادلة (2) نحصل

$$\{F''(y) - 2yF'(y) - F(y) + y^2 F(y) + \varepsilon_n F(y) - y^2 F(y)\} e^{-\frac{1}{2}y^2} = 0$$

$$\therefore F''(y) - 2yF'(y) + (\varepsilon_n - 1)F(y) = 0 \quad (6)$$

ان معادلة هيرميت التفاضلية من الدرجة n لها الصيغة الرياضية التالية:

$$H''_n(y) - 2yH'_n(y) + 2nH_n(y) = 0 \quad (7)$$

وحل هذه المعادلة يدعى بمتحدة حدود هيرميت Hermit Polynomial والصيغة الرياضية لهذا الحل

$$H_n(y) = (-)^n e^{y^2} \frac{d^n}{dy^n} e^{-y^2}$$

$$n = 0, 1, 2, 3, \dots \quad \text{حيث ان}$$

بمقارنة العلاقات (6) ، (7) نجد ان

$$F(y) = H_n(y)$$

$$\varepsilon_n - 1 = 2n$$

$$\therefore \varepsilon_n = 2n + 1$$

اذن المعادلة (5) يمكن ان تكتب بالشكل التالي

$$\psi_n(y) = H_n(y) e^{-\frac{1}{2}y^2}$$

ولاحل ان تكون دالة الموجة للمتذبذب التواافقى معيرة نضربها بثابت مثل N_n اي ان

$$\psi_n(y) = N_n H_n(y) e^{-\frac{1}{2}y^2} \quad (8)$$

حيث سند قيمة ثابت المعايرة N_n لاحقا

المعادلة (8) الان يمكن كتابتها بالشكل التالي حيث ان $x = \alpha$

$$\psi_n(x) = N_n H_n(\alpha x) e^{-\frac{\alpha^2 x^2}{2}} \quad (9)$$

حيث ان ω هو التردد الدائري الكلاسيكي و $H_n(\alpha x)$ هو كثيرة حدود هيرميت من الدرجة n

من معادلة (1)

$$E_n = \frac{\hbar\omega}{2} \epsilon_n$$

$$E_n = \frac{\hbar\omega}{2} (2n + 1)$$

$$\therefore E_n = \hbar\omega(n + \frac{1}{2}) \quad (10)$$

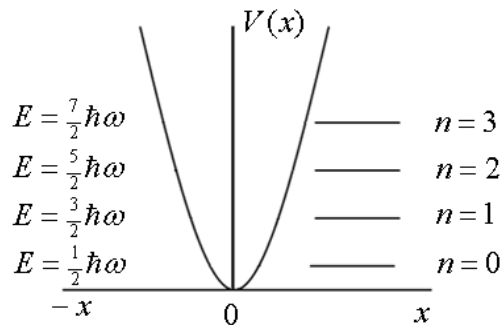
ان المعادلة (9) تمثل الصيغة العامة لدوال الموجة الذاتية والتي تصف المتذبذب التواافقى والمعادلة (10) تمثل القيم الذاتية لطاقة المتذبذب التواافقى، حيث n هو العدد الكمي ويأخذ الاعداد الصحيحة $n = 0, 1, 2, 3, \dots$

والمعادلة (10) تدلنا على ان طاقة المتذبذب التواافقى هي طاقة مكممة واقل قيمة لهذه الطاقة هي

$$E_0 = \frac{1}{2}\hbar\omega \quad (\text{Zero Point Energy})$$

التي تتميز بالعدد الكمي $n = 0$ والتي تسمى بطاقة نقطة الصفر وهي اقل طاقة يستطيع المتذبذب امتلاكها.

الشكل يمثل مستويات الطاقة وهي متباينة بمقادير متساوية كل منها $\hbar\omega$



س / جد E_n ، ε_n ، $H_n(y)$ لأول أربعة حالات من n

الحل:-

باستخدام العلاقات التالية

$$H_n(y) = (-)^n e^{y^2} \frac{d^n}{dy^n} e^{-y^2}$$

$$\varepsilon_n = 2n + 1$$

$$E_n = \hbar\omega(n + \frac{1}{2})$$

<u>n</u>	<u>$H_n(y)$</u>	<u>ε_n</u>	<u>E_n</u>
0	1	1	$\frac{1}{2}\hbar\omega$
1	$2y$	3	$\frac{3}{2}\hbar\omega$
2	$4y^2 - 2$	5	$\frac{5}{2}\hbar\omega$
3	$8y^3 - 12y$	7	$\frac{7}{2}\hbar\omega$

Generating Function

الدالة المولدة

الدالة الرياضية تدعى بالدالة المولدة

$$G(t, y) = e^{y^2 - (t-y)^2}$$

$$G(t, y) = e^{-t^2 + 2ty} \quad (11)$$

وهي احدى اهم النظريات التي تتعلق بكثيرة حدود هيرميت وترتبط معها بالعلاقة

$$e^{-t^2 + 2ty} = \sum_{n=0}^{\infty} \frac{H_n(y) t^n}{n!} \quad (12)$$

ويمكن ان نثبت ان الطرف اليسرى يساوى الطرف اليسرى في المعادلة (12) وكما يلي

$$\begin{aligned} \text{R.H.S} &= \sum_{n=0}^{\infty} \frac{H_n(y) t^n}{n!} \\ &= H_0(y) + \frac{H_1(y) t}{1!} + \frac{H_2(y) t^2}{2!} + \dots \\ &= 1 + 2yt + (4y^2 - 2)\frac{t^2}{2} + \dots \\ &= 1 + 2yt + (2y^2 - 1)t^2 + \dots \end{aligned} \quad (\text{a})$$

وباستخدام متسلسلة تايلر عند النقطة ($t = 0$) يمكن نشر الطرف اليسرى

$$f(t) = f(0) + f'(0) \cdot t + \frac{f''(0)}{2!} \cdot t^2 + \frac{f'''(0)}{3!} \cdot t^3 + \dots$$

$$L.H.S = 1 + 2yt + (2y^2 - 1)t^2 + \dots \quad (\text{b})$$

من الملاحظ ان المعادلة (b) هي نفسها المعادلة (a) اذن

$$\text{L.H.S} = \text{R.H.S}$$

الدوال الموجية للمتنبب التواافقى متعامدة وعيارية

The Wave Function of H.O are Orthonormal

لقد بينا في الفصل الثاني ان الدوال الموجية التي تحقق معادلة شروبنكر هي دوال عيارية ومتتعامدة وقد عبرنا عن هذه الحقيقة من خلال المعادلة

$$\int_{-\infty}^{\infty} \psi_m^* \psi_n d\tau = \delta_{mn}$$

$$\begin{array}{ll} \delta_{mn} = 0 & m \neq n \\ = 1 & n = m \end{array} \quad \text{حيث ان}$$

و واضح ان في حالة المتنبب التواافقى $\psi_m^* = \psi_m$ وباستخدام الدوال الموجية المعطاة في المعادلة (9) نحصل على

$$N_m N_n \int_{-\infty}^{\infty} e^{-\alpha^2 x^2} H_m(\alpha x) H_n(\alpha x) dx = \delta_{mn}$$

اذن في حالة $n \neq m$ تكون الدوال الموجية متعامدة

$$N_m N_n \int_{-\infty}^{\infty} e^{-\alpha^2 x^2} H_m(\alpha x) H_n(\alpha x) dx = 0$$

اذن

$$\int_{-\infty}^{\infty} e^{-\alpha^2 x^2} H_m(\alpha x) H_n(\alpha x) dx = 0 \quad (13)$$

وفي حالة $n = m$ تكون الدوال الموجية عيارية

$$\int_{-\infty}^{\infty} \psi_n^*(x) \psi_n(x) dx = N_n^2 \int_{-\infty}^{\infty} e^{-\alpha^2 x^2} H_n^2(\alpha x) dx = 1$$

ايجاد ثابت التعبير N_n

لایجاد ثابت التعبير N_n نستخدم الشرط العباري

$$\int_{-\infty}^{\infty} \psi_n^*(x) \psi_n(x) dx = N_n^2 \int_{-\infty}^{\infty} e^{-\alpha^2 x^2} H_n^2(\alpha x) dx = 1$$

و عند تبديل المتغير x بالمتغير y حسب العلاقة $y = \alpha x$ وان $dy = \alpha dx$

$$\frac{N_n^2}{\alpha} \int_{-\infty}^{\infty} e^{-y^2} H_n^2(y) dy = 1 \quad (a)$$

ولایجاد هذا التكامل نستخدم تعريف الدالة المولدة كما يلي

$$g(t, y) = e^{-t^2 + 2ty} = \sum_{n=0}^{\infty} \frac{H_n(y)}{n!} t^n$$

نضرب هذه الدالة في نفسها ثم بالمقدار e^{-y^2} ونكمال على الفضاء سنجصل:

$$\int_{-\infty}^{\infty} g(t, y) g(t, y) e^{-y^2} dy = \sum_{n=0}^{\infty} \left(\frac{t^n}{n!} \right)^2 \int_{-\infty}^{\infty} e^{-y^2} H_n^2(y) dy$$

من الملاحظ ان التكامل في الطرف الايمن من العلاقة الاخيرة هو نفسه التكامل في المعادلة (a). الان نجد التكامل

في الطرف الايسر وكما يلي

$$\begin{aligned} L.H.S &= \int_{-\infty}^{\infty} g(t, y) g(t, y) e^{-y^2} dy \\ L.H.S &= \int_{-\infty}^{\infty} e^{-t^2 + 2ty} e^{-t^2 + 2ty} e^{-y^2} dy \\ &= \int_{-\infty}^{\infty} e^{-2t^2 + 4ty - y^2} dy = \int_{-\infty}^{\infty} e^{2t^2} e^{-2t^2} e^{-2t^2 + 4ty - y^2} dy \\ &= e^{2t^2} \int_{-\infty}^{\infty} e^{-4t^2 + 4ty - y^2} dy \end{aligned}$$

$$= e^{2t^2} \int_{-\infty}^{\infty} e^{-(y-2t)^2} dy$$

ولحل التكامل اعلاه نفرض ان $y - 2t = z$

$$L.H.S = e^{2t^2} \int_{-\infty}^{\infty} e^{-z^2} dz$$

$$\int_{-\infty}^{\infty} e^{-z^2} dz = \sqrt{\pi} \quad \text{وقيمة التكامل}$$

$$= e^{2t^2} \sqrt{\pi}$$

وباستخدام متسلسلة تايلر لنشر الدالة e^{2t^2}

$$e^{2t^2} = 1 + 2t^2 + \frac{(2t^2)^2}{2!} + \frac{(2t^2)^3}{3!} + \dots$$

$$= \sum_{n=0}^{\infty} \frac{2^n (t^2)^n}{n!}$$

$$\therefore L.H.S = \sqrt{\pi} \sum_{n=0}^{\infty} \frac{2^n t^{2n}}{n!}$$

$$R.H.S = \sum_{n=0}^{\infty} \left(\frac{t^n}{n!} \right)^2 \int_{-\infty}^{\infty} e^{-y^2} H_n^2(y) dy$$

وبالرجوع الى المعادلة (a) نجد ان

$$R.H.S = \sum_{n=0}^{\infty} \left(\frac{t^n}{n!} \right)^2 \cdot \frac{\alpha}{N_n^2}$$

$$\therefore \sum_{n=0}^{\infty} \frac{2^n t^{2n}}{n!} \sqrt{\pi} = \sum_{n=0}^{\infty} \frac{t^{2n}}{(n!)^2} \cdot \frac{\alpha}{N_n^2}$$

$$\sum_{n=0}^{\infty} \frac{t^{2n}}{(n!)^2} \cdot \frac{\alpha}{N_n^2} - \sum_{n=0}^{\infty} \frac{2^n t^{2n}}{n!} \sqrt{\pi} = 0$$

$$\sum_{n=0}^{\infty} \frac{t^{2n}}{(n!)^2} \left\{ \frac{\alpha}{N_n^2} - 2^n n! \sqrt{\pi} \right\} = 0$$

$$\Rightarrow N_n = \left(\frac{\alpha}{2^n n! \sqrt{\pi}} \right)^{\frac{1}{2}} = \left(\frac{\sqrt{\frac{m\omega}{\hbar}}}{2^n n! \sqrt{\pi}} \right)^{\frac{1}{2}}$$

$$\therefore \psi_n(x) = \left(\frac{\alpha}{2^n n! \sqrt{\pi}} \right)^{\frac{1}{2}} e^{-\frac{\alpha^2 x^2}{2}} H_n(\alpha x)$$

و فيما يلي ندرج في الجدول أدناه الدوال الذاتية العيارية والطاقة المقابلة لها لقيم $n = 0, 1, 2, 3$

n	$\psi_n(x) = \left(\frac{\alpha}{2^n n! \sqrt{\pi}} \right)^{\frac{1}{2}} e^{-\frac{\alpha^2 x^2}{2}} H_n(\alpha x)$	$E_n = \hbar\omega(n + \frac{1}{2})$
0	$(\alpha^{\frac{1}{2}} / \pi^{\frac{1}{4}}) e^{-\frac{\alpha^2 x^2}{2}}$	$\frac{1}{2} \hbar\omega$
1	$(\alpha^{\frac{1}{2}} / 2^{\frac{1}{2}} \pi^{\frac{1}{4}}) 2(\alpha x) e^{-\frac{\alpha^2 x^2}{2}}$	$\frac{3}{2} \hbar\omega$
2	$(\alpha^{\frac{1}{2}} / 8\pi^{\frac{1}{4}}) (4\alpha^2 x^2 - 2) e^{-\frac{\alpha^2 x^2}{2}}$	$\frac{5}{2} \hbar\omega$
3	$(\alpha^{\frac{1}{2}} / 48\pi^{\frac{1}{4}}) (8\alpha^3 x^3 - 12\alpha x) e^{-\frac{\alpha^2 x^2}{2}}$	$\frac{7}{2} \hbar\omega$

على اننا نستطيع ايجاد $H_n(y)$ او αx لاي قيمة لـ n من العلاقة التالية

$$H_n(y) = (-)^n e^{y^2} \frac{d^n}{dy^n} e^{-y^2}$$

بالاضافة الى ذلك فان $H_n(y)$ تخضع لعلاقات تفاضلية وتكاملية على درجة كبيرة من الفائدة منها

$$\int_{-\infty}^{\infty} e^{-y^2} H_m(y) H_n(y) dy = 2^n n! \sqrt{\pi} \delta_{mn}$$

نلاحظ انه اذا كان $n \neq m$ فان التكامل يصبح صفر وكما بینا سابقا واما كان $n = m$ فان المعادلة تصبح

$$\int_{-\infty}^{\infty} e^{-y^2} H_n^2(y) dy = 2^n n! \sqrt{\pi} \quad (14)$$

$$\frac{dH_n(y)}{dy} = H_n'(y) = 2nH_{n-1}(y) \quad (15)$$

$$2yH_n(y) = H_{n+1}(y) + 2nH_{n-1}(y) \quad (16)$$

$$H_n''(y) - 2yH_n'(y) + 2nH_n(y) = 0 \quad (7)$$

مقارنة النظرية الكلاسيكية مع النظرية الكميه

Comparison of classical theory with quantum theory

تختلف النتائج التي حصلنا عليها عن نتائج النظرية الكلاسيكية فيما يلي

1. طاقة الحالة الدنيا لا تساوي صفر واقل قيمة للطاقة يمكن ان يتزدها المتذبذب هي $\frac{1}{2}\hbar\omega$.
2. مستويات الطاقة غير متصلة بل منقطة (Discrete).
3. في النظرية الكلاسيكية تتناسب كثافة الاحتمالية عكسيا مع الانطلاق اما النظرية الكميه فانها تعطى بالكميه

$|\psi_n(x)|^2$ وبدون شك فهي تعطي تصرف مختلفا عن تصرف المتذبذب الكلاسيكي.

Prove that:

$$1. \frac{dH_n(y)}{dy} = 2nH_{n-1}(y)$$

$$2. yH_n(y) = \frac{1}{2}H_{n+1}(y) + nH_{n-1}(y)$$

$$3. H_n''(y) - 2yH_n'(y) + 2nH_n(y) = 0$$

$$4. y\psi_n = \sqrt{\frac{n}{2}} \psi_{n-1}(y) + \sqrt{\frac{n+1}{2}} \psi_{n+1}(y)$$

$$5. \frac{d\psi_n(y)}{dy} = -y\psi_n(y) + \sqrt{2n} \psi_{n-1}(y)$$

$$6. \frac{1}{\sqrt{2}}\left(y + \frac{d}{dy}\right) \psi_n(y) = \sqrt{n} \psi_{n-1}(y)$$

$$7. \frac{1}{\sqrt{2}}\left(y - \frac{d}{dy}\right) \psi_n(y) = \sqrt{n+1} \psi_{n+1}(y)$$

8. برهن ان القيمة المتوقعة للطاقة الكامنة للمتذبذب التواافقی لحالة ذاتیة للطاقة هي

$$\langle V(x) \rangle = \frac{1}{2}(n + \frac{1}{2})\hbar\omega$$

9. Consider a simple Harmonic oscillator, compute the expectation values $\langle T \rangle$.

10. استخدم شرط المعايرة وتعريف الدالة المولدة اثبت ان

$$a) N_n = (2^n n! \sqrt{\pi})^{-\frac{1}{2}}$$

$$b) N_n = \left(\frac{\alpha}{2^n n! \sqrt{\pi}} \right)^{\frac{1}{2}}$$

ج.11 $H_3 \cdot H_2 \cdot H_1 \cdot H_0$

12. برهن ان الدوال الموجية التالية هي دوال متعامده وعيارية

$$\psi_0(x) = (\alpha^{\frac{1}{2}} / \pi^{\frac{1}{4}}) e^{-\frac{\alpha^2 x^2}{2}}$$

$$\psi_1(x) = (\alpha^{\frac{1}{2}} / 2^{\frac{1}{2}} \pi^{\frac{1}{4}}) 2(\alpha x) e^{-\frac{\alpha^2 x^2}{2}}$$

13. جد $\Delta x \Delta p$ مستخدما $\psi_0(x)$ في السؤال التاسع

14.) Using the uncertainty relation $\Delta p \Delta x \geq \frac{\hbar}{2}$ estimate the energy ground state of

harmonic oscillator

15.) برهن اذا كانت n زوجية فان $H_n(-y) = H_n(y)$ واذا كانت n فردية فان $H_n(-y) = -H_n(y)$

16.) Consider a simple harmonic oscillator find $\Delta p \Delta x$.

1. Prove that $\frac{dH_n(y)}{dy} = 2nH_{n-1}(y)$

Solution:

باستخدام الدالة المولدة

$$g(t, y) = e^{-t^2 + 2ty} = \sum_{n=0}^{\infty} \frac{H_n(y) t^n}{n!}$$

باخذ المشتقة الجزئية لطرفى المعادلة بالنسبة الى y

$$\frac{\partial g}{\partial y} = 2t e^{-t^2 + 2ty} = \sum_{n=0}^{\infty} \frac{H'_n(y) t^n}{n!}$$

$$H'_n(y) = \frac{dH_n(y)}{dy} \quad \text{حيث ان}$$

$$\sum_{n=0}^{\infty} \frac{H'_n(y) t^n}{n!} = 2t \cdot \sum_{n=0}^{\infty} \frac{H_n(y) t^n}{n!}$$

$$\sum_{n=0}^{\infty} \frac{H'_n(y) t^n}{n!} - 2 \sum_{n=0}^{\infty} \frac{H_n(y) t^{n+1}}{n!} = 0$$

$$H'_n(y) + \sum_{n=1}^{\infty} \frac{H'_n(y) t^n}{n!} - 2 \sum_{n=0}^{\infty} \frac{H_n(y) t^{n+1}}{n!} = 0$$

$$H'_n(y) = \frac{d}{dy}(1) = \text{zero}$$

$$\therefore \sum_{n=1}^{\infty} \frac{H'_n(y) t^n}{n!} - 2 \sum_{n=0}^{\infty} \frac{H_n(y) t^{n+1}}{n!} = 0$$

Let $m = n + 1$

$$\therefore \sum_{n=1}^{\infty} \frac{H'_n(y) t^n}{n!} - 2 \sum_{m=1}^{\infty} \frac{H_{m-1}(y) t^m}{(m-1)!} = 0$$

$$\therefore \sum_{n=1}^{\infty} \frac{H'_n(y) t^n}{n!} - 2 \sum_{n=1}^{\infty} \frac{H_{n-1}(y) t^n}{(n-1)!} = 0$$

$$\sum_{n=1}^{\infty} \frac{t^n}{(n-1)!} \{H'_n - 2nH_{n-1}(y)\} = 0$$

$$\therefore H'_n(y) = 2nH_{n-1}(y)$$

2 Prove that $yH_n(y) = \frac{1}{2}H_{n+1}(y) + nH_{n-1}(y)$

Solution:

باستخدام الدالة المولدة

$$g(t, y) = e^{-t^2+2ty} = \sum_{n=0}^{\infty} \frac{H_n(y) t^n}{n!}$$

باخذ المشقة الجزئية لطرف في المعادلة بالنسبة إلى t

$$\frac{\partial g(t, y)}{\partial t} = (-2t + 2y) e^{-t^2+2ty} = \sum_{n=0}^{\infty} \frac{n H_n(y) t^{n-1}}{n!}$$

$$(-2t + 2y) e^{-t^2+2ty} = 2y e^{-t^2+2ty} - 2t e^{-t^2+2ty}$$

$$= \sum_{n=0}^{\infty} \frac{2y H_n(y) t^n}{n!} - \sum_{n=0}^{\infty} \frac{2H_n(y) t^{n+1}}{n!}$$

$$\sum_{n=0}^{\infty} 2y \frac{H_n(y) t^n}{n!} - \sum_{n=0}^{\infty} \frac{2H_n(y) t^{n+1}}{n!} = \sum_{n=0}^{\infty} \frac{n H_n(y) t^{n-1}}{n!}$$

وبمساواة معاملات t^n في طرفي العلاقة

$$\sum_{n=0}^{\infty} 2y \frac{H_n(y) t^n}{n!} - \sum_{n=0}^{\infty} \frac{2H_{n-1}(y) t^n}{(n-1)!} = \sum_{n=0}^{\infty} \frac{(n+1)H_{n+1}(y) t^n}{(n+1)!}$$

$$\sum_{n=0}^{\infty} \frac{2y H_n(y) t^n}{n(n-1)!} - \sum_{n=0}^{\infty} \frac{2H_{n-1}(y) t^n}{(n-1)!} = \sum_{n=0}^{\infty} \frac{(n+1)H_{n+1}(y) t^n}{(n+1)n(n-1)!}$$

$$\sum_{n=0}^{\infty} \frac{2y H_n(y) t^n}{n(n-1)!} - \sum_{n=0}^{\infty} \frac{2H_{n-1}(y) t^n}{(n-1)!} - \sum_{n=0}^{\infty} \frac{H_{n+1}(y) t^n}{n(n-1)!} = 0$$

$$\sum_{n=0}^{\infty} \frac{t^n}{(n-1)!} \left\{ \frac{2y H_n(y)}{n} - 2H_{n-1}(y) - \frac{H_{n+1}(y)}{n} \right\} = 0$$

$$\frac{2y H_n(y)}{n} - 2H_{n-1}(y) - \frac{H_{n+1}(y)}{n} = 0$$

نضرب في $\frac{n}{2}$ والترتيب نحصل على

$$\therefore yH_n(y) = \frac{1}{2}H_{n+1}(y) + nH_{n-1}(y)$$

وهو المطلوب

$$3. \text{ Prove that: } H_n''(y) - 2yH_n'(y) + 2nH_n(y) = 0$$

Solution:

باستخدام المعادلة

$$H_n'(y) = 2nH_{n-1}(y) \quad (a)$$

$$H_{n+1}'(y) = 2(n+1)H_n(y)$$

$$H_{n+1}'(y) = 2nH_n(y) + 2H_n(y) \quad (b)$$

باخذ المشقة الجزئية لطرف المعادلة (a) ينتج

$$H_n''(y) = 2nH_{n-1}'(y) \quad (c)$$

وباستخدام المعادلة

$$yH_n(y) = \frac{1}{2}H_{n+1}(y) + nH_{n-1}(y)$$

وباخذ المشقة لطرف المعادلة اعلاه بالنسبة لـ y

$$yH_n'(y) + H_n(y) = \frac{1}{2}H_{n+1}'(y) + nH_{n-1}'(y)$$

وبالتعويض عن b, c في المعادلة اعلاه ينتج

$$yH_n'(y) + H_n(y) = \frac{1}{2}(2nH_n(y) + 2H_n(y)) + \frac{H_n''(y)}{2}$$

$$yH_n'(y) + H_n(y) = nH_n(y) + H_n(y) + \frac{H_n''(y)}{2}$$

نضرب في 2 ونرتب نحصل على

$$H_n''(y) - 2yH_n'(y) + 2nH_n(y) = 0 \quad \text{وهو المطلوب}$$

4. **Prove that:** $y\psi_n = \sqrt{\frac{n}{2}} \psi_{n-1}(y) + \sqrt{\frac{n+1}{2}} \psi_{n+1}(y)$

Solution:

$$\psi_n(y) = N_n H_n(y) e^{-\frac{1}{2}y^2}$$

نضرب طرفي المعادلة في y

$$y \psi_n(y) = N_n e^{-\frac{1}{2}y^2} y H_n(y)$$

باستخدام المعادلة

$$y H_n(y) = n H_{n-1}(y) + \frac{1}{2} H_{n+1}(y)$$

$$y \psi_n(y) = N_n e^{-\frac{1}{2}y^2} \left\{ n H_{n-1}(y) + \frac{1}{2} H_{n+1}(y) \right\}$$

$$N_n = \frac{1}{\sqrt{2^n n! \sqrt{\pi}}} \quad \text{وبالتعويض عن قيمة}$$

$$y \psi_n(y) = e^{-\frac{1}{2}y^2} \left\{ \frac{n H_{n-1}(y)}{\sqrt{2^n n! \sqrt{\pi}}} + \frac{H_{n+1}(y)}{2\sqrt{2^n n! \sqrt{\pi}}} \right\}$$

$$y \psi_n(y) = e^{-\frac{1}{2}y^2} \left\{ \frac{n H_{n-1}(y)}{\sqrt{2n} \sqrt{2^{n-1} (n-1)! \sqrt{\pi}}} + \frac{\sqrt{n+1} H_{n+1}(y)}{\sqrt{2} \sqrt{2^{n+1} (n+1)! \sqrt{\pi}}} \right\}$$

$$\therefore y \psi_n = \sqrt{\frac{n}{2}} \psi_{n-1}(y) + \sqrt{\frac{n+1}{2}} \psi_{n+1}(y) \quad \text{وهو المطلوب}$$

5. Prove that: $\frac{d\psi_n(y)}{dy} = -y\psi_n(y) + \sqrt{2n} \psi_{n-1}(y)$

Solution:

$$\psi_n(y) = N_n e^{-\frac{1}{2}y^2} H_n(y)$$

بأخذ المشتقة لطرف المعادلة اعلاه بالنسبة لـ y

$$\frac{d\psi_n(y)}{dy} = N_n e^{-\frac{1}{2}y^2} (-y)H_n(y) + N_n e^{-\frac{1}{2}y^2} H'_n(y)$$

$$= -yN_n e^{-\frac{1}{2}y^2} H_n(y) + N_n e^{-\frac{1}{2}y^2} H'_n(y)$$

باستخدام المعادلة

$$H'_n(y) = 2nH_{n-1}(y)$$

$$= -y N_n e^{-\frac{1}{2}y^2} H_n(y) + 2nN_n e^{-\frac{1}{2}y^2} H_{n-1}(y)$$

وبالتعويض عن قيمة N_n

$$= -y \psi_n + \frac{2n e^{-\frac{y^2}{2}} H_{n-1}(y)}{\sqrt{2^n n! \sqrt{\pi}}}$$

$$= -y \psi_n + \frac{2n e^{-\frac{1}{2}y^2} H_{n-1}(y)}{\sqrt{2n} \sqrt{2^{n-1} (n-1)! \sqrt{\pi}}}$$

$$= -y \psi_n + \sqrt{2n} N_{n-1} e^{-\frac{y^2}{2}} H_{n-1}(y)$$

$$\therefore \frac{d\psi_n(y)}{dy} = -y\psi_n(y) + \sqrt{2n} \psi_{n-1}(y) \quad \text{وهو المطلوب}$$

6. Prove that: $\frac{1}{\sqrt{2}} \left(y + \frac{d}{dy} \right) \psi_n(y) = \sqrt{n} \psi_{n-1}(y)$

Solution:

باستخدام المعادلة

$$\frac{d\psi_n(y)}{dy} = -y\psi_n(y) + \sqrt{2n} \psi_{n-1}(y)$$

$$y\psi_n(y) + \frac{d\psi_n(y)}{dy} = \sqrt{2n} \psi_{n-1}(y)$$

$$\frac{1}{\sqrt{2}} \left(y + \frac{d}{dy} \right) \psi_n(y) = \sqrt{n} \psi_{n-1}(y)$$

$$\therefore \hat{a} \psi_n(y) = \sqrt{n} \psi_{n-1}(y) \quad \text{وهو المطلوب}$$

يسمى المؤثر $\frac{1}{\sqrt{2}} \left(y + \frac{d}{dy} \right)$ بالمؤثر الخافض Destruction Operator ويرمز له بالرمز \hat{a} اي ان

$$\hat{a} = \frac{1}{\sqrt{2}} \left(y + \frac{d}{dy} \right)$$

ويسمى المؤثر $\frac{1}{\sqrt{2}} \left(y - \frac{d}{dy} \right)$ بالمؤثر الرافع Creation Operator ويرمز له بالرمز \hat{a}^+ اي ان

$$\hat{a}^+ = \frac{1}{\sqrt{2}} \left(y - \frac{d}{dy} \right)$$

(Read \hat{a}^+ as "a dagger")

7. Prove that: $\frac{1}{\sqrt{2}} \left(y - \frac{d}{dy} \right) \psi_n(y) = \sqrt{n+1} \psi_{n+1}(y)$

or $\hat{a}^+ \psi_n(y) = \sqrt{n+1} \psi_{n+1}(y)$

Solution:

باستخدام المعادلات

$$y\psi_n = \sqrt{\frac{n}{2}} \psi_{n-1}(y) + \sqrt{\frac{n+1}{2}} \psi_{n+1}(y) \quad (a)$$

$$\frac{d\psi_n(y)}{dy} = -y\psi_n(y) + \sqrt{2n} \psi_{n-1}(y) \quad (b)$$

من معادلة (a)

$$\psi_{n-1}(y) = \sqrt{\frac{2}{n}} \left\{ y \psi_n(y) - \sqrt{\frac{n+1}{2}} \psi_{n+1}(y) \right\} \quad (c)$$

وبالتعويض عن قيمة c اي (b) في معادلة (b) ينتج

$$\frac{d\psi_n(y)}{dy} = -y\psi_n(y) + \sqrt{2n} \left\{ \sqrt{\frac{2}{n}} (y\psi_n(y) - \sqrt{\frac{n+1}{2}} \psi_{n+1}(y)) \right\}$$

$$\frac{d\psi_n(y)}{dy} = -y\psi_n(y) + 2y\psi_n(y) - 2\sqrt{\frac{n+1}{2}} \psi_{n+1}(y)$$

$$\frac{d\psi_n(y)}{dy} = y\psi_n(y) - \sqrt{2}\sqrt{n+1} \psi_{n+1}(y)$$

$$y\psi_n(y) - \frac{d\psi_n(y)}{dy} = \sqrt{2}\sqrt{n+1} \psi_{n+1}(y)$$

$$\frac{1}{\sqrt{2}} \left(y - \frac{d}{dy} \right) \psi_n(y) = \sqrt{n+1} \psi_{n+1}(y)$$

$$\therefore \hat{a}^+ \psi_n(y) = \sqrt{n+1} \psi_{n+1}(y) \quad \text{وهو المطلوب}$$

س 8 / برهن ان القيمة المتوقعة للطاقة الكامنة للمتذبذب التواافقى لحالة ذاتية للطاقة هي

$$\langle V(x) \rangle = \frac{1}{2}(n + \frac{1}{2})\hbar\omega$$

$$= \frac{1}{2} E_n$$

Solution:

باستخدام المعادلة

$$y\psi_n = \sqrt{\frac{n}{2}} \psi_{n-1}(y) + \sqrt{\frac{n+1}{2}} \psi_{n+1}(y) \quad (a)$$

بضرب في $\psi_{n+1}(y)$ في طرفي المعادلة (a) ونكمال على الفضاء ينتج

$$\int_{-\infty}^{\infty} \psi_{n+1}(y) y \psi_n(y) dy = \sqrt{\frac{n}{2}} \int_{-\infty}^{\infty} \psi_{n+1}(y) \psi_{n-1}(y) dy + \sqrt{\frac{n+1}{2}} \int_{-\infty}^{\infty} \psi_{n+1}(y) \psi_{n+1}(y) dy$$

وبما ان دوال الموجة للمتذبذب التواافقى هي دوال متعامدة وعيارية اي ان

$$\int_{-\infty}^{\infty} \psi_{n+1}(y) \psi_{n+1}(y) dy = 1$$

$$\int_{-\infty}^{\infty} \psi_{n+1}(y) \psi_{n-1}(y) dy = 0$$

$$\therefore \int_{-\infty}^{\infty} \psi_{n+1}(y) y \psi_n(y) dy = \sqrt{\frac{n+1}{2}} \quad (b)$$

وبضرب في $\psi_{n-1}(y)$ في طرفي المعادلة (a) ونكمال على الفضاء ينتج

$$\int_{-\infty}^{\infty} \psi_{n-1}(y) y \psi_n(y) dy = \sqrt{\frac{n}{2}} \int_{-\infty}^{\infty} \psi_{n-1}(y) \psi_{n-1}(y) dy + \sqrt{\frac{n+1}{2}} \int_{-\infty}^{\infty} \psi_{n-1}(y) \psi_{n+1}(y) dy$$

$$\therefore \int_{-\infty}^{\infty} \psi_{n-1}(y) y \psi_n(y) dy = \sqrt{\frac{n}{2}} \quad (c)$$

القيمة المتوقعة للطاقة الكامنة تساوى

$$\langle V(x) \rangle = \frac{1}{2} m\omega^2 \langle x^2 \rangle$$

$$= \frac{1}{2} m\omega^2 \left\langle \frac{y^2}{\alpha^2} \right\rangle$$

$$= \frac{1}{2} \frac{m\omega^2}{\alpha^2} \langle y^2 \rangle$$

وبضرب طرفي المعادلة (a) في $y \psi_n(y)$ ونكمال على الفضاء ينتج

$$\int_{-\infty}^{\infty} \psi_n(y) y^2 \psi_n(y) dy = \sqrt{\frac{n}{2}} \int_{-\infty}^{\infty} \psi_{n-1}(y) y \psi_n(y) dy + \sqrt{\frac{n+1}{2}} \int_{-\infty}^{\infty} \psi_{n+1}(y) y \psi_n(y) dy$$

وبالتعويض عن (b) ، (c) في المعادلة الاخيرة ينتج

$$\langle y^2 \rangle = \int_{-\infty}^{\infty} \psi_n(y) y^2 \psi_n(y) dy = \sqrt{\frac{n}{2}} \cdot \sqrt{\frac{n}{2}} + \sqrt{\frac{n+1}{2}} \cdot \sqrt{\frac{n+1}{2}}$$

$$\langle y^2 \rangle = \frac{n}{2} + \frac{n+1}{2} = n + \frac{1}{2}$$

$$\therefore \langle V(x) \rangle = \frac{1}{2} \frac{m\omega^2}{\alpha^2} \langle y^2 \rangle$$

$$\langle V(x) \rangle = \frac{1}{2} \frac{m\omega^2}{\alpha^2} \left(n + \frac{1}{2} \right)$$

$$\therefore \alpha^2 = \frac{m\omega}{\hbar}$$

$$\langle V(x) \rangle = \frac{1}{2} \frac{m\omega^2}{m\omega} \hbar \left(n + \frac{1}{2} \right)$$

$$= \frac{1}{2} \hbar\omega \left(n + \frac{1}{2} \right)$$

$$= \frac{1}{2} E_n \quad \text{وهو المطلوب}$$

9. Prove that expectation value of kinetic energy for harmonic oscillator

$$\langle T \rangle = \frac{1}{2} (n + \frac{1}{2}) \hbar \omega = \frac{1}{2} E_n$$

$$\langle T \rangle = \frac{\langle p^2 \rangle}{2m} \quad \text{القيمة المتوقعة للطاقة الحركية}$$

$$\langle T \rangle = \frac{\langle p^2 \rangle}{2m} = \frac{1}{2m} \int_{-\infty}^{\infty} \psi_n(x) p^2 \psi_n(x) dx$$

$$\langle T \rangle = \frac{\langle p^2 \rangle}{2m} = \frac{-\hbar^2}{2m} \int_{-\infty}^{\infty} \psi_n(x) \frac{\partial^2 \psi_n(x)}{\partial x^2} dx$$

نجد $\frac{\partial^2 \psi_n(y)}{\partial y^2}$ باستخدام دالة الموجة للمتذبذب التواافقى $\psi_n(y) = N_n e^{-\frac{1}{2}y^2} H_n(y)$ او ب باستخدام معادلة

$$(2)$$

باخذ المشتقه لطRFي المعادله اعلاه بالنسبيه لـ y

$$\frac{d\psi_n(y)}{dy} = N_n e^{-\frac{1}{2}y^2} (-y) H_n(y) + N_n e^{-\frac{1}{2}y^2} H'_n(y)$$

$$\frac{d\psi_n(y)}{d y} = N_n e^{-\frac{1}{2}y^2} H'_n(y) - y N_n e^{-\frac{1}{2}y^2} H_n(y)$$

باخذ المشتقه لثانيه للمعادله اعلاه بالنسبيه لـ y

$$\frac{d^2\psi_n(y)}{d y^2} = N_n e^{-\frac{1}{2}y^2} H''_n(y) - y N_n e^{-\frac{1}{2}y^2} H'_n(y) - N_n e^{-\frac{1}{2}y^2} H_n(y)$$

$$- y \left(- y N_n e^{-\frac{1}{2}y^2} H_n(y) + N_n e^{-\frac{1}{2}y^2} H'_n(y) \right)$$

$$= N_n e^{-\frac{1}{2}y^2} H''_n(y) - 2y N_n e^{-\frac{1}{2}y^2} H'_n(y) - N_n e^{-\frac{1}{2}y^2} H_n(y) + y^2 N_n e^{-\frac{1}{2}y^2} H_n(y)$$

باستخدام العلاقة $H''_n(y) - 2yH'_n(y) + 2nH_n(y) = 0$ والتعويض في المعادله اعلاه

$$\begin{aligned}
&= N_n e^{-\frac{1}{2}y^2} (2yH'_n(y) - 2nH_n(y)) - 2yN_n e^{-\frac{1}{2}y^2} H'_n(y) \\
&\quad - N_n e^{-\frac{1}{2}y^2} H_n(y) + y^2 N_n e^{-\frac{1}{2}y^2} H_n(y) \\
&= 2yN_n e^{-\frac{1}{2}y^2} H'_n(y) - 2nN_n e^{-\frac{1}{2}y^2} H_n(y) - 2yN_n e^{-\frac{1}{2}y^2} H'_n(y) \\
&\quad - N_n e^{-\frac{1}{2}y^2} H_n(y) + y^2 N_n e^{-\frac{1}{2}y^2} H_n(y)
\end{aligned}$$

$$\frac{d^2\psi_n}{dy^2} = (y^2 - (2n+1))\psi_n$$

$$\frac{d^2\psi_n}{dy^2} = (y^2 - \varepsilon_n)\psi_n \quad \text{معادلة (2)}$$

او بدلالة x حيث ان $y = \alpha x$

$$\frac{d^2\psi_n}{dx^2} = \alpha^2(\alpha^2 x^2 - \varepsilon_n)\psi_n$$

$$\langle T \rangle = \frac{-\hbar^2}{2m} \int_{-\infty}^{\infty} \psi_n(x) \alpha^2(\alpha^2 x^2 - \varepsilon_n) \psi_n(x) dx$$

$$\langle T \rangle = \frac{-\hbar^2}{2m} \left[\int_{-\infty}^{\infty} \psi_n(x) \alpha^4 x^2 \psi_n(x) dx - \alpha^2 \int_{-\infty}^{\infty} \varepsilon_n \psi_n(x) \psi_n(x) dx \right]$$

$$\langle T \rangle = \frac{-\hbar^2 \alpha^4}{2m} \int_{-\infty}^{\infty} \psi_n(x) x^2 \psi_n(x) dx + \frac{\varepsilon_n \hbar^2 \alpha^2}{2m} \int_{-\infty}^{\infty} \psi_n(x) \psi_n(x) dx$$

$$\therefore \langle x^2 \rangle = \frac{\hbar}{m\omega} \left(n + \frac{1}{2} \right)$$

لاحظ السؤال السابق

$$\therefore \langle T \rangle = \frac{-\hbar^2 \alpha^4}{2m} \frac{\hbar}{m\omega} \left(n + \frac{1}{2} \right) + \frac{\varepsilon_n \hbar^2 \alpha^2}{2m}$$

$$\langle T \rangle = \frac{-\hbar^2 \alpha^2}{2m} \left(n + \frac{1}{2} \right) + (2n+1) \frac{\hbar^2 \alpha^2}{2m}$$

$$\langle T \rangle = \frac{\hbar^2 \alpha^2}{2m} \left(n + \frac{1}{2}\right)$$

$$\langle T \rangle = \hbar^2 \frac{m\omega}{2\hbar m} \left(n + \frac{1}{2}\right)$$

$$\langle T \rangle = \frac{1}{2} \left(n + \frac{1}{2}\right) \hbar \omega = \frac{1}{2} E_n \quad \text{وهو المطلوب}$$

تكاملات مفيدة: اولا

$$\int_{-\infty}^{\infty} x^n e^{-ax^2} dx = 0 \quad (n \text{ odd})$$

اذا كانت n فردية فقيمة التكامل يساوي صفر

Example: 1

$$\int_{-\infty}^{\infty} x e^{-ax^2} dx = 0$$

Example: 2

$$\int_{-\infty}^{\infty} x^3 e^{-ax^2} dx = 0$$

ثانيا

$$\int_{-\infty}^{\infty} e^{-ax^2} dx = \sqrt{\frac{\pi}{a}}$$

وبأخذ المشتقه لطرفي المعادله اعلاه بالنسبة لـ (a) نحصل على

$$\int_{-\infty}^{\infty} x^2 e^{-ax^2} dx = \frac{1}{2} \sqrt{\frac{\pi}{a^3}}$$

وباجراء نفس العمل اي بأخذ المشتقه لطرفي المعادله اعلاه بالنسبة لـ (a) نحصل على

$$\int_{-\infty}^{\infty} x^4 e^{-ax^2} dx = \frac{3}{4} \sqrt{\frac{\pi}{a^5}}$$

س12 : برهن ان الدوال الموجية التالية هي دوال متعامدة وعيارية

$$\psi_0 = (\alpha^{\frac{1}{2}} / \pi^{\frac{1}{4}}) e^{-\frac{\alpha^2 x^2}{2}}$$

$$\psi_1 = (\alpha^{\frac{1}{2}} / 2^{\frac{1}{2}} \pi^{\frac{1}{4}}) 2(\alpha x) e^{-\frac{\alpha^2 x^2}{2}}$$

لقد بينا في الفصل الثاني ان مجموعة من الدوال التي تحقق المعادلة

$$\int_{-\infty}^{\infty} \psi_m^* \psi_n d\tau = \delta_{mn}$$

تسمى مجموعة من الدوال العيارية المتعامدة Orthonormal Set of Function

$\delta_{mn} = 1$ at $m = n$ تكون عيارية اذا

$\delta_{mn} = 0$ at $m \neq n$ تكون متعامدة اذا

اولا

$$\int_{-\infty}^{\infty} \psi_0(x) \psi_1(x) dx = \frac{2\alpha^2}{2^{\frac{1}{2}} \sqrt{\pi}} \int_{-\infty}^{\infty} x e^{-\alpha^2 x^2} dx = 0$$

من الملاحظ ان الدالة فردية فقيمة التكامل يساوي صفر اذن الدوال متعامدة

$$\therefore \int_{-\infty}^{\infty} \psi_0(x) \psi_0(x) dx = 0$$

ثانيا

$$\int_{-\infty}^{\infty} \psi_0(x) \psi_0(x) dx = \frac{\alpha}{\sqrt{\pi}} \int_{-\infty}^{\infty} e^{-\alpha^2 x^2} dx$$

$$= \frac{\alpha}{\sqrt{\pi}} \frac{\sqrt{\pi}}{\alpha} = 1$$

اذن الدوال عيارية

$$\int_{-\infty}^{\infty} \psi_1(x) \psi_1(x) dx = \frac{4\alpha^3}{2\sqrt{\pi}} \int_{-\infty}^{\infty} x^2 e^{-\alpha^2 x^2} dx$$

$$= \frac{2\alpha^3}{\sqrt{\pi}} \cdot \frac{1}{2} \frac{\sqrt{\pi}}{\alpha^3} = 1$$

$$\int_{-\infty}^{\infty} \psi_1(x) \psi_1(x) dx = 1$$

وهو المطلوب

اذن الدوال عيارية

س 13: جد $\Delta x \Delta p$ مستخدما $\psi_0(x)$ في السؤال التاسع

Solution:

التفاوت (Variance) في الموضع Δx هو

$$(\Delta x)^2 = \langle x^2 \rangle - \langle x \rangle^2 \Rightarrow \Delta x = \left(\langle x^2 \rangle - \langle x \rangle^2 \right)^{\frac{1}{2}}$$

التفاوت في الزخم Δp_x هو

$$(\Delta p_x)^2 = \langle p_x^2 \rangle - \langle p_x \rangle^2 \Rightarrow \Delta p_x = \left(\langle p_x^2 \rangle - \langle p_x \rangle^2 \right)^{\frac{1}{2}}$$

اذن يجب علينا ايجاد كل من $\langle p_x^2 \rangle$ ، $\langle p_x \rangle^2$ ، $\langle x^2 \rangle$ ، $\langle x \rangle^2$ وبعد ذلك ايجاد

$\langle x \rangle$ او لا ايجاد

$$\begin{aligned} \langle x \rangle &= \int_{-\infty}^{\infty} \psi_0(x) \hat{x} \psi_0(x) dx \\ &= \frac{\alpha}{\sqrt{\pi}} \int_{-\infty}^{\infty} e^{-\alpha^2 x^2} x dx \\ &= 0 \end{aligned}$$

لان الدالة فردية فقيمة التكامل يساوي صفر

$$\langle x \rangle = 0 \Rightarrow \langle x \rangle^2 = 0$$

$\langle x^2 \rangle$ ثانيا ايجاد

$$\begin{aligned} \langle x^2 \rangle &= \int_{-\infty}^{\infty} \psi_0(x) \hat{x}^2 \psi_0(x) dx \\ &= \frac{\alpha}{\sqrt{\pi}} \int_{-\infty}^{\infty} x^2 e^{-\alpha^2 x^2} dx \\ &= \frac{\alpha}{\sqrt{\pi}} \cdot \frac{1}{2} \frac{\sqrt{\pi}}{\alpha^3} \\ &= \frac{1}{2} \frac{1}{\alpha^2} \end{aligned}$$

$$\Delta x = \left(\langle x^2 \rangle - \langle x \rangle^2 \right)^{\frac{1}{2}}$$

$$= \left(\frac{1}{2} \frac{1}{\alpha^2} - 0 \right)^{\frac{1}{2}} = \frac{1}{\sqrt{2}} \frac{1}{\alpha}$$

ثالثاً ايجاد $\langle p_x \rangle$

$$\langle p \rangle = \int_{-\infty}^{\infty} \psi_0(x) \hat{p}_x \psi_0(x) dx$$

$$\hat{p}_x = -i\hbar \frac{\partial}{\partial x} \quad \text{بما ان}$$

$$= \int_{-\infty}^{\infty} \frac{\alpha^{\frac{1}{2}}}{\pi^{\frac{1}{4}}} e^{\frac{-\alpha^2 x^2}{2}} \left(-i\hbar \frac{\partial}{\partial x} \right) \frac{\alpha^{\frac{1}{2}}}{\pi^{\frac{1}{4}}} e^{\frac{-\alpha^2 x^2}{2}} dx$$

$$= \frac{-i\hbar\alpha}{\sqrt{\pi}} \int_{-\infty}^{\infty} e^{\frac{-\alpha^2 x^2}{2}} \frac{\partial}{\partial x} e^{\frac{-\alpha^2 x^2}{2}} dx$$

$$= \frac{-i\hbar\alpha}{\sqrt{\pi}} \int_{-\infty}^{\infty} e^{\frac{-\alpha^2 x^2}{2}} (-\alpha^2 x) e^{\frac{-\alpha^2 x^2}{2}} dx$$

$$= \frac{i\hbar\alpha^3}{\sqrt{\pi}} \int_{-\infty}^{\infty} x e^{-\alpha^2 x^2} dx$$

لان الدالة فردية فقيمة التكامل يساوي صفر

$$\therefore \langle p_x \rangle = 0 \quad \Rightarrow \quad \langle p_x \rangle^2 = 0$$

رابعاً ايجاد $\langle p_x^2 \rangle$

$$\langle p_x^2 \rangle = \int_{-\infty}^{\infty} \psi_0(x) \hat{p}_x^2 \psi_0(x) dx$$

$$\hat{p}_x^2 = -\hbar^2 \frac{\partial^2}{\partial x^2} \quad \text{بما ان}$$

$$= \int_{-\infty}^{\infty} \frac{\alpha^{\frac{1}{2}}}{\pi^{\frac{1}{4}}} e^{\frac{-\alpha^2 x^2}{2}} \left(-\hbar^2 \frac{\partial^2}{\partial x^2} \right) \frac{\alpha^{\frac{1}{2}}}{\pi^{\frac{1}{4}}} e^{\frac{-\alpha^2 x^2}{2}} dx$$

$$= \frac{-\alpha \hbar^2}{\sqrt{\pi}} \int_{-\infty}^{\infty} e^{\frac{-\alpha^2 x^2}{2}} \frac{\partial^2}{\partial x^2} e^{\frac{-\alpha^2 x^2}{2}} dx$$

ایجاد $\frac{\partial^2}{\partial x^2} e^{\frac{-\alpha^2 x^2}{2}}$

$$\begin{aligned} \frac{\partial^2}{\partial x^2} e^{\frac{-\alpha^2 x^2}{2}} &= \frac{\partial}{\partial x} \left(\frac{\partial}{\partial x} e^{\frac{-\alpha^2 x^2}{2}} \right) \\ &= \frac{\partial}{\partial x} \left(-\alpha^2 x e^{\frac{-\alpha^2 x^2}{2}} \right) \\ &= -\alpha^2 \frac{\partial}{\partial x} \left(x e^{\frac{-\alpha^2 x^2}{2}} \right) \\ &= -\alpha^2 \left(e^{\frac{-\alpha^2 x^2}{2}} - \alpha^2 x^2 e^{\frac{-\alpha^2 x^2}{2}} \right) \\ &= -\alpha^2 e^{\frac{-\alpha^2 x^2}{2}} + \alpha^4 x^2 e^{\frac{-\alpha^2 x^2}{2}} \\ \therefore &= \frac{-\alpha \hbar^2}{\sqrt{\pi}} \int_{-\infty}^{\infty} e^{\frac{-\alpha^2 x^2}{2}} \left(-\alpha^2 e^{\frac{-\alpha^2 x^2}{2}} + \alpha^4 x^2 e^{\frac{-\alpha^2 x^2}{2}} \right) dx \\ &= \frac{\alpha^3 \hbar^2}{\sqrt{\pi}} \int_{-\infty}^{\infty} e^{-\alpha^2 x^2} dx - \frac{\alpha^5 \hbar^2}{\sqrt{\pi}} \int_{-\infty}^{\infty} e^{-\alpha^2 x^2} x^2 dx \\ &= \frac{\alpha^3 \hbar^2}{\sqrt{\pi}} \cdot \frac{\sqrt{\pi}}{\alpha} - \frac{\alpha^5 \hbar^2}{\sqrt{\pi}} \cdot \frac{1}{2} \frac{\sqrt{\pi}}{\alpha^3} \\ &= \alpha^2 \hbar^2 - \frac{1}{2} \alpha^2 \hbar^2 \\ &= \frac{1}{2} \alpha^2 \hbar^2 \end{aligned}$$

$$\Delta p_x = \left(\langle p_x^2 \rangle - \langle p_x \rangle^2 \right)^{\frac{1}{2}}$$

$$= \left(\frac{1}{2} \alpha^2 \hbar^2 - 0 \right)^{\frac{1}{2}}$$

$$= \frac{1}{\sqrt{2}} \alpha \hbar$$

$$\Delta p_x \cdot \Delta x = \frac{1}{\sqrt{2}} \alpha \hbar \cdot \frac{1}{\sqrt{2}} \cdot \frac{1}{\alpha}$$

$$\therefore \Delta p_x \Delta x = \frac{1}{2} \hbar \quad \text{و هو المطلوب}$$

Q 14) Using the uncertainty relation $\Delta p \Delta x \geq \frac{\hbar}{2}$ estimate the energy ground state of harmonic oscillator

$$\text{استخدم مبدأ الادقة } \Delta p \Delta x \geq \frac{\hbar}{2} \text{ خمن طاقة الحالة الارضية للمتذبذب التواافقى}$$

Solution:

(The Hamiltonian of H.O is)

ان هاملتوني المتذبذب التواافقى هو

$$\hat{H} = \frac{\hat{p}^2}{2m} + \frac{1}{2} m\omega^2 \hat{x}^2$$

(The expectation value of energy is)

القيمة المتوقعة للطاقة هي

$$\langle H \rangle = E = \frac{<p^2>}{2m} + \frac{m\omega^2}{2} <x^2>$$

$$\therefore (\Delta p)^2 = <p^2> - <p>^2 , \quad (\Delta x)^2 = <x^2> - <x>^2$$

ويمكن اثبات بان للمتذبذب التواافقى $<x> = 0$ وكما يلى

اولا ايجاد $<x>$ (القيمة المتوقعة للموضع)

باستخدام المعادلة

$$y\psi_n(y) = \sqrt{\frac{n}{2}} \psi_{n-1}(y) + \sqrt{\frac{n+1}{2}} \psi_{n+1}(y)$$

بضرب المعادلة اعلاه في $\psi_n(y)$ ونكمال على الفضاء ينتج

$$\int_{-\infty}^{\infty} \psi_n(y) y \psi_n(y) dy = \sqrt{\frac{n}{2}} \int_{-\infty}^{\infty} \psi_n(y) \psi_{n-1}(y) dy + \sqrt{\frac{n+1}{2}} \int_{-\infty}^{\infty} \psi_n(y) \psi_{n+1}(y) dy$$

وبما ان دوال الموجة للمتذبذب التواافقى هي دوال متعمدة اذن

$$<y> = \int_{-\infty}^{\infty} \psi_n(y) y \psi_n(y) dy = 0 \Rightarrow <y>^2 = 0$$

$$\therefore y = \alpha x$$

$$\therefore \langle x \rangle^2 = 0$$

ثانياً ايجاد $\langle p \rangle$ (القيمة المتوقعة للزخم)

$$\langle p \rangle = \int_{-\infty}^{\infty} \psi_n(y) \hat{p} \psi_n(y) dy = \int_{-\infty}^{\infty} \psi_n(y) (-i\hbar \frac{\partial}{\partial y}) \psi_n(y) dy$$

باستخدام المعادلة التالية لايجاد $\frac{\partial \psi_n}{\partial y}$

$$\frac{d\psi_n(y)}{dy} = -y\psi_n(y) + \sqrt{2n} \psi_{n-1}(y)$$

$$\langle p \rangle = \int_{-\infty}^{\infty} \psi_n(y) (-i\hbar) \{-y\psi_n(y) + \sqrt{2n} \psi_{n-1}(y)\} dy$$

$$= -i\hbar \int_{-\infty}^{\infty} \psi_n(y) y \psi_n(y) dy - i\hbar \sqrt{2n} \int_{-\infty}^{\infty} \psi_n(y) \psi_{n-1}(y) dy$$

$$= 0 \Rightarrow \langle p \rangle^2 = 0$$

$$(\Delta p)^2 = \langle p^2 \rangle - 0 \Rightarrow (\Delta p)^2 = \langle p^2 \rangle$$

$$(\Delta x)^2 = \langle x^2 \rangle - 0 \Rightarrow (\Delta x)^2 = \langle x^2 \rangle$$

$$\Delta p \Delta x = \frac{\hbar}{2} \Rightarrow \Delta p = \frac{\hbar}{2\Delta x}$$

$$\therefore (\Delta p)^2 = \frac{\hbar^2}{4(\Delta x)^2}$$

$$E = \frac{\langle p^2 \rangle}{2m} + \frac{m\omega^2}{2} \langle x^2 \rangle$$

بتعويض عن $\langle p^2 \rangle$ ، $\langle x^2 \rangle$

$$E = \frac{(\Delta p)^2}{2m} + \frac{m\omega^2}{2} (\Delta x)^2$$

لدينا $(\Delta p)^2 = \frac{\hbar^2}{4(\Delta x)^2}$ وبالتالي تعويض بالمعادلة اعلاه ينتج

$$E = \frac{\hbar^2}{8m(\Delta x)^2} + \frac{m\omega^2}{2} (\Delta x)^2$$

ولايجد اقل قيمة للطاقة نفاذ العلاقة الاخيرة وجعلها تساوي صفر

$$\frac{dE}{d(\Delta x)} = -\frac{\hbar^2}{4m(\Delta x)^3} + m\omega^2(\Delta x) = 0$$

$$\therefore (\Delta x)^2 = \frac{\hbar}{2m\omega}$$

وبالتعويض عن $(\Delta x)^2$ لايجاد الطاقة

$$E = \frac{\hbar^2}{8m \cdot (\Delta x)^2} + \frac{m\omega^2}{2} (\Delta x)^2 = \frac{\hbar}{8m \cdot \left(\frac{\hbar}{2m\omega}\right)} + \frac{m\omega^2}{2} \frac{\hbar}{2m\omega}$$

$$= \frac{1}{4} \hbar\omega + \frac{1}{4} \hbar\omega$$

$$\therefore E = \frac{1}{2} \hbar\omega \quad \text{وهو المطلوب}$$

س 15 / برهن اذا كانت n زوجية فان $H_n(-y) = H_n(y)$ و اذا كانت n فردية فان $H_n(-y) = -H_n(y)$

البرهان

باستخدام المعادلة

$$H_n(y) = (-)^n e^{y^2} \frac{d^n}{dy^n} e^{-y^2}$$

When n even = 2

$$\begin{aligned} H_2(y) &= (-)^2 e^{y^2} \frac{d^2}{dy^2} e^{-y^2} \\ &= e^{y^2} \frac{d}{dy} \left(\frac{d}{dy} e^{-y^2} \right) \\ &= e^{y^2} \frac{d}{dy} (-2y e^{-y^2}) \\ &= e^{y^2} \left\{ (-2y) \cdot (-2y) e^{-y^2} - 2e^{-y^2} \right\} \\ &= 4y^2 - 2 \end{aligned}$$

$$H_2(-y) = 4(-y)^2 - 2 = 4y^2 - 2 = H_2(y)$$

$$\therefore H_n(-y) = H_n(y)$$

When n odd = 1

$$H_1(y) = (-)^1 e^{y^2} \frac{d}{dy} e^{-y^2} = -e^{y^2} (-2ye^{-y^2}) = 2y$$

$$H_1(-y) = 2(-y) = -2y = -H_1(y)$$

$$\therefore H_n(-y) = -H_n(y) \text{ When } n \text{ odd} \quad \text{وهو المطلوب}$$

16.) Consider a simple harmonic oscillator find $\Delta p \Delta x$.

$$(\Delta x)^2 = \langle x^2 \rangle - \langle x \rangle^2$$

$$(\Delta p)^2 = \langle p^2 \rangle - \langle p \rangle^2$$

$\langle x \rangle$ او لا ايجاد

باستخدام المعادلة

$$y\psi_n(y) = \sqrt{\frac{n}{2}} \psi_{n-1}(y) + \sqrt{\frac{n+1}{2}} \psi_{n+1}(y)$$

بضرب المعادلة اعلاه في $(y)\psi_n$ ونكمال على الفضاء ينتج

$$\int_{-\infty}^{\infty} \psi_n(y) y \psi_n(y) dy = \sqrt{\frac{n}{2}} \int_{-\infty}^{\infty} \psi_n(y) \psi_{n-1}(y) dy + \sqrt{\frac{n+1}{2}} \int_{-\infty}^{\infty} \psi_n(y) \psi_{n+1}(y) dy$$

وبما ان دوال الموجة للمتذبذب التوافقى هي دوال متعامدة اذن

$$\langle y \rangle = \int_{-\infty}^{\infty} \psi_n(y) y \psi_n(y) dy = 0 \quad \Rightarrow \quad \langle y \rangle^2 = 0$$

$$\therefore y = \alpha x$$

$$\therefore \langle x \rangle^2 = 0$$

$\langle x^2 \rangle$ ثانيا ايجاد

باستخدام المعادلة

$$y\psi_n = \sqrt{\frac{n}{2}} \psi_{n-1}(y) + \sqrt{\frac{n+1}{2}} \psi_{n+1}(y) \quad (a)$$

بضرب في $(y)\psi_{n+1}$ في طرفي المعادلة (a) ونكمال على الفضاء ينتج

$$\int_{-\infty}^{\infty} \psi_{n+1}(y) y \psi_n(y) dy = \sqrt{\frac{n}{2}} \int_{-\infty}^{\infty} \psi_{n+1}(y) \psi_{n-1}(y) dy + \sqrt{\frac{n+1}{2}} \int_{-\infty}^{\infty} \psi_{n+1}(y) \psi_{n+1}(y) dy$$

وبما ان دوال الموجة للمتذبذب التوافقي هي دوال متعامدة وعيارية اي ان

$$\int_{-\infty}^{\infty} \psi_{n+1}(y) \psi_{n+1}(y) dy = 1$$

$$\int_{-\infty}^{\infty} \psi_{n+1}(y) \psi_{n-1}(y) dy = 0$$

$$\therefore \int_{-\infty}^{\infty} \psi_{n+1}(y) y \psi_n(y) dy = \sqrt{\frac{n+1}{2}} \quad (b)$$

وبضرب في $\psi_{n-1}(y)$ في طرفي المعادلة (a) ونكمال على الفضاء ينتج

$$\int_{-\infty}^{\infty} \psi_{n-1}(y) y \psi_n(y) dy = \sqrt{\frac{n}{2}} \int_{-\infty}^{\infty} \psi_{n-1}(y) \psi_{n-1}(y) dy + \sqrt{\frac{n+1}{2}} \int_{-\infty}^{\infty} \psi_{n-1}(y) \psi_{n+1}(y) dy$$

$$\therefore \int_{-\infty}^{\infty} \psi_{n-1}(y) y \psi_n(y) dy = \sqrt{\frac{n}{2}} \quad (c)$$

وبضرب طرفي المعادلة (a) في $y \psi_n(y)$ ونكمال على الفضاء ينتج

$$\int_{-\infty}^{\infty} \psi_n(y) y^2 \psi_n(y) dy = \sqrt{\frac{n}{2}} \int_{-\infty}^{\infty} \psi_{n-1}(y) y \psi_n(y) dy + \sqrt{\frac{n+1}{2}} \int_{-\infty}^{\infty} \psi_{n+1}(y) y \psi_n(y) dy$$

وبالتعويض عن (b) ، (c) في المعادلة الاخيرة ينتج

$$\langle y^2 \rangle = \int_{-\infty}^{\infty} \psi_n(y) y^2 \psi_n(y) dy = \sqrt{\frac{n}{2}} \cdot \sqrt{\frac{n}{2}} + \sqrt{\frac{n+1}{2}} \cdot \sqrt{\frac{n+1}{2}}$$

$$\langle y^2 \rangle = \frac{n}{2} + \frac{n+1}{2} = n + \frac{1}{2}$$

$$y = \alpha x \quad , \quad \alpha = \sqrt{\frac{m\omega}{\hbar}}$$

$$\therefore \langle y^2 \rangle = \alpha^2 \langle x^2 \rangle \quad \langle x^2 \rangle = \frac{y^2}{\alpha^2}$$

$$\therefore \langle x^2 \rangle = \frac{\hbar}{m\omega} \left(n + \frac{1}{2}\right)$$

$$\therefore (\Delta x) = \sqrt{\frac{\hbar}{m\omega} \left(n + \frac{1}{2}\right)}$$

ملاحظة يمكن ايجاد القيمة المتوقعة للطاقة الكامنة $\langle V(x) \rangle$

$$\langle V(x) \rangle = \frac{1}{2} m\omega^2 \langle x^2 \rangle$$

$$\langle V(x) \rangle = \frac{1}{2} \hbar\omega \left(n + \frac{1}{2}\right) = \frac{1}{2} E_n$$

ثالث ايجاد $\langle p \rangle$

$$\langle p \rangle = \int_{-\infty}^{\infty} \psi_n(y) \hat{p} \psi_n(y) dy = \int_{-\infty}^{\infty} \psi_n(y) (-i\hbar \frac{\partial}{\partial y}) \psi_n(y) dy$$

باستخدام المعادلة التالية لايجد $\frac{\partial \psi_n}{\partial y}$

$$\frac{d\psi_n(y)}{dy} = -y\psi_n(y) + \sqrt{2n} \psi_{n-1}(y)$$

$$\langle p \rangle = \int_{-\infty}^{\infty} \psi_n(y) (-i\hbar) \{-y\psi_n(y) + \sqrt{2n} \psi_{n-1}(y)\} dy$$

$$= -i\hbar \int_{-\infty}^{\infty} \psi_n(y) y \psi_n(y) dy - i\hbar \sqrt{2n} \int_{-\infty}^{\infty} \psi_n(y) \psi_{n-1}(y) dy$$

$$= 0 \Rightarrow \langle p \rangle^2 = 0$$

رابعاً ايجاد $\langle \hat{p}^2 \rangle$

$$\langle p^2 \rangle = \int_{-\infty}^{\infty} \psi_n(x) p^2 \psi_n(x) dx$$

$$\langle p^2 \rangle = -\hbar^2 \int_{-\infty}^{\infty} \psi_n(x) \frac{\partial^2 \psi_n(x)}{\partial x^2} dx$$

باستخدام معادلة رقم (2)

$$\frac{d^2 \psi_n}{dy^2} + (\varepsilon_n - y^2) \psi_n = 0$$

و

$$\frac{d^2 \psi_n}{dx^2} = \frac{m\omega}{\hbar} \left(\frac{m\omega}{\hbar} x^2 - \varepsilon_n \right) \psi_n \quad \text{Where } \varepsilon_n = (2n+1) \text{ and } \alpha^2 = \frac{m\omega}{\hbar}$$

$$\frac{d^2 \psi_n}{dx^2} = \alpha^2 (\alpha^2 x^2 - \varepsilon_n) \psi_n$$

$$\langle p^2 \rangle = \int_{-\infty}^{\infty} \psi_n(x) p^2 \psi_n(x) dx$$

$$\langle p^2 \rangle = \int_{-\infty}^{\infty} \psi_n(x) \left(-\hbar^2 \frac{\partial^2 \psi_n(x)}{\partial x^2} \right) dx$$

$$\langle p^2 \rangle = -\hbar^2 \int_{-\infty}^{\infty} \psi_n(y) \alpha^2 (\alpha^2 x^2 - \varepsilon_n) \psi_n dy$$

$$\langle p^2 \rangle = -\hbar^2 \left[\int_{-\infty}^{\infty} \psi_n(x) \alpha^4 x^2 \psi_n(x) dx - \alpha^2 \int_{-\infty}^{\infty} \varepsilon_n \psi_n(x) \psi_n(x) dx \right]$$

$$\langle p^2 \rangle = -\hbar^2 \alpha^4 \int_{-\infty}^{\infty} \psi_n(x) x^2 \psi_n(x) dx + \varepsilon_n \hbar^2 \alpha^2 \int_{-\infty}^{\infty} \psi_n(x) \psi_n(x) dx$$

$$\therefore \langle x^2 \rangle = \frac{\hbar}{m\omega} \left(n + \frac{1}{2} \right)$$

$$\therefore \langle p^2 \rangle = -\hbar^2 \alpha^4 \frac{\hbar}{m\omega} \left(n + \frac{1}{2} \right) + \varepsilon_n \hbar^2 \alpha^2$$

$$\langle p^2 \rangle = -\hbar^2 \alpha^2 \left(n + \frac{1}{2} \right) + (2n+1) \hbar^2 \alpha^2$$

$$\langle p^2 \rangle = \hbar^2 \alpha^2 \left(n + \frac{1}{2} \right)$$

$$\langle p^2 \rangle = \hbar^2 \frac{m\omega}{\hbar} \left(n + \frac{1}{2} \right)$$

$$\langle p^2 \rangle = \hbar m\omega \left(n + \frac{1}{2} \right)$$

$$\therefore (\Delta p) = \sqrt{\hbar m\omega \left(n + \frac{1}{2} \right)}$$

$$\therefore \Delta p \Delta x = \sqrt{\hbar m\omega \left(n + \frac{1}{2} \right)} \sqrt{\frac{\hbar}{m\omega} \left(n + \frac{1}{2} \right)}$$

$$\therefore \Delta p \Delta x = \left(n + \frac{1}{2} \right) \hbar$$

ملاحظة يمكن ايجاد القيمة المتوقعة للطاقة الحركية

$$\langle T \rangle = \frac{\langle p^2 \rangle}{2m} = \frac{\hbar m\omega}{2m} \left(n + \frac{1}{2} \right) = \frac{1}{2} \left(n + \frac{1}{2} \right) \hbar\omega = \frac{1}{2} E_n$$

Chapter Five

The One Electron Atom

الذرة الاحادية الالكترون

يتضمن هذا الفصل المسائل التي يكون فيها الجهد او (الطاقة الكامنة) متباينة كرويا الذي يطلق عليه من الناحية الكلاسيكية بالجهد المركزي (Central Potential) والمقصود به هو ان الطاقة تعتمد فقط على المسافة القطرية

$$V(\vec{r}) = V(r)$$

Central potential: is the potential that depend only on the radial distance i.e.

$$V(\vec{r}) = V(r)$$

وفي هذا الفصل سنقوم بدراسة الذرة الاحادية الالكترون التي تتكون من نواة ذات شحنة (ze) وإلكترون يدور حولها وسندرس بشكل مركز على النظرية الكمية لذرة الهيدروجين Quantum Theory of Hydrogen Atom

أن الطاقة الكامنة الناتجة من تجاذب الالكترون والنواة هو $V(r) = -\frac{k}{r}$ ، حيث ان k مقدار ثابت ويساوي

$$ze^2 / 4\pi\epsilon_0$$

$$\therefore V(r) = -\frac{e^2}{4\pi\epsilon_0 r}$$

من المعادلة الاخيرة نلاحظ ان الطاقة الكامنة تعتمد على الاحادي القطري فقط .

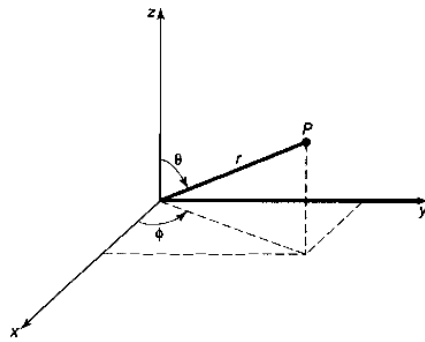
في الأبعاد الثلاثة ترتبط المسافة r بين الجسم ونقطة الاصل بالاحداثيات الكارتيزية كما يلي

$$r = (x^2 + y^2 + z^2)^{\frac{1}{2}}$$

اي ان دالة الطاقة لجهد مركزي $V(r)$ هي دالة للمتغيرات الثلاثة x, y, z أو (x, y, z) في المحاور

الكارتيزية لهذا السبب يفضل استخدام الاحداثيات القطبية الكروية (r, θ, ϕ) لكي تبقى الطاقة الكامنة معتمدة على

متغير واحد هو r



أن الإحداثيات القطبية الكروية ترتبط مع الإحداثيات الكارتيزية بالعلاقات التالية:

$$\left. \begin{array}{l} x = r \sin \theta \cos \phi \\ y = r \sin \theta \sin \phi \\ z = r \cos \theta \end{array} \right\} \quad (a)$$

اما معكوس هذه التحولات فهي كالتالي

$$\left. \begin{array}{l} r^2 = x^2 + y^2 + z^2 \\ \tan \phi = \frac{y}{x} \\ \cos \theta = \frac{z}{(x^2 + y^2 + z^2)^{\frac{1}{2}}} \end{array} \right\} \quad (b)$$

θ = الزاوية المحصورة بين المتجه الشعاعي (\vec{r}) والاتجاه الموجب للمحور z وتدعى بزاوية السمت
(Zenith angle)

ϕ = الزاوية المحصورة بين مسقط المتجه الشعاعي (\vec{r}) على المستوى xy والاتجاه الموجب للمحور (x)
وتدعى بزاوية الزوال (Azimuth angle)

The domain of r is $0 \rightarrow \infty$

The domain of θ is $0 \rightarrow \pi$

The domain of ϕ is $0 \rightarrow 2\pi$

The element volume $d\tau = dv = dx dy dz$ in Cartesian coordinate become in spherical coordinate $d\tau = r^2 \sin \theta dr d\theta d\phi$

(عنصر الحجم التفاضلي في المحاور القطبية الكروية)

The form of del operator $\vec{\nabla}$ is

$$\vec{\nabla} = i \frac{\partial}{\partial x} + j \frac{\partial}{\partial y} + k \frac{\partial}{\partial z} \quad (\text{مؤثر ديل في الاحداثيات الكارتيزية})$$

ولغرض تحويل المركبات اعلاه الى المحاور الكروية فاننا نحتاج الى تفاضلات المحاور x, y, z بدلالة المحاور الكروية. ويتم ذلك باستخدام قاعدة التفاضل المتسلسل كالاتي

$$\frac{\partial}{\partial x} = \frac{\partial r}{\partial x} \frac{\partial}{\partial r} + \frac{\partial \theta}{\partial x} \frac{\partial}{\partial \theta} + \frac{\partial \phi}{\partial x} \frac{\partial}{\partial \phi}$$

$$\frac{\partial}{\partial y} = \frac{\partial r}{\partial y} \frac{\partial}{\partial r} + \frac{\partial \theta}{\partial y} \frac{\partial}{\partial \theta} + \frac{\partial \phi}{\partial y} \frac{\partial}{\partial \phi}$$

$$\frac{\partial}{\partial z} = \frac{\partial r}{\partial z} \frac{\partial}{\partial r} + \frac{\partial \theta}{\partial z} \frac{\partial}{\partial \theta} + \frac{\partial \phi}{\partial z} \frac{\partial}{\partial \phi}$$

لاحظ اننا لكي نجد $\frac{\partial}{\partial z}, \frac{\partial}{\partial y}, \frac{\partial}{\partial x}$ فإننا يجب أن نجد التفاضلات

$$\frac{\partial \phi}{\partial z}, \frac{\partial \phi}{\partial y}, \frac{\partial \phi}{\partial x}$$

ويتم ذلك عن طريق المعادلات (b) فيكون لدينا

$$r^2 = x^2 + y^2 + z^2$$

$$2r \frac{\partial r}{\partial x} = 2x + 0 + 0$$

$$\frac{\partial r}{\partial x} = \frac{x}{r} = \sin \theta \cos \phi$$

وبنفس الأسلوب

$$\frac{\partial r}{\partial y} = \frac{y}{r} = \sin \theta \sin \phi$$

$$\frac{\partial r}{\partial z} = \frac{z}{r} = \cos \theta$$

ولإيجاد $\frac{\partial \theta}{\partial x}$ نجري الخطوات التالية

$$\begin{aligned} \cos \theta &= \frac{z}{(x^2 + y^2 + z^2)^{\frac{1}{2}}} \\ -\sin \theta \frac{\partial \theta}{\partial x} &= -\frac{z}{2}(x^2 + y^2 + z^2)^{-\frac{3}{2}}(2x) \\ \frac{\partial \theta}{\partial x} &= \frac{zx}{(x^2 + y^2 + z^2)^{\frac{3}{2}} \sin \theta} \\ &= \frac{zx}{r^3 \sin \theta} \\ &= \frac{r^2 \cos \theta \sin \theta \cos \phi}{r^3 \sin \theta} \\ \therefore \frac{\partial \theta}{\partial x} &= \frac{\cos \theta \cos \phi}{r} \end{aligned}$$

وبالاسلوب نفسه

$$\frac{\partial \theta}{\partial y} = \frac{\cos \theta \sin \phi}{r}$$

$$\frac{\partial \theta}{\partial z} = -\frac{\sin \theta}{r}$$

بقي لدينا تغيير ϕ بالنسبة لكل من x, y, z كل على انفراد

$$\tan \phi = \frac{y}{x}$$

$$\sec^2 \phi \frac{\partial \phi}{\partial x} = -\frac{y}{x^2}$$

$$\frac{\partial \phi}{\partial x} = -\frac{r \sin \theta \sin \phi}{r^2 \sin^2 \theta \cos^2 \phi} \cos^2 \phi$$

$$\frac{\partial \phi}{\partial x} = -\frac{\sin \phi}{r \sin \theta}$$

$$\frac{\partial \phi}{\partial y} = \frac{\cos \phi}{r \sin \theta}$$

$$\frac{\partial \phi}{\partial z} = 0$$

والنتائج اعلاه يمكن ادراجها في الجدول أدناه

$$\begin{array}{lll}
 \frac{\partial r}{\partial x} = \sin \theta \cos \phi & \frac{\partial r}{\partial y} = \sin \theta \sin \phi & \frac{\partial r}{\partial z} = \cos \theta \\
 \frac{\partial \theta}{\partial x} = \frac{\cos \theta \cos \phi}{r} & \frac{\partial \theta}{\partial y} = \frac{\cos \theta \sin \phi}{r} & \frac{\partial \theta}{\partial z} = -\frac{\sin \theta}{r} \\
 \frac{\partial \phi}{\partial x} = -\frac{\sin \phi}{r \sin \theta} & \frac{\partial \phi}{\partial y} = \frac{\cos \phi}{r \sin \theta} & \frac{\partial \phi}{\partial z} = 0
 \end{array}$$

$$\begin{aligned}
 \therefore \quad \frac{\partial}{\partial x} &= \frac{\partial r}{\partial x} \frac{\partial}{\partial r} + \frac{\partial \theta}{\partial x} \frac{\partial}{\partial \theta} + \frac{\partial \phi}{\partial x} \frac{\partial}{\partial \phi} \\
 &= \sin \theta \cos \phi \frac{\partial}{\partial r} + \frac{1}{r} \cos \theta \cos \phi \frac{\partial}{\partial \theta} + \left(-\frac{1}{r \sin \theta} \frac{\sin \phi}{\partial \phi} \right) \\
 \frac{\partial}{\partial y} &= \frac{\partial r}{\partial y} \frac{\partial}{\partial r} + \frac{\partial \theta}{\partial y} \frac{\partial}{\partial \theta} + \frac{\partial \phi}{\partial y} \frac{\partial}{\partial \phi} \\
 &= \sin \theta \sin \phi \frac{\partial}{\partial r} + \frac{1}{r} \cos \theta \sin \phi \frac{\partial}{\partial \theta} + \frac{1}{r} \frac{\cos \phi}{\sin \theta} \frac{\partial}{\partial \phi} \\
 \frac{\partial}{\partial z} &= \frac{\partial r}{\partial z} \frac{\partial}{\partial r} + \frac{\partial \theta}{\partial z} \frac{\partial}{\partial \theta} + \frac{\partial \phi}{\partial z} \frac{\partial}{\partial \phi} \\
 &= \cos \theta \frac{\partial}{\partial r} + \left(-\frac{1}{r} \sin \theta \frac{\partial}{\partial \theta} \right)
 \end{aligned}$$

مؤثر ديل في الاحاديث الكروية

$$\therefore \vec{\nabla} = \hat{r} \frac{\partial}{\partial r} + \hat{\theta} \frac{1}{r} \frac{\partial}{\partial \theta} + \hat{\phi} \frac{1}{r \sin \theta} \frac{\partial}{\partial \phi}$$

المؤثر الابلاسي بدلالة الاحاديث القطبية الكروية

$$\nabla^2 = \frac{1}{r^2} \frac{\partial}{\partial r} \left(r^2 \frac{\partial}{\partial r} \right) + \frac{1}{r^2 \sin \theta} \frac{\partial}{\partial \theta} \left(\sin \theta \frac{\partial}{\partial \theta} \right) + \frac{1}{r^2 \sin^2 \theta} \frac{\partial^2}{\partial \phi^2}$$

معادلة شرودنكر في الاحاديث القطبية الكروية

$$\frac{-\hbar^2}{2m} \nabla^2 \psi(r, \theta, \phi) + V(r) \psi(r, \theta, \phi) = E \psi(r, \theta, \phi) \quad (1)$$

$$\begin{aligned} & \frac{-\hbar^2}{2m} \left\{ \frac{1}{r^2} \frac{\partial}{\partial r} \left(r^2 \frac{\partial \psi(r, \theta, \phi)}{\partial r} \right) + \frac{1}{r^2 \sin \theta} \frac{\partial}{\partial \theta} \left(\sin \theta \frac{\partial \psi(r, \theta, \phi)}{\partial \theta} \right) \right. \\ & \left. + \frac{1}{r^2 \sin^2 \theta} \frac{\partial^2 \psi(r, \theta, \phi)}{\partial \phi^2} \right\} + V(r) \psi(r, \theta, \phi) = E \psi(r, \theta, \phi) \end{aligned} \quad (2)$$

لأجل حل المعادلة (2) نستخدم طريقة فصل المتغيرات وذلك بوضع

$$\psi(r, \theta, \phi) = R(r) Y(\theta, \phi) \quad (3)$$

حيث R دالة لـ r بينما Y هي دالة لـ θ ، ϕ فقط

من معادلة (3) نستطيع كتابة

$$\left. \begin{aligned} \frac{\partial \psi}{\partial r} &= Y \frac{\partial R}{\partial r} \\ \frac{\partial \psi}{\partial \theta} &= R \frac{\partial Y}{\partial \theta} \\ \frac{\partial^2 \psi}{\partial \phi^2} &= R \frac{\partial^2 Y}{\partial \phi^2} \end{aligned} \right\} \quad (4)$$

وإذا عوضنا عن $\psi(r, \theta, \phi) = R(r) Y(\theta, \phi)$ ومشتقاتها من المعادلتين (3) ، (4) نحصل على

$$\begin{aligned} & \frac{-\hbar^2}{2m} \left\{ \frac{1}{r^2} \frac{\partial}{\partial r} \left(r^2 Y \frac{\partial R}{\partial r} \right) + \frac{1}{r^2 \sin \theta} \frac{\partial}{\partial \theta} \left(\sin \theta R \frac{\partial Y}{\partial \theta} \right) \right. \\ & \left. + \frac{1}{r^2 \sin^2 \theta} R \frac{\partial^2 Y}{\partial \phi^2} \right\} + V(r) R Y = E R Y \end{aligned}$$

وعند قسمة المعادلة اعلاه على $R Y$ نحصل على

$$\begin{aligned} & \frac{-\hbar^2}{2m} \left\{ \frac{1}{r^2} \frac{1}{R} \frac{\partial}{\partial r} \left(r^2 \frac{\partial R}{\partial r} \right) + \frac{1}{r^2 \sin \theta} \frac{1}{Y} \frac{\partial}{\partial \theta} \left(\sin \theta \frac{\partial Y}{\partial \theta} \right) \right. \\ & \left. + \frac{1}{r^2 \sin^2 \theta} \frac{1}{Y} \frac{\partial^2 Y}{\partial \phi^2} \right\} + V(r) = E \end{aligned} \quad (5)$$

نضرب طرفي المعادلة (5) بالمقدار $-\frac{2mr^2}{\hbar^2}$ وإعادة ترتيب المعادلة نحصل على المعادلة التالية

$$\begin{aligned} \frac{1}{R} \frac{\partial}{\partial r} \left(r^2 \frac{\partial R}{\partial r} \right) + \frac{2mr^2}{\hbar^2} [E - V(r)] = \\ -\frac{1}{Y} \left[\frac{1}{\sin \theta} \frac{\partial}{\partial \theta} (\sin \theta \frac{\partial Y}{\partial \theta}) + \frac{1}{\sin^2 \theta} \frac{\partial^2 Y}{\partial \phi^2} \right] \end{aligned} \quad (6)$$

نلاحظ ان الطرف اليسير من المعادلة (6) يعتمد على r فقط ، بينما الطرف اليمين على θ, ϕ فقط . لذا يجب ان يكون كل طرف منها مساوي الى عدد ثابت مثل λ

$$\begin{aligned} \frac{1}{R} \frac{\partial}{\partial r} \left(r^2 \frac{\partial R}{\partial r} \right) + \frac{2mr^2}{\hbar^2} [E - V(r)] = \lambda \\ -\frac{1}{Y} \left[\frac{1}{\sin \theta} \frac{\partial}{\partial \theta} (\sin \theta \frac{\partial Y}{\partial \theta}) + \frac{1}{\sin^2 \theta} \frac{\partial^2 Y}{\partial \phi^2} \right] = \lambda \\ \frac{d}{dr} \left(r^2 \frac{dR}{dr} \right) + \frac{2mr^2}{\hbar^2} [E - V(r)] R = \lambda R \end{aligned} \quad (7)$$

$$\frac{1}{\sin \theta} \frac{\partial}{\partial \theta} (\sin \theta \frac{\partial Y}{\partial \theta}) + \frac{1}{\sin^2 \theta} \frac{\partial^2 Y}{\partial \phi^2} + \lambda Y = 0 \quad (8)$$

ولحل المعادلة (8) ينبغي فصل متغيريها θ, ϕ وذلك بوضع

$$Y(\theta, \phi) = \Theta(\theta) \Phi(\phi) \quad (9)$$

وبتعويض المعادلة (9) في المعادلة (8) نحصل على

$$\frac{1}{\sin \theta} \frac{\partial}{\partial \theta} \left(\sin \theta \Phi(\phi) \frac{\partial \Theta(\theta)}{\partial \theta} \right) + \frac{1}{\sin^2 \theta} \Theta(\theta) \frac{\partial^2 \Phi(\phi)}{\partial \phi^2} + \lambda \Theta(\theta) \Phi(\phi) = 0$$

وبالقسمة على $\Theta(\theta) \Phi(\phi)$

$$\frac{1}{\Theta(\theta)} \frac{1}{\sin \theta} \frac{\partial}{\partial \theta} \left(\sin \theta \frac{\partial \Theta(\theta)}{\partial \theta} \right) + \frac{1}{\Phi(\phi) \sin^2 \theta} \frac{\partial^2 \Phi(\phi)}{\partial \phi^2} + \lambda = 0$$

نضرب المعادلة اعلاه بـ $\sin^2 \theta$ وتحويل الحد الثاني الى الجهة الاخرى

$$\frac{\sin \theta}{\Theta(\theta)} \frac{\partial}{\partial \theta} \left(\sin \theta \frac{\partial \Theta(\theta)}{\partial \theta} \right) + \lambda \sin^2 \theta = -\frac{1}{\Phi(\phi)} \frac{\partial^2 \Phi(\phi)}{\partial \phi^2}$$

ونفس النقاش السابق نرى ان الطرف الايمن من المعادلة اعلاه يعتمد على θ بينما الطرف اليسير يعتمد على ϕ

لذا يجب ان يكون كل طرف منها مساوي الى عدد ثابت مثل μ

$$-\frac{1}{\Phi(\phi)} \frac{d^2\Phi(\phi)}{d\phi^2} = \mu \quad \Rightarrow \quad \frac{d^2\Phi(\phi)}{d\phi^2} + \mu \Phi(\phi) = 0 \quad (10)$$

$$\frac{1}{\sin \theta} \frac{d}{d\theta} (\sin \theta \frac{d\Theta(\theta)}{d\theta}) + \left(\lambda - \frac{\mu}{\sin^2 \theta} \right) \Theta(\theta) = 0 \quad (11)$$

Solution of Differation Equation

حل المعادلات التفاضلية

نلاحظ من المعادلات السابقة اننا ادخلنا ثابتي الفصل λ ، μ ومن الملاحظ ايضا ان الطاقة الكامنة $V(r)$ تظهر فقط في المعادلة (7) اي معادلة R . اي ان الدالة R والمعادلة التفاضلية الخاصة بها تعتمد بشكل ظاهر على نوع دالة الطاقة الكامنة $V(r)$ بينما الدالتان Θ, Φ ومعادلتهما التفاضليةان لاختلفان اذا اختلف نوع دالة الطاقة الكامنة $V(r)$ لاظهر في هاتين المعادلتين.

الشرط العيادي لدالة الموجة

$$\int \psi^* \psi d\tau = 1$$

حيث ان

$$\psi(r, \theta, \phi) = R(r) \Theta(\theta) \Phi(\phi)$$

$$\psi^*(r, \theta, \phi) = R^*(r) \Theta^*(\theta) \Phi^*(\phi)$$

وبما اننا استخدامنا الاحاديث القطبية الكروية عنصر الحجم $d\tau$ هو

$$d\tau = r^2 \sin \theta dr d\theta d\phi$$

$$\therefore \int_0^\infty \int_0^\pi \int_0^{2\pi} R^*(r) R(r) \Theta^*(\theta) \Theta(\theta) \Phi^*(\phi) \Phi(\phi) r^2 \sin \theta dr d\theta d\phi = 1$$

$$\int_0^\infty R^*(r) R(r) r^2 dr \int_0^\pi \Theta^*(\theta) \Theta(\theta) \sin \theta d\theta \int_0^{2\pi} \Phi^*(\phi) \Phi(\phi) d\phi = 1$$

\Rightarrow

$$\int_0^\infty R^*(r) R(r) r^2 dr = 1$$

$$\int_0^\pi \Theta^*(\theta) \Theta(\theta) \sin \theta \, d\theta = 1$$

$$\int_0^{2\pi} \Phi^*(\phi) \Phi(\phi) \, d\phi = 1$$

اولا حل المعادلة الخاصة لـ $\Phi(\phi)$

$$\frac{d^2\Phi(\phi)}{d\phi^2} + \mu \Phi(\phi) = 0 \quad (10)$$

نفرض ان الحل للمعادلة اعلاه هو

$$\Phi(\phi) = A e^{ik\phi}$$

وبأخذ المشتقة الثانية للمعادلة $\Phi(\phi) = A e^{ik\phi}$ وتعويضها في معادلة (10) نحصل على

$$\frac{d\Phi(\phi)}{d\phi} = ik A e^{ik\phi}, \quad \frac{d^2\Phi(\phi)}{d\phi^2} = -k^2 A e^{ik\phi}$$

$$-k^2 A e^{ik\phi} + \mu A e^{ik\phi} = 0$$

$$(-k^2 + \mu) A e^{ik\phi} = 0$$

$$-k^2 + \mu = 0 \Rightarrow k^2 = \mu \quad , \quad k = \pm \sqrt{\mu}$$

$$\therefore \Phi(\phi) = A e^{\pm i \sqrt{\mu} \phi}$$

وبما ان دالة الموجة يجب ان تكون فريدة او احادية القيمة في اي نقطة اي ان

$$\Phi(\phi) = \Phi(\phi + 2\pi)$$

$$A e^{\pm i \sqrt{\mu} \phi} = A e^{\pm i \sqrt{\mu} (\phi + 2\pi)}$$

$$A e^{\pm i \sqrt{\mu} \phi} = A e^{\pm i \sqrt{\mu} \phi} \cdot e^{\pm i \sqrt{\mu} 2\pi}$$

$$e^{\pm i \sqrt{\mu} 2\pi} = 1$$

وباستخدام العلاقة $e^{\pm i\theta} = \cos \theta \pm i \sin \theta$

$$\cos 2\pi \sqrt{\mu} \pm i \sin 2\pi \sqrt{\mu} = 1$$

و واضح ان الحد الخيالي يجب ان يساوي صفر

$$\sin 2\pi \sqrt{\mu} = 0$$

$$\begin{aligned} \cos 2\pi\sqrt{\mu} = 1 &\Rightarrow 2\pi\sqrt{\mu} = \cos^{-1} 1 \\ \therefore \sqrt{\mu} &= m \end{aligned} \tag{12}$$

حيث أن $m = 0, \pm 1, \pm 2, \pm 3, \dots$

(Magnetic quantum number) $m = 0, \pm 1, \pm 2, \pm 3, \dots$ بالعدد الكمي المغناطيسي ويسمى ...

$$\therefore \Phi(\phi) = A e^{im\phi}$$

ولإيجاد A نستخدم الشرط العياري وكما يلي

$$\int \Phi^*(\phi) \Phi(\phi) d\phi = 1$$

$$\int_0^{2\pi} A^* e^{-im\phi} A e^{im\phi} d\phi = 1$$

$$A^2 \int_0^{2\pi} d\phi = 1$$

$$A = (2\pi)^{-\frac{1}{2}}$$

$$\therefore \Phi(\phi) = \frac{1}{\sqrt{2\pi}} e^{im\phi} \tag{13}$$

حيث ان $m = 0, \pm 1, \pm 2, \pm 3, \dots$

تماثل الجزء الزوالي لدالة الموجة

في الاحداثيات الكارتيزية تماثل الدالة ψ يعني التحويل من $\vec{r} \rightarrow -\vec{r}$ ، ولكن في الاحداثيات القطبية الكروية يعني

$$r \rightarrow r , \quad \theta \rightarrow \pi - \theta , \quad \phi \rightarrow \pi + \phi$$

$$\phi(\pi + \phi) = (2\pi)^{-\frac{1}{2}} e^{im(\phi+\pi)}$$

$$= (2\pi)^{-\frac{1}{2}} e^{im\phi} \cdot e^{im\pi}$$

$$e^{im\pi} = \cos m\pi + i \sin m\pi$$

$$1. \sin m\pi = \sin 0 = \sin \pi = \sin 2\pi = 0$$

$$2. \cos m\pi = (-1)^m$$

$$\therefore \Phi(\pi + \phi) = (-1)^m \Phi(\phi)$$

$$\therefore \text{Parity of } \Phi(\phi) \text{ is } (-1)^m$$

اي بعبارة اخرى ان تماثل Φ فهو يعني ان الدالة $e^{im\phi}$ يجب ان تضرب بالعامل $e^{im\pi}$ والذي يساوي $(-1)^m$

حل المعادلة الخاصة بـ $\Theta(\theta)$ المعادلة (11)

$$\frac{1}{\sin \theta} \frac{d}{d\theta} (\sin \theta \frac{d\Theta(\theta)}{d\theta}) + (\lambda - \frac{\mu}{\sin^2 \theta}) \Theta(\theta) = 0 \quad (11)$$

وبالتعويض عن الكميه $\mu = m^2$ في المعادله اعلاه ينتج

$$\frac{1}{\sin \theta} \frac{d}{d\theta} (\sin \theta \frac{d\Theta(\theta)}{d\theta}) + (\lambda - \frac{m^2}{\sin^2 \theta}) \Theta(\theta) = 0 \quad (14)$$

ولاجل حل المعادلة اعلاه نعمل بعض التسهيلات الرياضية

$$\Theta(\theta) = p(\omega) \quad , \quad \omega = \cos \theta \quad \text{نفرض ان}$$

$$\frac{d}{d\theta} = \frac{d\omega}{d\theta} \cdot \frac{d}{d\omega}$$

$$\frac{d}{d\theta} = -\sin \theta \frac{d}{d\omega}$$

$$\frac{1}{\sin \theta} (-\sin \theta \frac{d}{d\omega}) (\sin \theta (-\sin \theta \frac{d}{d\omega} p(\omega))) + (\lambda - \frac{m^2}{\sin^2 \theta}) p(\omega) = 0$$

$$\frac{1}{d\omega} (\sin^2 \theta \frac{dp(\omega)}{d\omega}) + (\lambda - \frac{m^2}{\sin^2 \theta}) p(\omega) = 0$$

$$\because \cos^2 \theta + \sin^2 \theta = 1 \rightarrow \sin^2 \theta = 1 - \cos^2 \theta$$

$$\therefore \sin^2 \theta = 1 - \omega^2$$

$$\frac{1}{d\omega} \left[(1 - \omega^2) \frac{dp(\omega)}{d\omega} \right] + (\lambda - \frac{m^2}{1 - \omega^2}) p(\omega) = 0 \quad (15)$$

بما ان قيم $\theta \leq 0$ فان قيم ω المقابلة ستكون $-1 \leq \omega \leq +1$. لو لاحضنا المعادلة (15) نجد انها معادلة تقاضلية من الدرجة الثانية فيها الثابت λ (Second order non linear differential equation) مجهول بينما m له قيم محددة وكما بينا سابقاً وكما في المعادلات (12) (13)، بصورة عامة فان حلولها تصبح مالانهاية في $\omega = \pm 1$ وهذه هي حلول غير مقبولة فيزيائياً. اما الحل المقبول يقابل حالة خاصة فيها

$$\lambda = \ell(\ell+1) \quad , \quad \ell = 0, 1, 2, 3, \dots , \ell \geq |m|$$

حيث ان ℓ يسمى العدد الكمي للزخم الزاوي المداري Angular Momentum Quantum Number

فالحلول المقبولة للمعادلة (15) تدعى دوال ليجندر المترافقة Associated Legender functions اي ان

$$p_\ell^m(\omega) = (1 - \omega^2)^{\frac{|\ell|}{2}} \frac{d^{|\ell|}}{d\omega^{|\ell|}} p_\ell(\omega) \quad (16)$$

$$\ell = 0, 1, 2, 3, \dots, \ell \geq |\ell|$$

حيث تسمى الدالة $p_\ell(\omega)$ كثير حود ليجندر (Legender polynomial) من الرتبة ℓ والمعرفة بالمعادلة

$$p_\ell(\omega) = \frac{1}{2^\ell \ell!} \frac{d^\ell}{d\omega^\ell} [(\omega^2 - 1)^\ell] \quad (17)$$

في حالة $m=0$ فان المعادلة (16) تعطينا

$$p_\ell^0(\omega) = p_\ell(\omega) \quad (18)$$

اي ان كثيرات حود ليجندر تحقق المعادلة (15) عندما يكون $m=0$ والذى يعني $p_\ell(\omega)$ تحقق المعادلة التالية

$$\frac{d}{d\omega} \left[(1 - \omega^2) \frac{dp_\ell}{d\omega} \right] + \ell(\ell + 1) p_\ell = 0 \quad (19)$$

او لا $p_\ell(\omega)$ هي دوال حقيقية على شكل كثيرات حدود في ω ومن درجة ℓ وتماثل $(-1)^\ell$ ندرج بعض منها:

$$p_0(\omega) = 1$$

$$p_1(\omega) = \omega$$

$$p_2(\omega) = \frac{1}{2}(3\omega^2 - 1)$$

$$p_3(\omega) = \frac{1}{2}(5\omega^2 - 3\omega)$$

ثانياً الدوال $p_\ell^m(\omega)$ هي عبارة عن الكمية $(1 - \omega^2)^{\frac{|m|}{2}}$ مضروبة في كثيرة حدود حقيقية من الدرجة $(\ell - |m|)$

ولها تماثل $(-1)^{\ell-|m|}$ وفي ما يلي بعض من دوال ليجندر المترافقه

$$p_1^{\pm 1}(\omega) = (1 - \omega^2)^{\frac{1}{2}} \quad \ell = 1, \quad m = \pm 1$$

$$p_2^{\pm 1}(\omega) = (1 - \omega^2)^{\frac{1}{2}} \cdot 3\omega \quad \ell = 2, \quad m = \pm 1$$

$$p_3^{\pm 1}(\omega) = (1 - \omega^2)^{\frac{1}{2}} \cdot \frac{3}{5}(5\omega - 1) \quad \ell = 3, \quad m = \pm 1$$

$$p_2^{\pm 2}(\omega) = (1 - \omega^2) \cdot 3 \quad \ell = 2, \quad m = \pm 2$$

$$p_3^{\pm 2}(\omega) = (1 - \omega^2) \cdot 15\omega \quad \ell = 3, \quad m = \pm 2$$

$$p_3^{\pm 3}(\omega) = (1 - \omega^2)^{\frac{3}{2}} \cdot 15 \quad \ell = 3, \quad m = \pm 3$$

Example : Set up the following associated Legender function $p_2^1(\omega)$

Solution: $\ell = 2$, $m = 1$

$$p_\ell^m(\omega) = (1 - \omega^2)^{\frac{|\ell|}{2}} \frac{d^{|\ell|}}{d\omega^{|\ell|}} p_\ell(\omega)$$

$$p_\ell(\omega) = \frac{1}{2^\ell \ell!} \frac{d^\ell}{d\omega^\ell} [(\omega^2 - 1)^\ell] \quad \text{حيث ان}$$

$$\ell = 2 \Rightarrow p_2(\omega) = \frac{1}{2^2 2!} \frac{d^2}{d\omega^2} [(\omega^2 - 1)^2]$$

$$= \frac{1}{8} \frac{d}{d\omega} \cdot \frac{d}{d\omega} (\omega^2 - 1)^2$$

$$= \frac{1}{8} \frac{d}{d\omega} 2 \cdot (\omega^2 - 1) \cdot 2\omega$$

$$= \frac{1}{2} \frac{d}{d\omega} (\omega^3 - \omega)$$

$$= \frac{1}{2} (3\omega^2 - 1)$$

$$p_2^1(\omega) = (1 - \omega^2)^{\frac{1}{2}} \frac{d}{d\omega} \frac{1}{2} (3\omega^2 - 1)$$

$$= (1 - \omega^2)^{\frac{1}{2}} \cdot 3\omega$$

$$\therefore p_2^1(\omega) = (1 - \omega^2)^{\frac{1}{2}} \cdot 3\omega \quad \text{وهو المطلوب}$$

ثالثا الدوال $p_\ell^m(\omega)$ هي دوال متعامدة مع بعضها البعض لقيم $-1 \leq \omega \leq +1$

$$\int_{-1}^{+1} p_\ell^m(\omega) p_{\ell'}^m(\omega) d\omega = 0$$

لكنها غير عياريه أي أن

$$\int_{-1}^{+1} |p_\ell^m(\omega)|^2 d\omega = \frac{2}{2\ell + 1} \cdot \frac{(\ell + |m|)!}{(\ell - |m|)!}$$

وعند ضرب دوال ليجندر المترافقه $p_{\ell'}^m(\omega)$ بالعدد تكون عندئذ دوال عياريه

Spherical Harmonics function is simply the product result of zenithal times azimuthal parts of the wave function i.e.

$$Y_\ell^m(\theta, \phi) = p_\ell^m \cdot \Phi_m(\phi)$$

تدعى حاصل ضرب الجزء السمتى بالجزء الزوالى من دالة الموجة بالتوافقيات الكروية اي عند مزج Φ ، Θ نحصل على:

$$Y_\ell^m(\theta, \phi) = N_\ell^m p_\ell^m(\cos\theta) \cdot e^{im\phi} \quad (20)$$

$$m = 0, \pm 1, \pm 2, \pm 3, \dots \dots \quad , \quad \ell = 0, 1, 2, 3, \dots \dots \quad , \quad \ell \geq |m|$$

حيث ان N_ℓ^m يدعى بثابت المعايرة لدالة التوافقيات الكروية ويعطى بالعلاقة التالية

$$N_\ell^m = (-1)^{\frac{1}{2}(m+|m|)} \left[\frac{2\ell+1}{4\pi} \cdot \frac{(\ell-|m|)!}{(\ell+|m|)!} \right]^{\frac{1}{2}}$$

ان دالة التوافقيات الكروية تكون مجموعة من الدوال الذاتية العيارية والمعتمدة كما ان الدالة Y_ℓ^m هي دالة ذاتية للمعادلة (8) بقيمة ذاتية قدرها $\lambda_\ell = \ell(\ell+1)$ والمسالة منحلة بدرجة انحلال مقدارها $(2\ell+1)$ وذلك لأن لكل قيمة من ℓ هناك $(2\ell+1)$ من القيم لـ m اي ان

$$m = -\ell, -\ell+1, \dots, \ell-1, \ell$$

Example $\ell = 1 \Rightarrow m = -1, 0, 1$

$$\ell = 2 \Rightarrow m = -2, -1, 0, 1, 2$$

ان تماثل دالة التوافقيات الكروية هو $(-1)^{\ell-|m|}$ لأن تماثل الدالة $p_\ell^m(\cos\theta)$ الجزء السمتى هو $(-1)^{\ell-|m|}$ وتماثل الجزء الزوالى هو $(-1)^{|m|}$ لذا فان تماثل دالة التوافقيات الكروية يصبح $(-1)^{\ell-|m|}$ وادناه بعض الدالات التوافقيات الكروية لقيم مختلفة لـ ℓ ، m ،

$$Y_0^0 = \frac{1}{\sqrt{4\pi}}$$

$$Y_1^0 = \left(\frac{3}{4\pi} \right)^{\frac{1}{2}} \cos\theta$$

$$Y_1^{\pm 1} = \pm \left(\frac{3}{8\pi} \right)^{\frac{1}{2}} \sin \theta \cdot e^{\pm i\phi}$$

$$Y_2^0 = \left(\frac{5}{16\pi} \right)^{\frac{1}{2}} (3 \cos^2 \theta - 1)$$

$$Y_2^{\pm 1} = \pm \left(\frac{15}{8\pi} \right)^{\frac{1}{2}} \sin \theta \cos \theta \cdot e^{\pm i\phi}$$

$$Y_2^{\pm 2} = \left(\frac{15}{32\pi} \right)^{\frac{1}{2}} \sin^2 \theta \cdot e^{\pm 2i\phi}$$

Example : Set up the following Spherical Harmonics function Y_2^{+1}

Solution:

$$Y_2^{+1} \Rightarrow \ell = 2 \quad \text{and} \quad m = 1$$

$$Y_\ell^m(\theta, \phi) = N_\ell^m p_\ell^m(\cos \theta) e^{im\phi}$$

$$N_\ell^m = (-1)^{\frac{1}{2}(m+|m|)} \left[\frac{2\ell+1}{4\pi} \cdot \frac{(\ell-|m|)!}{(\ell+|m|)!} \right]^{\frac{1}{2}}$$

$$= (-1)^{\frac{1}{2} \cdot 2} \cdot \left(\frac{5}{4\pi} \cdot \frac{1}{6} \right)^{\frac{1}{2}}$$

$$= - \left(\frac{5}{24\pi} \right)^{\frac{1}{2}}$$

$$p_\ell^m(\omega) = (1 - \omega^2)^{\frac{|m|}{2}} \frac{d^{|m|}}{d\omega^{|m|}} p_\ell(\omega)$$

$$p_\ell(\omega) = \frac{1}{2^\ell \ell!} \frac{d^\ell}{d\omega^\ell} [(\omega^2 - 1)^\ell]$$

$$= \frac{1}{2^2 2!} \frac{d^2}{d\omega^2} [(\omega^2 - 1)^2]$$

$$= \frac{1}{8} \frac{d}{d\omega} \frac{d}{d\omega} (\omega^2 - 1)^2$$

$$\begin{aligned}
&= \frac{1}{8} \frac{d}{d\omega} 2(\omega^2 - 1) \cdot 2\omega \\
&= \frac{1}{2} \frac{d}{d\omega} (\omega^3 - \omega) \\
&= \frac{1}{2} (3\omega^2 - 1) \\
p_2^1(\omega) &= (1 - \omega^2)^{\frac{1}{2}} \frac{d}{d\omega} \frac{1}{2} (3\omega^2 - 1) \\
&= (1 - \omega^2)^{\frac{1}{2}} \cdot 3\omega \\
&= 3\cos\theta\sin\theta \\
\therefore Y_2^1 &= -\left(\frac{5}{24\pi}\right)^{\frac{1}{2}} 3\cos\theta\sin\theta e^{i\phi} \\
&= -\left(\frac{15}{8\pi}\right)^{\frac{1}{2}} \cos\theta\sin\theta e^{i\phi}
\end{aligned}$$

بعد الحصول على الحل الرياضي الخاص بـ Θ ، Φ وجدنا ان الدالة Φ تحتوي على الثابت الوسيط m المحدد بالاعداد الصحيحة الموجبة والسلالية اي ان

$$(\text{العدد الكمي المغناطيسي}) \quad m = 0, \pm 1, \pm 2, \pm 3, \dots$$

بينما الدالة Θ تحتوي على ثابت وسيط آخر ℓ محدد باعداد صحيحة موجبة اكبر او تساوي $|m|$

$$\text{العدد الكمي للزخم الزاوي (المداري)} \quad \ell \geq |m| \quad \ell = 0, 1, 2, 3, \dots$$

من المعادلة (7) وبعد التعويض عن $\lambda = \ell(\ell + 1)$ تتحول إلى

$$\frac{d}{dr} \left(r^2 \frac{dR}{dr} \right) + \frac{2mr^2}{\hbar^2} (E - V(r)) = \ell(\ell + 1) R$$

وبالقسمة على r^2 والترتيب نحصل على

$$\frac{1}{r^2} \frac{d}{dr} \left(r^2 \frac{dR}{dr} \right) + \left\{ \frac{2m}{\hbar^2} (E - V(r)) - \frac{\ell(\ell + 1)}{r^2} \right\} R = 0 \quad (21)$$

تسمى المعادلة (21) بمعادلة شروبنكر القطرية ولأجل إيجاد الجزء القطري لدالة الموجة R يجب معرفة الطاقة الكاملة $V(r)$ وفي هذا الفصل سندرس ذرة الهيدروجين والذرات الشبيهة لها متناولين في دراستنا الجهد المتبادل بين الالكترون والنواة

The Hydrogen and Hydrogen Like Atom

ذرة الهيدروجين والذرة الشبيهة لها

من المعروف أن الذرة الشبيهة بذرة الهيدروجين تتكون من نواة شحنتها Ze ويدور حولها الکترون واحد في مدارها الخارجي ، وعليه ان الطاقة الكامنة للنظام

$$V(r) = \frac{-Ze}{4\pi\epsilon_0 r} \Rightarrow V(r) = \frac{-k}{r}, \quad k = \frac{Ze^2}{4\pi\epsilon_0}$$

وبالتعويض عن $V(r)$ بالمعادلة (21) نحصل على

$$\frac{1}{r^2} \frac{d}{dr} \left(r^2 \frac{dR}{dr} \right) + \left\{ \frac{2m}{\hbar^2} \left(E + \frac{k}{r} \right) - \frac{\ell(\ell + 1)}{r^2} \right\} R = 0$$

وبضرب المعادلة الأخيرة بالكمية $\frac{-\hbar^2}{8mE}$

$$\frac{-\hbar^2}{8mEr^2} \frac{d}{dr} \left(r^2 \frac{dR}{dr} \right) + \left\{ \frac{2m}{\hbar^2} \left(\frac{-\hbar^2}{8mE} \right) \left(E + \frac{k}{r} \right) + \frac{\hbar^2}{8mE} \frac{\ell(\ell + 1)}{r^2} \right\} R = 0$$

$$\frac{-\hbar^2}{8mEr^2} \frac{d}{dr} \left(r^2 \frac{dR}{dr} \right) - \frac{kR}{4Er} + \frac{\hbar^2 \ell(\ell + 1)}{8mEr^2} R - \frac{R}{4} = 0 \quad (22)$$

نفرض ان

$$\alpha^2 = \frac{-8mE}{\hbar^2}$$

$$n = \frac{-\alpha k}{4E} \quad (23)$$

وبالتعويض بالمعادلة (22) ينتج

$$\frac{1}{\alpha^2 r^2} \frac{d}{dr} (r^2 \frac{dR}{dr}) - \frac{n}{\alpha} \frac{R}{r} + \frac{\ell(\ell+1)}{\alpha^2 r^2} R - \frac{R}{4} = 0$$

نبذل المتغير المستقل بـ ρ من خلال العلاقة

$$\rho = \alpha r$$

$$\therefore \frac{d}{dr} = \frac{d\rho}{dr} \cdot \frac{d}{d\rho}$$

$$\frac{d}{dr} = \alpha \frac{d}{d\rho}$$

$$\frac{1}{\rho^2} (2\rho \frac{dR}{d\rho} + \rho^2 \frac{d^2R}{d\rho^2}) + \left[\frac{n}{\rho} - \frac{\ell(\ell+1)}{\rho^2} - \frac{1}{4} \right] R = 0$$

$$\frac{d^2R}{d\rho^2} + \frac{2}{\rho} \frac{dR}{d\rho} + \left[\frac{n}{\rho} - \frac{\ell(\ell+1)}{\rho^2} - \frac{1}{4} \right] R = 0 \quad (24)$$

لقيم كبيرة لـ ρ المعادلة (24) تختصر الى

$$\frac{d^2R}{d\rho^2} - \frac{R}{4} = 0$$

حل المعادلة اعلاه نفرض الحل بالصيغة هو

$$R(\rho) = e^{c\rho}$$

لإيجاد قيمة الثابت c نعرض الحل في المعادلة وكما يلي:

$$c^2 e^{c\rho} - \frac{e^{c\rho}}{4} = 0 \quad \Rightarrow \quad (c^2 - \frac{1}{4}) e^{c\rho} = 0$$

$$e^{c\rho} \neq 0 \quad \Rightarrow \quad c^2 - \frac{1}{4} = 0$$

$$\therefore c = \pm \frac{1}{2}$$

الحل بصيغة الاس الموجب غير مقبول فيزيائيا وذلك لانه يقترب من المalanهاية عندما تقترب ρ من المalanهاية
ويأخذ الحل السالب لانه يحقق الشرط الحدودي.

$$\therefore R(\rho) = e^{-\rho/2} \quad (25)$$

للحصول على الحل المضبوط للمعادلة 24 فانتا نضرب المعادلة 25 بدالة الى ρ مثل $F(\rho)$ وكما يلي

$$R(\rho) = F(\rho) e^{-\rho/2} \quad (26)$$

ونفرض ان

$$F(\rho) = \rho^s L(\rho) \quad (27)$$

حيث ان s هو عدد موجب وان $L(\rho)$ هي متسلسة لانهائية بالصيغة

$$L(\rho) = a_{\circ} + a_1 \rho + a_2 \rho^2 + \dots = \sum_{v=0}^{\infty} \rho^v$$

وان $a_{\circ} \neq 0$

بتعويض المعادلة 25 في المعادلة 24 نحصل على

$$R'(\rho) = -\frac{1}{2} e^{-\rho/2} F(\rho) + e^{-\rho/2} F'(\rho)$$

$$R''(\rho) = \frac{1}{4} e^{-\rho/2} F(\rho) + \left(-\frac{1}{2} e^{-\rho/2} F'(\rho) \right) + \left\{ -\frac{1}{2} e^{-\rho/2} F'(\rho) + e^{-\rho/2} F''(\rho) \right\}$$

$$R''(\rho) = (F''(\rho) - F'(\rho) + \frac{1}{4} F(\rho)) e^{-\rho/2}$$

وبالتعويض عن $R''(\rho)$ ، $R'(\rho)$ ، $R(\rho)$

$$\{F''(\rho) - F'(\rho) + \frac{1}{4}F(\rho)\}e^{-\rho/2} + \frac{2}{\rho}\{F'(\rho) - \frac{1}{2}F(\rho)\}e^{-\rho/2}$$

$$+ \{\frac{n}{\rho} - \frac{\ell(\ell+1)}{\rho^2} - \frac{1}{4}\}F(\rho)e^{-\rho/2}$$

وبالقسمة على $e^{-\rho/2}$ والتبسيط نحصل

$$F''(\rho) + (\frac{2}{\rho} - 1)F'(\rho) + (\frac{n-1}{\rho} - \frac{\ell(\ell+1)}{\rho^2})F(\rho) = 0 \quad (28)$$

وبتعويض المعادلة 27 في المعادلة 28 نحصل على

$$F'(\rho) = s\rho^{s-1}L(\rho) + \rho^s L'(\rho)$$

$$F''(\rho) = s(s-1)\rho^{s-2} \cdot L(\rho) + s\rho^{s-1}L'(\rho) + s\rho^{s-1}L'(\rho) + \rho^s L''(\rho)$$

$$= \rho^s L''(\rho) + 2s\rho^{s-1}L'(\rho) + s(s-1)\rho^{s-2}L(\rho)$$

بتعويض $F''(\rho)$ ، $F'(\rho)$ ، $F(\rho)$ نحصل

$$= \rho^s L''(\rho) + 2s\rho^{s-1}L'(\rho) + s(s-1)\rho^{s-2}L(\rho)$$

$$+ (\frac{2}{\rho} - 1)[\rho^s L'(\rho) + s\rho^{s-1}L(\rho)] + (\frac{n-1}{\rho} - \frac{\ell(\ell-1)}{\rho^2})\rho^s L(\rho) = 0$$

وبضرب العلاقة الأخيرة بـ $\frac{\rho^2}{\rho^s}$

$$\rho^2 L''(\rho) + 2s\rho^s L'(\rho) + s(s-1)L(\rho) + (\frac{2}{\rho} - 1)[\rho^s L'(\rho) + s\rho^s L(\rho)]$$

$$+ (\frac{n-1}{\rho} - \frac{\ell(\ell-1)}{\rho^2})\rho^2 L(\rho) = 0$$

والعلاقة الأخيرة يمكن كتابتها بالشكل التالي

$$\rho^2 L''(\rho) + [2s\rho + (2\rho - \rho^2)]L'(\rho) + [s(s-1) + s(\frac{2}{\rho} - 1)\rho]L(\rho)$$

$$+ (\rho(n-1) - \ell(\ell-1))L(\rho) = 0$$

$$\therefore \rho^2 L''(\rho) + \rho [(2s+1) - \rho] L'(\rho) + [s(s-1) + \rho(n-s-1) - \ell(\ell-1)] L(\rho) = 0 \quad (29)$$

وبما ان $L(0) \neq 0$ والمعادلة 29 يجب ان تكون صحيحة لـكل قيمة ρ ، لذلك اقيمة $\rho = 0$ نحصل على

$$s(s-1) = \ell(\ell-1)$$

وبحل هذه المعادلة للمتغير s

$$s^2 + s - \ell(\ell+1) + s\ell - s\ell = 0$$

$$s^2 + s(\ell+1) - s\ell - \ell(\ell+1) = 0$$

$$s[s + (\ell+1)] - \ell[s + (\ell+1)]$$

$$[s + (\ell+1)](s - \ell) = 0$$

$$s = \ell \quad \text{or} \quad s = -(\ell+1)$$

وبما ان $0 \leq \ell$ فـان الحل $s = -(\ell+1)$ يجب ان يهـمل لـانه يجعل المعادلة $R(\rho)$ لـانهاية عند $\rho = 0$ لذلك فـان

المعادلة 29 تـصبح

$$\rho L''(\rho) + [(2\ell+1) - \rho] L'(\rho) + (n - \ell - 1) L(\rho) = 0 \quad (30)$$

وـاذا عـوضنا عن $L(\rho) = \sum_{v=0}^{\infty} a_v \rho^v$ في المعادلة 30 نـحصل :

$$L'(\rho) = \sum_{v=1}^{\infty} v a_v \rho^{v-1}$$

$$L''(\rho) = \sum_{v=2}^{\infty} v(v-1) a_v \rho^{v-2}$$

$$\therefore \sum_{v=2}^{\infty} v(v-1) a_v \rho^{v-1} - \sum_{v=1}^{\infty} v a_v \rho^v + 2(\ell+1) \sum_{v=1}^{\infty} v a_v \rho^{v-1} + (n - \ell - 1) \sum_{v=0}^{\infty} a_v \rho^v = 0$$

$$\begin{aligned} & \sum_{v=2}^{\infty} v(v-1) a_v \rho^{v-1} - \sum_{v=1}^{\infty} v a_v \rho^v + 2(\ell+1) \sum_{v=2}^{\infty} v a_v \rho^{v-1} \\ & + (n - \ell - 1) \sum_{v=1}^{\infty} a_v \rho^v + 2(\ell+1)a_1 + (n - \ell - 1)a_0 = 0 \end{aligned}$$

لـفرض ان $m+1 = v$ وـنـعـوض عن ذلك في الحـد الاول والـحد الثالث من العـلاقـة الاـخـيرـة فـنـحـصل عـلـى

$$\sum_{m=1}^{\infty} (m+1)m a_{m+1} \rho^m - \sum_{v=1}^{\infty} v a_v \rho^v + 2(\ell+1) \sum_{m=1}^{\infty} (m+1) a_{m+1} \rho^m$$

$$+ (n - \ell - 1) \sum_{v=1}^{\infty} a_v \rho^v + 2(\ell + 1)a_1 + (n - \ell - 1)a_0 = 0$$

بابدال الرمز m في الحد الاول والحد الثالث بالرمز v

$$\sum_{v=2}^{\infty} \{ v(v-1)a_{v+1} - va_v + 2(\ell + 1)(v+1)a_{v+1} + (n - \ell - 1)a_v \} \rho^v$$

$$+ 2(\ell + 1)a_1 + (n - \ell - 1)a_0 = 0$$

لاجل ان تتحقق هذه العلاقة يجب ان يكون

$$2(\ell + 1)a_1 + (n - \ell - 1)a_0 = 0$$

$$a_{v+1}(v+1)(v+2(\ell + 1)) - a_v(v-n+\ell + 1) = 0$$

ومن ذلك نحصل

$$a_1 = \frac{-(n - \ell - 1)}{2(\ell + 1)} a_0$$

$$\frac{a_{v+1}}{a_v} = \frac{v-n+\ell+1}{(v+1)(v+2\ell+2)}$$

ولقيم كبيرة لـ v نجد ان

$$\frac{a_{v+1}}{a_v} = \frac{1}{v}$$

لذلك فان

$$L(\rho) \approx e^\rho$$

وعليه فان الدالة القطرية

$$R(\rho) = e^\rho \cdot e^{-\frac{\rho}{2}}$$

$$\approx e^{\frac{\rho}{2}}$$

وهذا غير مسموح لأن $R(\rho)$ تزداد اسيا مع ρ وعندما $\rho \rightarrow \infty$ فانها تبتعد ولم تعد صالحة كحل ولتحقيق

المحدودية فان يجب ان تقطع اي بعبارة اخرى ان تكون الدالة $F(\rho)$ كثيرة حدود بدلا من متسلسلة لانهائية وذلك

يمكن عن طريق اختيار n عدد صحيح موجب بحيث ان

$$v = n - \ell - 1$$

او ان نقول

$$n = v + \ell + 1$$

و هذا الاجراء يجعل a_{v+1} (او $a_{n-\ell}$) وكل المعاملات اللاحقة صفر

بما ان اقل قيمة لـ ℓ هي الصفر فهذا يعني

$$n \geq \ell + 1$$

او ان

$$n > \ell$$

و من المعروف مسبقا ان $\ell = 0, 1, 2, 3, \dots \geq |m|$

$$n = 1, 2, 3, \dots > \ell$$

اذن الحالة $n > \ell$ فانه يوجد حل للدالة القطرية بالصيغة

$$R_{n\ell}(\rho) = \rho^\ell e^{-\frac{\rho}{2}} L_{n\ell} \quad (31)$$

الدالة $R_{n\ell}(\rho)$ هي كثيرة الحدود ذات الدرجة $(n - \ell - 1)$ لذا فان الدالة القطرية $L_{n\ell}(\rho)$ هي عبارة عن المقدار

$e^{-\frac{\rho}{2}}$ مضروبة في كثيرة حدود من الدرجة $(n - 1)$

في الرياضيات الدالة $L_q^p(\rho)$ التي تحقق المعادلة التالية

$$\rho \frac{d^2 L_q^p}{d\rho^2} + (p + 1 - \rho) \frac{dL_q^p}{d\rho} (q - p) L_q^p = 0 \quad (*)$$

تسمى بمسلسلة لاكور المترافق (Associated Laguerre Polynomials)

التي يعبر عنها رياضيا

$$L_p^q(\rho) = \frac{d^p}{d\rho^p} L_q(\rho)$$

حيث ان $L_q(\rho)$ تعرف بمسلسلة لاكور (Laguerre polynomials)

$$L_q(\rho) = e^\rho \frac{d^q}{d\rho^q} (e^{-\rho} \rho^q)$$

بمقارنة المعادلة 30 مع المعادلة التفاضلية (*) نجد ان

$$L_{n\ell}(\rho) = L_q^p(\rho) = L_{n+\ell}^{2\ell+1}(\rho) \quad q = n + \ell \quad , \quad p = 2\ell + 1 \quad \text{حيث}$$

اذن المعادلة القطبية بصيغتها النهائية هي :

$$R_{n\ell}(\rho) = N_{n\ell} \rho^\ell e^{-\frac{\rho}{2}} L_{n+\ell}^{2\ell+1} \quad (32)$$

حيث $N_{n\ell}$ هو ثابت المعايرة ويعطى بالعلاقة

$$\begin{aligned} N_{n\ell} &= -\left[\alpha^3 \frac{(n-\ell-1)!}{2n \cdot [(n+\ell)!]^3} \right]^{\frac{1}{2}} \\ N_{n\ell} &= -\left[\left(\frac{2z}{na_\circ} \right)^3 \cdot \frac{(n-\ell-1)!}{2n \cdot [(n+\ell)!]^3} \right]^{\frac{1}{2}} \end{aligned} \quad (33)$$

$$L_{n+\ell}^{2\ell+1}(\rho) = \frac{d^{2\ell+1}}{d\rho^{2\ell+1}} \cdot L_{n+\ell} \quad \text{Associated Laguerre Polynomials} \quad \text{متسلسلة لاكور المترافق}$$

$$L_{n+\ell} = e^\rho \cdot \frac{d^{n+\ell}}{d\rho^{n+\ell}} (e^{-\rho} \cdot \rho^{n+\ell}) \quad (\text{Laguerre polynomials}) \quad \text{متسلسلة لاكور}$$

$$\rho = \alpha r = \frac{2z}{na_\circ} r \quad , \quad \alpha = \frac{2z}{na_\circ} \quad \text{حيث ان} \quad a_\circ \quad \text{نصف قطر مدار بور الاول} \quad , \quad \alpha = \frac{2z}{na_\circ}$$

وندرج ادناه بعض الامثلة على الجزء القطري

$$R_{10}(\rho) = 2 \left(\frac{z}{a_\circ} \right)^{\frac{3}{2}} e^{-\frac{\rho}{2}}$$

$$R_{20}(\rho) = \frac{1}{2\sqrt{2}} \left(\frac{z}{a_\circ} \right)^{\frac{3}{2}} (2 - \rho) e^{-\frac{\rho}{2}}$$

$$R_{21}(\rho) = \frac{1}{2\sqrt{6}} \left(\frac{z}{a_\circ} \right)^{\frac{3}{2}} \rho e^{-\frac{\rho}{2}}$$

$$R_{30}(\rho) = \frac{1}{9\sqrt{3}} \left(\frac{z}{a_\circ} \right)^{\frac{3}{2}} (6 - 6\rho + \rho^2) e^{-\frac{\rho}{2}}$$

Example: Work out the radial wave function R_{10} , R_{20}

Solution:

او

$$R_{10} \Rightarrow n=1, \ell=0$$

$$R_{n\ell}(\rho) = N_{n\ell} \rho^\ell e^{-\frac{\rho}{2}} L_{n+\ell}^{2\ell+1}$$

$$N_{n\ell} = - \left[\left(\frac{2z}{na_\circ} \right)^3 \frac{(n-\ell-1)!}{2n[(n+\ell)!]^3} \right]^{\frac{1}{2}}$$

$$N_{10} = - \left[\left(\frac{2z}{1 \cdot a_\circ} \right)^3 \frac{(1-0-1)!}{2 \cdot 1 [(1+0)!]^3} \right]^{\frac{1}{2}}$$

$$= - \left[\left(\frac{2z}{a_\circ} \right)^3 \frac{1}{2} \right]^{\frac{1}{2}}$$

$$= -2 \left(\frac{z}{a_\circ} \right)^{\frac{3}{2}}$$

$$L_{n+\ell}^{2\ell+1}(\rho) = \frac{d^{2\ell+1}}{d\rho^{2\ell+1}} \cdot L_{n+\ell}$$

$$L_{n+\ell} = e^\rho \frac{d^{n+\ell}}{d\rho^{n+\ell}} (e^{-\rho} \rho^{n+\ell})$$

$$\therefore L_1 = e^\rho \frac{d}{d\rho} (e^{-\rho} \rho)$$

$$= e^\rho (e^{-\rho} - \rho e^{-\rho})$$

$$= 1 - \rho$$

$$L_1^1(\rho) = \frac{d}{d\rho} L_1 = \frac{d}{d\rho} (1 - \rho)$$

$$= -1$$

$$\therefore R_{10}(\rho) = -2 \cdot \left(\frac{z}{a_\circ} \right)^{\frac{3}{2}} e^{-\frac{\rho}{2}} \cdot (-1)$$

$$= 2 \left(\frac{z}{a_\circ} \right)^{\frac{3}{2}} e^{-\frac{\rho}{2}}$$

$$\underline{\text{ثانية}} \quad R_{20}$$

$$\Rightarrow n=2 \quad , \quad \ell=0$$

$$R_{n\ell}(\rho) = N_{n\ell} \rho^\ell e^{-\frac{\rho}{2}} L_{n+\ell}^{2\ell+1}(\rho)$$

$$N_{n\ell} = - \left[\left(\frac{2z}{na_\circ} \right)^3 \frac{(n-\ell-1)!}{2n [(n+\ell)!]^3} \right]^{\frac{1}{2}}$$

$$N_{20} = - \left[\left(\frac{2z}{2 \cdot a_\circ} \right)^3 \frac{(2-0-1)!}{2 \cdot 2 [(2+0)!]^3} \right]^{\frac{1}{2}}$$

$$= - \left[\left(\frac{z}{a_\circ} \right)^3 \frac{1}{4 \cdot 8} \right]^{\frac{1}{2}}$$

$$= - \frac{1}{4\sqrt{2}} \left(\frac{z}{a_\circ} \right)^{\frac{3}{2}}$$

$$L_{n+\ell}^{2\ell+1}(\rho) = \frac{d^{2\ell+1}}{d\rho^{2\ell+1}} L_{n+\ell}(\rho)$$

$$L_{n+\ell}(\rho) = e^\rho \frac{d^{n+\ell}}{d\rho^{n+\ell}} (e^{-\rho} \rho^{n+\ell})$$

$$\therefore L_2(\rho) = e^\rho \frac{d^2}{d\rho^2} (e^{-\rho} \rho^2)$$

$$= e^\rho \frac{d}{d\rho} \frac{d}{d\rho} (e^{-\rho} \rho^2)$$

$$= e^\rho \frac{d}{d\rho} (2\rho e^{-\rho} - \rho^2 e^{-\rho})$$

$$= e^\rho (-2\rho e^{-\rho} + 2e^{-\rho} + \rho^2 e^{-\rho} - 2\rho e^{-\rho})$$

$$\therefore L_2 = \rho^2 - 4\rho + 2$$

$$L_{n+\ell}^{2\ell+1}(\rho) = \frac{d^{2\ell+1}}{d\rho^{2\ell+1}} L_{n+\ell}$$

$$\therefore L_2^1(\rho) = \frac{d}{d\rho} L_2$$

$$L_2^1(\rho) = \frac{d}{d\rho} (\rho^2 - 4\rho + 2)$$

$$= 2\rho - 4$$

$$L_2^1(\rho) = -2(2 - \rho)$$

$$\therefore R_{20}(\rho) = -\frac{1}{4\sqrt{2}} \left(\frac{z}{a_\circ} \right)^{\frac{3}{2}} e^{-\frac{\rho}{2}} [-2(2 - \rho)]$$

$$= -\frac{1}{2\sqrt{2}} \left(\frac{z}{a_\circ} \right)^{\frac{3}{2}} (2 - \rho) e^{-\frac{\rho}{2}} \quad \text{وهو المطلوب}$$

واللحصول على الدالات الموجية للذرات الاحادية الالكترون او الذرات الشبيهة بذرة الهيدروجين نمزج حلول

من المعادلة (32) وحلول (20) في المعادلة 3 نجد ان $R_{n\ell}(r)$

$$\psi_{n\ell m}(r, \theta, \phi) = R_{n\ell} Y_\ell^m(\theta, \phi)$$

$$= - \left[\left(\frac{2z}{na_\circ} \right)^3 \frac{(n-\ell-1)!}{2n[(n+\ell)!]^3} \right]^{\frac{1}{2}} \rho^\ell e^{-\frac{\rho}{2}} L_{n+\ell}^{2\ell+1} Y_\ell^m(\theta, \phi)$$

او

$$\psi_{n\ell m}(r, \theta, \phi) = - \left[\left(\frac{2z}{na_\circ} \right)^3 \frac{(n-\ell-1)!}{2n[(n+\ell)!]^3} \right]^{\frac{1}{2}} \left(\frac{2z}{na_\circ} r \right)^\ell e^{-\frac{zr}{na_\circ}} L_{n+\ell}^{2\ell+1} Y_\ell^m(\theta, \phi)$$

$$Y_\ell^m(\theta, \phi) = (-1)^{\frac{1}{2}(m+|m|)} \left[\frac{2\ell+1}{4\pi} \frac{(\ell-|m|)!}{(\ell+|m|)!} \right]^{\frac{1}{2}} P_\ell^m(\cos\theta) e^{im\phi}$$

$$p_\ell^m(\cos\theta) = (1 - \omega^2)^{\frac{|m|}{2}} \frac{d^{|m|}}{d\omega^{|m|}} p_\ell(\omega)$$

$$p_\ell(\omega) = \frac{1}{2^\ell \ell!} \frac{d^\ell}{d\omega^\ell} \left[(\omega^2 - 1)^\ell \right]$$

$$L_{n+\ell}^{2\ell+1}(\rho) = \frac{d^{2\ell+1}}{d\rho^{2\ell+1}} L_{n+\ell}(\rho)$$

$$L_{n+\ell} = e^\rho \frac{d^{n+\ell}}{d\rho^{n+\ell}} (e^{-\rho} \rho^{n+\ell})$$

وندرج أدناه بعض الأمثلة على الذرات الشبيهة لذرة الهيدروجين لبعض قيم ℓ

$$\psi_{100} = \frac{1}{\sqrt{\pi}} \left(\frac{z}{a_\circ} \right)^{\frac{3}{2}} e^{-\frac{zr}{a_\circ}}$$

$$\psi_{200} = \frac{1}{4\sqrt{2\pi}} \left(\frac{z}{a_\circ} \right)^{\frac{3}{2}} \left(2 - \frac{zr}{a_\circ} \right) e^{-\frac{zr}{a_\circ}}$$

$$\psi_{210} = \frac{1}{4\sqrt{2\pi}} \left(\frac{z}{a_\circ} \right)^{\frac{3}{2}} \left(\frac{zr}{a_\circ} \right) e^{-\frac{zr}{2a_\circ}} \cos\theta$$

مثال: اوجد دالة الموجة للحالة الأرضية لذرة الهيدروجين

$$m=0 \quad , \quad \ell=0 \quad , \quad n=1 \quad \text{اي ان} \quad \psi_{100} \quad \text{ايجاد} \quad \underline{\text{الحل}}$$

$$\psi_{n\ell m}(r, \theta, \phi) = R_{n\ell} Y_\ell^m(\theta, \phi)$$

$$R_{n\ell} = - \left[\left(\frac{2z}{na_\circ} \right)^3 \frac{(n-\ell-1)!}{2n[(n+\ell)!]^3} \right]^{\frac{1}{2}} \rho^\ell e^{-\frac{\rho}{2}} L_{n+\ell}^{2\ell+1}$$

$$= - \left[\left(\frac{2z}{1 \cdot a_\circ} \right)^3 \frac{(1-0-1)!}{2 \cdot 1 [(1+0)!]^3} \right]^{\frac{1}{2}} \rho^0 e^{-\frac{\rho}{2}} L_{1+0}^{2 \cdot 0 + 1}$$

$$L_{n+\ell}^{2\ell+1}(\rho) = \frac{d^{2\ell+1}}{d\rho^{2\ell+1}} L_{n+\ell}$$

$$L_{n+\ell} = e^\rho \frac{d^{n+\ell}}{d\rho^{n+\ell}} (e^{-\rho} \rho^{n+\ell}) \quad n=1, \quad \ell=0$$

$$L_1 = e^\rho \frac{d}{d\rho} (e^{-\rho} \rho) = e^\rho (e^{-\rho} - \rho e^{-\rho})$$

$$= 1 - \rho$$

$$L_1^1(\rho) = \frac{d}{d\rho} L_1$$

$$= \frac{d}{d\rho} (1 - \rho) = -1$$

$$R_{10}(\rho) = -2 \left(\frac{z}{a_\circ} \right)^{\frac{3}{2}} e^{-\frac{\rho}{2}} (-1)$$

$$= 2 \left(\frac{z}{a_\circ} \right)^{\frac{3}{2}} e^{-\frac{\rho}{2}}$$

$$= 2 \left(\frac{z}{a_\circ} \right)^{\frac{3}{2}} e^{-\frac{zr}{a_\circ}}$$

$$Y_\ell^m(\theta, \phi) = (-1)^{\frac{1}{2}(m+|m|)} \left[\frac{2\ell+1}{4\pi} \frac{(\ell-|m|)!}{(\ell+|m|)!} \right]^{\frac{1}{2}} P_\ell^m(\cos\theta) e^{im\phi}$$

$$p_\ell^m(\cos\theta) = (1-\omega^2)^{\frac{|m|}{2}} \frac{d^{|m|}}{d\omega^{|m|}} p_\ell(\omega)$$

$$p_\ell(\omega) = \frac{1}{2^\ell \ell!} \frac{d^\ell}{d\omega^\ell} [(\omega^2 - 1)^\ell]$$

$$\therefore p_0(\omega) = \frac{1}{2^0 0!} \frac{d^0}{d\omega^0} [(\omega^2 - 1)^0]$$

$$= 1$$

$$\because p_\ell^0 = p_\ell = 1$$

لاحظ معادلة رقم 18

$$\therefore Y_0^0 = (-1)^{\frac{0}{2}} \left[\frac{2 \cdot 0 + 1}{4\pi} \cdot \frac{0!}{0!} \right]^{\frac{1}{2}} \cdot 1 \cdot 1$$

$$= \left[\frac{1}{4\pi} \right]^{\frac{1}{2}}$$

$$\therefore \psi_{100} = 2 \left(\frac{z}{a_0} \right)^{\frac{3}{2}} e^{-\frac{zr}{a_0}} \left(\frac{1}{4\pi} \right)^{\frac{1}{2}}$$

$$= \frac{1}{\sqrt{\pi}} \left(\frac{z}{a_0} \right)^{\frac{3}{2}} e^{-\frac{zr}{a_0}}$$

وبما ان $z = 1$ لذرة الهيدروجين

$$= \frac{a^{\frac{-3}{2}}}{\sqrt{\pi}} e^{-\frac{r}{a_0}} \quad \text{وهو المطلوب}$$

Energy eigen value

من المعادلة 23 نجد ان

$$\begin{aligned} \alpha^2 &= \frac{-8mE}{\hbar^2} \quad , \quad n = \frac{-\alpha k}{4E} \\ \therefore \alpha &= \frac{-4En}{k} \quad \Rightarrow \quad \alpha^2 = \frac{16E^2 n^2}{k^2} \\ \therefore \frac{16E^2 n^2}{k^2} &= \frac{-8mE}{\hbar^2} \\ \therefore E &= \frac{-m k^2}{2 \cdot \hbar^2 n^2} \end{aligned}$$

$$k^2 = \frac{z^2 e^4}{16 \cdot \pi^2 \varepsilon_0^2}, \quad k = \frac{ze^2}{4\pi\varepsilon_0} \quad \text{وبالتعويض عن قيمة}$$

$$\therefore E_n = -\frac{m e^4 z^2}{32\pi^2 \varepsilon_0^2 \hbar^2} \frac{1}{n^2} \quad (34)$$

المعادلة (34) هي نفس المعادلة التي سبق ان حصل عليها بور عندما افترض ان الزخم الزاوي للإلكترون في مداره حول النواة هو عبارة عن عدد صحيح مضروب في \hbar . والمعادلة (34) تبين ان الطاقة E تعتمد على العدد الكمي الاساسي n ولا تعتمد على العدد الكمي ℓ ، m لذلك تكتب E عادة بالشكل E_n بدلاً من n فقط. واوطا طاقة تقابل الحالة ($n=1$) أي أن

$$E_1 = -\frac{m e^4 z^2}{32\pi^2 \varepsilon_0^2 \hbar^2}$$

وهو طاقة المستوى الأرضي.

تعلمنا ان لكل قيمة لـ n هنالك n من القيم الممكنة لـ ℓ فمثلا عندما تكون $n=3$ فان $\ell=0,1,2$ كذلك فان لكل قيمة لـ ℓ هنالك $(2\ell+1)$ من القيم لـ $m=-1,0,+1$ فمثلا عندما تكون $\ell=1$ لذا يكون مستوى الطاقة لذرة

$$g(n) = \sum_{\ell=0}^{\ell=n-1} (2\ell+1)$$

المهيروجين من حل بدرجة انحل تساوي والتي تساوي n^2

Prove that $\sum_{\ell=0}^{\ell=n-1} (2\ell+1) = n^2$ واجب بيتي

Angular momentum

الزخم الزاوي

وفقا للميكانيك الكلاسيكي فان الزخم الزاوي لجسم حول نقطة الاصل يعطى بالعلاقة التالية

$$\vec{L} = \vec{r} \times \vec{p}$$

حيث \vec{r} هو متجه الموضع ، \vec{p} الزخم الخطى للجسم. واذا كان الجسم تحت تاثير طاقة كامنة متناظرة كرويا

$V(r)$ فان الزخم الزاوي ثابت اي ان $\frac{d\vec{L}}{dt} = 0$ والآن ما هي صفات الزخم الزاوي لهذا الجسم في الميكانيك الكمي ؟

الصفة الكمية لمؤثر الزخم الخطى هي

$$p = -i\hbar\nabla$$

$$\therefore \hat{L} = \hat{r} \times (-i\hbar)\nabla$$

$$\hat{L} = -i\hbar \begin{vmatrix} i & j & k \\ x & y & z \\ \frac{\partial}{\partial x} & \frac{\partial}{\partial y} & \frac{\partial}{\partial z} \end{vmatrix}$$

وعليه فان

وهذا يعني ان مركبات مؤثر الزخم الزاوي تأخذ الصيغ الآتية

$$\hat{L}_x = -i\hbar \left(y \frac{\partial}{\partial z} - z \frac{\partial}{\partial y} \right)$$

$$\hat{L}_y = -i\hbar \left(z \frac{\partial}{\partial x} - x \frac{\partial}{\partial z} \right)$$

$$\hat{L}_z = -i\hbar \left(x \frac{\partial}{\partial y} - y \frac{\partial}{\partial x} \right)$$

ان انسب نوع من الاحاديث لدراسة الزخم الزاوي بشكل خاص والحركة تحت تأثير القوة المركزية بشكل عام هي
الاحاديث القطبية الكروية.

باستخدام معادلات التحويل من الاحاديث الكارتيزية الى الاحاديث الكروية.

$$\left. \begin{array}{l} x = r \sin \theta \cos \phi \\ y = r \sin \theta \sin \phi \\ z = r \cos \theta \end{array} \right\}$$

$$\frac{\partial}{\partial x} = \frac{\partial r}{\partial x} \frac{\partial}{\partial r} + \frac{\partial \theta}{\partial x} \frac{\partial}{\partial \theta} + \frac{\partial \phi}{\partial x} \frac{\partial}{\partial \phi}$$

$$\frac{\partial}{\partial x} = \sin \theta \cos \phi \frac{\partial}{\partial r} + \frac{1}{r} \cos \theta \cos \phi \frac{\partial}{\partial \theta} + \left(-\frac{1}{r \sin \theta} \frac{\sin \phi}{\partial \phi} \right)$$

$$\frac{\partial}{\partial y} = \frac{\partial r}{\partial y} \frac{\partial}{\partial r} + \frac{\partial \theta}{\partial y} \frac{\partial}{\partial \theta} + \frac{\partial \phi}{\partial y} \frac{\partial}{\partial \phi}$$

$$\frac{\partial}{\partial y} = \sin \theta \sin \phi \frac{\partial}{\partial r} + \frac{1}{r} \cos \theta \sin \phi \frac{\partial}{\partial \theta} + \frac{1}{r} \frac{\cos \phi}{\sin \theta} \frac{\partial}{\partial \phi}$$

$$\frac{\partial}{\partial z} = \frac{\partial r}{\partial z} \frac{\partial}{\partial r} + \frac{\partial \theta}{\partial z} \frac{\partial}{\partial \theta} + \frac{\partial \phi}{\partial z} \frac{\partial}{\partial \phi}$$

$$\frac{\partial}{\partial z} = \cos \theta \frac{\partial}{\partial r} + \left(-\frac{1}{r} \right) \sin \theta \frac{\partial}{\partial \theta}$$

ويمكن ايجاد مركبات الزخم الزاوي بالاحاديث الكروية اذا نأخذ كل مركبة بصيغتها في الاحاديث الكارتيزية ثم
نجري التعويضات الازمة كما يلي

او لا \hat{L}_x

$$\begin{aligned} \hat{L}_x &= -i\hbar \left(y \frac{\partial}{\partial z} - z \frac{\partial}{\partial y} \right) \\ &= -i\hbar \left[\left\{ r \sin \theta \sin \phi \left(\cos \theta \frac{\partial}{\partial r} - \frac{1}{r} \sin \theta \frac{\partial}{\partial \theta} \right) \right\} - \right. \end{aligned}$$

$$\{r \cos\theta (\sin\theta \sin\phi \frac{\partial}{\partial r} + \frac{1}{r} \cos\theta \sin\phi \frac{\partial}{\partial \theta} + \frac{1}{r} \frac{\cos\phi}{\sin\theta} \frac{\partial}{\partial \phi})\}]$$

$$\begin{aligned}\hat{L}_x = & -i\hbar[r \sin\theta \sin\phi \cos\theta \frac{\partial}{\partial r} - \sin\phi \sin^2\theta \frac{\partial}{\partial \theta} \\ & - r \cos\theta \sin\theta \sin\phi \frac{\partial}{\partial r} - \cos^2\theta \sin\phi \frac{\partial}{\partial \theta} - \cot\theta \cos\phi \frac{\partial}{\partial \phi}]\end{aligned}$$

$$\hat{L}_x = -i\hbar(\sin\phi \frac{\partial}{\partial \theta} + \cot\theta \cos\phi \frac{\partial}{\partial \phi})$$

L_y ثابت

$$\begin{aligned}\hat{L}_y = & -i\hbar(z \frac{\partial}{\partial x} - x \frac{\partial}{\partial z}) \\ = & -i\hbar[\{r \cos\theta (\sin\theta \cos\phi \frac{\partial}{\partial r} + \frac{1}{r} \cos\theta \cos\phi \frac{\partial}{\partial \theta} - \frac{\sin\phi}{r \sin\theta})\} \\ & - \{r \sin\theta \cos\phi (\cos\theta \frac{\partial}{\partial r} - \frac{\sin\theta}{r} \frac{\partial}{\partial \theta})\}] \\ = & -i\hbar[r \cos\theta \sin\theta \cos\phi \frac{\partial}{\partial r} + \cos^2\theta \cos\phi \frac{\partial}{\partial \theta} - \cot\theta \sin\phi \frac{\partial}{\partial \phi} \\ & - r \sin\theta \cos\phi \cos\theta \frac{\partial}{\partial r} + \sin^2\theta \cos\phi \frac{\partial}{\partial \theta}] \\ \therefore \hat{L}_y = & i\hbar(\cot\theta \sin\phi \frac{\partial}{\partial \phi} - \cos\phi \frac{\partial}{\partial \theta})\end{aligned}$$

L_z ثابت

$$\begin{aligned}\hat{L}_z = & -i\hbar(x \frac{\partial}{\partial y} - y \frac{\partial}{\partial x}) \\ = & -i\hbar[\{r \sin\theta \cos\phi (\sin\theta \sin\phi \frac{\partial}{\partial r} + \frac{1}{r} \cos\theta \sin\phi \frac{\partial}{\partial \theta} \\ & + \frac{1}{r} \frac{\cos\phi}{\sin\theta} \frac{\partial}{\partial \phi}) - \{r \sin\theta \sin\phi (\sin\theta \cos\phi \frac{\partial}{\partial r} \\ & + \frac{1}{r} \cos\theta \cos\phi \frac{\partial}{\partial \theta} - \frac{\sin\phi}{r \sin\theta} \frac{\partial}{\partial \phi})\}]\end{aligned}$$

$$= -i\hbar [\{r \sin^2 \theta \cos \phi \sin \phi \frac{\partial}{\partial r} + \sin \theta \cos \phi \cos \theta \sin \phi \frac{\partial}{\partial \theta} + \cos^2 \phi \frac{\partial}{\partial \phi}\} \\ - r \sin^2 \theta \sin \phi \cos \phi \frac{\partial}{\partial r} - \cos \theta \cos \phi \sin \theta \sin \phi \frac{\partial}{\partial \theta} + \sin^2 \phi \frac{\partial}{\partial \phi}]$$

$$\therefore \hat{L}_z = -i\hbar \frac{\partial}{\partial \phi}$$

∴

$$\begin{aligned} \hat{L}_x &= -i\hbar (\sin \phi \frac{\partial}{\partial \theta} + \cot \theta \cos \phi \frac{\partial}{\partial \phi}) \\ \hat{L}_y &= i\hbar (\cot \theta \sin \phi \frac{\partial}{\partial \phi} - \cos \phi \frac{\partial}{\partial \theta}) \\ \hat{L}_z &= -i\hbar \frac{\partial}{\partial \phi} \end{aligned} \quad (35)$$

ننتقل الان الى ايجاد \hat{L}^2 مربع الزخم الزاوي الكلي

$$\hat{L}^2 = \hat{L}_x^2 + \hat{L}_y^2 + \hat{L}_z^2 \quad (36)$$

وبالتعويض عن قيم \hat{L}_x ، \hat{L}_y ، \hat{L}_z من المعادلة 35 في المعادلة 36 ينتج

$$\begin{aligned} \hat{L}^2 &= -\hbar^2 [(\sin \phi \frac{\partial}{\partial \theta} + \cot \theta \cos \phi \frac{\partial}{\partial \phi})(\sin \phi \frac{\partial}{\partial \theta} + \cot \theta \cos \phi \frac{\partial}{\partial \phi}) \\ &+ (\cot \theta \sin \phi \frac{\partial}{\partial \phi} - \cos \phi \frac{\partial}{\partial \theta})(\cot \theta \sin \phi \frac{\partial}{\partial \phi} - \cos \phi \frac{\partial}{\partial \theta}) + \frac{\partial^2}{\partial \phi^2}] \\ \therefore \hat{L}^2 &= -\hbar^2 [\frac{1}{\sin \theta} \frac{\partial}{\partial \theta} (\sin \theta \frac{\partial}{\partial \theta}) + \frac{1}{\sin^2 \theta} \frac{\partial^2}{\partial \phi^2}] \end{aligned} \quad (37)$$

لنعود الان الى دالة الموجة $\psi(r, \theta, \phi)$ التي تم ايجادها وهي

$$\psi_{n\ell m}(r, \theta, \phi) = R_{n\ell} Y_\ell^m(\theta, \phi)$$

$$= R_{n\ell} N_\ell^m p_\ell^m(\cos \theta) e^{im\phi}$$

ولنؤثر عليها بالمؤثر $L_z = -i\hbar \frac{\partial}{\partial \phi}$

$$\begin{aligned}
\hat{L}_z \psi &= -i\hbar \frac{\partial \psi}{\partial \phi} \\
\hat{L}_z &= -i\hbar \frac{\partial}{\partial \phi} [R_{n\ell} N_\ell^m p_\ell^m(\cos\theta) e^{im\phi}] \\
&= -i\hbar R_{n\ell} N_\ell^m p_\ell^m(\cos\theta) \frac{d}{d\phi} e^{im\phi} \\
(-i\hbar)(im)[R_{n\ell} N_\ell^m p_\ell^m(\cos\theta) e^{im\phi}] \\
\hat{L}_z \psi &= m\hbar \psi
\end{aligned} \tag{38}$$

اي ان الدالة ψ هي قيمة ذاتية للمؤثر \hat{L}_z وبقيمة ذاتية تساوي $m\hbar$. وبعبارة اخرى ان مركبة الزخم الزاوي في اتجاه z لجهد مركزي هي ثابت الحركة بقيمة تساوي $m\hbar$ ولنؤثر الان بـ \hat{L}^2 (مربع الزخم الزاوي) على دالة الموجة

$$\begin{aligned}
\psi_{n\ell m}(r, \theta, \phi) &= R_{n\ell} Y_\ell^m(\theta, \phi) \\
\hat{L}^2 \psi_{n\ell m} &= -\hbar^2 \left[\frac{1}{\sin\theta} \frac{\partial}{\partial\theta} (\sin\theta \frac{\partial}{\partial\theta}) + \frac{1}{\sin^2\theta} \frac{\partial^2}{\partial\phi^2} \right] \psi_{n\ell m} \\
&= -\hbar^2 \left[\frac{1}{\sin\theta} \frac{\partial}{\partial\theta} (\sin\theta \frac{\partial}{\partial\theta}) + \frac{1}{\sin^2\theta} \frac{\partial^2}{\partial\phi^2} \right] R_{n\ell} Y_\ell^m \\
&= -\hbar^2 R_{n\ell} \left[\frac{1}{\sin\theta} \frac{\partial}{\partial\theta} (\sin\theta \frac{\partial Y}{\partial\theta}) + \frac{1}{\sin^2\theta} \frac{\partial^2 Y}{\partial\phi^2} \right] \\
&\text{وتبعد المعادلة 8 فان الكمية داخل القوسين الكبيرين في هذه النتيجة تساوي } \lambda Y - \text{اذن} \\
\hat{L}^2 &= -\hbar^2 R_{n\ell} (-\lambda Y) \\
&= \lambda \hbar^2 R_{n\ell} Y \\
&= \lambda \hbar^2 \psi
\end{aligned}$$

وبالتعويض عن λ باكمية $\ell(\ell+1)$ يكون

$$\hat{L}^2 \psi_{n\ell m}(r, \theta, \phi) = \ell(\ell+1)\hbar^2 \psi_{n\ell m}(r, \theta, \phi) \quad (39)$$

من المعادلة 39 ان الدالة $\psi_{n\ell m}$ هي دالة ذاتية للمؤثر \hat{L}^2 وبقيمة ذاتية تساوي $\ell(\ell+1)\hbar^2$ لذا فان الزخم الزاوي لجسيم في جهد مركزي هو ثابت قيمة $\ell(\ell+1)\hbar^2$ او ان الزخم الزاوي للجسيم له قيمة مضبوطة تساوي $m\hbar \sqrt{\ell(\ell+1)}$

Comparison with classical theory

مقارنة مع النظرية الكلاسيكية

حركة جسيم مركزي الجهد في النظرية الكلاسيكية تبين ثبوت مربع الزخم الزاوي وكذلك مركباته في الاتجاهات الثلاثة اما في النظرية الكمية وجدنا \hat{L}^2 ، \hat{L}_z ثابتان بينما لم يكن \hat{L}_x ، \hat{L}_y قيمتين معرفتين او ثابتتن لان الدالة ψ ليس بدالة ذاتية لاي من مؤثريها. اضافة الى ذلك فان اهم اسس النظرية الكمية هو مبدأ اللادقة هذا المبدأ اذا

طبق على مركبات الزخم الزاوي سيكون بالشكل

$$\Delta \hat{L}_x \cdot \Delta \hat{L}_y \approx m\hbar$$

على فرض ان \hat{L}_z ثابت اي ان \hat{L}_x ، \hat{L}_y في هذه الحالة لايمكن ان يثبتا انيا لان ذلك سيعني ان $\Delta \hat{L}_x = \Delta \hat{L}_y = 0$. اما النظرية الكلاسيكية فانها تتعارض عن الكمية $m\hbar$ الضئيلة المقدار جدا وعندما يصبح بالفعل $\Delta \hat{L}_x$ ، $\Delta \hat{L}_y$ مساويا الى الصفر وهو مايقابل ثبوت كل منهما.

س 1) اذا علمت ان الدالة الموجية لذرة الهيدروجين هي

$$\psi = \frac{a^{\frac{-3}{2}}}{\sqrt{\pi}} \cdot e^{-\frac{r}{a_0}}$$

أ- اوجد $\langle \frac{1}{r} \rangle$

ب- $\langle r^2 \rangle$ واجب بيئي

الجواب

$$\langle \frac{1}{r} \rangle = \int \psi^* \frac{1}{r} \psi d\tau$$

حيث ان $d\tau = r^2 \sin \theta dr d\theta d\phi$

وبعد التعويض عن دالة الموجة ψ وترتيب الحدود نحصل

$$\begin{aligned} \langle \frac{1}{r} \rangle &= \int_0^\infty \int_0^\pi \int_0^{2\pi} \frac{a_0^{-\frac{3}{2}}}{\sqrt{\pi}} e^{\frac{-r}{a_0}} \frac{1}{r} \frac{a_0^{-\frac{3}{2}}}{\sqrt{\pi}} e^{\frac{-r}{a_0}} r^2 \sin \theta dr d\theta d\phi \\ &= \frac{a_0^{-3}}{\pi} \int_0^\infty e^{\frac{-2r}{a_0}} r dr \int_0^\pi \sin \theta d\theta \int_0^{2\pi} d\phi \\ &= \frac{a_0^{-3}}{\pi} 4\pi \int_0^\infty e^{\frac{-2r}{a_0}} r dr \end{aligned}$$

وباستخدام التكامل

$$\int_0^\infty x^n e^{-ax} dx = \frac{n!}{a^{n+1}}$$

$$\frac{a_0^{-3}}{\pi} 4\pi \frac{1}{(\frac{2}{a_0})^2} = \frac{1}{a_0}$$

س 2) اذا كانت دالة الموجة لاحد المستويات لذرة الهيدروجين هي

$$\psi(r, \theta, \phi) = A e^{-\frac{r}{3a_0}} r^2 \sin \theta \cos \theta e^{i\phi}$$

1. استخدم \hat{L}^2 (مربع الزخم الزاوي) ، \hat{L}_z (مركبة الزخم الزاوي في اتجاه z) اوجد قيم ℓ ، m ؟

2. باستخدام معادلة شروبنكر اوجد الطاقة E ؟

الجواب

$$\hat{L}^2 = -\hbar^2 \left[\frac{1}{\sin \theta} \frac{\partial}{\partial \theta} (\sin \theta \frac{\partial}{\partial \theta}) + \frac{1}{\sin^2 \theta} \frac{\partial^2}{\partial \phi^2} \right]$$

وبما ان مربع الزخم الزاوي هو دالة لـ θ ، ϕ لذا فان المتغير r يعتبر ثابت لذا نفرض ان

$$\psi(r, \theta, \phi) = C \sin \theta \cos \theta e^{i\phi}$$

$$C = A e^{-\frac{r}{3a_0}} r^2$$

نؤثر المؤثر \hat{L}^2 على دالة الموجة ψ

$$\hat{L}^2 \psi = -\hbar^2 \left[\frac{1}{\sin \theta} \frac{\partial}{\partial \theta} (\sin \theta \frac{\partial}{\partial \theta}) + \frac{1}{\sin^2 \theta} \frac{\partial^2}{\partial \phi^2} \right] \psi$$

$$= -\hbar^2 C \left[\frac{1}{\sin \theta} \frac{\partial}{\partial \theta} (\sin \theta \frac{\partial}{\partial \theta} (\sin \theta \cos \theta e^{i\phi})) + \frac{1}{\sin^2 \theta} \frac{\partial^2}{\partial \phi^2} \sin \theta \cos \theta e^{i\phi} \right]$$

$$= -\hbar^2 C \left[\frac{1}{\sin \theta} \frac{\partial}{\partial \theta} (\sin \theta (\cos^2 \theta e^{i\phi} - \sin^2 \theta e^{i\phi})) + \frac{\sin \theta \cos \theta}{\sin^2 \theta} \frac{\partial^2}{\partial \phi^2} e^{i\phi} \right]$$

$$\frac{\partial^2}{\partial \phi^2} e^{i\phi} = -e^{i\phi}$$

$$= -\hbar^2 C \left[\frac{1}{\sin \theta} \frac{\partial}{\partial \theta} (\sin \theta \frac{\partial}{\partial \theta} (1 - \sin^2 \theta) e^{i\phi}) - \sin^2 \theta e^{i\phi} - \frac{\cos \theta}{\sin \theta} e^{i\phi} \right]$$

$$\cos^2 \theta = 1 - \sin^2 \theta$$

$$\begin{aligned}
&= -\hbar^2 C \left[\frac{1}{\sin \theta} \frac{\partial}{\partial \theta} (\sin \theta e^{i\phi} - 2 \sin^3 \theta) e^{i\phi} \right] - \frac{\cos \theta}{\sin \theta} e^{i\phi} \\
&= -\hbar^2 C \left[\frac{1}{\sin \theta} (\cos \theta e^{i\phi} - 6 \sin^2 \theta \cos \theta e^{i\phi}) - \frac{\cos \theta}{\sin \theta} e^{i\phi} \right] \\
&= -\hbar^2 C \left[\frac{\cos \theta}{\sin \theta} e^{i\phi} - 6 \sin \theta \cos \theta e^{i\phi} - \frac{\cos \theta}{\sin \theta} e^{i\phi} \right] \\
&= -\hbar^2 C [-6 \sin \theta \cos \theta e^{i\phi}] \\
&= 6 \hbar^2 C \sin \theta \cos \theta e^{i\phi} \\
&= 6 \hbar^2 \psi
\end{aligned}$$

وبما ان

$$\hat{L}^2 \psi = \hbar^2 \ell(\ell+1) \psi$$

$$6 \hbar^2 \psi = \hbar^2 \ell(\ell+1) \psi$$

$$6 = \ell(\ell+1) \Rightarrow \ell = 2$$

وبتأثير المؤثر \hat{L}_z على دالة الموجة ψ

$$\begin{aligned}
\hat{L}_z \psi &= -i\hbar \frac{\partial \psi}{\partial \phi} \\
&= -i\hbar \frac{\partial}{\partial \phi} A r^2 e^{-\frac{r}{3a_0}} \sin \theta \cos \theta e^{i\phi} \\
&= -i\hbar A r^2 e^{-\frac{r}{3a_0}} \sin \theta \cos \theta \frac{\partial}{\partial \phi} e^{i\phi} \\
&= -i\hbar A r^2 e^{-\frac{r}{3a_0}} \sin \theta \cos \theta e^{i\phi} (i) \\
&= \hbar \psi
\end{aligned}$$

$$\hat{L}_z \psi = m\hbar\psi$$

$$\therefore \hbar\psi = m\hbar\psi \Rightarrow m = 1$$

ب. بما ان الطاقة تظهر فقط بمعادلة شروdonker القطرية اذن نستخدم

$$\frac{1}{r^2} \frac{d}{dr} (r^2 \frac{dR}{dr}) + \left\{ \frac{2m}{\hbar^2} \left(E + \frac{k}{r} \right) - \frac{\ell(\ell+1)}{r^2} \right\} R = 0$$

$$\beta' = \sin\theta \cos\theta e^{i\phi} \quad \text{حيث ان} \quad \psi = R = \beta' r^2 e^{-\frac{r}{3a_0}} \quad \text{نفرض ان}$$

$$\frac{dR}{dr} = 2r\beta' e^{-\frac{r}{3a_0}} - \frac{\beta' r^2}{3a_0} e^{-\frac{r}{3a_0}}$$

$$r^2 \frac{dR}{dr} = 2r^3 \beta' e^{-\frac{r}{3a_0}} - \frac{\beta' r^4}{3a_0} e^{-\frac{r}{3a_0}}$$

$$\begin{aligned} \frac{d}{dr} \left(r^2 \frac{dR}{dr} \right) &= 6r^2 \beta' e^{-\frac{r}{3a_0}} - \frac{2r^3}{3a_0} \beta' e^{-\frac{r}{3a_0}} - \frac{4}{3} \frac{\beta' r^3}{a_0} e^{-\frac{r}{3a_0}} + \frac{\beta' r^4}{3a_0} e^{-\frac{r}{3a_0}} \\ &= 6R - \frac{2}{3} \frac{r}{a_0} R - \frac{4r}{3a_0} R + \frac{r^2}{9a_0^2} R \end{aligned}$$

$$\frac{1}{r^2} \frac{d}{dr} (r^2 \frac{dR}{dr}) = \frac{6R}{r^2} - \frac{2}{ra_0} R + \frac{1}{9a_0^2} R$$

$$\frac{1}{r^2} \frac{d}{dr} (r^2 \frac{dR}{dr}) + \frac{2mER}{\hbar^2} + \frac{2mk}{\hbar^2 r} - \frac{6}{r^2} R = 0$$

$$\frac{6R}{r^2} - \frac{2R}{a_0 r} + \frac{R}{9a_0^2} + \frac{2mER}{\hbar^2} + \frac{2mk}{\hbar^2 r} - \frac{6R}{r^2} = 0$$

$$\frac{-2}{a_0} + \frac{2mk}{\hbar^2} = 0 \quad \Rightarrow \quad \frac{1}{a_0} = \frac{mk}{\hbar^2} \quad \Rightarrow \quad a_0 = \frac{\hbar^2}{mk}$$

$$\frac{1}{9a_0^2} + \frac{2mE}{\hbar^2} = 0 \quad E = \frac{-\hbar^2}{18a_0^2 m} = \frac{-\hbar^2}{18 \cdot \frac{\hbar^4}{m^2 k^2} \cdot m}$$

$$= -\frac{m e^4}{32\pi^2 \varepsilon_0^2 \hbar^2} \frac{1}{9} \quad k = \frac{e^2}{4\pi \varepsilon_0} \quad \text{حيث}$$

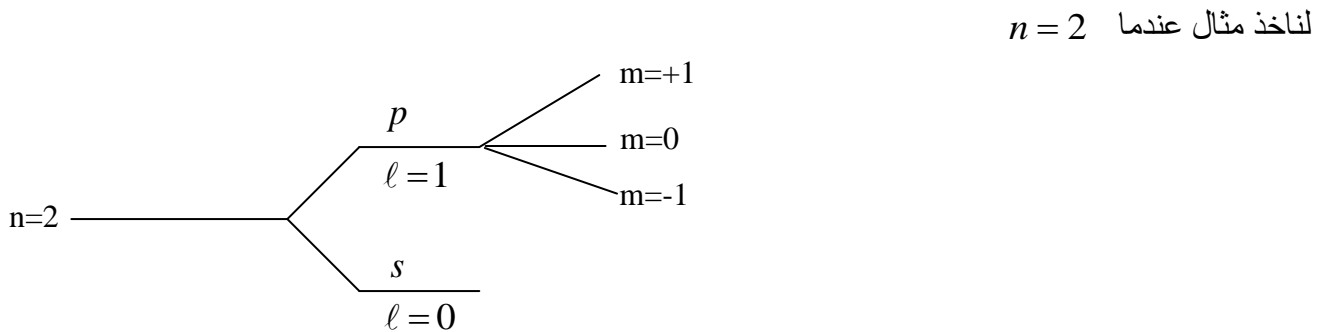
سبق ان بینا ان دالة الموجة ψ هي دالة ذاتية لمربع الزخم الزاوي وبقيمة ذاتية $\ell(\ell+1)\hbar^2$ لذلك فان الزخم الزاوي لجسيم يتحرك في جهد مركزي هو ثابت حركة قيمة هذا الزخم يمكن ان يحدد بدقة وهي تتخذ القيم $\ell=0, \ell=1, \dots, \ell=n-1$ ولذلك (في مجال كولوم لاي قيمة n تحدد مستوى الطاقة هنالك n من القيم المميزة $m\hbar$ للزخم الزاوي المداري. وكذلك بینا ان دالة الموجة ψ هي دالة ذاتية للمركبة \hat{J} للزخم الزاوي وبقيمة ذاتية $m\hbar$ وهذا يعني ان اي جسيم يتحرك في نظام جهده مركزي فان المركبة \hat{J} هي ثابت حركة وقيمتها $m\hbar$. ان قيم m

تحدد

$$m = -\ell, -\ell+1, -\ell+2, \dots, 0, \dots, \ell$$

ان الحالات التي تتميز بعدد کمي مداري $\ell=0$ وعدد کمي مغناطيسي $m=0$ تسمى حالات s اما الحالة p فهي تتميز بالعدد الكمي المداري $\ell=1$ وبذلك يأخذ العدد الكمي المغناطيسي (هنالك $2\ell+1$) من القيم $-m=1, 0, 1$ ولهذا توجد ثلاثة دوال منحلة وعموما يرمز للحالات ℓ بالرموز الطيفية الآتية

i	2	3	4
s	p	d	f



نلاحظ ان دوال الموجة هي $\psi_{200}, \psi_{210}, \psi_{21+1}, \psi_{21-1}$ اذن عدد الانحلال هو 4

ان قيمة m لا يمكن ان تتعدى قيمة ℓ وهذا مطابق لواقع الحال اذ ان مركبة الزخم الزاوي \hat{L}_z لا يمكن ان تساوي تماما قيمة الزخم الزاوي الكلي لأن:

$$\hat{L} = \hbar \sqrt{\ell(\ell+1)}$$

$$(\hat{L}_z)_{\max} = \ell\hbar$$

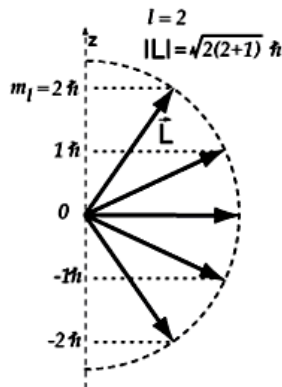
ان المعادلتين الاخيرتين هما صيغة اخرى لمبدأ الدقة فيما ان \hat{L}_x ، \hat{L}_y ، \hat{L}_z لاتتحقق خاصية التبادل فيما بينهما

فمعنى ذلك اننا لانستطيع قياس هذه الكميات بدقة تامة في ان واحد

Show that

$$1) [\hat{L}_x, \hat{L}_y] = i\hbar \hat{L}_z \quad 2) [\hat{L}_y, \hat{L}_z] = i\hbar \hat{L}_x$$

$$3) [\hat{L}_z, \hat{L}_x] = i\hbar \hat{L}_y$$



الشكل يبين تكميم الزخم الزاوي (الزخم الزاوي الكلي) يأخذ اتجاهات معينة فقط التي تلك التي تكون فيها مساقط

على محور z اي المركبة \hat{L}_z عبارة عن مضاعفات صحيحة للمقدار \hbar

Show that

$$1) [\hat{L}^2, \hat{L}_z] = 0 \quad 2) [\hat{L}^2, \hat{L}_x] = 0 \quad 3) [\hat{L}^2, \hat{L}_y] = 0$$

التفسير الفيزيائى للالمعادلات اعلاه ان المؤثر \hat{L}^2 يتبادل مع جميع مركبات الزخم الزاوي اي يمكن ايجاد قيم

مضبوطة وبنفس الوقت \hat{L}^2

Prove that $[L_x, L_y] = i\hbar L_z$

$$[L_x, L_y] \psi = (L_x L_y - L_y L_x) \psi$$

$$\hat{L}_x = -i\hbar(y \frac{\partial}{\partial z} - z \frac{\partial}{\partial y}) \quad , \quad \hat{L}_y = -i\hbar(z \frac{\partial}{\partial x} - x \frac{\partial}{\partial z}) \quad , \quad \hat{L}_z = -i\hbar(x \frac{\partial}{\partial y} - y \frac{\partial}{\partial x})$$

$$[L_x, L_y] \psi$$

$$= \left(\frac{\hbar}{i} \right)^2 \left[\left((y \frac{\partial}{\partial z} - z \frac{\partial}{\partial y}) \cdot (z \frac{\partial}{\partial x} - x \frac{\partial}{\partial z}) \right) - \left((z \frac{\partial}{\partial x} - x \frac{\partial}{\partial z}) \cdot (y \frac{\partial}{\partial z} - z \frac{\partial}{\partial y}) \right) \right] \psi$$

$$\begin{aligned}
&= \left(\frac{\hbar}{i}\right)^2 \left[y \frac{\partial}{\partial z} (z \frac{\partial \psi}{\partial x}) - y \frac{\partial}{\partial z} (x \frac{\partial \psi}{\partial z}) - z \frac{\partial}{\partial y} (z \frac{\partial \psi}{\partial x}) + z \frac{\partial}{\partial y} (x \frac{\partial \psi}{\partial z}) \right. \\
&\quad \left. - z \frac{\partial}{\partial x} (y \frac{\partial \psi}{\partial z}) + z \frac{\partial}{\partial x} (z \frac{\partial \psi}{\partial y}) + x \frac{\partial}{\partial z} (y \frac{\partial \psi}{\partial z}) - x \frac{\partial}{\partial z} (z \frac{\partial \psi}{\partial y}) \right] \\
&= \left(\frac{\hbar}{i}\right)^2 \left[y \frac{\partial \psi}{\partial x} + y z \frac{\partial^2 \psi}{\partial z \partial x} - y x \frac{\partial^2 \psi}{\partial z^2} - z^2 \frac{\partial^2 \psi}{\partial y \partial x} + z x \frac{\partial^2 \psi}{\partial y \partial z} - z y \frac{\partial^2 \psi}{\partial x \partial z} + z^2 \frac{\partial^2 \psi}{\partial x \partial y} \right. \\
&\quad \left. + x y \frac{\partial^2 \psi}{\partial z^2} - x \frac{\partial \psi}{\partial y} - x z \frac{\partial^2 \psi}{\partial z \partial y} \right] \\
&= \left(\frac{\hbar}{i}\right)^2 \left[y \frac{\partial \psi}{\partial x} - x \frac{\partial \psi}{\partial y} \right] \\
&= - \left(\frac{\hbar}{i}\right) \left\{ \left(\frac{\hbar}{i}\right) \left[x \frac{\partial \psi}{\partial y} - y \frac{\partial \psi}{\partial x} \right] \right\} \\
&= i\hbar L_z \psi \\
&= i\hbar L_z
\end{aligned}$$

Electron Spin

كان نقاشنا للحالات الكمية للذرة الوحيدة الإلكترون محدداً ببساطة نموذج ممكناً مما جعل الحصول على حل المسالة بدلالة دوال معروفة أمراً سهلاً نسبياً. غير أن الأمور تتعدّد شيئاً فشيئاً عندما نحاول استخدام الميكانيك الكمي لتفسير ظواهر شائعة في التجارب المعروفة عن الأطيف ونخص بالذكر ظاهرة زيمان الشاذة التي قادت إلى افتراض البرم الإلكتروني.

يتاثر الإلكترون كأي جسم مشحون إذا دخل ضمن مجال مغناطيسي. فمثلاً لمجال مغناطيسي متجانس شدته H_z

وفي الاتجاه z فإن طاقة التفاعل التي تدخل في معادلة شرودنكر كحد إضافي هي $\frac{e}{2m} L_z H_z$ حيث L_z هي

مركبة الزخم الزاوي المداري للإلكترون و $(-e)$ هي شحنة الإلكترون و m هي كتلة الإلكترون. ولتفسير هذه الطاقة نعطي للإلكترون عزماً مغناطيسياً من خلال العلاقة

$$\mu = -\frac{e}{2m} L \quad (1)$$

إن تأثير حد طاقة التفاعل هو تزحزح في مستويات الطاقة الذري يؤدي إلى تغيير في الطيف الخطي عندما يتسلط مجال مغناطيسي خارجي على الذرة. لقد استطاعت النظرية الكلاسيكية في تفسير ما يسمى ظاهرة زيمان الاعتيادية والتي فيها يتفرق الطيف إلى ثلات ترددات في حين تصبح المسالة معقدة عندما يحصل ما يسمى بظاهرة زيمان الشاذة والتي لا يمكن تفسيرها بالطريقة ذاتها لأن خطوط الطيف تتفرق بشكل متعدد فجأة افتراض البرم الإلكتروني.

لقد افترض أن للإلكترون برم σ وعزم مغناطيسي داخلي μ . أما مقدار البرم فقد افترض أنه يقابل أعداداً كمية بنصف وحدة لمربع البرم ولمركبتة في الاتجاه z . أي القيمة الذاتية الوحيدة الممكنة لمربع σ هي:

$$\sigma \cdot \sigma = \delta(\delta + 1)\hbar^2 \quad (2)$$

حيث $\frac{1}{2} = \delta$ أي أن

$$\sigma^2 = \frac{3}{4}\hbar^2 \quad (3)$$

ولمركبة σ بأي اتجاه مثل الاتجاه z هناك قيمتين ذاتيتين ممكنتين :

$$\sigma_z = m_s \hbar \quad (4)$$

حيث $m_s = \frac{1}{2}$ او $m_s = -\frac{1}{2}$ اما العزم المغناطيسي فيفترض انه يتناسب مع σ بثابت تناسب يساوي e/m – أي ان

$$\mu_s = -\frac{e}{m} \sigma \quad (5)$$

وعليه يكون

$$\mu_{s_z} = -\frac{e}{m} \sigma_z$$

و اذا عوضنا عن σ_z بـ $\pm \frac{1}{2} \hbar$ نحصل على

$$\mu_{s_z} = \pm \frac{e \hbar}{2m} \quad (6)$$

حيث μ_{s_z} يسمى بمعنىطون بور Bohr magneton ويرمز له μ_B

ان برم الاكترون هي صفة كمية ليس لها نظير في الفيزياء الكلاسيكية لأن البرم استنادا الى مبدأ التقابل يصبح مهملا اذا اهمل ثابت بلانك. ان فكرة البرم تقترب من ادخال متغيرات ثلاثة جديدة هي σ_z , σ_x , σ_y لتعريف مسقط البرم على المحاور الثلاثة، وكذلك مؤثرات ثلاثة مقابلة هي $\hat{\sigma}_z$, $\hat{\sigma}_x$, $\hat{\sigma}_y$ وطبعي فان المتغيرات البرمية تتخذ لنفسها القيمتين المتميزتين $\pm \frac{1}{2} \hbar$ فقط. اضافة الى ذلك يجب ان يتصرف كل مؤثر بالصفة التالية:

$$\hat{\sigma}_z S = \sigma_z S \quad (7)$$

حيث المعادلة اعلاه هي معادلة قيمة ذاتية فيها $\sigma_z = \pm \frac{1}{2} \hbar$ عبارة عن القيمتين الذاتيتين. ودالنا الموجة المقابلتان للمتغير σ_z يرمز لهما $S_{\frac{1}{2}}$ و $S_{-\frac{1}{2}}$ هاتان الدالتان يجب ان تكونا مجموعة عيارية متعامدة كاملة للدوال الموجية البرمية بحيث ان اعتقاد البرم على اي دالة يمكن التعبير عنه بالمزج الخطى.

$$S(\sigma_z) = a S_{\frac{1}{2}}(\sigma_z) + b S_{-\frac{1}{2}}(\sigma_z) \quad (8)$$

وصفة العيارية والتعامد تأخذ هنا صيغة الجمع على القيمتين الممكنتين لـ σ_z

$$\sum_{\sigma_z = -\frac{1}{2} \hbar}^{+\frac{1}{2} \hbar} S^* m_s (\sigma_z) S_{m'_s} (\sigma_z) = \delta_{m_s m'_s} \quad (9)$$

في نظرية باولي تمثل المعاملات a و b في المعادلة 8 بمصفوفة عمودية ثنائية هكذا:

$$S = \begin{pmatrix} a \\ b \end{pmatrix}$$

ومؤثرات البرم $\hat{\sigma}_z$, $\hat{\sigma}_x$, $\hat{\sigma}_y$ تمثل بالمصفوفات التالية

$$\hat{\sigma}_x = \frac{1}{2}\hbar \begin{pmatrix} 0 & 1 \\ 1 & 0 \end{pmatrix}, \quad \hat{\sigma}_y = \frac{1}{2}\hbar \begin{pmatrix} 0 & -i \\ i & 0 \end{pmatrix}, \quad \hat{\sigma}_z = \frac{1}{2}\hbar \begin{pmatrix} 1 & 0 \\ 0 & -1 \end{pmatrix} \quad (10)$$

هذه المصفوفات اذا اثرت على دالة الموجة فان

$$\hat{\sigma}_z S = \frac{1}{2}\hbar \begin{pmatrix} 1 & 0 \\ 0 & -1 \end{pmatrix} \begin{pmatrix} a \\ b \end{pmatrix}$$

$$= \frac{1}{2}\hbar \begin{pmatrix} a \\ -b \end{pmatrix}$$

ودواال الموجة هنا تساوي الى

$$S_{+\frac{1}{2}} = \begin{pmatrix} 1 \\ 0 \end{pmatrix}, \quad S_{-\frac{1}{2}} = \begin{pmatrix} 0 \\ 1 \end{pmatrix}$$

وفي نظرية باولي فان المصفوفة الاجونية الهرميtie Hermitian Adjoint Matrix تلعب دور الدالة ψ^* في نظرية شرودنكر ونحصل على هذه المصفوفة باستبدال الصفوف بالاعمدة ثم استبدال كل عنصر في المصفوفة

الناتجة بمرافقه المعقد فمثلا اذا كان $S = \begin{pmatrix} a & b \\ b^* & a^* \end{pmatrix}$ هي المصفوفة الاجونية الهرميtie لـ S . مما

تقديم يظهر حاصل ضرب مصفوفة عمودية في مصفوفتها الاجونية هي مصفوفة حقيقة لصف واحد وعمود واحد.

يقابل التكامل $d\tau \psi^* \psi$ اي

$$S^+ S = \begin{pmatrix} a^* & b^* \end{pmatrix} \begin{pmatrix} a \\ b \end{pmatrix} = a^* a + b^* b = 1$$

والقيمة المتوقعة لمتغيرات البرم تكتب على النحو التالي :

$$\langle \sigma_i \rangle = S^+ \hat{\sigma}_i S \quad (11)$$

اسئلة

س1) جد القيمة المتوقعة لـ σ_z ؟

س2) افرض ان $(\sigma_z) S$ معلوم جد a و b

س3) جد مؤثر باولي لمربع البرم ومن ثم اثبت ان أي دالة برمية عيارية هي دالة ذاتية لـ $\hat{\sigma}_z$. بقيمة ذاتية

تساوي $\frac{3}{4}\hbar^2$

المصادر -

-References

- الميكانيك الكمي - د. جاسم الحسيني ، د. عبدالسلام عبد الامير
- اساسيات ميكانيك الكم - د. سالم حسن الشماع ، د. أمجد عبدالرازق كريجه
- مقدمة في ميكانيك الكم - د. جاسم عبود ، د. ضياء احمد
- Fundamental University Physics, Alonso and Finn, Part 3.
- Introduction to Quantum Mechanics, Matthews.
- Quantum Mechanics, Powell and Grasman.